

UNIVERSIDAD
MIGUEL HERNÁNDEZ DE ELCHE
ESCUELA POLITÉCNICA SUPERIOR DE ELCHE
GRADO EN INGENIERÍA MECÁNICA



"ANÁLISIS ENERGÉTICO DE UN
EDIFICIO TERCIARIO, ASÍ COMO DE SUS
INSTALACIONES EN CAMPO CRIPTANA,
MEDIANTE EL SOFTWARE CYPETHERM
HEPLUS"

TRABAJO FIN DE GRADO

Febrero - 2025

AUTOR: Rubén De Haro Peñafiel

DIRECTOR: Javier Molina González



Índice

1. MEMORIA	5
1.1 INTRODUCCIÓN Y OBJETIVO DEL TFG PRESENTADO	5
1.2-DATOS DEL ALUMNO	6
1.3-NORMATIVA APLICADA	6
1.4-CRITERIOS Y CONSIDERACIONES SEGUIDAS	7
1.4.1Definición del edificio y sus instalaciones	7
1.4.2. Justificación del cumplimiento del DB-HE0 del CTE DB-HE 2019	19
1.4.3. Justificación del cumplimiento del DB-HE1 del CTE DB-HE 2019	27
1.4.4 Justificación del cumplimiento del DB-HE4	37
1.4.5 Justificación de las características de las instalaciones de iluminación.	39
1.5 PROPUESTA DE MEJORAS	40
1.5.1 MEJORAS CON LA INTRODUCCIÓN DE RECUPERADOR DE CALOR.....	41
1.5.2 MEJORAS EN LA ENVOLVENTE TÉRMICA.....	43
1.5.3 MEJORA EN LA GENERACIÓN DE ACS Y CALEFACCIÓN MEDIANTE UNA AEROTERMIA	44
1.6 CONCLUSIÓN	44
1.7 CERTIFICADO ENERGÉTICO DEL EDIFICIO	46
2. ANEXOS	60
2.1 FICHAS TÉCNICAS:	60
2.1.1 Vidrio empleado, “Guardian Glass “	60
2.1.2 Caldera ACS, “VITODENSS “	60
2.1.3 Inter acumulador ACS, “ Corflow de Ygnis “	60
2.1.4 Enfriadora, “DAIKIN”	60
2.1.5 Fancoils, “DAIKIN “	60
2.1.6 Recuperador de calor, “GREE BRV “	60
2.1.7 VRV- unidades exteriores “GREE UMATCH “	60
2.1.8 MATERIALES PARA CONDUCCIÓN DE AIRE “CONDUCTOS”	60
2.1.1 VIDRIO TEMPLADO GUARDIAN GLASS	61
2.1.2 CALDERA ACS VITODENS	62
2.1.3 INTERACUMULADOR CORFLOW.....	66
2.1.4 ENFRIADORA DAIKIN	68
2.1.5 FANCOILS “DAIKIN”	70

2.1.6 RECUPERADOR DE CALOR “GREE”.....	72
2.1.7 UNIDADES INTERIORES “GREE U-MATCH”	73
2.1.8 MATERIALES PARA CONDUCCIÓN DE AIRE “CONDUCTOS”	75
3. RESULTADOS DE CYPE:.....	415
3.1 Demanda energética edificio BASE, “ Cypetherm HEPLUS “.	415



1. MEMORIA

1.1 INTRODUCCIÓN Y OBJETIVO DEL TFG PRESENTADO

Este documento se crea como Trabajo Fin de Grado, dentro de la titulación de Grado en Ingeniería Mecánica, del curso 2023/2024, perteneciente a la Universidad Miguel Hernández de Elche.

Tras haber cursado durante años pasados el resto de asignaturas relativas al grado de Ingeniería mecánica, (Termodinámica, Calor y frío, Electrotecnia,), todos los conocimientos y resultados que se han ido obteniendo a lo largo de cada una de ellas, se han plasmado en el trabajo final que se va a relatar a continuación. El edificio a usar para el siguiente proyecto, será un edificio de uso terciario, concretamente un Centro Médico, en el presente trabajo se va a proceder a definir las características a analizar en la redacción.

El fin último de este TFG presentado, es la realización de un modelo arquitectónico definiendo tanto su geometría y materiales constructivos, como las instalaciones necesarias para el cumplimiento con el Código Técnico de la Edificación vigente a la realización de dicho trabajo. Analizaremos el apartado de Ahorro de Energía, realizando el análisis de dicho modelo y de sus instalaciones utilizando la herramienta de simulación que el software de CYPE THERM HEPLUS nos proporciona.

Partimos de un modelo geométrico creado con el software IFC Builder de CYPE, y de un proyecto lumínico que se ha creado en otro TFG con el que se ha trabajado en paralelo.

El software de simulación energética que vamos a emplear es “CypeTherm HE Plus 2024, con el CTE 2019”, Certificación de la eficiencia energética de los edificios y justificación normativa de CTE DB HE0, HE1 y HE4.

1.2-DATOS DEL ALUMNO

Nombre y apellidos: RUBÉN DE HARO PEÑAFIEL

Teléfono:

Email:

1.3-NORMATIVA APLICADA

El presente trabajo, se ha desarrollado atendiendo a la normativa vigente aplicable, y justificamos los cálculos y decisiones adoptadas, según las siguientes disposiciones:

- Real Decreto 178/2021, de 23 de marzo, por el que se modifica el Real Decreto 1027/2007 de 20 de Julio, en el que se aprueba el Reglamento de Instalaciones Térmicas en Edificios.
- Real Decreto 314/2006, de 17 de marzo, mediante el que se aprueba el Código Técnico de la Edificación.
- Real Decreto 390/2021, de 1 de junio, por el que se aprueba el procedimiento básico para la Certificación de la Eficiencia Energética de los edificios.
- Real Decreto 900/2015, de 9 de octubre, por el que se regulan las condiciones administrativas, técnicas y económicas de las modalidades de suministro de energía eléctrica con autoconsumo y de producción para el autoconsumo.
- Pliego de Condiciones Técnicas de Instalaciones Conectadas a Red del Instituto para la Diversificación y Ahorro de la Energía.

1.4-CRITERIOS Y CONSIDERACIONES SEGUIDAS

1.4.1Definición del edificio y sus instalaciones

1.4.1.1Situación geométrica y características de los recintos

El edificio que vamos a estudiar es un colegio, el cual se clasifica dentro de: “Edificio terciario Pequeño o Mediano”.

Su situación geográfica es en Campo de Criptana, provincia de Ciudad Real, cuya altitud asciende a 707 m. En relación con dicha localización y altitud le corresponde, en conformidad al Anejo B del CTE BD HE 1, la zona climática D3.

La pertenencia a dicha zona climática, junto al tipo y uso de edificio, define los valores límite aplicables en la cuantificación de la exigencia que se describe en la sección HE1. Control de la demanda energética del edificio, del Documento Básico HE Ahorro de energía del CTE.

Localidad: CAMPO DE CRIPTANA

Provincia: CIUDAD REAL

Altitud: 707 m

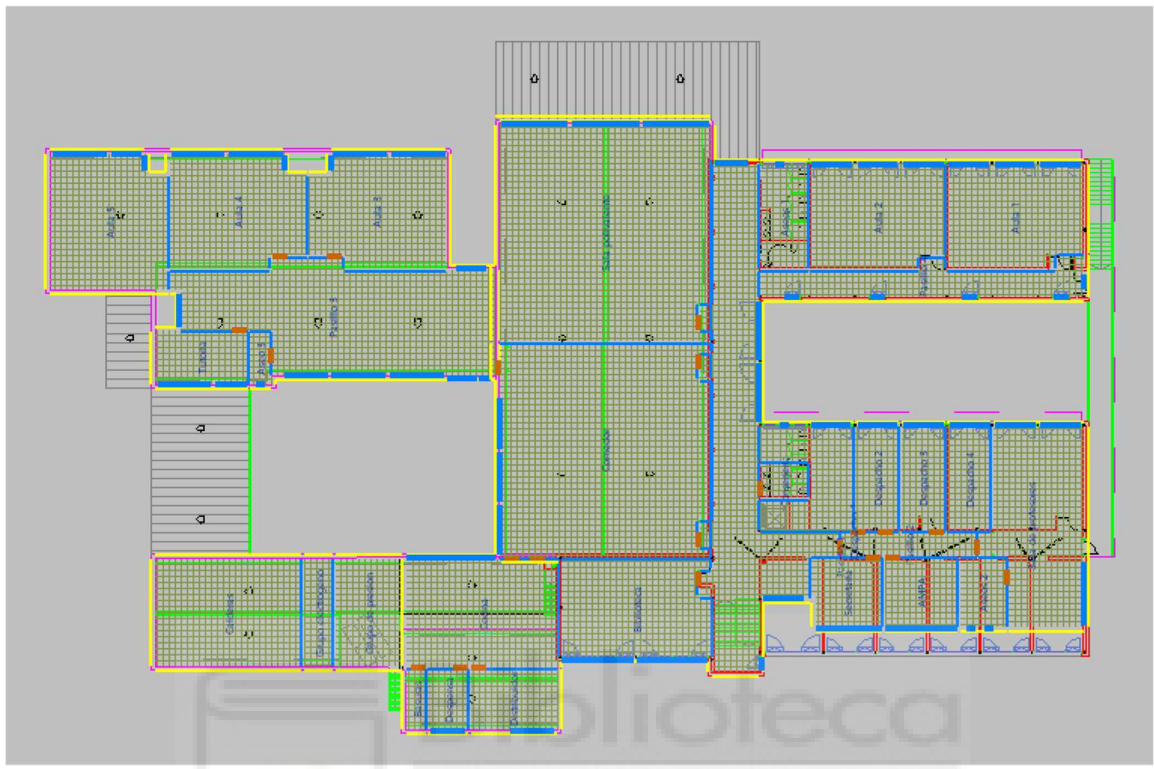
Latitud: 39.4 grados

Longitud: -3.1 grados.

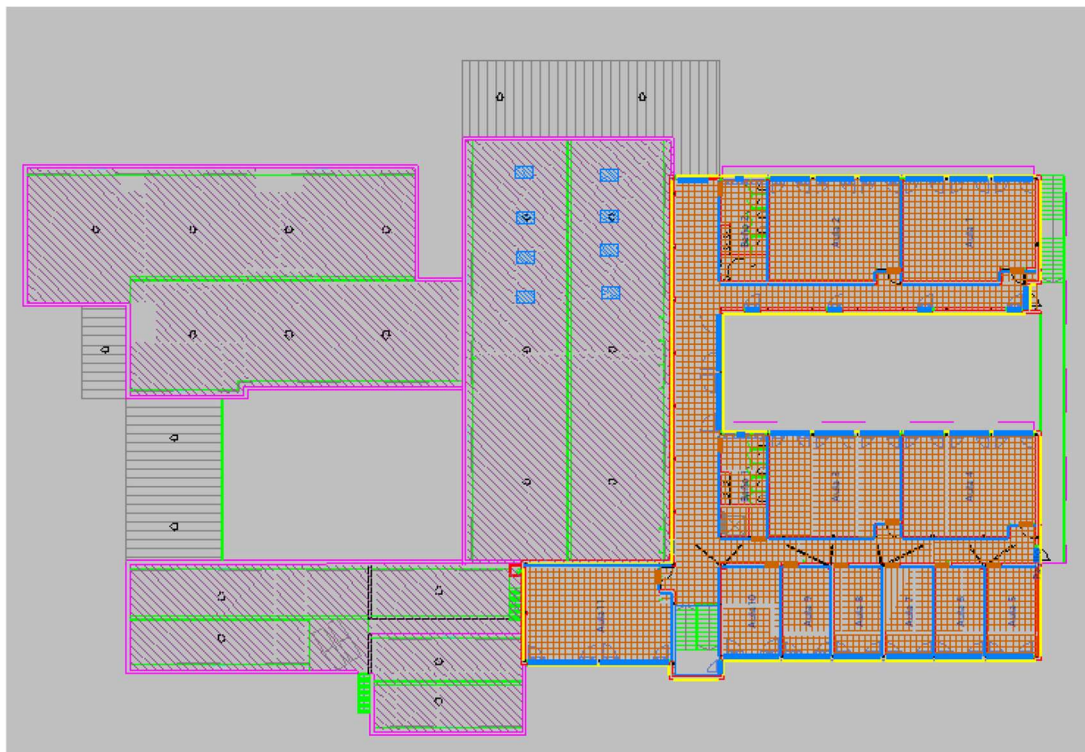
Condiciones Climáticas SCOP: Clima Cálido

Estamos ante un edificio de planta rectangular, cuya fachada principal está orientada al Sur. Consta de 2 plantas sobre la rasante.

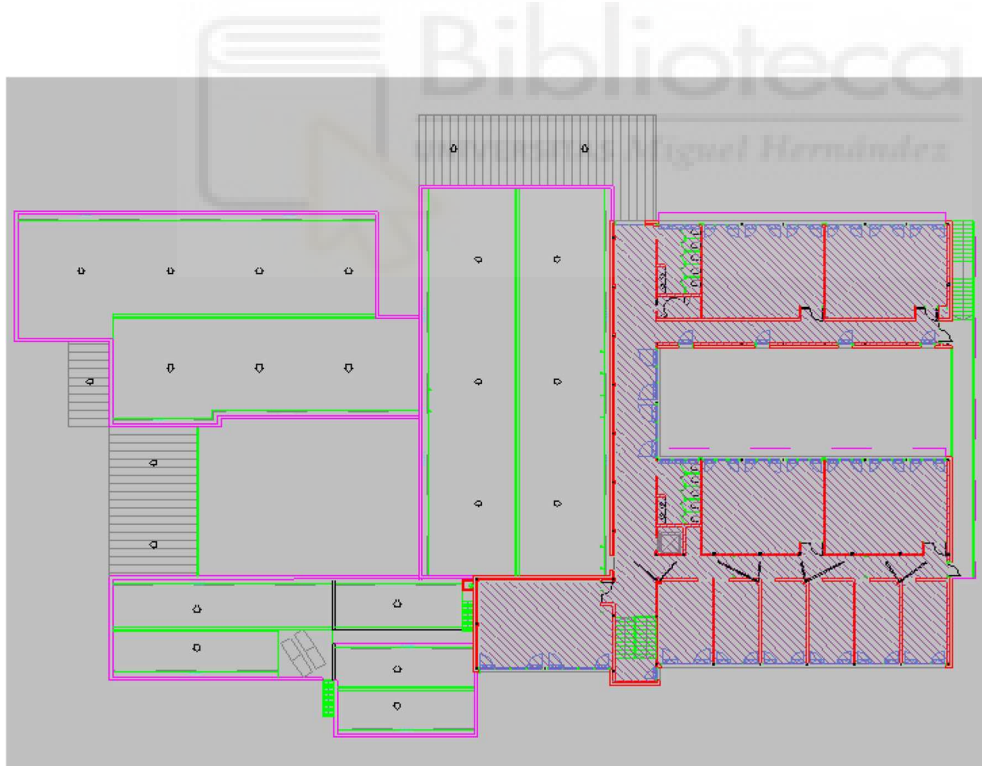
A continuación, se muestran las plantas con la distribución interior de los espacios:



La planta baja, estará formada por cinco aulas y 3 baños, así como de pasillos para conectar todo, cuatro despachos, sala de AMPA, secretaría, conserjería, la cocina del colegio, comedor, una sala polivalente y una sala de profesores.



La primera planta del edificio, se ubicarán once aulas para estudio, y un pasillo.



Para el apartado de ventilación de cada espacio, como se trata de un edificio de tipo no residencial, estaría de aplicación el Reglamento de Instalaciones Térmicas en los Edificios, RITE.

En este reglamento anteriormente nombrado, en la parte II, que corresponde a instrucciones Técnicas, se detalla cuáles son las instrucciones de diseño y que dimensionado deben tener los conductos de ventilación.

IT 1.1.4.2.2 – Categorías de calidad del aire interior en función del uso de los edificios. Se considera que la calidad del aire en el interior, (IDA) que se deberá de alcanzar en el edificio objeto de análisis en este proyecto es de tipo IDA 2 (que corresponde a aire de buena calidad).

Para realizar el cálculo del caudal mínimo de aire exterior de ventilación, nos basamos en el apartado del RITE que hace referencia a él en el IT 1.1.4.2.3, y dentro del mismo, trabajaremos con los dos métodos indirectos que se proponen:

- El método A, en el cual se realiza el cálculo del caudal dependiendo de las personas que suponemos que van a estar ocupando dicho espacio, (para los espacios habitables).
- El método D, que hace referencia al cálculo de caudales por unidad de superficie en locales no dedicados a ocupación humana permanente, (espacios no habitables).

De esta manera, teniendo en cuenta a todas las personas que pueden estar ocupando cada espacio, y realizando una multiplicación de dicho valor de personas por el coeficiente que obtenemos de la tabla 1.4.2.1 para la categoría IDA 2, obtenemos el caudal de cálculo de cada estancia, que será el valor que introduciremos en la edición de cada recinto.

Todos los datos obtenidos para cada uno de los recintos se resumen en la siguiente tabla.

Planta baja:

RECINTO	TIPO	IDA 2 (DM3/S)	P	Qcal (DM3/S)	m2	m3	Q (m3/h)	Ren/h
AULAS	HAB. ACONDI.	12,5	15	187,5	317,54	793,85	675	1,1761
BAÑOS	HAB. ACONDI.	12,5	2	25	40,41	101,2	90	0,8893
CIRCULACIONES	HAB. ACONDI.	EQUILIBRIO Q.		0	309,38	795,19	0	0,0000
OFICINAS	HAB. ACONDI.	12,5	6	75	242,21	605,525	270	0,4459
COCINA	HAB. ACONDI.	12,5	4	50	71,51	181,87	180	0,9897
SALAS	HAB. ACONDI.	12,5	12	150	458,16	2015,76	540	0,2678
INSTALACIONES	NO HAB.	0,83		0,83	113,36	283,37	2,988	0,0105

Primera planta:

RECINTO	TIPO	IDA 2 (DM3/S)	P	Qcal (DM3/S)	m2	m3	Q (m3/h)	Ren/h
AULAS	HAB. ACONDI.	12,5	15	187,5	426,83	1067,075	675	1,5809
BAÑOS	HAB. ACONDI.	12,5	2	25	42,96	107,42	90	0,8893
CIRCULACIONES	HAB. ACONDI.	EQUILIBRIO Q.		0	163,31	444,37	0	0,0000

Podemos definir como Condiciones Operacionales, como el conjunto de todas las temperaturas de consigna definidas para un espacio habitable acondicionado. El cual está compuesto por un conjunto de temperaturas de consigna, que establecen o definen la temperatura de activación de los equipos de calefacción, (sería consigna baja) y para refrigeración (consigna alta). Las condiciones operacionales para espacios de uso no residencial se obtienen del documento Condiciones Técnicas de los procedimientos para la evaluación de la eficiencia energética de los edificios. En este documento se muestra una serie de tablas que relacionan las horas de uso y el nivel de carga de los espacios junto con las temperaturas de consigna.

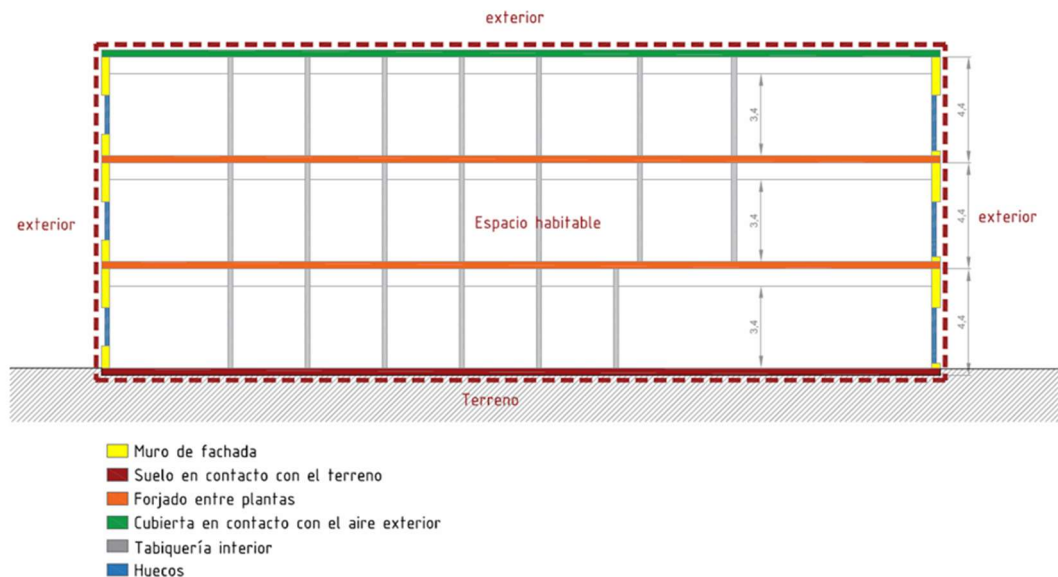
Para cada espacio calculamos el nivel de carga interna, según la tabla del anexo A, del CTE DB HE, estableciéndose como uso las 8 horas diarias de uso lectivo.

El cálculo de nivel de carga interna, al ser un colegio, se va a tener en cuenta que es un nivel de carga alta durante las 8 horas de la apertura de este.

1.4.1.2 Definición de la envolvente térmica y sus componentes.

En el esquema geométrico se muestra la envolvente térmica del edificio compuesto por (fachada, cubierta, ventanas y puertas, y los suelos que estén en contacto con el terreno).

Esquema geométrico del edificio.



Se consideran habitables todos aquellos recintos del edificio, exceptuando aquellos que están destinados a usos como almacén, instalaciones de todo tipo y ascensor que se engloban en la clasificación de recintos no habitables (espacio interior a la envolvente térmica).

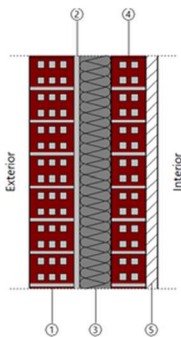
Dentro de estos espacios habitables se puede distinguir entre los que están acondicionados y los que no. Se considera como espacios habitables acondicionados, como aquellos en los que es necesario mantener unas determinadas condiciones operacionales para el bienestar térmico de sus ocupantes, aulas, salas de personal. Y como espacios habitables no acondicionados algunas zonas de tránsito, cocina y zonas de aseo.

El tipo de uso introducido se basa en las condiciones operacionales que se han desarrollado en el anterior punto para cada espacio del modelo geométrico.

A continuación, se puede observar el listado de elementos constructivos del edificio:

MURO DE FACHADASuperficie total 890.95 m²

C1



Listado de capas:

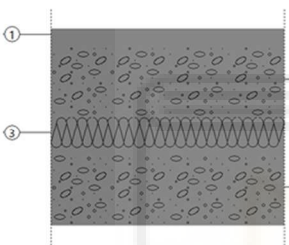
1 - 1/2 pie LP métrico o catalán 40 mm < G < 60 mm	11.50 cm
2 - Mortero de cemento o cal para albañilería y para revoco/enlucido 1000 < d < 1250	1.50 cm
3 - EPS-Grafipol TR-29 [0,029 [W/mK]] Valero	8.00 cm
4 - Tabicón de LH doble [60 mm < E < 90 mm]	9.00 cm
5 - Enlucido de yeso 1000 < d < 1300	3.00 cm

Características

Transmitancia térmica, U: 0.30 W/(m²·K)
Espesor total 33.00 cm

SUELO EN CONTACTO CON EL TERRENOSuperficie total 890.95 m²

S1



Listado de capas:

1 - Baldosa cerámica	3.00 cm
2 - Losa de hormigón	20.00 cm
3 - EPS-Grafipol Termoimpact [0,030 [W/mK]] Valero	8.00 cm
4 - Hormigón armado 2300 < d < 2500	20.00 cm

Características

Transmitancia térmica, U: 0.19 W/(m²·K)
Espesor total 51.00 cm
Longitud característica, B': 8.064 m
Resistencia térmica del forjado, Rf: 3.12 (m²·K)/W

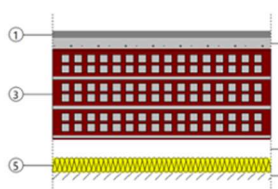
Superficie del forjado, A: 399.03 m²
 Perímetro del forjado, P: 98.964 m
 Conductividad térmica, l: 2.000 W/(m·K)

FORJADO ENTRE PLANTAS

Superficie total 675.83 m²

F1

Listado de capas:



1 - Baldosa cerámica	2.00 cm
2 - Mortero de cemento o cal para albañilería y para revoco/enlucido 1250 < d < 1450	3.00 cm
3 - FU Entrevigado cerámico	25.00 cm
4 - Cámara de aire	5.00 cm
5 - URSA TERRA Base	4.00 cm
6 - Placa de yeso laminado [PYL] 750 < d < 900	2.00 cm

Características

Transmitancia térmica, U: 0.52 W/(m²·K)

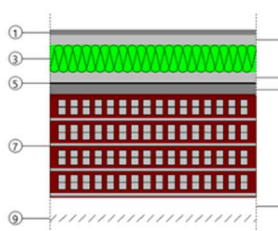
Espesor total 41.00 cm

CUBIERTA EN CONTACTO CON EL AIRE EXTERIOR

Superficie total 337.39 m²

Cub1

Listado de capas:



1 - Baldosa de gres	1.50 cm
2 - Mortero de cemento o cal para albañilería y para revoco/enlucido 1000 < d < 1250	3.00 cm
3 - EPS-Donpol Verde Hidrófobo [0,032 [W/mK]] Valero	8.00 cm
4 - Subcapa fieltro	3.00 cm
5 - Betún fieltro o lámina	0.40 cm
6 - Mortero de cemento o cal para albañilería y para revoco/enlucido 1000 < d < 1250	3.00 cm
7 - FU Entrevigado cerámico	30.00 cm
8 - Cámara de aire	5.00 cm
9 - Placa de yeso laminado [PYL] 750 < d < 900	2.00 cm

Características

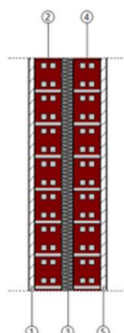
Transmitancia térmica, U: 0.25 W/(m²·K)

Espesor total 55.90 cm

TABIQUERÍA INTERIOR

Superficie total 1222.16 m²

T2



Estado de capas:

1 - Enlucido de yeso 1000 < d < 1300	1.50 cm
2 - Tabicón de LH doble [60 mm < E < 90 mm]	7.00 cm
3 - EPS-Grafipl TR-0 [0,033 [W/mK]] Valero	3.00 cm
4 - Tabicón de LH doble [60 mm < E < 90 mm]	7.00 cm
5 - Enlucido de yeso 1000 < d < 1300	1.50 cm

Característica Transmitancia térmica, U: 0.65 W/(m²·K)

S Espesor total 20.00 cm

HUECOS

Entendemos por hueco como cualquier elemento transparente o semitransparente de la envolvente térmica del edificio. Engloba las ventanas, las puertas acristaladas con una superficie semitransparente superior al 50%.

Para la elección del vidrio a utilizar, he usado la herramienta Guardian Glass Online.

El vidrio seleccionado es el Double Glazing 4-16-4 Climaguard on Surface#3 premium2 que tiene las siguientes características:

- Solar Factor (g) EN 410 (%):64
- U-value (EN 673) Argón 90% (W/m².K) : 1.1

La carpintería de aluminio, o PVC usada en los cerramientos está colocada al mismo nivel que el aislamiento térmico, de esta manera se consigue que exista continuidad entre ellos.

El valor de la permeabilidad al aire de la carpintería necesario para este proyecto lo estableceremos en la tabla 3.1.3.a del HE1.

Tabla 3.1.3.a-HE1 Valor límite de permeabilidad al aire de huecos de la envolvente térmica, $Q_{100,\text{lim}} [\text{m}^3/\text{h}\cdot\text{m}^2]$

	Zona climática de invierno					
	a	A	B	C	D	E
Permeabilidad al aire de huecos ($Q_{100,\text{lim}}$)*	≤ 27	≤ 27	≤ 27	≤ 9	≤ 9	≤ 9

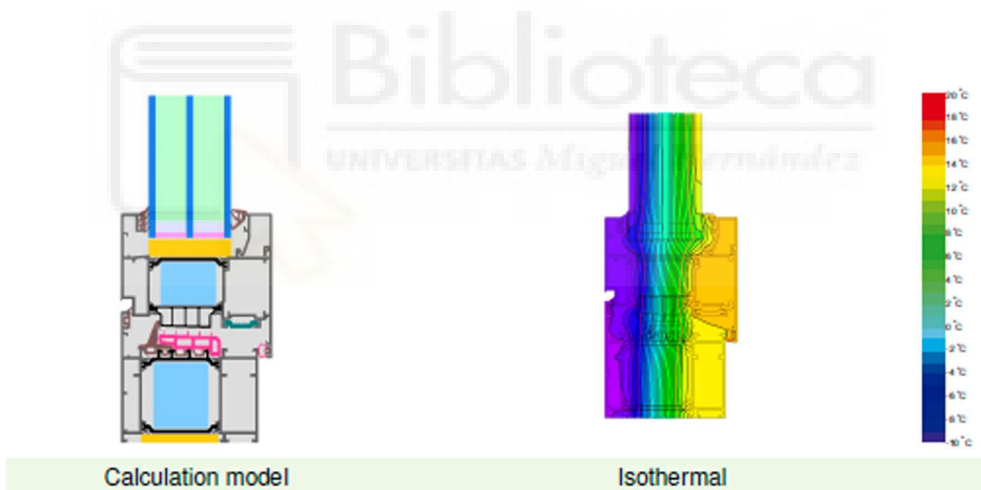
* La permeabilidad indicada es la medida con una sobrepresión de 100Pa, Q_{100} . Los valores de permeabilidad establecidos se corresponden con los que definen la clase 2 ($\leq 27 \text{ m}^3/\text{h}\cdot\text{m}^2$) y clase 3 ($\leq 9 \text{ m}^3/\text{h}\cdot\text{m}^2$) de la UNE-EN 12207:2017.

La permeabilidad del hueco se obtendrá teniendo en cuenta, en su caso, el cajón de persiana.

De esta tabla se obtiene que para la zona climática de nuestro proyecto (zona D), necesitamos un hueco de clase 3 ($\leq 9 \text{ m}^3/\text{h}\cdot\text{m}^2$).

Para las carpinterías elegidas, vemos que son de clase 4 ($3 \text{ m}^3/\text{h}\cdot\text{m}^2$).

Para escoger los marcos, se ha buscado en la base de datos de Passive House Institute, escogiendo un marco de aluminio con RPT. El modelo que escogemos es el COR-80, cuyo valor de transmitancia térmica del arco es de $0,94 \text{ W}/(\text{m}^2/\text{K})$. El color de la carpintería es de un tono medio en color gris, de acabado mate y cuya absorbtividad es de 0,65.



El valor de la transmitancia total de la energía solar del acristalamiento con dispositivos de sombra móvil, se obtienen de la tabla 12 del documento de apoyo al DB HE-1.

En este punto diferenciaremos entre dos tipos de huecos:

- Los situados en fachada norte, donde se considera como protección interior una cortina de tela, en color blanca características ($w_i=0,51$).
- El resto de los huecos se consideran con una protección exterior mediante una persiana de aluminio blanca ($w_i=0,05$).

También se tiene en consideración el empleo y colocación de toldos como accesorio en todos los huecos situados al exterior, durante los periodos comprendidos entre abril y octubre, con ello conseguimos un coeficiente de corrección de factor solar de 0,2.

1.4.1.3. Sistemas de Climatización

En el RITE, concretamente en la IT 1.2.4.5.2 en el apartado donde se hace referencia a Recuperación de calor de aire de extracción, se especifica lo siguiente:

Referente a los sistemas de climatización de los edificios en los que el caudal de aire expulsado al exterior, por medios mecánicos sea superior a $Q=0,28 \text{ m}^3/\text{s}$, de acuerdo con lo que se establece en el reglamento de diseño ecológico para las unidades de ventilación se recuperará la energía del aire expulsado.

En el caso que nos compete, tenemos un edificio con un caudal de extracción calculado de 1693 l/s (aproximadamente 1,7 m³/s), por lo que vamos a emplear un sistema de recuperación de calor que nos producirá una mejora de las condiciones energéticas del edificio en cuestión.

Se opta por la introducción del recuperador de calor, ubicando uno por cada planta del edificio. La ubicación de este será en el falso techo de las salas destinadas para instalaciones de cada una de las plantas y de ahí se extraerán 2 conducciones que corresponderán a la impulsión y extracción del mismo aparato y que estarán conectadas, la extracción hacia la cubierta del edificio y la impulsión a las rejillas de cada uno de los conductos de ventilación.

Otros conductos serán los encargados de hacer la recirculación del aire desde cada uno de los recintos con los caudales que se han calculado.

La elección que hemos hecho es decantarnos por un recuperador de tipo entálpico, el cual permite la transferencia de la humedad del aire, además de transferir toda aquella energía que es sensible al cambio y que es capaz de mover un caudal superior a $Q=600 \text{ l/s}$. El modelo elegido es el GREE ERV 145HP, cuya eficiencia sensible y latente es del 77% y cuya ficha técnica se ha adjuntado en los anejos.

Relativo a las instalaciones de climatización, existen dos tipos de equipos que está destinados para dos zonas distintas, unos de refrigeración por agua y otros por aire:

- Se disponen de sistema de climatización por aire que usará máquina central con conductos de fibra de vidrio marca URSA.

Todas las características de los equipos generadores mencionados se han especificado en el enunciado y son los siguientes para el sistema de climatización por agua:

- Planta enfriadora: DAIKIN (este equipo puede usarse tanto en modo calor como enfriadora), consiste en 3 unidades independientes modelo para unidad exterior EMRQ16AB, y cuyos modelos interiores son EKHBRD016ADY17 de estas se disponen tres unidades.
 1. Potencia nominal: 54000W
 2. EER nominal: 3.69

Tipo de condensador: Enfriado por aire

- Caldera de condensación: Viessmann Vitodenss 200-W- 120KW Gas Natural
 - Potencia nominal: 120000W
 - Eficiencia nominal: 0.98
 - Circuitos agua fría: impulsión 7°C, retorno 12°C
 - Circuitos agua caliente: impulsión 70°C, retorno 60°C

El modelo que usaremos es un sistema con caudal de refrigerante variable (VRF) de la marca GREE modelo UMATCH, cuyas características técnicas se adjuntan en los anejos y se resumen a continuación:

- Potencia nominal de refrigeración 28300W
- EER nominal 3.64
- Potencia nominal de calefacción 31500W
- COP nominal 4.25

Se han seleccionado unidades interiores para climatización de tipo conductos en aquellos recintos especificados de tres potencias distintas, según las cargas que tenemos que vencer en cada uno de los recintos:

- GREE UMATCH CTD 12 (3.5 KW): Salas, oficinas
- GREE UMATCH CTD 18 (5.3 KW): Baños, circulaciones y cocina.
- GREE UMATCH CTD 24 (7.1 KW): Aulas

1.4.1.4. Sistemas de ACS

Para el cálculo de la demanda de referencia de ACS para edificios de uso distinto al residencial privado, se considerarán los valores de la tabla 4.1. Demanda de referencia a 60º C, del documento básico HE4.

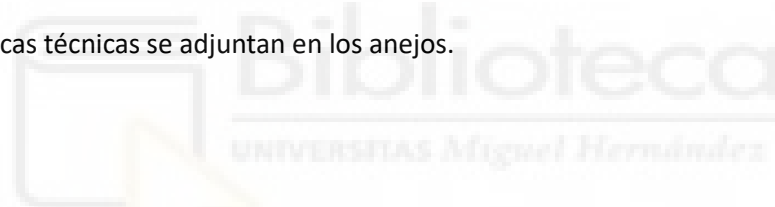
El consumo unitario para el criterio de la demanda “Escuela sin ducha” se establece en unos 4 l/día y el número de ocupantes se establece teniéndose en cuenta los siguientes criterios:

- Se considera un consumo constante e igual al 100% a lo largo de todo el año.
- Se ha considerado como usuarios habituales para el consumo de agua caliente a las personas trabajadoras del centro, y para ello se ha hecho una estimación del número de personas en un total de 300 personas.

La demanda de ACS calculada es igual a 300 personas X 4 l/persona y día = 1200 l/día.

La instalación de Agua Caliente Sanitaria en el edificio descrito está cubierta por una caldera de gas natural de baja temperatura, el modelo es el GT225 de “VIESSMANN VITODENSS” con una potencia útil de 50 KW y un rendimiento nominal del 94,7% PCI. Esta caldera está conectada al Inter acumulador “Vitocell” de “VIESSMANN”, con un volumen de acumulación de 2000 litros.

Las características técnicas se adjuntan en los anejos.



1.4.2. Justificación del cumplimiento del DB-HEO del CTE DB-HE 2019

El edificio objeto del presente documento es un edificio de nueva construcción, por lo que según el punto 1 “Ámbito de aplicación del DB-HEO”: Limitación del consumo energético, es de aplicación esta sección.

a) Consumo de energía primaria

El consumo energético de los edificios se limitará en función de la zona climática para invierno, de la localidad del emplazamiento, de la ubicación y por último del uso del edificio.

El “Consumo de energía primaria no renovable” (CEP, NREN) de los espacios contenidos en el interior de la envolvente térmica del edificio, o en su defecto, de la parte del edificio considerada, no superará el valor límite (CEP, NREN,LIM) obtenido en la tabla 3.1.b-HEO:

Tabla 3.1.b - HE0

Valor límite $C_{ep,nren,lim}$ [kW·h/m²·año] para uso distinto del residencial privado

Zona climática de invierno

a	A	B	C	D	E
$70 + 8 \cdot C_{FI}$	$55 + 8 \cdot C_{FI}$	$50 + 8 \cdot C_{FI}$	$35 + 8 \cdot C_{FI}$	$20 + 8 \cdot C_{FI}$	$10 + 8 \cdot C_{FI}$

C_{FI} : Carga interna media[W/m²]

Como nos encontramos en una zona climática de tipo D, y cuyo uso es distinto al residencial privado, tendremos un valor límite de $20+8*C_{FI}$.

La carga interna media del edificio, según los cálculos realizados con el software CYPETHERM HE-PLUS a partir de la definición de los recintos, es de 7,14 W/m², con lo que el valor del consumo energético anual por superficie útil de energía primaria no renovable deberá ser menor o igual a:

$$C_{ep,nren} \leq 20 + 8 * 7.14 = 77.10 \text{ kWh/m}^2\text{-año}$$

$$C_{ep,nren} = 6.83 \text{ kWh/m}^2\text{-año} \leq C_{ep,nren,lim} = 20 + 8 \cdot C_{FI} = 47.14 \text{ kWh/m}^2\text{-año}$$



donde:

$C_{ep,nren}$: Valor calculado del consumo de energía primaria no renovable, kWh/m²-año.

$C_{ep,nren,lim}$: Valor límite del consumo de energía primaria no renovable (tabla 3.1.b, CTE DB HE 0), kWh/m²-año.

C_{FI} : Carga interna media del edificio (Anejo A, CTE DB HE), 3.39 W/m².

1.2. Consumo energético anual por superficie útil de energía primaria total.

$$C_{ep,tot} = 58.73 \text{ kWh/m}^2\text{-año} \leq C_{ep,tot,lim} = 130 + 9 \cdot C_{FI} = 160.53 \text{ kWh/m}^2\text{-año}$$



donde:

$C_{ep,tot}$: Valor calculado del consumo de energía primaria total, kWh/m²-año.

$C_{ep,tot,lim}$: Valor límite del consumo de energía primaria total (tabla 3.2.b, CTE DB HE 0), kWh/m²-año.

C_{FI} : Carga interna media del edificio (Anejo A, CTE DB HE), 3.39 W/m².

1.3. Horas fuera de consigna

$$h_{fc} = 5.25 \text{ h/año} \leq 0.04 \cdot t_{occ} = 74.16 \text{ h/año}$$



donde:

h_{fc} : Horas fuera de consigna del edificio al año, h/año.

t_{occ} : Tiempo total de ocupación del edificio al año, h/año.

El consumo de energía primaria total (CEP, TOT) de los espacios contenidos en el interior de la envolvente térmica del edificio o, en su caso, de la parte del edificio considerada, no superará el valor límite (CEP, TOT, LIM) obtenido de la tabla 3.2.b-HE0:

Tabla 3.2.b - HEO
Valor límite $C_{ep,tot,lim}$ [kW·h/m²·año] para uso distinto del residencial privado

Zona climática de invierno					
a	A	B	C	D	E
$165 + 9 \cdot C_{FI}$	$155 + 9 \cdot C_{FI}$	$150 + 9 \cdot C_{FI}$	$140 + 9 \cdot C_{FI}$	$130 + 9 \cdot C_{FI}$	$120 + 9 \cdot C_{FI}$

C_{FI} : Carga interna media[W/m²]

Como estamos en una zona climática D, y en un uso distinto al residencial privado, tenemos un valor límite de **130 + 9 * C_{FI}**.

$$C_{ep,tot} \leq 130 + 9 * 7.14 = 194.24 \text{ kWh/m}^2\text{-año}$$

Los resultados de cálculo muestran el siguiente consumo energético anual por superficie útil de energía primaria total:

$C_{ep,tot} = 58.73 \text{ kWh/m}^2\text{-año} \leq C_{ep,tot,lim} = 130 + 9 \cdot C_{FI} = 160.53 \text{ kWh/m}^2\text{-año}$



b) Procedimiento de cálculo empleado

El procedimiento de cálculo debe permitir determinar la eficiencia energética, expresada como consumo de energía primaria no renovable (CEP, NREN), y el consumo de energía primaria total (CEP,TOT), necesario para mantener el edificio, o parte del edificio, por periodo de un año en las condiciones operacionales, cuando se somete a las solicitudes interiores y solicitudes exteriores definidas reglamentariamente.

En nuestro caso, la simulación se ha realizado mediante el software CYPETHERM HE-PLUS, introduciendo de forma detallada los aspectos necesarios según el punto 4.1.3 del CTE-DB-HEO.

El procedimiento de cálculo empleado tiene como objetivo determinar el consumo de energía primaria del edificio procedente de fuentes de energía renovables y no renovables. Para ellos, se ha empleado el documento reconocido CYPETHERM HE PLUS. Mediante el uso del este programa, se realiza una simulación anual por intervalos horarios de un modelo térmico zonal del edificio con el motor de cálculo de referencia EnergyPlus en su versión 9.1, en la cual, hora por hora, se ha realizado el cálculo de la distribución de las demandas energéticas a satisfacer en cada zona del modelo térmico para mantener las condiciones operacionales definidas, determinando, para cada equipo técnico, su punto de trabajo, la energía útil aportada y la energía final consumida, desglosando el consumo energético por equipo, servicio técnico y vector energético utilizado.

El cálculo de la energía primaria que corresponde a la energía final consumida por los servicios técnicos del edificio, teniendo en cuenta la contribución de la energía producida in situ, se

realiza mediante el programa CTE-EPBD que es un software integrado en CYPETHERM HE PLUS, desarrollado por IETcc-CSIC en el marco del convenio junto al Ministerio de Fomento, que implementa la metodología de cálculo de la eficiencia energética de los edificios que se describe en la norma EN ISO 52000-1:2017.

La metodología descrita, considera los aspectos recogidos en el apartado 4.1 del CTE DB HEO.

c) Factores empleados para la conversión de energía final a energía primaria

Los factores de conversión de energía final a energía primaria procedente de aquellas fuentes de tipo renovables y no renovables corresponden a los publicados en el Documento Reconocido del Reglamento de Instalaciones Térmicas en lo Edificios (RITE) “Factores de emisión de CO₂ y coeficientes de paso a energía primaria de diferentes fuentes de energía final consumidas en el sector de edificios en España”, conforme al apartado 4.1.5 del CTE DB HEO. Los valores empleados se han obtenido a través del programa CTE EPBD.

Para las fuentes de energía utilizadas en el edificio que no se encuentran definidas en dicho documento, se han considerado los factores de conversión correspondientes a los vectores energéticos “Red 1 y Red 2”.

Vector energético	f _{cep,nren}	f _{cep,ren}
Medioambiente	0	1.000
Gas natural	1.190	0.005
Electricidad producida in situ	0	1.000
Electricidad obtenida de la red	1.954	0.414

donde:

$f_{cep,nren}$: Factor de conversión de energía final a energía primaria procedente de fuentes no renovables.

$f_{cep,ren}$: Factor de conversión de energía final a energía primaria procedente de fuentes renovables.

d) Consumo energético de los distintos servicios técnicos

A continuación, se muestra el consumo anual de energía final, energía primaria y energía no renovable correspondiente a los distintos servicios técnicos del edificio. Los consumos de los servicios de calefacción y refrigeración incluyen el consumo eléctrico de los equipos auxiliares de los sistemas de climatización.

Servicios técnicos	EF		EP _{tot}		EP _{nren}	
	(kWh/año)	(kWh/m ² ·año)	(kWh/año)	(kWh/m ² ·año)	(kWh/año)	(kWh/m ² ·año)
Calefacción	44009.47	20.85	48357.30	22.91	3782.96	1.79
Refrigeración	6339.37	3.00	7361.15	3.49	1460.83	0.69
ACS	30311.25	14.36	31652.74	14.99	1914.70	0.91
Ventilación	12426.86	5.89	14433.09	6.84	2864.66	1.36
Iluminación	19094.11	9.04	22176.34	10.51	4401.49	2.09
	112181.07	53.14	123978.51	58.73	14424.65	6.83

donde:

- S_u:* Superficie útil habitable incluida en la envolvente térmica, m².
- EF:* Energía final consumida por el servicio técnico en punto de consumo.
- EP_{tot}:* Consumo de energía primaria total.
- EP_{nren}:* Consumo de energía primaria de origen no renovable.

ñ

e) Demanda energética de calefacción, refrigeración y ACS

La demanda energética del edificio que debe satisfacerse en el cálculo realizado del consumo de energía primaria, aquella magnitud de control conforme a la exigencia de limitación del consumo energético HE0, es la correspondiente a la suma de la energía demandada de calefacción, la energía demandada de refrigeración y la demanda de ACS para el edificio en cuestión teniendo en cuenta las condiciones operacionales definidas.

La demanda energética correspondiente a los servicios de agua caliente sanitaria de las zonas habitables del edificio se determina conforme a las indicaciones del apartado 4.1.8 del CTE DB HE0.

El salto térmico que se ha utilizado en el cálculo de la energía térmica necesaria se realiza entre una temperatura de referencia definida en la zona, y la temperatura del agua de red en el emplazamiento del edificio proyectado, de valores:

	Ene (°C)	Feb (°C)	Mar (°C)	Abr (°C)	May (°C)	Jun (°C)	Jul (°C)	Ago (°C)	Sep (°C)	Oct (°C)	Nov (°C)	Dic (°C)
Temperatura del agua de red	7.0	8.0	9.0	11.0	14.0	17.0	19.0	19.0	16.0	13.0	9.0	7.0

A continuación, se muestran los resultados del cálculo de la demanda energética de ACS para cada zona habitable del edificio, junto con las demandas diarias.

Zonas habitables	Q _{ACS} (l/día)	T _{ref} (°C)	S _u (m ²)	D _{ACS} (kWh/año)	D _{ACS} (kWh/m ² ·año)
Climatización agua	666.7	60.0	662.61	14313.65	21.60

Zonas habitables	Q_{ACS} (l/día)	T_{ref} (°C)	S_u (m ²)	D_{ACS} (kWh/año)	D_{ACS} (kWh/m ² ·año)
Climatización autónomos	666.7	60.0	138.47	14313.65	103.37
Habitable no acondicionado	666.7	60.0	123.70	14313.65	115.72
	2000.0		924.78	42940.94	46.43

donde:

Q_{ACS} : Caudal diario demandado de agua caliente sanitaria, l/día.

T_{ref} : Temperatura de referencia, °C.

S_u : Superficie útil de la zona habitable, m².

D_{ACS} : Demanda energética correspondiente al servicio de agua caliente sanitaria incluyendo pérdidas por acumulación, distribución y recirculación, kWh/m²·año.

La demanda energética de calefacción y refrigeración del edificio se obtiene mediante el procedimiento de cálculo descrito anteriormente, determinando para cada hora del día y para todos los días el consumo energético de un sistema ideal con potencia instantánea e infinita con rendimiento unitario.

Se muestran los resultados obtenidos en el cálculo de la demanda energética de calefacción y refrigeración de cada zona habitable, junto a la demanda total del edificio.

Zonas habitables	S_u (m ²)	D_{cal} (kWh/año)	D_{cal} (kWh/m ² ·año)	D_{ref} (kWh/año)	D_{ref} (kWh/m ² ·año)
Climatización agua	662.61	8866.02	13.38	12831.02	19.36
Climatización autónomos	138.47	3469.19	25.05	2668.38	19.27
Habitable no acondicionado	123.70	--	--	--	--
	924.78	12335.21	13.34	15499.41	16.76

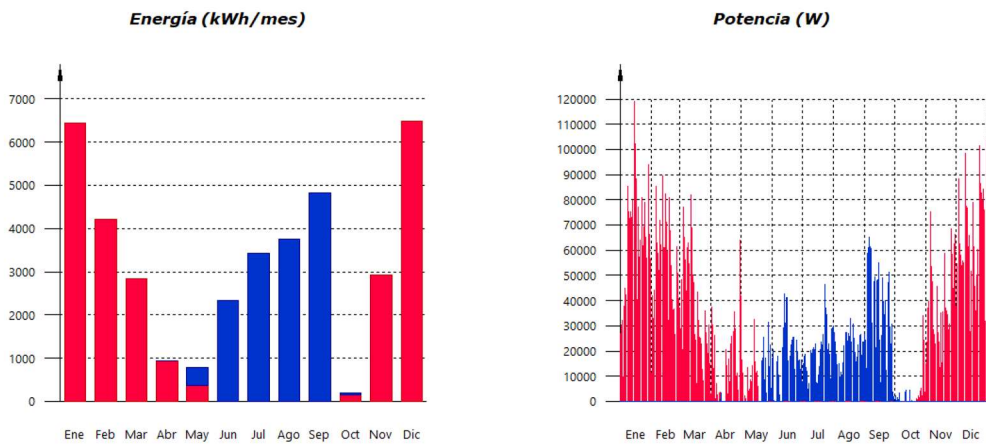
donde:

S_u : Superficie útil de la zona habitable, m².

D_{cal} : Valor calculado de la demanda energética de calefacción, kWh/año.

D_{ref} : Valor calculado de la demanda energética de refrigeración, kWh/m²·año.

Atendiendo únicamente a la demanda energética a cubrir por los sistemas de calefacción y refrigeración, las necesidades energéticas y necesidades de potencia útil instantánea a lo largo de la simulación anual se muestran a continuación:



f) Número de horas fuera de consigna y valor límite aplicable

En este apartado se muestran con detalle el número de horas en las que la temperatura del aire de los espacios habitables acondicionados del edificio se sitúa, durante los períodos de ocupación, fuera del rango de temperaturas de consigna de calefacción o de refrigeración, con un margen superior a 1°C para calefacción y 1°C para refrigeración. Se considera que el edificio se encuentra fuera de consigna cuando cualquiera de dichos espacios lo está.

$$h_{fc} = 5.25 \text{ h/año} \leq 0.04 \cdot t_{occ} = 74.16 \text{ h/año}$$

donde:

- h_{fc} : Horas fuera de consigna del edificio al año, h/año.
- t_{occ} : Tiempo total de ocupación del edificio al año, h/año.



g) Energía producida y aportación de energía procedente de fuentes renovables

Se realiza una aportación de energía procedente de fuentes renovables:

- Energía eléctrica producida in situ.
- Energía térmica producida in situ.

A continuación, se describe brevemente los sistemas productores de energía:

- Energía eléctrica: Se considera un campo solar fotovoltaico de 23 kWp instalados, con una producción anual aproximada de unos 39275 kWh. Dicho campo solar se ubicará dentro del terreno que está anexo al Colegio objeto de estudio, y una posible disposición de los captadores podría ser 46 paneles de 500 Wp. Para conocer los detalles de la instalación es necesario realizar un estudio más detallado.

Sistema de producción	Origen	Ene (kWh)	Feb (kWh)	Mar (kWh)	Abr (kWh)	May (kWh)	Jun (kWh)
Solar fotovoltaica 23 kWp instalados Renovable		2543.1	2697.6	3430.8	3526.6	3662.0	3689.0
TOTAL		2543.1	2697.6	3430.8	3526.6	3662.0	3689.0

Sistema de producción	Origen	Jul (kWh)	Ago (kWh)	Sep (kWh)	Oct (kWh)	Nov (kWh)	Dic (kWh)	Año (kWh)
Solar fotovoltaica 23 kWp instalados Renovable		4003.5	3964.0	3540.2	3170.5	2524.3	2523.3	39274.9
TOTAL		4003.5	3964.0	3540.2	3170.5	2524.3	2523.3	39274.9

- Energía térmica: Se considera que se disponen en la cubierta del edificio 16 captadores solares cuya capacidad total anual de producción sea unos 30058 KWh, que se corresponde al 70% del porcentaje de demanda de ACS total del edificio.

Sistema de producción	Servicio	Ene (kWh)	Feb (kWh)	Mar (kWh)	Abr (kWh)	May (kWh)	Jun (kWh)
Energía térmica renovable	ACS	2869.5	2544.0	2710.7	2559.9	2486.5	2252.7
TOTAL		2869.5	2544.0	2710.7	2559.9	2486.5	2252.7

Sistema de producción	Servicio	Jul (kWh)	Ago (kWh)	Sep (kWh)	Oct (kWh)	Nov (kWh)	Dic (kWh)	Año (kWh)
Energía térmica renovable	ACS	2169.0	2169.0	2252.7	2552.0	2623.3	2869.5	30058.7
TOTAL		2169.0	2169.0	2252.7	2552.0	2623.3	2869.5	30058.7

h) Sistemas empleados y rendimientos considerados

En el punto 4.1 se han detallado los sistemas empleados, así como los rendimientos considerados. Se realiza un resumen de dicho punto:

SISTEMA	EQUIPO	RENDIMIENTO
ACS	Daikin ERWQ02AV3 + EKHP300A2V3	2.5
PLANTA ENFRIADORA	Trane modelo CGCM 025	2.46
CALDERA CONDENSACIÓN	VITODENNS 120KW-200W	0.98
SISTEMA VRV	GREE, MODELO U-MATCH	4.0/ 6.1

RECUPERADOR ENTÁLPICO	GREE ERV	0.77
--------------------------	----------	------

1.4.3. Justificación del cumplimiento del DB-HE1 del CTE DB-HE 2019

El edificio objeto del presente documento es un edificio de nueva construcción, por lo que según el punto 1 “Ámbito de aplicación del DB-HE1: condiciones para el control de la demanda energética, es de aplicación esta sección.

1.4.3.1 Coeficiente global de transmisión de calor a través de la envolvente térmica

Se define como compacidad (V/A) como la relación entre el volumen encerrado por la envolvente térmica (V) del edificio (o parte del edificio) y la suma de las superficies de intercambio térmico con el aire exterior o el terreno de dicha envolvente térmica. En el caso estudiado el valor de la compacidad es de 2.6 m³/m².

	S (m ²)	V (m ³)	V _{inf} (m ³)	Q _{sol,jul} (kWh/mes)	n ₅₀ (h ⁻¹)	q _{sol,jul} (kWh/m ² /mes)	V/A (m ³ /m ²)
Climatización agua	662.61	3026.61	2716.72	1843.70	2.652	-	-
Climatización autónomos	138.47	670.07	567.72	319.50	3.112	-	-
Habitable no acondicionado	123.70	575.22	502.46	62.57	4.191	-	-
No habitable	--	468.92	417.49	97.64	4.648	-	-
Envolvente térmica	924.78	4740.82	4204.39	2323.42	3.1	2.51	2.6

donde:

S: Superficie útil interior, m².

V: Volumen interior, m³.

V_{inf}: Volumen interior para el cálculo de las infiltraciones, m³.

Q_{sol,jul}: Ganancias solares para el mes de julio de los huecos pertenecientes a la envolvente térmica, con sus protecciones solares móviles activadas, kWh/mes.

n₅₀: Relación del cambio de aire con una presión diferencial de 50 Pa, h⁻¹.

q_{sol,jul}: Control solar, kWh/m²/mes.

V/A: Compacidad (relación entre el volumen encerrado y la superficie de intercambio con el exterior), m³/m².

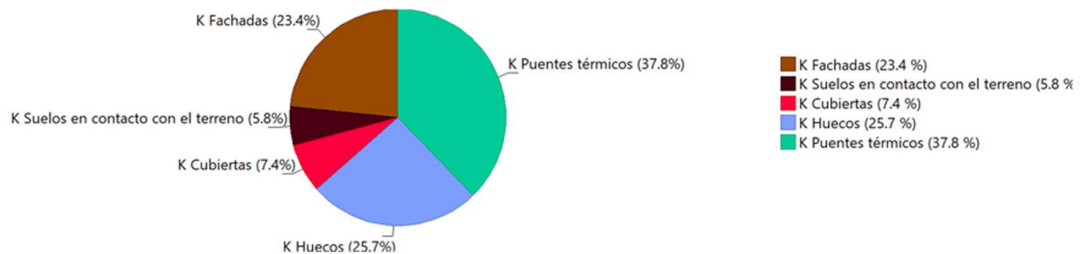
Con este valor de compacidad, y realizando una interpolación, se obtiene el valor límite del coeficiente global de transmisión de calor a través de la envolvente térmica, Klim (W/m²K) de la tabla 3.1.1.c-HE1, que es de 0,62 W/m²K.

Los resultados que muestra el software CYPETHERM HE Plus, muestran que nuestro edificio tiene un coeficiente de transmitancia térmica global de 0,62 W/(m².K),

$$K = 0.62 \text{ W/(m}^2\cdot\text{K}) \leq K_{lim} = 0.62 \text{ W/(m}^2\cdot\text{K})$$

Con este valor vemos que el edificio de estudio cumple con el valor de la transmitancia térmica.

En el siguiente gráfico se muestra el porcentaje que supone cada elemento en el coeficiente global:



- Los cerramientos opacos suponen el 36,52% del coeficiente global de transmisión de calor a través de la envolvente térmica (K).
- Los huecos suponen el 25,69% del coeficiente global de transmisión de calor a través de la envolvente térmica (K).
- Los puentes térmicos suponen el 37,79% del coeficiente global de transmisión de calor a través de la envolvente térmica (K).

1.4.3.2 Control solar de la envolvente térmica

Definimos como control solar (QSOL, JUL) como la relación entre las ganancias solares para el mes de Julio, (QSOL, JUL) de los huecos pertenecientes a la envolvente térmica con sus protecciones solares móviles activadas, y la superficie útil de los espacios incluidos dentro de la envolvente térmica (A útil). El parámetro de control solar no superará el valor límite de la siguiente tabla 3.1.2-HE1, que para usos distintos al residencial privado es de 4 kWh/m².mes.

$$qsol,jul = 2.51 \text{ kWh/m}^2 \leq qsol,jul_lim = 4.00 \text{ kWh/m}^2$$

donde:

qsol,jul: Valor calculado del parámetro de control solar, kWh/m².

qsol,jul_lim: Valor límite del parámetro de control solar, kWh/m².

a) Valores límite de los parámetros de la envolvente térmica

El valor de la transmitancia térmica (U) de cada elemento perteneciente a la envolvente térmica no superará el valor límite (U_{lim}) de la tabla 3.1.1.a-HE1:

Tabla 3.1.1.a - HE1 Valores límite de transmitancia térmica, U_{lim} [W/m²K]

Elemento	Zona climática de invierno					
	α	A	B	C	D	E
Muros y suelos en contacto con el aire exterior (U_s, U_m)	0,80	0,70	0,56	0,49	0,41	0,37
Cubiertas en contacto con el aire exterior (U_c)	0,55	0,50	0,44	0,40	0,35	0,33
Muros, suelos y cubiertas en contacto con espacios no habitables o con el terreno (U_f)	0,90	0,80	0,75	0,70	0,65	0,59
Medianerías o particiones interiores pertenecientes a la envolvente térmica (U_{MD})	0,90	0,80	0,75	0,70	0,65	0,59
Huecos (conjunto de marco, vidrio y, en su caso, cajón de persiana) (U_h *)	3,2	2,7	2,3	2,1	1,8	1,80
Puertas con superficie semitransparente igual o inferior al 50%					5,7	

Los elementos que forman la envolvente térmica se han descrito en el punto 4.1 del presente documento. A continuación, se muestran los valores resumidos:

- SOLERA Transmitancia térmica, U : 0,19 W/(m².K)
- FACHADA Transmitancia térmica, U : 0,30 W/(m².K)
- HUECOS Transmitancia térmica, U : 1,08 W/(m².K)
- CUBIERTA Transmitancia térmica, U : 0,25 W/(m².K)

Para concluir:

Transmitancia de la envolvente térmica: Ninguno de los elementos de la envolvente térmica (elementos opacos) supera el valor límite de transmitancia térmica descrito en la tabla 3.1.1.a del DB HE1.

1.4.3.3 Caracterización geométrica, constructiva e higrotérmica de los elementos afectados por la comprobación de la limitación de descompensaciones, así como sus valores límite.

La transmitancia térmica de las particiones interiores no superará el valor de la tabla 3.2-HE1, en función del uso asignado a las distintas unidades de uso que delimiten:

Tabla 3.2 - HE1 Transmitancia térmica límite de particiones interiores, U_{lim} [W/m²K]

	Tipo de elemento	Zona climática de invierno					
		α	A	B	C	D	E
Entre unidades del mismo uso	Particiones horizontales	1,90	1,80	1,55	1,35	1,20	1,00
	Particiones verticales	1,40	1,40	1,20	1,20	1,20	1,00
Entre unidades de distinto uso Entre unidades de uso y zonas comunes	Particiones horizontales y verticales	1,35	1,25	1,10	0,95	0,85	0,70

El edificio tiene una única unidad de uso , por lo cual tendremos dos elementos que formaran las particiones interiores, estas deben cumplir con el valor de transmitancia térmica límite:

- Forjado entre plantas

$$U_f = 1.15 \text{ W/m}^2\text{K} < U_{lim} = 1.20 \text{ W/m}^2\text{K}$$

- tabiquería interior

$$U_t = 1.06 \text{ W/m}^2\text{K} < U_{lim} = 1.20 \text{ W/m}^2\text{K}$$

Este valor será inferior al valor límite de transmitancia, con lo cual cumpliríamos la normativa.

1.4.3.4 Caracterización de los elementos que componen la envolvente térmica

En el apartado 4.1, hemos definido constructivamente los elementos de la envolvente térmica y a continuación se exponen el resto de los parámetros para la justificación de la exigencia:

- Cerramientos opacos

Los cerramientos opacos supondrán el 36,52% del coeficiente global de transmisión de calor a través de la envolvente térmica (K).

Tipo	S (m²)	U (W/(m²·K))	U_{lim} (W/(m²·K))	a	O. (°)	S·U (W/K)
Climatización agua						
Fachada	148.22	0.30	0.41	0.40	Sur(180)	44.47 ✓
Fachada	219.26	0.30	0.41	0.40	Norte(0)	65.79 ✓
Fachada	71.43	0.30	0.41	0.40	Este(90)	21.43 ✓
Fachada	25.69	0.30	0.41	0.40	Oeste(270)	7.71 ✓
Cubierta	216.77	0.25	0.35	0.60	-	53.95 ✓
Solera	229.08	0.19	0.65	-	-	43.74 ✓
						237.10
Tipo	S (m²)	U (W/(m²·K))	U_{lim} (W/(m²·K))	a	O. (°)	S·U (W/K)
Climatización autónomos						
Fachada	75.30	0.30	0.41	0.40	Norte(0)	22.59 ✓
Fachada	31.52	0.30	0.41	0.40	Oeste(270)	9.46 ✓
Cubierta	60.89	0.25	0.35	0.60	-	15.16 ✓
Solera	16.68	0.19	0.65	-	-	3.19 ✓
						50.39
Tipo	S (m²)	U (W/(m²·K))	U_{lim} (W/(m²·K))	a	O. (°)	S·U (W/K)
Habitable no acondicionado						
Fachada	29.41	0.30	0.41	0.40	Oeste(270)	8.82 ✓
Fachada	50.48	0.30	0.41	0.40	Sur(181)	15.15 ✓
Fachada	24.03	0.30	0.41	0.40	Este(91)	7.21 ✓
Fachada	48.37	0.30	0.41	0.40	Sur(180)	14.51 ✓
Fachada	5.94	0.30	0.41	0.40	Este(90)	1.78 ✓
Fachada	4.96	0.30	0.41	0.40	Oeste(269)	1.49 ✓
Fachada	11.36	0.30	0.41	0.40	Norte(0)	3.41 ✓
Cubierta	25.80	0.25	0.35	0.60	-	6.42 ✓
Solera	67.48	0.19	0.65	-	-	12.89 ✓
						71.68

Tipo	S (m ²)	U (W/(m ² ·K))	U _{lim} (W/(m ² ·K))	a	O. (°)	S·U (W/K)
No habitable						
Fachada	12.66	0.21 (b = 0.71)	0.41	0.40	Oeste(270)	3.80 ✓
Fachada	24.03	0.21 (b = 0.71)	0.41	0.40	Sur(180)	7.21 ✓
Fachada	11.03	0.17 (b = 0.56)	0.41	0.40	Sur(180)	3.31 ✓
Fachada	5.23	0.11 (b = 0.35)	0.41	0.40	Sur(180)	1.57 ✓
Fachada	12.66	0.23 (b = 0.76)	0.41	0.40	Oeste(270)	3.80 ✓
Fachada	15.07	0.23 (b = 0.76)	0.41	0.40	Sur(180)	4.52 ✓
Fachada	12.66	0.22 (b = 0.75)	0.41	0.40	Oeste(270)	3.80 ✓
Fachada	15.07	0.22 (b = 0.75)	0.41	0.40	Sur(180)	4.52 ✓
Fachada	11.03	0.18 (b = 0.60)	0.41	0.40	Sur(180)	3.31 ✓
Fachada	3.76	0.30	0.41	0.40	Oeste(270)	1.13 ✓
Fachada	8.08	0.30	0.41	0.40	Sur(180)	2.43 ✓
Fachada	9.91	0.30	0.41	0.40	Norte(0)	2.97 ✓
Fachada	3.76	0.30	0.41	0.40	Este(90)	1.13 ✓
Cubierta	17.45	0.19 (b = 0.75)	0.35	0.60	-	4.34 ✓
Cubierta	12.83	0.15 (b = 0.60)	0.35	0.60	-	3.19 ✓
Cubierta	3.64	0.25	0.35	0.60	-	0.91 ✓
Solera	25.31	0.14 (b = 0.71)	0.65	-	-	4.83 ✓
Solera	2.74	0.07 (b = 0.35)	0.65	-	-	0.52 ✓
Solera	3.37	0.03 (b = 0.16)	0.65	-	-	0.64 ✓
						57.95

donde:

S: Superficie, m².

U: Transmitancia térmica, W/(m²·K).

U_{lim}: Transmitancia térmica límite aplicada, W/(m²·K).

b: Coeficiente de reducción de temperatura.

a: Coeficiente de absorción solar (absortividad) de la superficie opaca.

O.: Orientación de la superficie (azimut respecto al norte), °.

- Huecos

Los huecos suponen el 25,69% del coeficiente global de transmisión de calor a través de la envolvente térmica (K).

	S (m ²)	O. (°)	F _F (%)	U (W/(m ² ·K))	U _{lim} (W/(m ² ·K))	S·U (W/K)	g _{gl,n}	g _{gl,sh,wi}	Q _{sol,jul} (kWh/mes)	%q _{sol,jul}
Climatización agua										
V2 (395-400)	9.13	Norte(0)	0.11	1.08	1.80	9.88	0.57	0.51	203.41	8.75 ✓
V2 (245-250)	5.73	Norte(0)	0.13	1.08	1.80	6.18	0.56	0.51	117.36	5.05 ✓
V1 (200-205)	3.60	Norte(0)	0.14	1.08	1.80	3.88	0.55	0.05	6.77	0.29 ✓
V1 (200-205)	3.60	Sur(180)	0.14	1.08	1.80	3.88	0.55	0.05	7.80	0.34 ✓
V2 (400-405)	9.20	Este(90)	0.11	1.08	1.80	9.96	0.57	0.05	47.54	2.05 ✓
V2 (400-405)	9.20	Este(90)	0.11	1.08	1.80	9.96	0.57	0.05	47.54	2.05 ✓
V1 (150-155)	2.70	Norte(0)	0.18	1.07	1.80	2.89	0.53	0.51	46.09	1.98 ✓
V1 (150-155)	2.70	Norte(0)	0.18	1.07	1.80	2.89	0.53	0.51	46.07	1.98 ✓

	S (m ²)	O. (°)	F _F (%)	U (W/(m ² ·K))	U _{lim} (W/(m ² ·K))	S·U (W/K)	g _{gl,a}	g _{gl,sh,wi}	Q _{sol,jul} (kWh/mes)	%Q _{sol,jul}
V1 (150-155)	2.70	Norte(0)	0.18	1.07	1.80	2.89	0.53	0.51	46.06	1.98 ✓
V1 (150-155)	2.70	Norte(0)	0.18	1.07	1.80	2.89	0.53	0.51	46.09	1.98 ✓
V1 (400-405)	7.20	Oeste(270)	0.11	1.08	1.80	7.79	0.57	0.05	29.87	1.29 ✓
V1 (350-355)	6.30	Sur(180)	0.11	1.08	1.80	6.82	0.57	0.05	17.74	0.76 ✓
V2 (395-400)	9.13	Norte(0)	0.11	1.08	1.80	9.88	0.57	0.51	203.44	8.76 ✓
V1 (200-205)	3.60	Norte(0)	0.14	1.08	1.80	3.88	0.55	0.05	6.77	0.29 ✓
V1 (200-205)	3.60	Sur(180)	0.14	1.08	1.80	3.88	0.55	0.05	7.90	0.34 ✓
V2 (400-405)	9.20	Este(90)	0.11	1.08	1.80	9.96	0.57	0.05	47.54	2.05 ✓
V2 (400-405)	9.20	Este(90)	0.11	1.08	1.80	9.96	0.57	0.05	47.54	2.05 ✓
V2 (230-235)	5.29	Sur(180)	0.13	1.08	1.80	5.71	0.56	0.05	13.06	0.56 ✓
V1 (150-155)	2.70	Norte(0)	0.18	1.07	1.80	2.89	0.53	0.51	46.09	1.98 ✓
V1 (150-155)	2.70	Norte(0)	0.18	1.07	1.80	2.89	0.53	0.51	46.08	1.98 ✓
V1 (150-155)	2.70	Norte(0)	0.18	1.07	1.80	2.89	0.53	0.51	46.06	1.98 ✓
V2 (245-250)	5.73	Norte(0)	0.13	1.08	1.80	6.18	0.56	0.51	117.39	5.05 ✓
V1 (350-355)	6.30	Sur(180)	0.11	1.08	1.80	6.82	0.57	0.05	17.64	0.76 ✓
V2 (395-400)	9.13	Norte(0)	0.11	1.08	1.80	9.88	0.57	0.51	203.44	8.76 ✓
V1 (200-205)	3.60	Norte(0)	0.14	1.08	1.80	3.88	0.55	0.05	6.77	0.29 ✓
V1 (200-205)	3.60	Sur(180)	0.14	1.08	1.80	3.88	0.55	0.05	7.90	0.34 ✓
V2 (400-405)	9.20	Este(90)	0.11	1.08	1.80	9.96	0.57	0.05	47.54	2.05 ✓
V2 (400-405)	9.20	Este(90)	0.11	1.08	1.80	9.96	0.57	0.05	47.54	2.05 ✓
V2 (230-235)	5.29	Sur(180)	0.13	1.08	1.80	5.71	0.56	0.05	13.06	0.56 ✓
V1 (150-155)	2.70	Norte(0)	0.18	1.07	1.80	2.89	0.53	0.51	46.09	1.98 ✓
V1 (150-155)	2.70	Norte(0)	0.18	1.07	1.80	2.89	0.53	0.51	46.08	1.98 ✓
V1 (150-155)	2.70	Norte(0)	0.18	1.07	1.80	2.89	0.53	0.51	46.06	1.98 ✓
V2 (245-250)	5.73	Norte(0)	0.13	1.08	1.80	6.18	0.56	0.51	117.39	5.05 ✓
193.00										193.00
1843.70										1843.70
79.35										79.35

	S (m ²)	O. (°)	F _F (%)	U (W/(m ² ·K))	U _{lim} (W/(m ² ·K))	S·U (W/K)	g _{gl,a}	g _{gl,sh,wi}	Q _{sol,jul} (kWh/mes)	%Q _{sol,jul}
Climatización autónomos										
V1 (150-155)	2.70	Norte(0)	0.18	1.07	1.80	2.89	0.53	0.51	46.09	1.98 ✓
V1 (150-155)	2.70	Norte(0)	0.18	1.07	1.80	2.89	0.53	0.51	46.09	1.98 ✓
V1 (150-155)	2.70	Norte(0)	0.18	1.07	1.80	2.89	0.53	0.51	46.11	1.98 ✓
V1 (400-405)	7.20	Oeste(270)	0.11	1.08	1.80	7.79	0.57	0.05	29.87	1.29 ✓
V1 (350-355)	6.30	Norte(0)	0.11	1.08	1.80	6.82	0.57	0.05	14.62	0.63 ✓
V1 (150-155)	2.70	Norte(0)	0.18	1.07	1.80	2.89	0.53	0.51	46.09	1.98 ✓
V1 (150-155)	2.70	Norte(0)	0.18	1.07	1.80	2.89	0.53	0.51	46.11	1.98 ✓
V1 (400-405)	7.20	Oeste(270)	0.11	1.08	1.80	7.79	0.57	0.05	29.87	1.29 ✓
V1 (350-355)	6.30	Norte(0)	0.11	1.08	1.80	6.82	0.57	0.05	14.62	0.63 ✓
43.69										43.69
319.50										319.50
13.75										13.75
Habitable no acondicionado										
V2 (175-180)	4.02	Sur(180)	0.60	1.00	1.80	4.04	0.27	0.51	49.51	2.13 ✓

	S (m ²)	O. (°)	F _F (%)	U (W/(m ² ·K))	U _{lim} (W/(m ² ·K))	S·U (W/K)	g _{gl,a}	g _{gl,sh,ni}	Q _{sol,jul} (kWh/mes)	%q _{sol,jul}
P2	1.83	Norte(0)	1.00	2.20	5.70	4.02	0	0	0	0 ✓
V2 (230-235)	5.29	Sur(180)	0.13	1.08	1.80	5.71	0.56	0.05	13.06	0.56 ✓
13.77									62.57	2.69

	S (m ²)	O. (°)	F _F (%)	U (W/(m ² ·K))	U _{lim} (W/(m ² ·K))	S·U (W/K)	g _{gl,a}	g _{gl,sh,ni}	Q _{sol,jul} (kWh/mes)	%q _{sol,jul}
No habitable										
V2 (350-355)	8.05	Sur(180)	0.11	0.77 (b = 0.71)	1.80	8.71	0.57	0.05	21.14	0.91 ✓
V1 (330-335)	5.94	Sur(180)	0.14	0.6 (b = 0.56)	1.80	6.40	0.55	0.05	17.11	0.74 ✓
V2 (350-355)	8.05	Sur(180)	0.11	0.82 (b = 0.76)	1.80	8.71	0.57	0.05	21.14	0.91 ✓
V2 (350-355)	8.05	Sur(180)	0.11	0.81 (b = 0.75)	1.80	8.71	0.57	0.05	21.14	0.91 ✓
V1 (330-335)	5.94	Sur(180)	0.14	0.64 (b = 0.60)	1.80	6.40	0.55	0.05	17.11	0.74 ✓
P2	1.83	Sur(180)	1.00	2.20	5.70	4.02	0	0	0	0 ✓
42.96									97.64	4.20

donde:

S: Superficie, m².

O.: Orientación de la superficie (azimut respecto al norte), °.

F_F: Fracción de parte opaca, %.

U: Transmitancia térmica, W/(m²·K).

U_{lim}: Transmitancia térmica límite aplicada, W/(m²·K).

b: Coeficiente de reducción de temperatura.

g_{gl}: Factor solar.

g_{gl,sh,ni}: Transmitancia total de energía solar del hueco, con los dispositivos de sombra móviles activados.

Q_{sol,jul}: Ganancia solar para el mes de julio con las protecciones solares móviles activadas, kWh/mes.

%q_{sol,jul}: Repercusión en el parámetro de control solar de la envolvente térmica, %.

1.4.3.5 Puentes térmicos

En el documento de apoyo al DB-HE de ahorro de energía (DA DB-HE/3) recoge unos valores aproximados de la transmitancia térmica lineal, para las soluciones constructivas más comunes. Se han considerado lo siguiente en la configuración de los puentes térmicos:

- La alineación del marco con respecto del hueco del cerramiento se produce a la cara interior.
- El aislamiento del cerramiento llegará hasta el marco del hueco.
- El frente de forjado se considera que tiene aislamiento, se propone uno del tipo grupo Valero “Grafiplor Frente de forjado”.



- Se consideran los puentes térmicos de pilares integrados en fachada, sin continuidad de aislamiento.
- Se toman los valores por defecto de la transmitancia del puente térmico, según el Atlas de puentes térmicos DA DB-HE-3.

Los puentes térmicos suponen el 37,79% del coeficiente global de transmisión de calor a través de la envolvente térmica (K).

	Tipo	L (m)	Y (W/(m·K))	L·Y (W/K)
Climatización agua				
Hueco de ventana		85.985	0.080	6.9
Hueco de ventana		132.800	0.009	1.1
Hueco de ventana		85.985	0.119	10.2
Encuentro de fachada con solera		55.166	0.346	19.1
Esquina entrante de fachadas		16.400	-0.080	-1.3
Esquina saliente de fachadas		28.700	0.060	1.7
Encuentro de fachada con forjado		204.071	0.064	13.0
Pilar		151.700	1.193	180.9
Encuentro de fachada con cubierta		51.051	0.241	12.3
				243.9

	Tipo	L (m)	Y (W/(m·K))	L·Y (W/K)
Climatización autónomos				
Hueco de ventana		22.500	0.080	1.8
Hueco de ventana		32.400	0.009	0.3
Hueco de ventana		22.500	0.119	2.7
Encuentro de fachada con solera		2.980	0.346	1.0
Encuentro de fachada con forjado		52.405	0.064	3.3
Pilar		36.900	1.193	44.0
Esquina saliente de fachadas		8.200	0.060	0.5
Encuentro de fachada con cubierta		16.475	0.241	4.0
				57.6

	Tipo	L (m)	Y (W/(m·K))	L·Y (W/K)
Habitable no acondicionado				
Encuentro de fachada con solera		20.699	0.346	7.2
Esquina entrante de fachadas		45.100	-0.080	-3.6
Esquina saliente de fachadas		45.600	0.060	2.7
Encuentro de fachada con forjado		52.214	0.064	3.3
Pilar		42.400	1.193	50.6
Encuentro de fachada con cubierta		19.396	0.241	4.7
Hueco de ventana		4.050	0.080	0.3
Hueco de ventana		9.200	0.009	0.1
Hueco de ventana		4.050	0.119	0.5
				65.7

	Tipo	L (m)	Y (W/(m·K))	L·Y (W/K)
No habitable				
Hueco de ventana		17.100	0.080	1.4
Hueco de ventana		21.000	0.009	0.2
Hueco de ventana		17.100	0.119	2.0
Encuentro de fachada con solera		12.189	0.346	4.2
Esquina saliente de fachadas		25.100	0.060	1.5
Encuentro de fachada con forjado		50.197	0.064	3.2
Pilar		39.200	1.193	46.7
Encuentro de fachada con cubierta		21.417	0.241	5.2
				64.4

donde:

L: Longitud, m.

Y: Transmitancia térmica lineal, W/(m·K).

1.4.3.6 Relación del cambio de aire con una presión diferencial de 50Pa (N50)

Puesto que nuestro edificio objeto de análisis tiene un uso distinto al residencial privado, no es necesario que determinemos el valor de la relación del cambio de aire a 50 Pa, n50.

1.4.3.7 Verificación del cumplimiento de la exigencia de limitación de condensaciones

Para comprobar si se producen condensaciones intersticiales en la envolvente térmica del edificio, fijamos las condiciones para el cálculo a partir de la localidad de ubicación del edificio. Sirviéndonos de guía el documento de apoyo DB-HE2 y con la ayuda de una hoja Excel creada, se analiza si se producen condensaciones intersticiales en la fachada y en la cubierta.

El programa de cálculo empleado (CypeTherm HEPlus) realiza un análisis más detallado de las condensaciones según la norma UNE-EN-ISO 13788 y se adjunta en los anejos de este proyecto.

1.4.4 Justificación del cumplimiento del DB-HE4

1.4.4.1 Contribución de energía renovable para cubrir la demanda de agua caliente sanitaria.

$$RER_{ACS,nrb} = 97.1\% \geq RER_{ACS,nrb,lim} = 60\%$$



donde:

$RER_{ACS,nrb}$: Valor calculado de la contribución de energía renovable para satisfacer la demanda de agua caliente sanitaria, %.

$RER_{ACS,nrb,lim}$: Valor límite de la contribución de energía renovable para satisfacer la demanda de agua caliente sanitaria (sección 3.1.1, CTE DB HE 4), %.

1.4.4.2 Demanda de ACS

El edificio objeto del proyecto se sitúa en la localidad de Campo de Criptana, una provincia de Ciudad Real, cuya elevación sobre el nivel de mar es de 707 m. Conforme al anexo B del CTE DB HE, le corresponde una zona climática D3, y zona climática cálida de acuerdo a lo que establece la Decisión de la Comisión 2013/114/EU.

La demanda ACS (agua caliente sanitaria), del edificio se calcula de acuerdo al anexo F del CTE DB HE, en el cual se incluyen las pérdidas térmicas por distribución, acumulación y recirculación.

EDIFICIO ($S_u = 924,7 \text{ m}^2$)

	Ene (kWh)	Feb (kWh)	Mar (kWh)	Abr (kWh)	May (kWh)	Jun (kWh)	Jul (kWh)	Ago (kWh)	Sep (kWh)	Oct (kWh)	Nov (kWh)	Dic (kWh)	Año (kWh/año)	Año (kWh/m ² ·año)
D _{ACS}	3849.6	3412.0	3633.6	3430.2	3328.6	3012.2	2896.6	2896.6	3012.2	3417.7	3516.4	3849.6	40255.4	43.5
Q _{acum*}	57.1	51.6	57.1	55.3	57.1	55.3	57.1	57.1	55.3	57.1	55.3	57.1	672.8	0.7
Q _{dist}	192.5	170.6	181.7	171.5	166.4	150.6	144.8	144.8	150.6	170.9	175.8	192.5	2012.8	2.2
D _{ACS,total}	4099.2	3634.2	3872.5	3657.0	3552.1	3218.1	3098.6	3098.6	3218.1	3645.7	3747.5	4099.2	42940.9	46.4

Donde:

S_u : Superficie útil habitable incluida en la envolvente térmica, m^2 .

DACS: Demanda energética correspondiente al servicio de agua caliente sanitaria, kWh.

Q_{acum}: Pérdidas por acumulación, kWh.

*: En caso de que el rendimiento medio estacional de los equipos de ACS considere las pérdidas por acumulación, estas no se incluyen en la demanda de ACS.

Q_{dist}: Pérdidas por distribución y recirculación, kWh.

DACS,_{total}: Demanda energética correspondiente al servicio de agua caliente sanitaria incluyendo pérdidas por acumulación, distribución y recirculación, kWh.

Para el cálculo de la energía térmica hemos utilizado el salto térmico entre una temperatura referencia definida en la zona, y la temperatura del agua de red en el emplazamiento del edificio proyectado conforme al anexo G del CTE DB HE, cuyos valores son los siguientes:

	Ene (°C)	Feb (°C)	Mar (°C)	Abr (°C)	May (°C)	Jun (°C)	Jul (°C)	Ago (°C)	Sep (°C)	Oct (°C)	Nov (°C)	Dic (°C)
Temperatura del agua de red	6.5	7.5	9.5	10.8	13.8	16.8	19.8	19.8	16.8	12.5	9.5	6.5

A continuación, se muestran los resultados de cálculo de la demanda energética de ACS para cada zona habitable del edificio, junto con las demandas diarias.

Zonas habitables	QACS (l/día)	Tref (°C)	S _u (m ²)	DACS (kWh/año)	DACS (kWh/m ² ·año)
Climatización agua	666.7	60.0	662.61	14313.65	21.60
Climatización autónomos	666.7	60.0	138.47	14313.65	103.37
Habitable no acondicionado	666.7	60.0	123.70	14313.65	115.72
	2000.0		924.78	42940.94	46.43

donde:

QACS: Caudal diario demandado de agua caliente sanitaria, l/día.

Tref: Temperatura de referencia, °C.

S_u: Superficie útil de la zona habitable, m².

DACS: Demanda energética correspondiente al servicio de agua caliente sanitaria incluyendo pérdidas por acumulación, distribución y recirculación, kWh/m²·año.

1.4.4.3 Contribución renovable aportada para ACS

El cálculo de la contribución de la energía renovable para cubrir la demanda de ACS de nuestro edificio se realiza mediante el programa CTTEPBD, herramienta integrada en el documento reconocido CYPETHERM HE Plus, el cual ha sido desarrollado por IETcc-CSIC en el marco del convenio con el Ministerio de Fomento, que implementa la metodología del cálculo de la eficiencia energética de los edificios descrita en la norma EN ISO 52000-1:2017.

Los equipos de producción de ACS el edificio utiliza energía procedente de fuentes renovables cuyo origen es in situ o en las proximidades del edificio, junto al porcentaje de la demanda total de ACS el edificio cubierto por cada uno.

Equipos	Vector energético	f _{ACS} (%)
Energía térmica renovable producida in situ	Medioambiente	70.0

donde:

f_{acs}: Porcentaje de la demanda de ACS del edificio cubierto por el equipo, %.

1.4.5 Justificación de las características de las instalaciones de iluminación.

La parte HE3 encargada de la eficiencia energética de las instalaciones de iluminación del Documento Básico del Código Técnico de Edificación se aplica en el edificio en estudio ya que se trata de un edificio de nueva construcción. Además de la norma UNE-EN 12646-1 iluminación de los lugares de trabajo. Parte 1: lugares de trabajo en interiores.

Para seleccionar la luminaria correctamente se ha utilizado los parámetros iluminación media horizontal mantenida (E_m) de la norma UNE-EN 12646-1, es decir, tomando como mínimo 100 lux para uso en pasillos, 200 lux para salas de espera, cuartos de baño, servicios para pacientes, áreas de almacenamiento y salas de instalaciones, 300 lux para salas de personal y 500 lux para consultas, despachos, almacén de farmacia y sala de curas.

Partiendo de unas lámparas de tipo fluorescente en las zonas con mayor requerimiento de iluminación, dado que con este tipo obtenemos mayor flujo luminoso superior.

Este apartado consta en otro TFG de otro compañero que está realizando las instalaciones del edificio.

1.5 PROPUESTA DE MEJORAS

En primer lugar, para realizar esta propuesta de mejoras, necesitaremos analizar los resultados energéticos del edificio objeto de estudio.

En la siguiente tabla resumimos los resultados que hemos obtenido en el cálculo de la demanda energética de calefacción y refrigeración de cada zona habitable, junto a la demanda total del edificio.

Zonas habitables	S_u (m ²)	D_{cal} (kWh/año)	D_{ref} (kWh/año)	D_{ref} (kWh/m ² ·año)
Aulas P Baja	317.54	6574.77	20.71	6.92
Baños P Baja	40.41	1036.99	25.66	1.52
Circulaciones P Baja	309.38	7434.86	24.03	4.44
Oficinas P Baja	242.21	3854.41	15.91	7.79
Cocina	110.24	--	--	--
Salas	458.16	10631.71	23.21	6.53
Baños P Primera	42.97	1070.01	24.90	4.26
Aulas P Primera	426.83	8137.68	19.07	11.87
Circulaciones P Primera	163.31	4467.97	27.36	7.92
	2111.03	43208.40	20.47	15056.55
				7.13

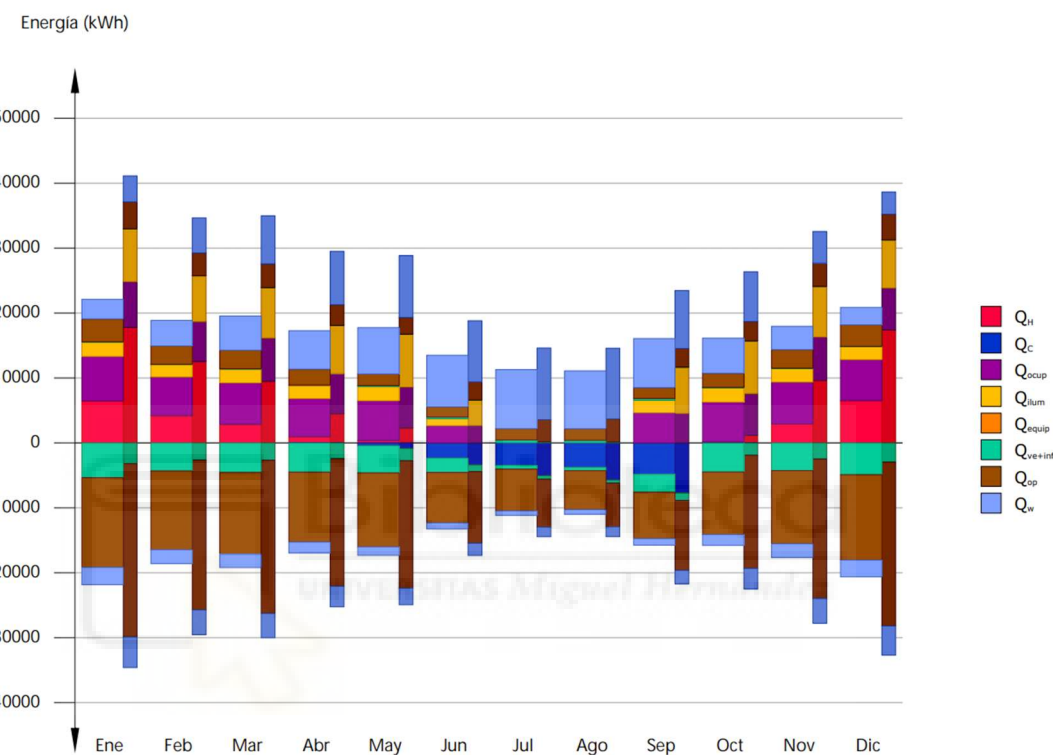
donde:

S_u : Superficie útil de la zona habitable, m².

D_{cal} : Valor calculado de la demanda energética de calefacción, kWh/año.

D_{ref} : Valor calculado de la demanda energética de refrigeración, kWh/m²·año.

El siguiente gráfico de barra muestra el balance energético del edificio mes a mes, contabilizando la energía perdida o ganada por transmisión térmica a través de elementos pesados y ligeros (Q_{op} y Q_w , respectivamente), la energía intercambiada por ventilación e infiltraciones (Q_{ve+inf}), la ganancia de calor interna debida a la ocupación (Q_{ocup}), a la iluminación (Q_{lum}) y al equipamiento interno (Q_{equip}), así como el aporte necesario de calefacción (Q_H) y refrigeración (Q_C).



Observamos que un punto importante y constante cada mes son las ganancias de calor internas debidas a la iluminación, y lo consideramos un punto a tratar para reducir el aporte necesario de refrigeración en los meses de verano.

1.5.1 MEJORAS CON LA INTRODUCCIÓN DE RECUPERADOR DE CALOR

La primera mejora que aplicaremos al edificio de estudio podría ser la sustitución de el recuperador de calor por uno de mayor eficiencia ronda el 77%, con ello conseguimos una reducción de la demanda energética y consumo.

- Modelo ERV de GREE: Estos recuperadores de calor ofrecen soluciones de ventilación eficientes. Sus intercambiadores de calor de alta eficiencia hasta un 94%, proporcionan grandes ahorros energéticos, gracias a estar concebidos para trabajar con ventiladores de bajo consumo y a permitir el aprovechamiento del aire de expulsión para calentar el aire entrante al edificio.

Volvemos a analizar los resultados de las mejoras empleadas con el software de " CYPETHERM IMPROVEMENTS PLUS v2023.g ".

Los resultados que se han obtenido tras el ensayo se muestran en las siguientes tablas comparativas de balance energético:

Balance energético inicial:

2.2.1. Consumo de energía final del edificio.

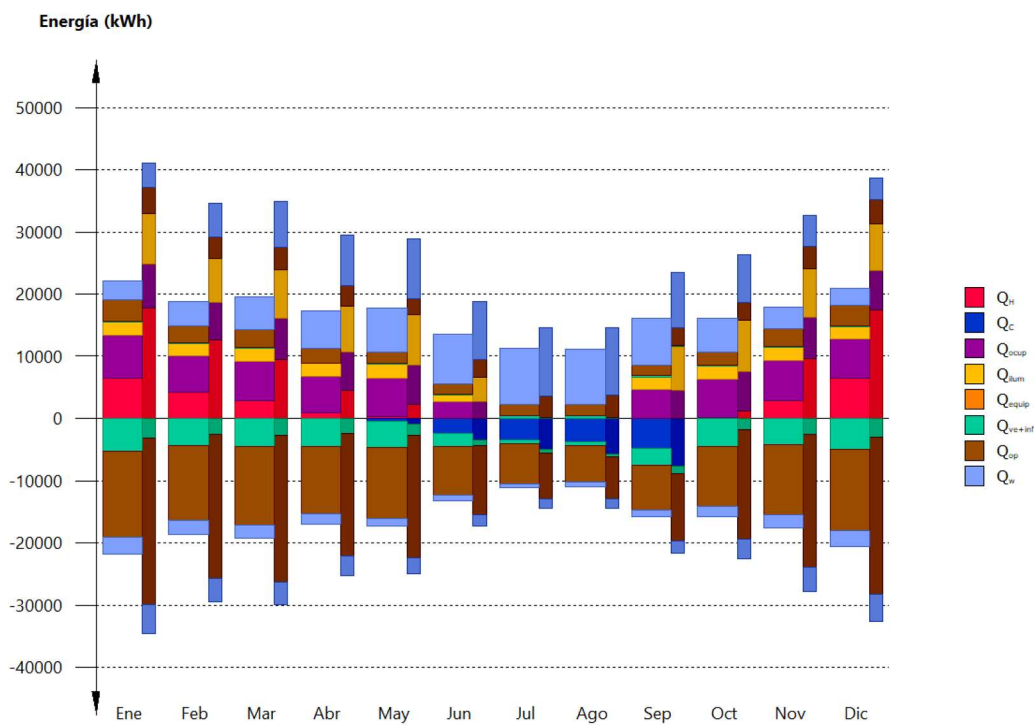
	Ene (kWh)	Feb (kWh)	Mar (kWh)	Abr (kWh)	May (kWh)	Jun (kWh)	Jul (kWh)	Ago (kWh)	Sep (kWh)	Oct (kWh)	Nov (kWh)	Dic (kWh)	Año (kWh/año)	(kWh/m²-año)	
EDIFICIO (S_n = 2111.03 m²)															
Demanda energética															
Calefacción	10705.8	7301.6	5333.8	2352.2	1021.4	--	--	--	--	483.8	5509.7	10500.1	43208.4	20.5	
Refrigeración	--	--	--	2.3	417.6	2351.1	3435.0	3748.9	5080.7	21.0	--	--	15056.5	7.1	
ACS	2869.1	2542.6	2760.7	2566.8	2489.9	2252.5	2219.5	2219.7	2305.3	2544.3	2671.8	2869.1	30311.3	14.4	
TOTAL	13574.9	9844.2	8094.5	4921.3	3928.9	4603.7	5654.5	5968.6	7386.0	3049.1	8181.5	13369.2	88576.3	42.0	
Electricidad															
Calefacción	1124.2	786.1	602.0	283.7	137.3	--	--	--	--	71.2	614.8	1078.2	4697.6	2.2	
Refrigeración	--	68.2	60.6	56.5	52.1	186.5	912.8	1363.0	1487.6	1985.1	25.9	65.5	65.7	--	
ACS	786.1	696.6	756.4	703.2	682.2	617.1	608.1	608.1	631.6	697.1	732.0	786.1	8304.5	3.9	
Ventilación	1387.5	1206.5	1327.1	1266.8	1387.5	663.6	--	--	--	1206.5	1387.5	1327.1	1266.8	12426.9	5.9
Control de la humedad	--	--	--	--	--	--	--	--	--	--	--	--	--	--	
Illuminación	2131.9	1853.8	2039.2	1946.5	2131.9	1019.6	--	--	1853.8	2131.9	2039.2	1946.5	19094.2	9.0	
Biomasa densificada (pellets)															
Calefacción	7894.3	5396.8	3889.6	1770.0	747.0	--	--	--	--	350.9	3968.9	7749.1	31766.6	15.0	
Refrigeración	--	--	--	--	--	--	--	--	--	--	--	--	--	--	
ACS	--	--	--	--	--	--	--	--	--	--	--	--	--	--	
Medioambiente															
Calefacción	1784.8	1266.2	963.6	425.0	203.0	--	--	--	--	110.4	1043.0	1749.4	7545.3	3.6	
Refrigeración	--	--	--	--	--	--	--	--	--	--	--	--	--	--	
ACS	2083.0	1846.0	2004.3	1863.6	1807.8	1635.4	1611.4	1611.6	1673.7	1847.2	1939.8	2083.0	22006.8	10.4	
C_{total}	17259.9	13112.5	11648.7	8310.8	7283.2	4848.5	3582.5	3707.3	7350.7	6622.1	11730.3	16724.8	112181.3	53.1	

Balance energético final con recuperador de calor

2.2.1. Consumo de energía final del edificio.

	Ene (kWh)	Feb (kWh)	Mar (kWh)	Abr (kWh)	May (kWh)	Jun (kWh)	Jul (kWh)	Ago (kWh)	Sep (kWh)	Oct (kWh)	Nov (kWh)	Dic (kWh)	Año (kWh/año)	(kWh/m²-año)	
EDIFICIO (S_n = 2111.03 m²)															
Demanda energética															
Calefacción	6451.5	4202.0	2850.6	941.0	378.1	--	--	--	--	165.5	2925.5	6496.1	24410.2	11.6	
Refrigeración	--	--	--	5.4	412.1	2330.1	3435.0	3748.9	4833.5	29.6	--	--	14794.7	7.0	
ACS	2869.1	2542.6	2760.7	2566.8	2489.9	2252.5	2219.5	2219.7	2305.3	2544.3	2671.8	2869.1	30311.3	14.4	
TOTAL	9320.6	6744.5	5611.3	3513.2	3280.1	4582.6	5654.5	5968.6	7138.7	2739.4	5597.3	9365.2	69516.2	32.9	
Electricidad															
Calefacción	920.6	624.7	445.1	167.3	68.4	--	--	--	--	31.5	456.0	890.3	3603.9	1.7	
Refrigeración	--	43.2	38.2	40.2	30.8	203.6	956.0	1363.0	1487.6	1994.4	26.9	40.4	41.5	6265.8	3.0
ACS	786.1	696.6	756.4	703.2	682.2	617.1	608.1	608.1	631.6	697.1	732.0	786.1	8304.5	3.9	
Ventilación	754.9	656.5	722.1	689.3	754.9	361.1	--	--	656.5	754.9	722.1	689.3	6761.5	3.2	
Control de la humedad	--	--	--	--	--	--	--	--	--	--	--	--	--	--	
Illuminación	2131.9	1853.8	2039.2	1946.5	2131.9	1019.6	--	--	1853.8	2131.9	2039.2	1946.5	19094.2	9.0	
Biomasa densificada (pellets)															
Calefacción	3519.6	2245.7	1470.5	440.6	171.5	--	--	--	--	64.9	1461.8	3591.5	12966.1	6.1	
Refrigeración	--	--	--	--	--	--	--	--	--	--	--	--	--	--	
ACS	--	--	--	--	--	--	--	--	--	--	--	--	--	--	
Medioambiente															
Calefacción	1464.5	1007.6	708.6	244.5	97.6	--	--	--	--	51.1	775.1	1459.3	5808.2	2.8	
Refrigeración	--	--	--	--	--	--	--	--	--	--	--	--	--	--	
ACS	2083.0	1846.0	2004.3	1863.6	1807.8	1635.4	1611.4	1611.6	1673.7	1847.2	1939.8	2083.0	22006.8	10.4	
C_{total}	11703.8	8968.9	8186.4	6085.8	5917.8	4589.2	3582.5	3707.3	6809.9	5605.5	8166.3	11487.5	84810.9	40.2	

Podemos observar una notable reducción del consumo anual de energía al introducir el recuperador de calor.



1.5.2 MEJORAS EN LA ENVOLVENTE TÉRMICA

Otra mejora que hemos planteado aun sabiendo que el destino final del edificio no es uso residencial, es la introducción de sombras artificiales mediante la colocación de toldos en todos los huecos acristalados para controlar las sombras en los meses desde mayo a septiembre con ello conseguimos una notable reducción de la demanda a climatización.

Antes de la mejora demanda energética

Zonas habitables	S_u (m ²)	D_{cal} (kWh/m ² ·año)	D_{ref} (kWh/m ² ·año)	
Aulas P Baja	317.54	3138.48	2176.05	
Baños P Baja	40.41	573.81	58.85	
Circulaciones P Baja	309.38	5531.23	1358.61	
Oficinas P Baja	242.21	3711.20	1889.26	
Cocina	110.24	-	-	
Salas	458.16	2632.30	2962.70	
Baños P Primera	42.97	1045.57	182.97	
Aulas P Primera	426.83	4156.29	4888.17	
Circulaciones P Primera	163.31	3621.34	1278.06	
2111.03		24410.23	11.56	14794.65
				7.01

Después de la mejora demanda energética

Zonas habitables	S_u (m ²)	D_{cal} (kWh/m ² ·año)	D_{ref} (kWh/m ² ·año)	
Aulas P Baja	317.54	6230.90	1102.68	
Baños P Baja	40.41	1032.38	18.09	
Circulaciones P Baja	309.38	7447.05	451.73	
Oficinas P Baja	242.21	3680.66	809.71	
Cocina	110.24	-	-	
Salas	458.16	10547.67	2012.54	
Baños P Primera	42.97	1064.50	24.78	
Aulas P Primera	426.83	7887.43	18.48	
Circulaciones P Primera	163.31	4453.80	27.27	
2111.03		42344.39	20.06	8068.25
				3.82

Vemos que se produce una reducción notable de la demanda en el apartado de climatización.

1.5.3 MEJORA EN LA GENERACIÓN DE ACS Y CALEFACCIÓN MEDIANTE UNA AEROTERMIA

Sustituiremos el anterior sistema de generación de ACS por una aerotermia, marca DAIKIN modelo EMRQ16AB, cuya potencia nominal es de 44,8 kW, consta con una capacidad de acumulación de 584l, con esta mejora conseguimos una reducción de la demanda energética inferior al 10% lo que nos indica que habíamos escogido bien a la hora de diseñar inicialmente.

EDIFICIO(S.=2111.03 m ²)													Año (kWh/año)	Año (kWh/m ² .año)	
	Ene (kWh)	Feb (kWh)	Mar (kWh)	Abr (kWh)	May (kWh)	Jun (kWh)	Jul (kWh)	Ago (kWh)	Sep (kWh)	Oct (kWh)	Nov (kWh)	Dic (kWh)			
Demanda energética	Calefacción	10705.8	7301.6	5333.8	2352.2	1021.4	--	--	--	483.8	5509.7	10500.1	43208.4	20.5	
	Refrigeración	--	--	--	2.3	417.6	2351.1	3435.0	3748.9	5080.7	21.0	--	--	15056.5	7.1
	ACS	2947.7	2613.3	2839.3	2642.9	2568.6	2328.6	2298.1	2298.4	2381.4	2622.9	2747.9	2947.7	31237.2	14.8
	TOTAL	13653.5	9915.2	8173.2	4997.4	4007.5	4679.8	5733.1	6047.3	7462.1	3127.7	8257.6	13447.9	89502.2	42.4
Electricidad	Calefacción	1196.0	848.5	669.0	335.5	174.7	--	--	--	90.9	681.4	1147.9	5143.9	2.4	
	Refrigeración	--	--	--	--	--	--	--	--	--	--	--	--	--	
	ACS	1936.6	1717.1	1865.4	1736.3	1687.5	1529.9	1509.8	1510.0	1564.5	1723.2	1805.3	1936.6	20522.1	9.7
	Ventilación	1387.5	1206.5	1327.1	1266.8	1387.5	663.6	--	--	1206.5	1387.5	1327.1	1266.8	12426.9	5.9
Biomasa densificada (pellets)	Control de la humedad	--	--	--	--	--	--	--	--	--	--	--	--	--	
	Iluminación	2131.9	1853.8	2039.2	1946.5	2131.9	1019.6	--	--	1853.8	2131.9	2039.2	1946.5	19094.2	9.0
	Calefacción	7890.9	5395.9	3885.0	1770.3	747.2	--	--	--	343.6	3969.5	7748.2	31750.6	15.0	
	Refrigeración	--	--	--	--	--	--	--	--	--	--	--	--	--	
Medioambiente	ACS	--	--	--	--	--	--	--	--	--	--	--	--	--	
	Calefacción	1789.2	1267.6	962.7	424.6	202.7	--	--	--	109.6	1043.0	1754.6	7554.0	3.6	
	Refrigeración	--	--	--	--	--	--	--	--	--	--	--	--	--	
	ACS	1011.1	896.5	974.0	906.6	881.1	798.8	788.3	788.4	816.9	899.7	942.6	1011.1	10715.1	5.1
	C _{total}	17343.2	13185.8	11722.4	8386.5	7212.5	4011.8	2298.1	2298.4	5441.7	6686.4	11808.1	16811.7	107206.7	50.8

1.6 CONCLUSIÓN

Tras enfrentarnos a dicho proyecto, nos hemos encontrado con algún problemilla a la hora de hacer el cumplir el HEO, debido a que el edificio no es de nueva construcción, si no lo que acometemos aquí es una reforma de este. Con ello, no es lógico acometer reformas en el tipo de aislamiento y demás ya que supondría un coste muy elevado, de manera inicial la demanda a climatización del edificio debido a su emplazamiento y localización, hemos necesitado montar un sistema de climatización potente mediante el uso de varios equipos para hacer cumplir el apartado HEO.

Otra mejora o reforma que hemos realizado en el edificio es la sustitución del sistema de calefacción y ACS ya que el edificio constaba con una caldera de gasoil y la hemos sustituido por una caldera de condensación de gas natural con un rendimiento mucho mayor.

Por último, hay que mencionar que se podrían tener en cuenta otras mejoras alternativas en el edificio enfocadas a reducir la demanda del mismo, como por ejemplo la reducción de los puentes térmicos existentes, que suponen un 37,79% del coeficiente global de transmisión de

calor a través de la envolvente térmica. Se podría actuar fácilmente en los pilares del edificio introduciendo el mismo sistema que el descrito en los frentes de forjado, mediante un aislamiento térmico de 2 a 3 cm que redujera los puentes térmicos que se producen en dicho punto.

Tendríamos que considerar dicha reducción justificando que la mejora en la demanda de calefacción no supone un empeoramiento en la demanda de refrigeración y valorar el equilibrio entre estas.

Lo mismo ocurre con los cerramientos del edificio, donde se ha considerado un aislamiento térmico de 8 cm, buscando el equilibrio entre las demandas a calefacción y refrigeración, y teniendo en cuenta que, por encima de este aislamiento, el resultado de la demanda a refrigeración no compensa con respecto a la mejora de calefacción.



1.7 CERTIFICADO ENERGÉTICO DEL EDIFICIO

CERTIFICADO DE EFICIENCIA ENERGÉTICA DE EDIFICIOS

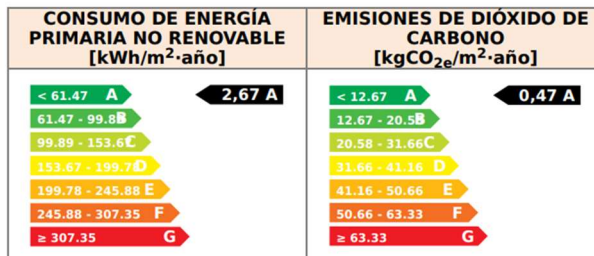
IDENTIFICACIÓN DEL EDIFICIO O DE LA PARTE QUE SE CERTIFICA:

Nombre del Edificio	C.E.I.P. NUEVO Nº18 6+12		
Dirección	Calle Francesillo del Barrio " Aguas vivas"		
Municipio	Guadalajara	Código Postal	19005
Provincia	Guadalajara	Comunidad Autónoma	Castilla-La Mancha
Zona climática	D3	Año construcción	2001
Plantas sobre rasante	2	Plantas bajo rasante	0
Normativa vigente (construcción / rehabilitación)	CTE2019		
Referencia/s catastral/es	6598401VK8969N0001TS		

Tipo de edificio o parte del edificio que se certifica:	
Edificio de nueva construcción	<input checked="" type="checkbox"/> Edificio existente
Vivienda Unifamiliar Bloque Bloque Completo Vivienda individual	<input checked="" type="checkbox"/> Terciario <input checked="" type="checkbox"/> Edificio completo Local

DATOS DEL TÉCNICO CERTIFICADOR:

Nombre y Apellidos	JOSE MANUEL SANCHEZ-LUIS FERNANDEZ	NIF/NIE	21418486N
Razón Social	GOMEZ-HUEDO SANCHEZ-LUIS ARQUITECTOS SL	NIF	B02224897
Domicilio	OCTAVIO CUARTERO 19		
Municipio	Villarrobledo	Código Postal	02600
Provincia	Albacete	Comunidad Autónoma	Castilla-La Mancha
e-mail	sanchez-luis@ghslarquitectos.com	Teléfono	967138004
Titulación habilitante según normativa vigente	Arquitecto		
Procedimiento reconocido de calificación energética utilizado y versión:	CYPETHERM HE Plus. 2024.c		

CALIFICACION ENERGETICA OBTENIDA:

El técnico certificador abajo firmante certifica que ha realizado la calificación energética del edificio o de la parte que se certifica de acuerdo con el procedimiento establecido por la normativa vigente y que son ciertos los datos que figuran en el presente documento, y sus anexos:

Fecha: 07/08/2023

Firma del técnico certificador: JOSE MANUEL SANCHEZ-LUIS FERNANDEZ - 21418486N

Anexo I. Descripción de las características energéticas del edificio.

Anexo II. Calificación energética del edificio.

Anexo III. Recomendaciones para la mejora de la eficiencia energética.

Anexo IV. Pruebas, comprobaciones e inspecciones realizadas por el técnico certificador.

Registro del Órgano Territorial Competente:



Fecha (de generación del documento): 07/08/2023

Ref. Catastral: 6598401VK8969N0001TS

Página 2 de 13

ANEXO I DESCRIPCIÓN DE LAS CARACTERÍSTICAS ENERGÉTICAS DEL EDIFICIO

En este apartado se describen las características energéticas del edificio, envolvente térmica, instalaciones, condiciones de funcionamiento y ocupación y demás datos utilizados para obtener la calificación energética del edificio.

1. SUPERFICIE, IMAGEN Y SITUACIÓN

Superficie habitable [m²]	2111,03
Imagen del Edificio	

Imagen del Edificio



Plano de situación



2. ENVOLVENTE TÉRMICA

Cerramientos opacos

Nombre	Tipo	Superficie [m ²]	Transmitancia [W/m ² -K]	Modo de obtención
Cerramiento exterior	Fachada	194,06	0,18	Usuario
Cerramiento exterior	Fachada	228,12	0,18	Usuario
Forjado sanitario	Suelo	1477,93	0,25	Usuario
Cerramiento exterior	Fachada	188,01	0,18	Usuario
Cubierta 3 - Inclinadas aulas	Cubierta	690,91	0,19	Usuario
Cerramiento exterior	Fachada	263,90	0,18	Usuario
Cubierta 1-Polivalente	Cubierta	391,11	0,19	Usuario
Forjado aislado	ParticionInteriorHorizonta	488	0,28	Usuario
Cubierta 2-Transitable	Cubierta	418,47	0,15	Usuario

Huecos y lucernarios

Nombre	Tipo	Superficie [m ²]	Transmitancia [W/m ² ·K]	Factor solar	Modo de obtención. Transmitancia	Modo de obtención. Factor solar
V-1	Hueco	83,62	1,52	0,55	Usuario	Usuario
V-24SE	Hueco	23,21	1,52	0,55	Usuario	Usuario
PXT-3NE	Hueco	2,20	1,52	0,55	Usuario	Usuario
PXT-3SO	Hueco	4,40	1,52	0,55	Usuario	Usuario
V-25	Hueco	2,72	1,52	0,55	Usuario	Usuario
V-2	Hueco	1,44	1,52	0,55	Usuario	Usuario
V-2	Hueco	0,72	1,52	0,55	Usuario	Usuario
V-28b	Hueco	0,36	1,52	0,55	Usuario	Usuario
V-4	Hueco	10,14	1,52	0,55	Usuario	Usuario
V-5	Hueco	10,04	1,52	0,55	Usuario	Usuario
PP-2	Hueco	4,62	1,52	0,55	Usuario	Usuario
V-20	Hueco	2,18	1,52	0,55	Usuario	Usuario
PP-1	Hueco	5,83	1,52	0,55	Usuario	Usuario
V-29	Hueco	2,60	1,52	0,55	Usuario	Usuario
PP-3	Hueco	4,82	1,52	0,55	Usuario	Usuario
V-26	Hueco	8,80	1,52	0,55	Usuario	Usuario
V-26b	Hueco	2,89	1,52	0,55	Usuario	Usuario
V-27	Hueco	9,36	1,52	0,55	Usuario	Usuario
Puerta de paso	Hueco	2,10	3,00	0,00	Usuario	Usuario
V-3	Hueco	16,40	1,52	0,55	Usuario	Usuario
PXT-1	Hueco	4,40	1,52	0,55	Usuario	Usuario
V-9	Hueco	5,67	1,52	0,55	Usuario	Usuario
V-8	Hueco	6,19	1,52	0,55	Usuario	Usuario
V-6	Hueco	5,46	1,52	0,55	Usuario	Usuario
V-24NO	Hueco	4,64	1,52	0,55	Usuario	Usuario
V-28	Hueco	2,76	1,52	0,55	Usuario	Usuario
V-21	Hueco	5,86	1,52	0,55	Usuario	Usuario
V-23	Hueco	1,40	1,52	0,55	Usuario	Usuario
V-22	Hueco	1,72	1,52	0,55	Usuario	Usuario
V-10	Hueco	4,70	1,52	0,55	Usuario	Usuario
V-11	Hueco	4,80	1,52	0,55	Usuario	Usuario
V-12	Hueco	13,07	1,52	0,55	Usuario	Usuario
V-13a	Hueco	11,36	1,52	0,55	Usuario	Usuario
V-13b	Hueco	4,62	1,52	0,55	Usuario	Usuario
V-14	Hueco	7,57	1,52	0,55	Usuario	Usuario
Lucernario1	Lucernario	7,68	0,23	0,38	Usuario	Usuario
V-16	Hueco	20,80	1,52	0,55	Usuario	Usuario
V-17	Hueco	4,94	1,52	0,55	Usuario	Usuario
V-18	Hueco	6,11	1,52	0,55	Usuario	Usuario
V-19	Hueco	6,13	1,52	0,55	Usuario	Usuario
V-15	Hueco	2,73	1,52	0,55	Usuario	Usuario
PXT-2	Hueco	3,52	1,52	0,55	Usuario	Usuario

3. INSTALACIONES TÉRMICAS

Generadores de calefacción

Nombre	Tipo	Potencia nominal [kW]	Rendimiento estacional [%]	Tipo de energía	Modo de obtención
1	Bomba de calor aire-agua	44,80	274,00	ElectricidadPeninsular	Usuario
Vitodenss	Caldera	120,00	110,00	BiomasaPellet	Usuario
TOTALES		164,80			

Generadores de refrigeración

Nombre	Tipo	Potencia nominal [kW]	Rendimiento estacional [%]	Tipo de energía	Modo de obtención
Mitsubishi 1	Equipo de rendimiento constante	120,00	252,00	Electricidad	Peninsular Usuario
Mitsubishi 2	Equipo de rendimiento constante	120,00	252,00	Electricidad	Peninsular Usuario
Mitsubishi 3	Equipo de rendimiento constante	120,00	252,00	Electricidad	Peninsular Usuario
Mitsubishi 4	Equipo de rendimiento constante	120,00	252,00	Electricidad	Peninsular Usuario
Mitsubishi 5	Equipo de rendimiento constante	120,00	252,00	Electricidad	Peninsular Usuario
Mitsubishi 6	Equipo de rendimiento constante	120,00	252,00	Electricidad	Peninsular Usuario
Mitsubishi 7	Equipo de rendimiento constante	120,00	252,00	Electricidad	Peninsular Usuario
Mitsubishi 8	Equipo de rendimiento constante	120,00	252,00	Electricidad	Peninsular Usuario
TOTALES		960,00			

Instalaciones de Agua Caliente Sanitaria

Demandada diaria de ACS a 60°C (litros/día)	1.432,00
---	----------

Nombre	Tipo	Potencia nominal [kW]	Rendimiento estacional [%]	Tipo de energía	Modo de obtención
Equipo de ACS	Bomba de calor para ACS	2,20	365,00	Electricidad	Peninsular Usuario

Sistemas secundarios de calefacción y/o refrigeración (sólo edificios terciarios)

Nombre	Recuperador de calor		
Tipo	Recuperador de calor		
Zona asociada	Aulas P Baja		
Potencia calor [kW]	Potencia frío [kW]	Rendimiento estacional calor [%]	Rendimiento estacional frío [%]
0,00	0,00	0,00	0,00
Enfriamiento gratuito	Enfriamiento evaporativo	Recuperación de energía	Control
-	No	Si	-
Nombre	Recuperador de calor		
Tipo	Recuperador de calor		
Zona asociada	Baños P Baja		
Potencia calor [kW]	Potencia frío [kW]	Rendimiento estacional calor [%]	Rendimiento estacional frío [%]
0,00	0,00	0,00	0,00
Enfriamiento gratuito	Enfriamiento evaporativo	Recuperación de energía	Control
-	No	Si	-
Nombre	Recuperador de calor		
Tipo	Recuperador de calor		
Zona asociada	Circulaciones P Baja		
Potencia calor [kW]	Potencia frío [kW]	Rendimiento estacional calor [%]	Rendimiento estacional frío [%]
0,00	0,00	0,00	0,00
Enfriamiento gratuito	Enfriamiento evaporativo	Recuperación de energía	Control
-	No	Si	-
Nombre	Recuperador de calor		
Tipo	Recuperador de calor		
Zona asociada	Salas		
Potencia calor [kW]	Potencia frío [kW]	Rendimiento estacional calor [%]	Rendimiento estacional frío [%]
0,00	0,00	0,00	0,00
Enfriamiento gratuito	Enfriamiento evaporativo	Recuperación de energía	Control
-	No	Si	-
Nombre	Recuperador de calor		
Tipo	Recuperador de calor		
Zona asociada	Aulas P Primera		
Potencia calor [kW]	Potencia frío [kW]	Rendimiento estacional calor [%]	Rendimiento estacional frío [%]
0,00	0,00	0,00	0,00
Enfriamiento gratuito	Enfriamiento evaporativo	Recuperación de energía	Control
-	No	Si	-
Nombre	Recuperador de calor		
Tipo	Recuperador de calor		
Zona asociada	Circulaciones P Primera		
Potencia calor [kW]	Potencia frío [kW]	Rendimiento estacional calor [%]	Rendimiento estacional frío [%]
0,00	0,00	0,00	0,00
Enfriamiento gratuito	Enfriamiento evaporativo	Recuperación de energía	Control
-	No	Si	-

Torres de refrigeración (sólo edificios terciarios)

Nombre	Tipo	Servicio asociado	Consumo de energía [kWh/año]
-			-
TOTALES			0,00

Fecha (de generación del documento): 07/08/2023

Ref. Catastral: 6598401VK8969N0001TS

Página 6 de 13

Ventilación y bombeo (sólo edificios terciarios)

Nombre	Tipo	Servicio asociado	Consumo de energía [kWh/año]
Ventiladores	Ventilador	Climatización, Ventilación	6761,52
Bombas	Bomba	Climatización	512,83
TOTALES			7274,35

4. INSTALACIÓN DE ILUMINACIÓN (sólo edificios terciarios)

Espacio	Potencia instalada [W/m ²]	VEEI [W/m ² ·100lux]	Iluminancia media [lux]	Modo de obtención
Z01_S01_Aula 1	5,37	0,90	596,67	Usuario
Z01_S02_Aula 2	5,37	0,90	596,67	Usuario
Z01_S03_Aula 3	5,37	0,90	596,67	Usuario
Z01_S04_Aula 4	5,37	0,90	596,67	Usuario
Z01_S05_Aula 5	5,37	0,90	596,67	Usuario
Z02_S01_Aseos 1	4,72	1,52	310,53	Usuario
Z02_S02_Aseos 2	4,72	1,52	310,53	Usuario
Z02_S03_Aseo 3	4,72	1,52	310,53	Usuario
Z03_S01_Pasillo 1	4,72	1,50	314,67	Usuario
Z03_S02_Pasillo 2	4,72	1,50	314,67	Usuario
Z03_S03_Pasillo 3	4,72	1,50	314,67	Usuario
Z03_S04_Pasillo 4	4,72	1,50	314,67	Usuario
Z04_S01_Secretaria	13,58	0,94	1444,68	Usuario
Z04_S02_AMPA	13,58	0,94	1444,68	Usuario
Z04_S03_Conserjería	13,58	0,94	1444,68	Usuario
Z04_S04_Despacho 1	13,58	0,94	1444,68	Usuario
Z04_S05_Despacho 2	13,58	0,94	1444,68	Usuario
Z04_S06_Despacho 3	13,58	0,94	1444,68	Usuario
Z04_S07_Sala de profesores	13,58	0,94	1444,68	Usuario
Z04_S08_Tutoría	13,58	0,94	1444,68	Usuario
Z04_S09_Despacho 4	13,58	0,94	1444,68	Usuario
Z06_S01_Cocina	5,57	0,75	742,67	Usuario
Z06_S02_Basuras	5,57	0,75	742,67	Usuario
Z06_S03_Despensa	5,57	0,75	742,67	Usuario
Z06_S04_Distribuidor	5,57	0,75	742,67	Usuario
Z07_S01_Biblioteca	4,22	1,08	390,74	Usuario
Z07_S02_Comedor	4,22	1,08	390,74	Usuario
Z07_S03_Sala polivalente	4,22	1,08	390,74	Usuario
Z08_S01_Baño 1	6,34	1,14	556,14	Usuario
Z08_S02_Baño 2	6,34	1,14	556,14	Usuario
Z09_S01_Aula 1	5,33	1,00	533,00	Usuario
Z09_S02_Aula 2	5,33	1,00	533,00	Usuario
Z09_S03_Aula 3	5,33	1,00	533,00	Usuario
Z09_S04_Aula 4	5,33	1,00	533,00	Usuario
Z09_S05_Aula 5	5,33	1,00	533,00	Usuario
Z09_S06_Aula 6	5,33	1,00	533,00	Usuario
Z09_S07_Aula 7	5,33	1,00	533,00	Usuario
Z09_S08_Aula 8	5,33	1,00	533,00	Usuario
Z09_S09_Aula 9	5,33	1,00	533,00	Usuario
Z09_S10_Aula10	5,33	1,00	533,00	Usuario
Z09_S11_Aula11	5,33	1,00	533,00	Usuario
Z10_S01_Pasillo	4,81	1,60	300,63	Usuario
TOTALES	5,93			

5. CONDICIONES DE FUNCIONAMIENTO Y OCUPACION (sólo edificios terciarios)

Espacio	Superficie [m ²]	Perfil de uso
Z01_S01_Aula 1	60,49	perfildeusuario
Z01_S02_Aula 2	60,48	perfildeusuario
Z01_S03_Aula 3	64,52	perfildeusuario
Z01_S04_Aula 4	64,41	perfildeusuario
Z01_S05_Aula 5	67,64	perfildeusuario
Z02_S01_Aseos 1	21,48	perfildeusuario
Z02_S02_Aseos 2	14,20	perfildeusuario
Z02_S03_Aseo 3	4,73	perfildeusuario
Z03_S01_Pasillo 1	124,59	perfildeusuario
Z03_S02_Pasillo 2	13,87	perfildeusuario
Z03_S03_Pasillo 3	131,68	perfildeusuario
Z03_S04_Pasillo 4	39,24	perfildeusuario
Z04_S01_Secretaria	20,95	perfildeusuario
Z04_S02_AMPA	22,21	perfildeusuario
Z04_S03_Conserjería	7,24	perfildeusuario
Z04_S04_Despacho 1	33,97	perfildeusuario
Z04_S05_Despacho 2	20,02	perfildeusuario
Z04_S06_Despacho 3	20,02	perfildeusuario
Z04_S07_Sala de profesores	76,38	perfildeusuario
Z04_S08_Tutoría	21,43	perfildeusuario
Z04_S09_Despacho 4	19,99	perfildeusuario
Z06_S01_Cocina	71,51	perfildeusuario
Z06_S02_Basuras	4,96	perfildeusuario
Z06_S03_Despensa	10,88	perfildeusuario
Z06_S04_Distribuidor	22,89	perfildeusuario
Z07_S01_Biblioteca	62,88	perfildeusuario
Z07_S02_Comedor	196,04	perfildeusuario
Z07_S03_Sala polivalente	199,24	perfildeusuario
Z08_S01_Baño 1	21,48	perfildeusuario
Z08_S02_Baño 2	21,48	perfildeusuario
Z09_S01_Aula 1	60,14	perfildeusuario
Z09_S02_Aula 2	60,48	perfildeusuario
Z09_S03_Aula 3	60,21	perfildeusuario
Z09_S04_Aula 4	60,72	perfildeusuario
Z09_S05_Aula 5	20,27	perfildeusuario
Z09_S06_Aula 6	20,27	perfildeusuario
Z09_S07_Aula 7	20,14	perfildeusuario
Z09_S08_Aula 8	20,14	perfildeusuario
Z09_S09_Aula 9	20,14	perfildeusuario
Z09_S10_Aula10	24,27	perfildeusuario
Z09_S11_Aula11	60,05	perfildeusuario
Z10_S01_Pasillo	163,31	perfildeusuario

6. ENERGÍAS RENOVABLES

Térmica

Nombre	Consumo de Energía Final cubierto, en función del servicio asociado [%]			Demanda de ACS cubierta [%]
	Calefacción	Refrigeración	ACS	
Biomasa densificada (pellets)	57,94	0,00	0,00	0,00
Medioambiente	25,95	0,00	72,60	72,60
TOTAL	83,89	0,00	72,60	72,60

Eléctrica

Nombre	Energía eléctrica generada y autoconsumida [kWh/año]
Panel fotovoltaico	41713,60
TOTAL	41713,60

Fecha (de generación del documento): 07/08/2023

Ref. Catastral: 6598401VK8969N0001TS

Página 8 de 13

ANEXO II

CALIFICACIÓN ENERGÉTICA DEL EDIFICIO

Zona Climática	D3	Uso	Edificio Uso Terciario
----------------	----	-----	------------------------

1. CALIFICACIÓN ENERGÉTICA DEL EDIFICIO EN EMISIONES

INDICADOR GLOBAL		INDICADORES PARCIALES		
		CALEFACCIÓN	ACS	
< 12.67 A		Emisiones calefacción [kgCO ₂ e/m ² ·año]		A
12.67 - 20.88		0,14		Emisiones ACS [kgCO ₂ e/m ² ·año]
20.58 - 31.66		0,07		A
31.66 - 41.16 D		REFRIGERACIÓN		ILUMINACIÓN
41.16 - 50.66 E		Emisiones refrigeración [kgCO ₂ e/m ² ·año]		Emisiones iluminación [kgCO ₂ e/m ² ·año]
50.66 - 63.33 F		0,05		A
≥ 63.33 G		0,16		

Emisiones globales [kgCO₂e/m²·año]¹

La calificación global del edificio se expresa en términos de dióxido de carbono liberado a la atmósfera como consecuencia del consumo energético del mismo.

	kgCO ₂ e/m ² ·año	kgCO ₂ e/año
Emisiones CO ₂ por consumo eléctrico	0,36	766
Emisiones CO ₂ por otros combustibles	0,11	233

2. CALIFICACIÓN ENERGÉTICA DEL EDIFICIO EN CONSUMO DE ENERGÍA PRIMARIA NO RENOVABLE

Por energía primaria no renovable se entiende la energía consumida por el edificio procedente de fuentes no renovables que no ha sufrido ningún proceso de conversión o transformación.

INDICADOR GLOBAL		INDICADORES PARCIALES		
		CALEFACCIÓN	ACS	
< 61.47 A		Energía primaria calefacción [kWh/m ² ·año]		A
61.47 - 99.89		0,70		0,40
99.89 - 153.67		REFRIGERACIÓN		ILUMINACIÓN
153.67 - 199.28		Energía primaria refrigeración [kWh/m ² ·año]		Energía primaria iluminación [kWh/m ² ·año]
199.78 - 245.88 E		0,31		A
245.88 - 307.35 F		0,93		
≥ 307.35 G				

Consumo global de energía primaria no renovable [kWh/m²·año]¹

3. CALIFICACIÓN PARCIAL DE LA DEMANDA ENERGÉTICA DE CALEFACCIÓN Y REFRIGERACIÓN

La demanda energética de calefacción y refrigeración es la energía necesaria para mantener las condiciones internas de confort del edificio.

DEMANDA DE CALEFACCIÓN		DEMANDA DE REFRIGERACIÓN	
< 14.17 A		< 4.31 A	
14.17 - 23.82		4.31 - 7.01 B	
23.02 - 35.48		7.01 - 10.78 C	
35.42 - 46.05 D		10.78 - 14.01 D	
46.05 - 56.68 E		14.01 - 17.24 E	
56.68 - 70.84 F		17.24 - 21.55 F	
≥ 70.84 G		≥ 21.55 G	

Demanda de calefacción [kWh/m²·año]

Demanda de refrigeración [kWh/m²·año]

¹ - El indicador global es resultado de la suma de los indicadores parciales más el valor del indicador para consumos auxiliares, si los hubiera (sólo edificios terciarios, ventilación, bombeo, etc...). La energía eléctrica autoconsumida se descuenta únicamente del indicador global, no así de los valores parciales.

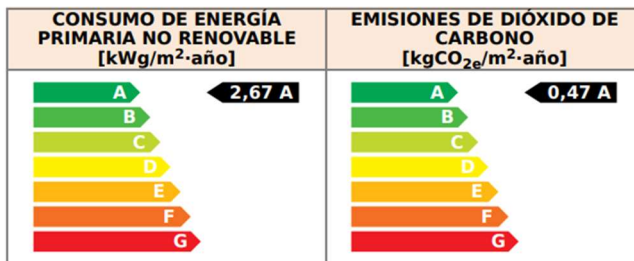
ANEXO III

RECOMENDACIONES PARA LA MEJORA DE LA EFICIENCIA ENERGÉTICA

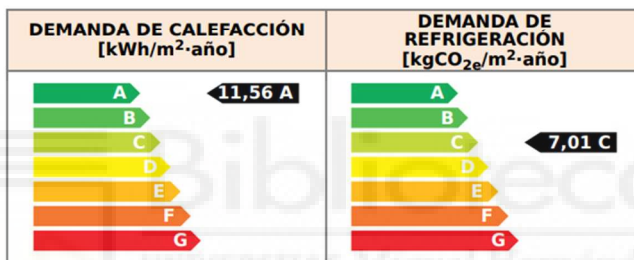
MEDIDA DE MEJORA DE LA EFICIENCIA ENERGÉTICA

Denominación:	NOMBRE
---------------	--------

CALIFICACIÓN ENERGÉTICA GLOBAL



CALIFICACIONES ENERGÉTICAS PARCIALES



ANÁLISIS TÉCNICO

Indicador	Calefacción		Refrigeración		ACS		Iluminación		Total	
	Valor	Ahorro respecto a la situación original	Valor	Ahorro respecto a la situación original	Valor	Ahorro respecto a la situación original	Valor	Ahorro respecto a la situación original	Valor	Ahorro respecto a la situación original
Consumo Energía final [kWh/m².año]	7,85	0,00 (+0,00%)	2,97	0,00 (+0,00%)	3,93	0,00 (+0,00%)	9,049,04	0,00 (+0,00%)	23,79	0,00 (+0,00%)
Consumo Energía primaria no renovable [kWh/m².año]	0,70 A	0,00 (+0,00%)	0,31 A	0,00 (+0,00%)	0,40 A	0,00 (+0,00%)	0,93 A	0,00 (+0,00%)	2,67 A	0,00 (+0,00%)
Emisiones de CO₂ [kgCO₂e/m².año]	0,14 A	0,00 (+0,00%)	0,05 A	0,00 (+0,00%)	0,07 A	0,00 (+0,00%)	0,16 A	0,00 (+0,00%)	0,47 A	0,00 (+0,00%)
Demandा [kWh/m².año]	11,56 A	0,00 (+0,00%)	7,01 C	0,00 (+0,00%)						

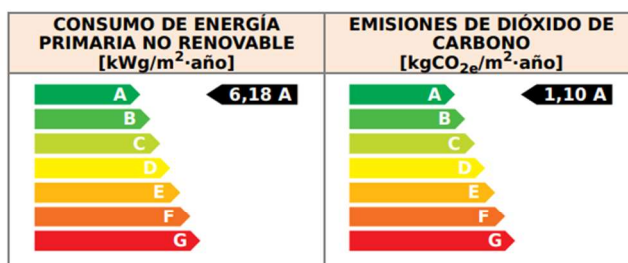
Nota: Los indicadores energéticos anteriores están calculados en base a coeficientes estándar de operación y funcionamiento del edificio, por lo que solo son válidos a efectos de su calificación energética. Para el análisis económico de las medidas de ahorro y eficiencia energética, el técnico certificador deberá utilizar las condiciones reales y datos históricos de consumo del edificio.

DESCRIPCIÓN DE LA MEDIDA DE MEJORA	
Características técnicas de la medida (modelo de equipos, materiales, parámetros característicos)	
DESCRIPCION	
Coste estimado de la medida	
COSTE ESTIMADO	
Otros datos de interés	
OTROS DATOS	

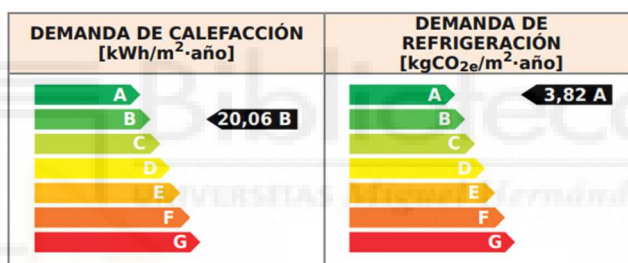
MEDIDA DE MEJORA DE LA EFICIENCIA ENERGÉTICA

Denominación:	NOMBRE

CALIFICACIÓN ENERGÉTICA GLOBAL



CALIFICACIONES ENERGÉTICAS PARCIALES



ANÁLISIS TÉCNICO

Indicador	Calefacción		Refrigeración		ACS		Iluminación		Total	
	Valor	Ahorro respecto a la situación original	Valor	Ahorro respecto a la situación original	Valor	Ahorro respecto a la situación original	Valor	Ahorro respecto a la situación original	Valor	Ahorro respecto a la situación original
Consumo Energía final [kWh/m²·año]	16,94	-9,09 (-115,80%)	1,71	1,26 (+42,42%)	3,93	0,00 (+0,00%)	9,049,04	0,00 (+0,00%)	31,63	-7,84 (-32,96%)
Consumo Energía primaria no renovable [kWh/m²·año]	1,73 A	-1,03 (-147,14%)	0,37 A	-0,06 (-19,35%)	0,85 A	-0,45 (-112,50%)	1,96 A	-1,03 (-110,75%)	6,18 A	-3,51 (-131,46%)
Emisiones de CO₂ [kgCO₂e/m²·año]	0,35 A	-0,21 (-150,00%)	0,06 A	-0,01 (-20,00%)	0,14 A	-0,07 (-100,00%)	0,33 A	-0,17 (-106,25%)	1,10 A	-0,63 (-134,04%)
Demandas [kWh/m²·año]	20,06 B	-8,50 (-73,53%)	3,82 A	3,19 (+45,51%)						

Nota: Los indicadores energéticos anteriores están calculados en base a coeficientes estándar de operación y funcionamiento del edificio, por lo que solo son válidos a efectos de su calificación energética. Para el análisis económico de las medidas de ahorro y eficiencia energética, el técnico certificador deberá utilizar las

Fecha (de generación del documento): 07/08/2023

Ref. Catastral: 6598401VK8969N0001TS

Página 11 de 13

condiciones reales y datos históricos de consumo del edificio.

DESCRIPCIÓN DE LA MEDIDA DE MEJORA	
Características técnicas de la medida (modelo de equipos, materiales, parámetros característicos)	
DESCRIPCION	
Coste estimado de la medida	
COSTE ESTIMADO	
Otros datos de interés	
OTROS DATOS	



ANEXO IV
PRUEBAS, COMPROBACIONES E INSPECCIONES REALIZADAS POR EL
TÉCNICO CERTIFICADOR

Se describen a continuación las pruebas, comprobaciones e inspecciones llevadas a cabo por el técnico certificador durante el proceso de toma de datos y de calificación de la eficiencia energética del edificio, con la finalidad de establecer la conformidad de la información de partida contenida en el certificado de eficiencia energética.

Fecha de realización de la visita del técnico certificador	-
---	---



CALIFICACIÓN ENERGÉTICA DEL EDIFICIO TERMINADO ETIQUETA



DATOS DEL EDIFICIO

Normativa vigente construcción / rehabilitación

Año: 2021

CTE: 2019

Tipo de edificio

EDIFICIO COMPLETO TERCARIO

Dirección

C/ MIGUEL HERNÁNDEZ

Municipio

CAMPO DE CRIPTANA

C.P.

13610

Referencia/s catastral/es

1361710XH9316S0048OH

C. Autónoma

CIUDAD REAL

ESCALA DE LA CALIFICACIÓN ENERGÉTICA

Consumo de energía
kW h / m² año

Emisiones
Kg CO₂ / m² año

A más eficiente

71,70A

12,91A

B

C

D

E

F

G menos eficiente

REGISTRO

E2021VM047220

14/07/2031

Válido hasta dd/mm/aaaa



ESPAÑA
Directiva 2010 / 31 / UE



2. ANEJOS

2.1 FICHAS TÉCNICAS:

- 2.1.1 Vidrio empleado, "Guardian Glass "
- 2.1.2 Caldera ACS, "VITODENSS "
- 2.1.3 Inter acumulador ACS, " Corflow de Ygnis "
- 2.1.4 Enfriadora, "DAIKIN"
- 2.1.5 Fancoils, "DAIKIN "
- 2.1.6 Recuperador de calor, "GREE BRV "
- 2.1.7 VRV- unidades exteriores "GREE UMATCH "
- 2.1.8 MATERIALES PARA CONDUCCIÓN DE AIRE "CONDUCTOS"



2.1.1 VIDRIO TEMPLADO GUARDIAN GLASS



GUARDIAN GLASS PRODUCT SELECTOR

Product	Colour	VISIBLE LIGHT			Solar factor (g) EN 410 [%]	Shad. coeff. g EN / 0.87	U-value (EN 673) Argon 90% [W/m²K]
		Transmission [%]	Reflection outside [%]	Reflection inside [%]			
ClimaGuard®							

Double Glazing 4 - 16 - 4, ClimaGuard® on surface #3

Premium2 neutral	82	12	13	98	64	0.74	1.1
------------------	----	----	----	----	----	------	-----

Last update: 7/1/2020

LEGAL NOTICE

The products in this publication are sold subject to Guardian's standard terms and conditions of sale and any applicable written warranties. It is the responsibility of the purchaser to confirm that the products are suitable for their intended application in compliance with the applicable laws and regulations. Please contact your local Guardian representative to obtain any applicable handling and fabrication guides and for the most current product information.

SunGuard®, ClimaGuard®, Guardian ExtraClear® and Guardian UltraClear® are registered trademarks of Guardian Glass, LLC.

©2018 Guardian Glass, LLC.

Ultra products use Guardian UltraClear® low iron float as base glass. Other SunGuard® products use Guardian ExtraClear® float and might be available on Guardian UltraClear® base glass upon request.

The performance values shown are nominal and subject to variations due to manufacturing tolerances. Spectra-photometric values according to EN 410; U-values according to EN 673.

* Consult Guardian processing directives or contact Guardian.

** Values are for annealed glass except where ** (after heat treatment).

*** All products in the glazing use Guardian UltraClear® base glass.

In insulating glass spandrels, based on our experience, black or dark grey are the enamel colours that better match with the vision areas. For more information you can contact your local Technical Advisory Center.

The information provided above is a general recommendation only based on visual mock-ups and compatibility tests performed with the indicated Ferro ceramic frit system. Other ceramic frit systems/bands can consist of different components; this can lead to compatibility issues with the Guardian SunGuard coatings and/or can modify the final esthetic appearance of the relevant paint-coating combination. It is the responsibility of the users of this information to assure that appropriate compatibility tests in a real size mock-up are performed to verify the colour matching between vision and spandrel.

Configuración de cookies

2.1.2 CALDERA ACS VITODENS

Calderas de
condensación a gas

Vitodens 200-W
49 a 99 kW
Funcionamiento en cascada hasta 594 kW



VITODENS 200-W 49-99 kW

La caldera de condensación a gas de alta potencia Vitodens 200-W es una de las calderas más eficientes y fiables para uso comercial. Las bombas de alta eficiencia ya están incorporadas de serie. Disponible en soluciones de cascada de hasta 594 kW con 6 unidades.

El rango de 45 a 99 kW de las calderas de condensación a gas Vitodens 200-W es fácil de instalar, puede montarse opcionalmente en cascada, cuenta con regulación en función de las condiciones meteorológicas y bomba de alta eficiencia de serie.

Ventajas

- Rendimiento hasta 98% (PCS) / 109% (PCI)
- Clase 5 NOx (<39mg/kWh)
- Emisión de ruido inferior a 32dB (A)
- Funcionamiento en cascada de hasta 594 kW con 6 unidades (excepto 69 kW)
- Presión de servicio de hasta 4 bar
- Bombas de alta eficiencia de serie
- Disponibilidad de una caldera con potencia de 69 kW para realizar instalaciones sin proyectos de ingeniería (según RITE)

Bomba de alta eficiencia (como accesorio)

- Cumple con la directiva ErP para bombas energéticas con calificación A
- Ahorra hasta un 50% del consumo eléctrico

Quemador cilíndrico MatriX

- Rango de modulación de hasta 1:5
- Tecnología patentada fabricada por Viessmann
- Bajas emisiones de NOx y CO
- La malla de acero inoxidable MatriX garantiza una fiabilidad a largo plazo

Intercambiador térmico Inox-Radial

- Excelente resistencia a la corrosión gracias al acero inoxidable de alta calidad (tipo DIN 1.4571)
- Superficie lisa de acero inoxidable autolimpiable
- 10 años de garantía contra la corrosión

Rango de potencia

- 49, 60, 69, 80, 99 kW

Controlador de la combustión Lambda Pro

- No es necesario cambiar la boquilla para transformarlo a GLP
- Alta eficiencia estable incluso con composición de gas y presión de aire fluctuantes
- Combustión limpia constante
- Bajo ruido de combustión gracias a la baja velocidad del ventilador
- Eficiencia optimizada durante toda su vida útil
- Puesta en marcha sencilla y a prueba de fallos de la caldera

Regulación

- Vitotronic 100 ó 200 (bajo pedido)
- Comunicación y supervisión de datos remotas
- Interfaz bomba de calor / solar
- Sensores de control de seguridad
- Funciones de puesta en marcha automática
- Compensación por condiciones meteorológicas (opcional)
- Control remoto a través de Internet con Vitocom 100 y Vitocom 300



Vitotronic 200 HO1B -
curva de calor

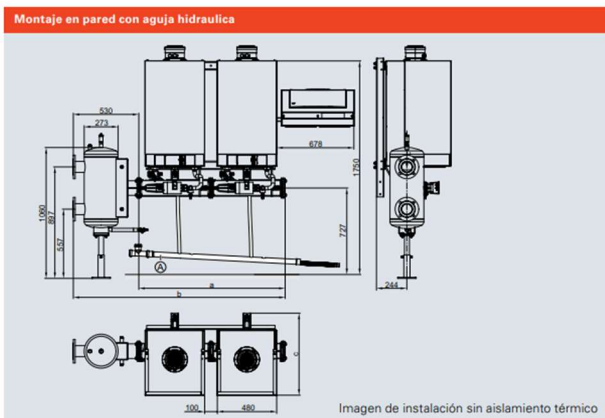


10 años de garantía

en todos los intercambiadores de calor de calderas de condensación hasta 150 kW

Calderas de
condensación a gas

Sistema compacto de calderas en cascada

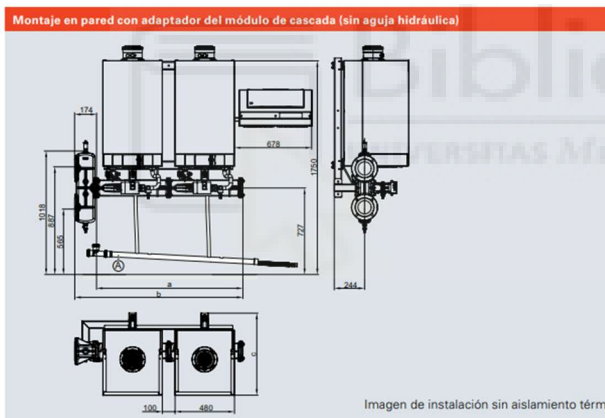


Ⓐ Distribuidor de condensado (accesorio)

Número de calderas		2	3	4	5	6			
Rango de pot. nominal (individual)	kW	49 - 60	80 - 99	49 - 60	80 - 99	49 - 60	80 - 99	49 - 60	80 - 99
Rango de pot. nominal (cascada)	kW	12 - 98	20 - 160	12 - 147	20 - 240	12 - 196	20 - 320	12 - 245	20 - 400
Rango de pot. nominal (cascada)	kW	12 - 120	20 - 198	12 - 180	20 - 297	12 - 240	20 - 396	12 - 300	20 - 495
a	mm	1190	1190	1770	1770	2350	2350	2930	2930
b	mm	1720	1720	2300	2300	2880	2880	3460	3460
c	mm	511	661	511	661	511	661	511	661

¡Importante!

La altura puede reducirse en un máximo de 150 mm. En tal caso, los perfiles de fijación deben instalarse de manera acorde



Ⓐ Distribuidor de condensado (accesorio)

Número de calderas		2	3	4	5	6			
Rango de pot. nominal (individual)	kW	49 - 60	80 - 99	49 - 60	80 - 99	49 - 60	80 - 99	49 - 60	80 - 99
Rango de pot. nominal (cascada)	kW	12 - 98	20 - 160	12 - 147	20 - 240	12 - 196	20 - 320	12 - 245	20 - 400
Rango de pot. nominal (cascada)	kW	12 - 120	20 - 198	12 - 180	20 - 297	12 - 240	20 - 396	12 - 300	20 - 495
a	mm	1190	1190	1770	1770	2350	2350	2930	2930
b	mm	1364	1364	1944	1944	2524	2524	3104	3104
c	mm	511	661	511	661	511	661	511	661

¡Importante!

La altura puede reducirse en un máximo de 300 mm. En tal caso, los perfiles de fijación deben instalarse de manera acorde

Caldera a gas, sistema de construcción B y C, category II _{NOP}		Vitodens 200-W B2HA						
Margen de potencia térmica útil 49 y 60 kW: datos según EN 15502-1 80 a 150 kW: datos según EN 15417.								
T _i /T _R = 50/30 °C con gas natural	kW	12,0-49,0	12,0-60,0	20,0-69,0	20,0-80,0	20,0-99,0	32,0-120,0	32,0-150,0
T _i /T _R = 80/60 °C con gas natural	kW	10,9-45,0	10,9-55,2	18,2-65,8	18,2-74,1	18,2-90,9	29,1-110,9	29,0-136,0
T _i /T _R = 50/30 °C con GLP	kW	17,0-49,0	17,0-60,0	30,0-69,0	30,0-80,0	30,0-99,0	32,0-120,0	32,0-150,0
T _i /T _R = 80/60 °C con GLP	kW	15,5-45,0	15,5-55,2	27,0-65,8	27,3-74,1	27,3-90,9	29,1-110,9	29,0-136,0
Carga térmica nominal con gas natural	kW	11,2-45,7	11,2-56,2	18,8-66,5	18,8-75,0	18,8-92,9	30,0-113,3	30,0-142,0
arga térmica nominal con GLP	kW	16,1-45,7	16,1-56,2	28,1-66,5	28,1-75,0	28,1-92,9	30,0-113,3	30,0-142,0
Modelo		B2HA						
Nº distintivo de homologación		CE-0085CN0050						
Tipo de protección		IP X4 según EN 60529						
Presión de alimentación de gas								
Gas natural	mbar	20 2						
GLP	mbar kPa	50 5						
Presión máx. admisible de alimentación de gas¹								
Gas Natural	mbar kPa	25,0 2,5						
GLP	mbar kPa	57,5 5,75						
Nivel sonoro (según EN ISO 15036-1)								
A carga parcial	dB(A)	39	39	38	38	38	40	40
A carga total	dB(A)	58	67	51	56	59	54	60
Consumo eléctrico (condición de entrega)	W	56	82	107	126	175	146	222
Peso	kg	65	65	83	83	83	130	130
Cpacidad del intercambiador de calor	l	7,0	7,0	12,8	12,8	12,8	15,0	15,0
Temperatura máxima de flujo	°C	76	76	76	76	76	82	82
Caudal máximo (valor límite para el uso de un desacoplador hidráulico)	l/h	3500	3500	5700	5700	5700	7165	8600
Caudal nominal en el circuito con T_i T _R = 80/60 °C	l/h	1748	2336	2784	3118	3909	4900	5850
Presión de servicio admisible	bar MPa	4 0,4	4 0,4	4 0,4	4 0,4	4 0,4	6 0,6	6 0,6
Dimensiones								
Longitud	mm	380	380	530	530	530	690	690
Anchura	mm	480	480	480	480	480	600	600
Altura	mm	850	850	850	850	850	900	900
Conexión de gas	R	3/4	3/4	1	1	1	1	1
Valores de conexión referidos a la carga máxima con gas								
con gas natural	m ³ /h kg/h	4,84 3,57	5,95 4,39	7,04 5,20	9,83 7,26	11,99 8,86	12,49 9,23	15,03 11,10
Índices de humos²								
Grupo de valores de combustión según G635/G636	G ₅₂ /G ₅₁							
G ₅₂ /G ₅₁								
Temperatura (con una temperatura de retorno de 30 °C)	°C	62	66	42	46	57	51	60
- con potencia térmica nominal	°C	39	39	37	37	37	39	39
- a carga parcial	°C							
Temperatura (con una temperatura de retorno de 60 °C)	°C	75	80	65	68	72	70	74
Caudal mísico								
Gas natural								
- con potencia térmica nominal	kg/h	78	104	122	139	174	210	253
- a carga parcial	kg/h	30	30	52	52	52	53	53
GLP								
- con potencia térmica nominal	kg/h	74	99	116	132	165	231	278
- a carga parcial	kg/h	28	28	49	49	49	59	59
Presión de impulsión disponible	Pa	250	250	250	250	250	250	250
	mbar	2,52	2,5	2,5	2,52	2,5	2,52	2,5
Cantidad media de condensados según DWA-A 251	l/h	6,3	8,41	9,8	11,2	14,0	17,5	21,0
Conexión de condensados (boquilla)	Ø mm	20-24	20-24	20-24	20-24	20-24	20-24	20-24
Conexión de humos	Ø mm	80	80	100	100	100	100	100
Conexión de entrada de aire	Ø mm	125	125	150	150	150	150	150
Rendimiento estacional a T _i /T _R = 40 / 30 °C		hasta 98% (PCS) / 109% (PCI)						
Clase de eficiencia energética	A	A	-	-	-	-	-	-

*1 Si la presión de suministro de gas es superior al valor máximo admisible, instale un regulador de presión de gas separado del sistema.

*2 Valores de cálculo para dimensionar el sistema de salida de gases según la norma EN 13384. Temperaturas de los gases de combustión como valores brutos reales a una temperatura del aire de combustión de 20 °C. La temperatura de los gases de combustión a una temperatura de retorno de 30 °C es significativa para el dimensionado del sistema de salida de gases.

2.1.3 INTERACUMULADOR CORFLOW

DESCRIPCIÓN GENERAL | CORFLOW



CORFLOW: De 500 a 1.500 litros

Gran capacidad de interacumulación

Dotado de un serpentín con una gran superficie de intercambio, **Corflow** es un interacumulador capaz de suministrar ACS en instalaciones donde la demanda es muy exigente, garantizado de esta manera la continuidad en el servicio.



- Gracias a su **amplia gama**, desde 500 L a 1500 L, se minimiza el número de depósitos en una instalación, obteniendo así una **mejora** importante del **rendimiento** global.
- El **revestimiento vitrificado** monocapa y su **protección catódica** de magnesio lo convierten en un depósito **fiable**.
- Gracias a sus condiciones de servicio de **95°C y 8 bar**, se puede instalar en condiciones exigentes de temperatura y de presión.
- Altas potencias de intercambio que garantizan una **rápida recuperación de ACS** y una producción semi-instantánea.

Suministro

- Aislamiento flexible de poliuretano de 100 mm en toda la cuba (incluido inferior) y funda flexible de pvc
- Revestimiento vitrificado SECUR'email
- Serpentín de gran potencia
- Termómetro
- Ánodo de magnesio
- Boca de hombre a partir de 751 l
- Presión de servicio de 8 bar

5

*Garantía de 5 años.

202

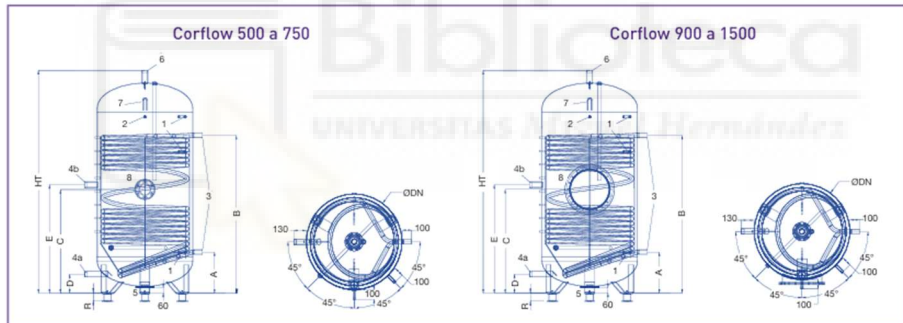
Interacumuladores

Potencias de intercambio

	500 L	750 L	900 L	1000 L	1500 L	
Pérdida de carga(*)	mbar	202	212	163	163	
Caudal primario	m ³ /h	4	5	5	5	
Temperatura primaria	°C	70 80 90 70 80 90 70 80 90 70 80 90 70 80 90				
Potencia a 60°C (**)	kW	57 82 106 67 98 127 79 115 147 79 115 147 98 141 180				
Producción continua a 60°C (**) L/h		972 1416 1824 1155 1688 2181 1358 1971 2532 1358 1971 2532 1689 2424 3100				
Potencia a 45°C (**) kW		79 101 123v 94 121 147 109 139 169 109 139 169 134 170 205				
Producción continua a 45°C (**) L/h		1941 2478 3012 2315 2962 3600 2688 3426 4158 2688 3426 4158 3294 4176 5046				
Producción en 10 min a 45°C (***)	L	630 650 671 914 919 921 1110 1121 1136 1229 1243 1260 1736 1747 1766				

*Fluido: agua **Agua Fría a 10°C ***Agua Fría a 10°C - Almacenamiento a 60°C

Dimensiones (medidas y datos técnicos)



	500	750	900	1000	1500
Medidas					
Volumen	L	500	750	900	1000
Ø DN	mm	650	790	790	1000
Conexión retorno inter (A)	mm	347	381	354	429
Conexión impulsión inter (B)	mm	1333	1271	1570	1644
Brida	mm	720	740	1008	1083
C Boca de hombre	-	-	-	-	-
Conexión agua fría (D)	mm		200		320
Conexión recirculación (E)	mm	920	937	1058	1200
Sondas y term. (1 y 2)			H 1 1/2" (15/21)		1132
Conexiones serpentín (3)	H 1 1/4" (33/42)		H 1 1/2" (40/49)		
AF/ACS/recirculación (4 y 6)		M 1 1/2" (40/49)		M 2" (50/60)	
Vaciado (5)			H 2" (50/60)		
Altura	mm	1900	1935	2215	2460
Con patas	mm	1985	2020	2300	2545
Ancho de paso	mm	680	800	-	-
Boca de hombre	mm	-	-	880	1045
Peso	kg	135	210	-	-
Boca de hombre	kg	-	-	252	255
Datos técnicos					
Longitud serpentín	m	29	31	35	46
Superficie serpentín	m ²	3,08	3,72	4,7	6,15
Volumen serpentín int	L	20	28	41	53
Código		650029	650030	650031	650032
PVP	€	2.165	2.455	3.215	3.245
					5.085

2.1.4 ENFRIADORA DAIKIN



Bombas de calor Daikin Altherma 3:
máximo rendimiento y eficiencia superior



Tabla de especificaciones técnicas EKHBRD-ADY17 / ERSQ-AY1

			EKHBRD016ADY17 / ERSQ016AAV1	EKHBRD011ADY17 / ERSQ011AAV1	EKHBRD014ADY17 / ERSQ014AAV1
Capacidad de calefacción	Nom.	kW	16.0 (1), 16.0 (2), 16.0 (3)	11.3 (1), 11.0 (2), 11.2 (3)	14.5 (1), 14.0 (2), 14.4 (3)
Consumo	Calefacción	Nom.	kW	5.86 (1), 6.65 (2), 4.31 (3)	3.87 (1), 4.40 (2), 2.67 (3)
COP				2.73 (1), 2.41 (2), 3.72 (3)	2.92 (1), 2.50 (2), 4.20 (3)
Calef. de habitaciones	Temp. del agua de salida, clima medio 55°C	General	SCOP	3.01	2.96
	Seasonal space heating eff. class		A+	A+	A+
Temp. agua salida, clima medio 35°C	General	SCOP	2.88	2.70	2.81
	Clase de efic. estac. de calef. de habitaciones	B		C	B
Notas	(1) - EW 55°C; LW 65°C; Dt 10°C; condiciones ambiente: 7°CBS/6°CBH (2) - EW 70°C; LW 80°C; Dt 10°C; condiciones ambiente: 7°CBS/6°CBH (3) - EW 30°C; LW 35°C; Dt 5°C; condiciones ambiente: 7°CBS/6°CBH	(1) - EW 55°C; LW 65°C; Dt 10°C; condiciones ambiente: 7°CBS/6°CBH (2) - EW 70°C; LW 80°C; Dt 10°C; condiciones ambiente: 7°CBS/6°CBH (3) - EW 30°C; LW 35°C; Dt 5°C; condiciones ambiente: 7°CBS/6°CBH	(1) - EW 55°C; LW 65°C; Dt 10°C; condiciones ambiente: 7°CBS/6°CBH (2) - EW 70°C; LW 80°C; Dt 10°C; condiciones ambiente: 7°CBS/6°CBH (3) - EW 30°C; LW 35°C; Dt 5°C; condiciones ambiente: 7°CBS/6°CBH	(1) - EW 55°C; LW 65°C; Dt 10°C; condiciones ambiente: 7°CBS/6°CBH (2) - EW 70°C; LW 80°C; Dt 10°C; condiciones ambiente: 7°CBS/6°CBH (3) - EW 30°C; LW 35°C; Dt 5°C; condiciones ambiente: 7°CBS/6°CBH	(1) - EW 55°C; LW 65°C; Dt 10°C; condiciones ambiente: 7°CBS/6°CBH (2) - EW 70°C; LW 80°C; Dt 10°C; condiciones ambiente: 7°CBS/6°CBH (3) - EW 30°C; LW 35°C; Dt 5°C; condiciones ambiente: 7°CBS/6°CBH

2.1.5 FANCOILS "DAIKIN"



Fan Coil Units **Technical Data**



2 Specifications

2-1 Technical Specifications - (2 pipe)			FWV01DATN 6V3/TV6V3	FWV02DATN 6V3/TV6V3	FWV03DATN 6V3/TV6V3	FWV04DATN 6V3/TV6V3	FWV06DATN 6V3/TV6V3	FWV08DATN 6V3/TV6V3	FWV10DATN 6V3/TV6V3		
Cooling capacity	Total capacity	High	kW	1.54 (1)	2.09 (1)	2.93 (1)	4.33 (1)	4.77 (1)	6.71 (1)	8.02 (1)	
		Nom.	kW	1.24 (1)	1.81 (1)	2.38 (1)	3.27 (1)	3.87 (1)	5.27 (1)	6.24 (1)	
		Low	kW	1.04 (1)	1.45 (1)	1.76 (1)	2.51 (1)	3.17 (1)	3.97 (1)	4.11 (1)	
	Sensible capacity	High	kW	1.20 (1)	1.51 (1)	2.11 (1)	3.15 (1)	3.65 (1)	4.91 (1)	5.96 (1)	
		Nom.	kW	0.97 (1)	1.31 (1)	1.70 (1)	2.45 (1)	2.92 (1)	3.83 (1)	4.63 (1)	
		Low	kW	0.79 (1)	1.05 (1)	1.26 (1)	1.80 (1)	2.32 (1)	2.84 (1)	3.05 (1)	
Heating capacity	2 pipe	High	kW	2.14 (2)	2.57 (2)	3.81 (2)	5.63 (2)	6.36 (2)	7.83 (2)	10.03 (2)	
		Medium	kW	1.73 (2)	2.18 (2)	3.08 (2)	4.30 (2)	5.21 (2)	6.23 (2)	7.80 (2)	
		Low	kW	1.43 (2)	1.79 (2)	2.28 (2)	3.29 (2)	4.24 (2)	4.77 (2)	5.24 (2)	
Power input	High	W	37	53	56		98	137	175		
	Nom.	W	28	36	43	61	68	104	130		
	Low	W	21	24	29	38	47	76	90		
Dimensions	Unit	Height	mm			564					
		Width	mm	774	984		1,194		1,404		
		Depth	mm		226				251		
Weight	Unit	kg	19	20	25	30	31		41		
		kg				-					
Casing	Colour			Plastic and metal RAL9010							
	Material			Plastic + sheet metal							
Heat exchanger	Rows	Quantity		2			3				
	Stages	Quantity			10			12			
	Fin pitch	mm	1.8		1.6	1.8	1.6		2.1		
	Face area	m ²		0.086	0.138		0.191		0.292		
	Water volume	l	0.5	0.7	1		1.4		2.1		
Fan	Type				Centrifugal multi-blade, double suction						
	Quantity			1			2				
	Air flow rate	High	m ³ /h	319	344	442	706	785	1,011	1,393	
		Medium	m ³ /h	233	271	341	497	605	771	1,022	
		Low	m ³ /h	178	211	241	361	470	570	642	
	Available pressure	High	Pa				-				
Fan motor	Speed	Steps		3 (high, medium, low)							
	Model			Closed induction, B class insulation, winding thermal cut-out							
Sound power level	High	dBA	45	50	47	52	56	58	64		
	Nom.	dBA	39	44	41	43	49	51	57		
	Low	dBA	33	38	33	35	43	44	48		
Water flow	Cooling	l/h	265	359	504	745	820	1,154	1,343		
	Heating	l/h	265	359	504	745	820	1,154	1,343		
Water pressure drop	Cooling	kPa		13	11	12	14	12	19		
	Heating	kPa	9	11		9	10	9	16		
Air filter			Plastic								
Insulation material			Class 1 self-extinguishing								
Vibration insulation			Rubber ring for fan motor								
Water connections	Std. heat exchanger	inch		1/2				3/4			
Piping connections	Drain	OD	mm	16							
Notes				(1) Cooling: 2 pipe: air 27°CDB, 19°CWB; entering water 7°C; leaving water 12°C							
				(2) Heating: 2 pipe: air 20°CDB; entering water 50°C; water flow rate as during cooling							
				(3) Air flow at 0Pa ESP							

2.1.6 RECUPERADOR DE CALOR “GREE”

ERV
UNIDADES INTERIORES GMV

Recuperador de calor utilizado en sistemas de ventilación mecánica para recuperar la energía térmica y de humedad del aire de la sala y transferirla al aire fresco entrante. De esta manera, se mejora la eficiencia energética del sistema de ventilación y se reduce la carga térmica en el sistema.



UNIDADES INTERIORES GMV



Iconos representativos:

- Filtro HEPA
- Función X-Fan
- Renovación de aire
- Motor inverter
- R410A
- WiFi
- Opcional Modbus
- Opcional BACnet
- Opcional Control de pared
- Opcional Control centralizado
- Control turbo
- Modo silencio
- Garantía 4 años

3IGR020
Control por cable
XE70-33/H
De serie

3IGR0156
Control centralizado
CE58-00/EF(CM)
Opcional

MODELO	ERV 85HP	ERV 120HP	ERV 145HP
Código	3IGR7420	3IGR7421	3IGR7422
Referencia de fabricante	GMV-VDR5PH/SA-S	GMV-VDR8PH/SA-S	GMV-VDR10PH/SA-S
Potencia	Frío (kW) 8.5	12.0	14.5
	Calor (kW) 4.0	10.6	12.0
Corriente	Frio (A) 1.12	1.12	1.12
	Calor (A) 1.12	1.12	1.12
Alimentación	(V / f / Hz) 220 - 240 / 1 / 50 / 60	220 - 240 / 1 / 50 / 60	220 - 240 / 1 / 50 / 60
Conexiones	Líquido (Pul.) 1/4	3/8	3/8
	Gas (Pul.) 1/2	5/8	5/8
Diámetro exterior de tubería de drenaje	(mm) 26	26	26
Grosor de la tubería de drenaje	(mm) 3	3	3
Cable de alimentación	(n° x s) 2 x 1.5 + T	2 x 1.5 + T	2 x 1.5 + T
Caudal de aire	(m³/h) 300 - 500	400 - 800	600 - 1000
Presión disponible	(Pa) 150	150	150
Presión sonora	(dB(A)) 32 - 41	33 - 46	37 - 49
Producto Ancho / Alto / Fondo	(mm) 1700 / 340 / 880	1800 / 390 / 1185	1800 / 390 / 1185
Embalaje Ancho / Alto / Fondo	(mm) 1988 / 535 / 1138	2110 / 567 / 1440	2110 / 567 / 1440
Peso neto / bruto	(kg) 120 / 175	158 / 225	158 / 225

2.1.7 UNIDADES INTERIORES “GREE U-MATCH”

NUEVO

CONDUCTOS

UNIDADES U-MATCH

Ofrecen una amplia gama de opciones en cuanto a capacidad, con opciones monofásicas y trifásicas, adaptándose a las necesidades de cada espacio. Además, su diseño compacto y de fácil instalación los convierte en una opción perfecta tanto para instalaciones residenciales como comerciales.

VER EN LA WEB



R32 G10 Inverter 4 AÑOS DE GARANTÍA

*Solo para los modelos de 24 a 60.

Clase energética A++/A+

Presión estática disponible de 0 a 200 Pa según modelo

Desagüe para condensados en ambos lados

Diseño optimizado

- Permite mejorar el rendimiento y reducir nivel sonoro

Varias opciones de filtros purificadores

- Diferentes filtros esterilizadores que pueden ser instalados en la unidad interior (catequina, carbón activo, etc.).



Opcional



*Solo para los modelos de 24 a 60.

Bomba de drenaje incluida

- Se puede elevar hasta 1 metro.

Entrada de renovación de aire**Modbus integrado****Sistemas de control**

- Control WiFi integrado
- Control remoto y centralizado opcionales
- Es posible instalar dos mandos de pared en una misma unidad interior, poniéndolas por ejemplo en distintos sitios de la habitación.

LO QUE INCLUYE



CARACTERÍSTICAS TÉCNICAS - TRIFÁSICO

MODELO	UM CDT 36 3F	UM CDT 42 3F	UM CDT 48 3F	UM CDT 60 3F
Código	3NGR0595	3NGR0600	3NGR0605	3NGR0610
Referencia de fabricante UI	GUD100PHSI/A-S	GUD125PHSI/A-S	GUD140PHSI/A-S	GUD160PHSI/A-S
Referencia de fabricante UE	GUD100W/Nha-X	GUD125W/Nha-X	GUD140W/Nha-X	GUD160W/Nha-X
Potencia	Frio (W) (3200 - 11000)	10500 (3600 - 13100)	12100 (3600 - 14200)	13400 (4800 - 17000)
	Calor (W) (3000 - 12500)	11500 (3600 - 14500)	13500 (3900 - 16000)	15500 (4500 - 18000)
Potencia -10°C	(W)	9910	11630	13360
Eficiencia energética	SEER	6.4	6.1	6.1
	SCOP	4.2	4.1	4
Clase energética	Frio / Calor	A++ / A+	A++ / A+	A++ / A+
Consumo eléctrico	Frio (W)	3000	3580	4500
	Calor (W)	2800	3700	4500
Corriente	Frio (A)	4.8	5.7	6.8
	Calor (A)	4.45	5.9	6.8
Alimentación	(V / f / Hz)	380 - 415 / 3 / 50	380 - 415 / 3 / 50	380 - 415 / 3 / 50
Rango de temperatura interior	Frio (°C)	+16 - +30	+16 - +30	+16 - +30
	Calor (°C)	+16 - +30	+16 - +30	+16 - +30
Rango de temperatura exterior	Frio (°C)	-20 - +52	-20 - +52	-20 - +52
	Calor (°C)	-20 - +24	-20 - +24	-20 - +24
Conexiones	Líquido (P.u.)	3/8	3/8	3/8
	Gas (P.u.)	5/8	5/8	5/8
Longitud precargada	(m)	7	7	9.5
Longitud máxima (UI/UE)	(m)	75	75	75
Longitud vertical máxima UI/UE	(m)	30	30	30
Cable de comunicación (LiCYC)	(mm)	4 x 1	4 x 1	4 x 1
UNIDAD INTERIOR				
Cable de alimentación	(nº x s)	4 x 1	4 x 1	4 x 1
Caudal de aire	(m³/h)	1200 - 1700	1400 - 2000	1500 - 2300
Presión sonora	(dB(A))	36 - 39	40 - 43	38 - 43
Potencia sonora	(dB(A))	62	66	67
Unidad Ancho / Alto / Fondo	(mm)	1340 / 260 / 655	1340 / 260 / 655	1400 / 300 / 700
Embalaje Ancho / Alto / Fondo	(mm)	1568 / 323 / 770	1568 / 323 / 770	1601 / 365 / 813
Peso neto / bruto	(kg)	43 / 49	43 / 49	52 / 58
Presión estática	(Pa)	37	50	50
	(mín - máx)	0 - 160	0 - 160	0 - 200
UNIDAD EXTERIOR				
Cable de alimentación	(nº x s)	4 x 2.5 + T	4 x 2.5 + T	4 x 2.5 + T
Caudal de aire	(m³/h)	4800	5200	5200
Presión sonora	(dB(A))	57	58	59
Potencia sonora	(dB(A))	70	73	75
Refrigerante		R32	R32	R32
Carga de refrigerante	(kg)	2.1	2.25	2.8
Carga adicional	(g/m)	20	20	35
Unidad Ancho / Alto / Fondo	(mm)	940 / 820 / 370	940 / 820 / 370	990 / 960 / 370
Embalaje Ancho / Alto / Fondo	(mm)	1093 / 885 / 497	1093 / 885 / 497	1153 / 1110 / 478
Peso neto / bruto	(kg)	75 / 82	76 / 83	81 / 88
				94 / 103

2.1.8 MATERIALES PARA CONDUCCIÓN DE AIRE “CONDUCTOS”

Gama



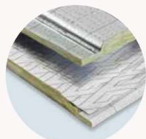
12 URSA AIR Sistemas de redes de conductos de climatización y ventilación

URSA AIR

Paneles y mantas de lana mineral para el aislamiento térmico y acústico, y/o para la construcción de los conductos de climatización.

	URSA AIR Panel Alu-Alu P5858		URSA AIR Manta Zero IN M8703
	URSA AIR Panel Alu-Tech2 P8058		URSA AIR Manta aluminio reforzada M5102L
	URSA AIR Panel Zero P8858		URSA AIR Manta aluminio puro incombustible M3603
	URSA AIR Panel Zero A2		URSA AIR Manta aluminio M2021
	URSA AIR Maletines de herramientas		URSA AIR Herramientas

URSA AIR
Panel Alu-Alu P5858



InCare



CE N EOTA

0099/CPR/A43/0294 020/003540 ETE 22/0024

Panel

Código	Formato	Espesor mm	Ancho m	Largo m	Dis.	Ud./Pq	m ² /Pq	Pq /palet	m ² /palet	Rt m ² ·K/W
2075014	Caja	25	1,20	3,00	S	6	21,60	7	151,20	0,78
2133145	Palé a granel XL	25	1,20	3,00	S	46	165,60	-	165,60	0,78
2135083	Palé a granel XS	25	1,20	2,40	S	46	132,48	-	132,48	0,78

Dis: disponibilidad S: stock C: consultar Pq: paquete Rt: resistencia térmica (indicada a 10 °C)

Caja Caja con 6 paneles 3x1,2 m. XL Palés con 46 paneles a granel de 3x1,2 m. XS Palés con 46 paneles a granel de 2,4x1,2 m.

Prestaciones acústicas										
Frecuencia (Hz)				125 250 500 1000 2000 4000						
Coeficiente de absorción acústica (ε)				0,20 0,15 0,45 0,60 0,50 0,35						
				200x200	2,21	1,47	6,87	10,27	7,96	4,83
				300x400	1,29	0,86	4,01	5,99	4,64	2,82
				400x500	0,99	0,66	3,09	4,62	3,58	2,17
				400x700	0,87	0,58	2,70	4,04	3,13	1,90
				500x1000	0,66	0,44	2,06	3,08	2,39	1,45

Cálculos realizados con la absorción acústica con plenum de 37 cm.

Panel de lana mineral con tecnología InCare para la construcción de conductos de climatización conforme a la norma UNE EN 14303.

DoP 34AIR32AK0B22021

Acabado

- Interior: complejo kraft-aluminio con sistema de marcado IN.
- Exterior: complejo kraft-aluminio reforzado.

Lambda (λ90/90)	10°C	EN 12667 EN 12939	0,032 W/m·K
Lambda (λ90/90)	24°C		0,034 W/m·K
Lambda (λ90/90)	40°C		0,036 W/m·K
Lambda (λ90/90)	60°C		0,038 W/m·K
Reacción al fuego (Euroclases)	EN 13501-1	B-s1,d0	
Absorción acústica sin plenum (ε)		0,45	
Resistencia a la presión	EN 13403	800 Pa	
Resistencia a la difusión del vapor de agua	EN 12086	MV1 - 148,15 m ² ·Pa/mg	
Estanqueidad	RITE	ATC1	
Estanqueidad	EN 1507	D	
Densidad nominal aproximada		81 kg/m ³	
Código designación	MW-EN 14303-T5-MV1		

Gama URSA AIR 13



Condensaciones

UNE EN ISO 13788

ÍNDICE

1. AULAS P BAJA.....	1
1.1. Cerramiento exterior.....	1
1.1.1. Resultados del cálculo de condensaciones.....	1
1.1.2. Condiciones higrotérmicas de cálculo.....	1
1.1.3. Descripción del elemento constructivo.....	1
1.1.4. Cálculo del factor de temperatura superficial interior necesario para evitar la humedad superficial crítica.....	1
1.1.5. Cálculo de condensaciones intersticiales.....	1
1.1.6. Representación gráfica de las condensaciones intersticiales previstas.....	1
1.2. Cubierta 3 - Inclinadas aulas.....	1
1.2.1. Resultados del cálculo de condensaciones.....	1
1.2.2. Condiciones higrotérmicas de cálculo.....	1
1.2.3. Descripción del elemento constructivo.....	1
1.2.4. Cálculo del factor de temperatura superficial interior necesario para evitar la humedad superficial crítica.....	1
1.2.5. Cálculo de condensaciones intersticiales.....	1
1.2.6. Representación gráfica de las condensaciones intersticiales previstas.....	1
2. BAÑOS P BAJA.....	1

2.1. Cerramiento exterior.....	1
2.1.1. Resultados del cálculo de condensaciones.....	1
2.1.2. Condiciones higrotérmicas de cálculo.....	1
2.1.3. Descripción del elemento constructivo.....	1
2.1.4. Cálculo del factor de temperatura superficial interior necesario para evitar la humedad superficial crítica.....	1
2.1.5. Cálculo de condensaciones intersticiales.....	1
2.1.6. Representación gráfica de las condensaciones intersticiales previstas.....	1
2.2. Cubierta 3 - Inclinadas aulas.....	1
2.2.1. Resultados del cálculo de condensaciones.....	1
2.2.2. Condiciones higrotérmicas de cálculo.....	1
2.2.3. Descripción del elemento constructivo.....	1
2.2.4. Cálculo del factor de temperatura superficial interior necesario para evitar la humedad superficial crítica.....	1
2.2.5. Cálculo de condensaciones intersticiales.....	1
2.2.6. Representación gráfica de las condensaciones intersticiales previstas.....	1
3. CIRCULACIONES P BAJA.....	1
3.1. Cerramiento exterior.....	1
3.1.1. Resultados del cálculo de condensaciones.....	1
3.1.2. Condiciones higrotérmicas de cálculo.....	1
3.1.3. Descripción del elemento constructivo.....	1
3.1.4. Cálculo del factor de temperatura superficial interior necesario para evitar la humedad superficial crítica.....	1
3.1.5. Cálculo de condensaciones intersticiales.....	1

3.1.6. Representación gráfica de las condensaciones intersticiales previstas.....	1
3.2. Cubierta 1-Polivalente.....	1
3.2.1. Resultados del cálculo de condensaciones.....	1
3.2.2. Condiciones higrotérmicas de cálculo.....	1
3.2.3. Descripción del elemento constructivo.....	1
3.2.4. Cálculo del factor de temperatura superficial interior necesario para evitar la humedad superficial crítica.....	1
3.2.5. Cálculo de condensaciones intersticiales.....	1
3.2.6. Representación gráfica de las condensaciones intersticiales previstas.....	1
3.3. Cubierta 3 - Inclinadas aulas.....	1
3.3.1. Resultados del cálculo de condensaciones.....	1
3.3.2. Condiciones higrotérmicas de cálculo.....	1
3.3.3. Descripción del elemento constructivo.....	1
3.3.4. Cálculo del factor de temperatura superficial interior necesario para evitar la humedad superficial crítica.....	1
3.3.5. Cálculo de condensaciones intersticiales.....	1
3.3.6. Representación gráfica de las condensaciones intersticiales previstas.....	1
4. OFICINAS P BAJA.....	1
4.1. Cerramiento exterior.....	1
4.1.1. Resultados del cálculo de condensaciones.....	1
4.1.2. Condiciones higrotérmicas de cálculo.....	1
4.1.3. Descripción del elemento constructivo.....	1
4.1.4. Cálculo del factor de temperatura superficial interior necesario para evitar la humedad superficial crítica.....	1

4.1.5. Cálculo de condensaciones intersticiales.....	1
4.1.6. Representación gráfica de las condensaciones intersticiales previstas.....	1
4.2. Cubierta 3 - Inclinadas aulas.....	1
4.2.1. Resultados del cálculo de condensaciones.....	1
4.2.2. Condiciones higrotérmicas de cálculo.....	1
4.2.3. Descripción del elemento constructivo.....	1
4.2.4. Cálculo del factor de temperatura superficial interior necesario para evitar la humedad superficial crítica.....	1
4.2.5. Cálculo de condensaciones intersticiales.....	1
4.2.6. Representación gráfica de las condensaciones intersticiales previstas.....	1
5. SALAS.....	1
5.1. Cerramiento exterior.....	1
5.1.1. Resultados del cálculo de condensaciones.....	1
5.1.2. Condiciones higrotérmicas de cálculo.....	1
5.1.3. Descripción del elemento constructivo.....	1
5.1.4. Cálculo del factor de temperatura superficial interior necesario para evitar la humedad superficial crítica.....	1
5.1.5. Cálculo de condensaciones intersticiales.....	1
5.1.6. Representación gráfica de las condensaciones intersticiales previstas.....	1
5.2. Cubierta 1-Polivalente.....	1
5.2.1. Resultados del cálculo de condensaciones.....	1
5.2.2. Condiciones higrotérmicas de cálculo.....	1
5.2.3. Descripción del elemento constructivo.....	1

5.2.4. Cálculo del factor de temperatura superficial interior necesario para evitar la humedad superficial crítica.....	1
5.2.5. Cálculo de condensaciones intersticiales.....	1
5.2.6. Representación gráfica de las condensaciones intersticiales previstas.....	1
6. BAÑOS P PRIMERA.....	1
6.1. Cerramiento exterior.....	1
6.1.1. Resultados del cálculo de condensaciones.....	1
6.1.2. Condiciones higrotérmicas de cálculo.....	1
6.1.3. Descripción del elemento constructivo.....	1
6.1.4. Cálculo del factor de temperatura superficial interior necesario para evitar la humedad superficial crítica.....	1
6.1.5. Cálculo de condensaciones intersticiales.....	1
6.1.6. Representación gráfica de las condensaciones intersticiales previstas.....	1
6.2. Cubierta 2-Transitable.....	1
6.2.1. Resultados del cálculo de condensaciones.....	1
6.2.2. Condiciones higrotérmicas de cálculo.....	1
6.2.3. Descripción del elemento constructivo.....	1
6.2.4. Cálculo del factor de temperatura superficial interior necesario para evitar la humedad superficial crítica.....	1
6.2.5. Cálculo de condensaciones intersticiales.....	1
6.2.6. Representación gráfica de las condensaciones intersticiales previstas.....	1
6.3. Cubierta 3 - Inclinadas aulas.....	1
6.3.1. Resultados del cálculo de condensaciones.....	1
6.3.2. Condiciones higrotérmicas de cálculo.....	1

6.3.3. Descripción del elemento constructivo.....	1
6.3.4. Cálculo del factor de temperatura superficial interior necesario para evitar la humedad superficial crítica.....	1
6.3.5. Cálculo de condensaciones intersticiales.....	1
6.3.6. Representación gráfica de las condensaciones intersticiales previstas.....	1
7. AULAS P PRIMERA.....	1
7.1. Cerramiento exterior.....	1
7.1.1. Resultados del cálculo de condensaciones.....	1
7.1.2. Condiciones higrotérmicas de cálculo.....	1
7.1.3. Descripción del elemento constructivo.....	1
7.1.4. Cálculo del factor de temperatura superficial interior necesario para evitar la humedad superficial crítica.....	1
7.1.5. Cálculo de condensaciones intersticiales.....	1
7.1.6. Representación gráfica de las condensaciones intersticiales previstas.....	1
7.2. Cubierta 3 - Inclinadas aulas.....	1
7.2.1. Resultados del cálculo de condensaciones.....	1
7.2.2. Condiciones higrotérmicas de cálculo.....	1
7.2.3. Descripción del elemento constructivo.....	1
7.2.4. Cálculo del factor de temperatura superficial interior necesario para evitar la humedad superficial crítica.....	1
7.2.5. Cálculo de condensaciones intersticiales.....	1
7.2.6. Representación gráfica de las condensaciones intersticiales previstas.....	1
7.3. Cubierta 2-Transitable.....	1

7.3.1. Resultados del cálculo de condensaciones.....	1
7.3.2. Condiciones higrotérmicas de cálculo.....	1
7.3.3. Descripción del elemento constructivo.....	1
7.3.4. Cálculo del factor de temperatura superficial interior necesario para evitar la humedad superficial crítica.....	1
7.3.5. Cálculo de condensaciones intersticiales.....	1
7.3.6. Representación gráfica de las condensaciones intersticiales previstas.....	1
8. CIRCULACIONES P PRIMERA.....	1
8.1. Cerramiento exterior.....	1
8.1.1. Resultados del cálculo de condensaciones.....	1
8.1.2. Condiciones higrotérmicas de cálculo.....	1
8.1.3. Descripción del elemento constructivo.....	1
8.1.4. Cálculo del factor de temperatura superficial interior necesario para evitar la humedad superficial crítica.....	1
8.1.5. Cálculo de condensaciones intersticiales.....	1
8.1.6. Representación gráfica de las condensaciones intersticiales previstas.....	1
8.2. Cubierta 2-Transitable.....	1
8.2.1. Resultados del cálculo de condensaciones.....	1
8.2.2. Condiciones higrotérmicas de cálculo.....	1
8.2.3. Descripción del elemento constructivo.....	1
8.2.4. Cálculo del factor de temperatura superficial interior necesario para evitar la humedad superficial crítica.....	1
8.2.5. Cálculo de condensaciones intersticiales.....	1
8.2.6. Representación gráfica de las condensaciones intersticiales previstas.....	1

8.3. Cubierta 3 - Inclinadas aulas.....	1
8.3.1. Resultados del cálculo de condensaciones.....	1
8.3.2. Condiciones higrotérmicas de cálculo.....	1
8.3.3. Descripción del elemento constructivo.....	1
8.3.4. Cálculo del factor de temperatura superficial interior necesario para evitar la humedad superficial crítica.....	1
8.3.5. Cálculo de condensaciones intersticiales.....	1
8.3.6. Representación gráfica de las condensaciones intersticiales previstas.....	1

1. AULAS P BAJA

1.1. Cerramiento exterior

1.1.1. Resultados del cálculo de condensaciones

1.1.1.1. Condensación superficial

$$f_{RSI} = 0.954 \geq f_{RSI,min} = 0.772$$

El elemento constructivo no presenta condensaciones superficiales.

donde:

f_{RSI} : Factor de resistencia superficial interior, calculado como $(1 - U \cdot R_{SI})$, donde $U = 0.185 \text{ W/m}^2 \cdot \text{K}$ y $R_{SI} = 0.25 \text{ m}^2 \cdot \text{K/W}$.

$f_{RSI,min}$: Factor de resistencia superficial interior mínimo, necesario para evitar la humedad superficial crítica,

calculado considerando un valor de $\phi_{SI,cr} \leq 0.8$.

1.1.1.2. Condensación intersticial

El elemento constructivo presenta condensaciones intersticiales en los meses de: diciembre, enero, febrero. Sin

embargo, la cantidad de condensación acumulada en cada periodo anual no es superior a la cantidad de evaporación posible en el mismo periodo.

1.1.2. Condiciones higrotérmicas de cálculo

Las condiciones higrotérmicas exteriores e interiores utilizadas para realizar el cálculo de condensaciones son las siguientes:

	Ene	Feb	Mar	Abr	May	Jun	Jul	Ago	Sep	Oct	Nov	Dic
<hr/>												
Condiciones exteriores												
Temperatura, θ_e (°C)	5.5	6.8	8.8	11.6	15.3	19.8	23.5	22.8	19.5	14.1	9.0	5.9
Humedad relativa, ϕ_e (%)	80	76	69	68	67	62	53	54	61	72	79	81
<hr/>												
Condiciones interiores												
Temperatura, θ_i (°C)	20.0	20.0	20.0	20.0	20.0	20.0	20.0	20.0	20.0	20.0	20.0	20.0
Humedad relativa, ϕ_i (%)	60	60	60	60	60	60	60	60	60	60	60	60
<hr/>												

El diagrama psicrométrico asociado al emplazamiento, con una altura sobre el nivel del mar de 679 m, se muestra a continuación, representando mediante segmentos de recta las transiciones desde cada condición exterior de cálculo a su correspondiente condición interior.

1.1.3. Descripción del elemento constructivo

El esquema de la composición del elemento constructivo, en sección, es el siguiente:

Las características térmicas y las propiedades de difusión del vapor de agua de las capas homogéneas de caras paralelas que conforman el modelo de cálculo del elemento constructivo son las siguientes:

Cerramiento exterior	e (cm)	λ (W/m·K)	R (m ² ·K/W)	μ	Sd (m)
----------------------	-----------	----------------------	----------------------------	-------	-----------

Rse		0.04					
1	Hormigón armado d > 2500	6.0	2.500	0.02400	80	4.8	
2	XPS Expandido con hidrofluorcarbonos HFC [0.032 W/[mK]]	8.0	0.032	2.50000			
3	Hormigón armado d > 2500	6.0	2.500	0.02400	80	4.8	
4	MW Lana mineral [0.031 W/[mK]]	8.0	0.031	2.58065	1		
0.08							
5	Placa de yeso laminado [PYL] 750 < d < 900	1.5	0.250	0.06000	4		
0.06							
6	Placa de yeso laminado [PYL] 750 < d < 900	1.5	0.250	0.06000	4		
0.06							
Rsi		0.13					

donde:

e: Espesor, cm.

λ : Conductividad térmica del material, W/(m·K).

R: Resistencia térmica del material, $m^2 \cdot K/W$.

μ : Factor de resistencia a la difusión del vapor de agua del material.

Sd: Espesor de aire equivalente frente a la difusión del vapor de agua, m.

Rse: Resistencia térmica superficial exterior del elemento, $m^2 \cdot K/W$.

Rsi: Resistencia térmica superficial interior del elemento, $m^2 \cdot K/W$.

La información de cálculo relativa a los parámetros higrotérmicos del elemento completo, derivada del modelo de capas homogéneas, es la siguiente:

Magnitud	Uds.	Valor
Espesor total del elemento, eT	cm	31.0
Resistencia térmica total, RT	$m^2 \cdot K/W$	5.4186
Espesor de aire equivalente total, SdT	m	11.40

Transmitancia térmica, U		W/(m ² ·K)	0.185
Factor de resistencia superficial interior, fRsi		--	0.954

donde:

ET: Espesor total del elemento, cm.

RT: Resistencia térmica total del elemento, sumatorio de la resistencia térmica de cada capa, incluyendo las resistencias superficiales Rse y Rsi, m²·K/W.

SdT: Espesor de aire equivalente total, sumatorio del espesor equivalente de cada capa del elemento, m.

U: Transmitancia térmica del elemento, calculada como la inversa de la resistencia térmica total, W/(m²·K).

fRsi: Factor de resistencia superficial interior, calculado como $(1 - U \cdot R_{si})$, donde $U = 0.185 \text{ W/m}^2\cdot\text{K}$ y $R_{si} = 0.25 \text{ m}^2\cdot\text{K/W}$.

1.1.4. Cálculo del factor de temperatura superficial interior necesario para evitar la humedad superficial crítica

Con objeto de prevenir los efectos adversos de la humedad superficial crítica, se ha limitado la humedad relativa máxima en la superficie interior a un valor de $\phi_{si,cr} \leq 0.8$.

Dadas las condiciones higrotérmicas exteriores, así como las interiores, el cálculo de fRsi,mín queda como sigue:

	θ_e (°C)	ϕ_e (%)	θ_i (°C)	ϕ_i (%)	P_i (Pa)	$P_{sat}(\theta_{si})$ (Pa)	$\theta_{si,mín}$ (°C)	fRsi,mín
Enero	5.5	80.0	20.0	65.0	1519.02	1898.77	16.7	0.772
Febrero	6.8	76.0	20.0	65.0	1519.02	1898.77	16.7	0.749
Marzo	8.8	69.0	20.0	65.0	1519.02	1898.77	16.7	0.704
Abril	11.6	68.0	20.0	65.0	1519.02	1898.77	16.7	0.606
Mayo	15.3	67.0	20.0	65.0	1519.02	1898.77	16.7	0.295
Junio	19.8	62.0	20.0	65.0	1519.02	1898.77	16.7	0.000

Julio		23.5	53.0	20.0	65.0	1519.02	1898.77	16.7	--*
Agosto		22.8	54.0	20.0	65.0	1519.02	1898.77	16.7	--*
Septiembre		19.5	61.0	20.0	65.0	1519.02	1898.77	16.7	0.000
Octubre		14.1	72.0	20.0	65.0	1519.02	1898.77	16.7	0.439
Noviembre		9.0	79.0	20.0	65.0	1519.02	1898.77	16.7	0.699
Diciembre		5.9	81.0	20.0	65.0	1519.02	1898.77	16.7	0.765
<hr/>									

*: No hay riesgo de formación de condensaciones superficiales en el paramento interior, ya que $\theta_e \geq \theta_i$.

donde:

θ_e : Temperatura del aire exterior, °C.

ϕ_e : Humedad relativa del aire exterior, %.

θ_i : Temperatura del aire interior, °C.

ϕ_i : Humedad relativa del aire interior, aumentada con un coeficiente de seguridad 5%, %.

P_i : Presión de vapor en el ambiente interior, Pa.

$Psat(\theta_i)$: Presión de saturación del vapor de agua mínima aceptable para la superficie interior, Pa.

$\theta_{si,mín}$: Mínima temperatura superficial interior aceptable, calculada en base a la presión de saturación mínima aceptable, °C.

$f_{Rsi,mín}$: Factor de resistencia superficial interior mínimo.

Dado que $f_{Rsi} = 0.954 > f_{Rsi,mín} = 0.772$, no se producen condensaciones superficiales en el elemento constructivo.

1.1.5. Cálculo de condensaciones intersticiales

Se exponen a continuación los resultados alcanzados en el cálculo de las temperaturas y presiones en cada una de las interfasas formadas en la unión entre las capas homogéneas que conforman el modelo de cálculo del elemento constructivo.

Cálculo de condensaciones intersticiales en el mes de Enero.

Cerramiento exterior	θ (°C)	Psat (Pa)	Pn (%)	ϕ (g/(m ² ·mes))	gc	Ma (g/m ²)
Aire exterior	5.50	902.765	722.212	80.0	--	--
Cara exterior	5.61	909.504	722.212	79.4	--	--
Interfase 1-2	5.67	913.569	913.569	100.0	18.301	35.016
Interfase 2-3	12.36	1435.537	1032.018	71.9	--	--
Interfase 3-4	12.43	1441.610	1387.365	96.2	--	--
Interfase 4-5	19.33	2241.913	1393.287	62.1	--	--
Interfase 5-6	19.49	2264.408	1397.729	61.7	--	--
Cara interior	19.65	2287.101	1402.171	61.3	--	--
Aire interior	20.00	2336.951	1402.171	60.0	--	--

donde:

θ : Temperatura, °C.

Psat: Presión de saturación del vapor de agua, Pa.

Pn: Presión del vapor de agua, Pa.

ϕ : Humedad relativa, %.

gc: Densidad de flujo de condensación, g/(m²·mes).

Ma: Contenido acumulado de humedad por unidad de superficie, g/m².

>> Representación gráfica (Enero)

Cálculo de condensaciones intersticiales en el mes de Febrero.

Cerramiento exterior	θ (°C)	Psat (Pa)	Pn (%)	ϕ (g/(m ² ·mes))	gc	Ma (g/m ²)
Aire exterior	6.80	987.670	750.629	76.0		
Cara exterior	6.90	994.308	750.629	75.5	--	--
Interfase 1-2	6.96	998.310	998.310	100.0	4.640	39.657
Interfase 2-3	13.05	1501.467	1096.216	73.0	--	--
Interfase 3-4	13.10	1507.216	1389.932	92.2	--	--
Interfase 4-5	19.39	2250.293	1394.828	62.0	--	--
Interfase 5-6	19.54	2270.831	1398.499	61.6	--	--
Cara interior	19.68	2291.532	1402.171	61.2	--	--
Aire interior	20.00	2336.951	1402.171	60.0		

donde:

θ : Temperatura, °C.

Psat: Presión de saturación del vapor de agua, Pa.

Pn: Presión del vapor de agua, Pa.

ϕ : Humedad relativa, %.

gc: Densidad de flujo de condensación, g/(m²·mes).

Ma: Contenido acumulado de humedad por unidad de superficie, g/m².

>> Representación gráfica (Febrero)

Cálculo de condensaciones intersticiales en el mes de Marzo.

Cerramiento exterior	θ (°C)	Psat (Pa)	Pn (%)	ϕ (g/(m ² ·mes))	gc	Ma (g/m ²)
Aire exterior	8.80	1132.044	781.110	69.0		

Cara exterior		8.88	1138.392	781.110	68.6	--	--
Interfase 1-2		8.93	1142.216	1142.216	100.0	-19.201	20.456
Interfase 2-3		14.10	1608.089	1205.236	74.9	--	--
Interfase 3-4		14.15	1613.269	1394.293	86.4	--	--
Interfase 4-5		19.48	2263.240	1397.444	61.7	--	--
Interfase 5-6		19.61	2280.742	1399.807	61.4	--	--
Cara interior		19.73	2298.363	1402.171	61.0	--	--
Aire interior		20.00	2336.951	1402.171	60.0		

donde:

θ : Temperatura, °C.

P_{sat} : Presión de saturación del vapor de agua, Pa.

P_n : Presión del vapor de agua, Pa.

ϕ : Humedad relativa, %.

g_c : Densidad de flujo de condensación, g/(m²·mes).

M_a : Contenido acumulado de humedad por unidad de superficie, g/m².

>> Representación gráfica (Marzo)

Cálculo de condensaciones intersticiales en el mes de Abril.

Cerramiento exterior	θ (°C)	P_{sat} (Pa)	P_n (%)	ϕ (g/(m²·mes))	g_c	M_a (g/m²)
Aire exterior	11.60	1365.261	928.378	68.0		
Cara exterior	11.66	1370.871	928.378	67.7	--	--
Interfase 1-2	11.70	1374.247	1374.247	100.0	-20.456	--
Interfase 2-3	15.57	1768.501	1381.016	78.1	--	--

Interfase 3-4	15.61	1772.722	1401.325	79.0	--	--
Interfase 4-5	19.61	2281.474	1401.663	61.4	--	--
Interfase 5-6	19.71	2294.683	1401.917	61.1	--	--
Cara interior	19.80	2307.958	1402.171	60.8	--	--
Aire interior	20.00	2336.951	1402.171	60.0	--	--

donde:

θ : Temperatura, °C.

P_{sat} : Presión de saturación del vapor de agua, Pa.

P_n : Presión del vapor de agua, Pa.

ϕ : Humedad relativa, %.

g_c : Densidad de flujo de condensación, g/(m²·mes).

M_a : Contenido acumulado de humedad por unidad de superficie, g/m².

>> Representación gráfica (Abril)

Cálculo de condensaciones intersticiales en el mes de Mayo.

Cerramiento exterior	θ (°C)	P_{sat} (Pa)	P_n (%)	ϕ (g/(m²·mes))	g_c	M_a (g/m²)
Aire exterior	15.30	1737.605	1164.195	67.0	--	--
Cara exterior	15.33	1741.480	1164.195	66.9	--	--
Interfase 1-2	15.36	1743.809	1264.395	72.5	--	--
Interfase 2-3	17.52	2001.891	1297.795	64.8	--	--
Interfase 3-4	17.54	2004.523	1397.996	69.7	--	--
Interfase 4-5	19.78	2305.767	1399.666	60.7	--	--

Interfase 5-6		19.84	2313.218	1400.918	60.6	--	--
Cara interior		19.89	2320.690	1402.171	60.4	--	--
Aire interior		20.00	2336.951	1402.171	60.0		

donde:

θ : Temperatura, °C.

P_{sat} : Presión de saturación del vapor de agua, Pa.

P_n : Presión del vapor de agua, Pa.

ϕ : Humedad relativa, %.

g_c : Densidad de flujo de condensación, g/(m²·mes).

M_a : Contenido acumulado de humedad por unidad de superficie, g/m².

>> Representación gráfica (Mayo)

Cálculo de condensaciones intersticiales en el mes de Junio.

Cerramiento exterior	θ (°C)	P_{sat} (Pa)	P_n (%)	ϕ (g/(m²·mes))	g_c	M_a (g/m²)
Aire exterior	19.80	2308.176	1431.069	62.0		
Cara exterior	19.80	2308.387	1431.069	62.0	--	--
Interfase 1-2	19.80	2308.514	1418.901	61.5	--	--
Interfase 2-3	19.89	2321.753	1414.845	60.9	--	--
Interfase 3-4	19.90	2321.880	1402.678	60.4	--	--
Interfase 4-5	19.99	2335.617	1402.475	60.0	--	--
Interfase 5-6	19.99	2335.937	1402.323	60.0	--	--
Cara interior	20.00	2336.257	1402.171	60.0	--	--
Aire interior	20.00	2336.951	1402.171	60.0		

-----|-----
donde:

θ : Temperatura, °C.

P_{sat} : Presión de saturación del vapor de agua, Pa.

P_n : Presión del vapor de agua, Pa.

ϕ : Humedad relativa, %.

g_c : Densidad de flujo de condensación, g/(m²·mes).

M_a : Contenido acumulado de humedad por unidad de superficie, g/m².

>> Representación gráfica (Junio)

Cálculo de condensaciones intersticiales en el mes de Julio.

Cerramiento exterior (°C)	θ (Pa)	P_{sat} (Pa)	P_n (%)	ϕ (g/(m²·mes))	g_c	M_a (g/m²)
Aire exterior	23.50	2893.848	1533.739	53.0		
Cara exterior	23.47	2889.346	1533.739	53.1	--	--
Interfase 1-2	23.46	2886.648	1478.342	51.2	--	--
Interfase 2-3	21.84	2617.367	1459.876	55.8	--	--
Interfase 3-4	21.83	2614.893	1404.479	53.7	--	--
Interfase 4-5	20.16	2360.412	1403.556	59.5	--	--
Interfase 5-6	20.12	2354.763	1402.863	59.6	--	--
Cara interior	20.08	2349.125	1402.171	59.7	--	--
Aire interior	20.00	2336.951	1402.171	60.0		

donde:

θ : Temperatura, °C.

Psat: Presión de saturación del vapor de agua, Pa.

Pn: Presión del vapor de agua, Pa.

ϕ : Humedad relativa, %.

gc: Densidad de flujo de condensación, g/(m²·mes).

Ma: Contenido acumulado de humedad por unidad de superficie, g/m².

>> Representación gráfica (Julio)

Cálculo de condensaciones intersticiales en el mes de Agosto.

Cerramiento exterior	θ (°C)	Psat (Pa)	Pn (%)	ϕ (g/(m ² ·mes))	gc	Ma (g/m ²)
Aire exterior	22.80	2774.025	1497.973	54.0	--	--
Cara exterior	22.78	2770.554	1497.973	54.1	--	--
Interfase 1-2	22.77	2768.473	1457.635	52.7	--	--
Interfase 2-3	21.48	2559.044	1444.189	56.4	--	--
Interfase 3-4	21.46	2557.103	1403.851	54.9	--	--
Interfase 4-5	20.13	2355.704	1403.179	59.6	--	--
Interfase 5-6	20.10	2351.191	1402.675	59.7	--	--
Cara interior	20.07	2346.686	1402.171	59.8	--	--
Aire interior	20.00	2336.951	1402.171	60.0	--	--

donde:

θ : Temperatura, °C.

Psat: Presión de saturación del vapor de agua, Pa.

Pn: Presión del vapor de agua, Pa.

ϕ : Humedad relativa, %.

gc: Densidad de flujo de condensación, g/(m²·mes).

Ma: Contenido acumulado de humedad por unidad de superficie, g/m².

>> Representación gráfica (Agosto)

Cálculo de condensaciones intersticiales en el mes de Septiembre.

Cerramiento exterior	θ (°C)	Psat (Pa)	Pn (%)	ϕ (g/(m ² ·mes))	gc (g/m ²)	Ma
Aire exterior	19.50	2265.595	1382.013	61.0	--	--
Cara exterior	19.50	2266.114	1382.013	61.0	--	--
Interfase 1-2	19.51	2266.426	1390.500	61.4	--	--
Interfase 2-3	19.74	2299.118	1393.329	60.6	--	--
Interfase 3-4	19.74	2299.434	1401.817	61.0	--	--
Interfase 4-5	19.98	2333.616	1401.958	60.1	--	--
Interfase 5-6	19.98	2334.416	1402.065	60.1	--	--
Cara interior	19.99	2335.216	1402.171	60.0	--	--
Aire interior	20.00	2336.951	1402.171	60.0		

donde:

θ : Temperatura, °C.

Psat: Presión de saturación del vapor de agua, Pa.

Pn: Presión del vapor de agua, Pa.

ϕ : Humedad relativa, %.

gc: Densidad de flujo de condensación, g/(m²·mes).

Ma: Contenido acumulado de humedad por unidad de superficie, g/m².

>> Representación gráfica (Septiembre)

Cálculo de condensaciones intersticiales en el mes de Octubre.

Cerramiento exterior	θ (°C)	Psat (Pa)	Pn (%)	ϕ (g/(m ² ·mes))	gc (g/m ²)	Ma (g/m ²)
Aire exterior	14.10	1608.128	1157.852	72.0	--	--
Cara exterior	14.14	1612.675	1157.852	71.8	--	--
Interfase 1-2	14.17	1615.408	1260.723	78.0	--	--
Interfase 2-3	16.89	1923.406	1295.013	67.3	--	--
Interfase 3-4	16.92	1926.596	1397.884	72.6	--	--
Interfase 4-5	19.73	2297.864	1399.599	60.9	--	--
Interfase 5-6	19.79	2307.192	1400.885	60.7	--	--
Cara interior	19.86	2316.554	1402.171	60.5	--	--
Aire interior	20.00	2336.951	1402.171	60.0	--	--

donde:

θ : Temperatura, °C.

Psat: Presión de saturación del vapor de agua, Pa.

Pn: Presión del vapor de agua, Pa.

ϕ : Humedad relativa, %.

gc: Densidad de flujo de condensación, g/(m²·mes).

Ma: Contenido acumulado de humedad por unidad de superficie, g/m².

>> Representación gráfica (Octubre)

Cálculo de condensaciones intersticiales en el mes de Noviembre.

Cerramiento exterior	θ (°C)	Psat (Pa)	Pn (%)	ϕ (g/(m ² ·mes))	gc	Ma (g/m ²)
Aire exterior	9.00	1147.455	906.489	79.0	--	--
Cara exterior	9.08	1153.764	906.489	78.6	--	--
Interfase 1-2	9.13	1157.564	1115.197	96.3	--	--
Interfase 2-3	14.20	1619.108	1184.767	73.2	--	--
Interfase 3-4	14.25	1624.226	1393.475	85.8	--	--
Interfase 4-5	19.49	2264.538	1396.953	61.7	--	--
Interfase 5-6	19.61	2281.736	1399.562	61.3	--	--
Cara interior	19.74	2299.048	1402.171	61.0	--	--
Aire interior	20.00	2336.951	1402.171	60.0	--	--

donde:

θ : Temperatura, °C.

Psat: Presión de saturación del vapor de agua, Pa.

Pn: Presión del vapor de agua, Pa.

ϕ : Humedad relativa, %.

gc: Densidad de flujo de condensación, g/(m²·mes).

Ma: Contenido acumulado de humedad por unidad de superficie, g/m².

>> Representación gráfica (Noviembre)

Cálculo de condensaciones intersticiales en el mes de Diciembre.

Cerramiento exterior	θ (°C)	Psat (Pa)	Pn (%)	ϕ (g/(m ² ·mes))	gc	Ma (g/m ²)
Aire exterior	5.90	928.177	751.823	81.0		
Cara exterior	6.00	934.891	751.823	80.4	--	--
Interfase 1-2	6.07	938.941	938.941	100.0	16.715	16.715
Interfase 2-3	12.57	1455.547	1051.239	72.2	--	--
Interfase 3-4	12.63	1461.524	1388.133	95.0	--	--
Interfase 4-5	19.35	2244.489	1393.748	62.1	--	--
Interfase 5-6	19.51	2266.383	1397.960	61.7	--	--
Cara interior	19.66	2288.463	1402.171	61.3	--	--
Aire interior	20.00	2336.951	1402.171	60.0		

donde:

θ : Temperatura, °C.

Psat: Presión de saturación del vapor de agua, Pa.

Pn: Presión del vapor de agua, Pa.

ϕ : Humedad relativa, %.

gc: Densidad de flujo de condensación, g/(m²·mes).

Ma: Contenido acumulado de humedad por unidad de superficie, g/m².

>> Representación gráfica (Diciembre)

Evolución anual de la condensación acumulada.

Se presentan a continuación las cantidades totales de agua condensada en el elemento constructivo para cada situación de cálculo, así como la evolución de la humedad acumulada a lo largo del año.

El primer mes con condensación en alguna interfase es diciembre, aunque la cantidad neta anual es nula, por producirse la evaporación suficiente en los meses siguientes.

	Ene	Feb	Mar	Abr	May	Jun	Jul	Ago	Sep	Oct	Nov	Dic
Evolución de la cantidad de agua condensada.												
gc	g/(m ² ·mes)	18.301	4.640	--	--	--	--	--	--	--	--	16.715
gev	g/(m ² ·mes)	--	--	19.201	20.456	--	--	--	--	--	--	--
Ma	(g/m ²)	35.016	39.657	20.456	--	--	--	--	--	--	--	16.715

donde:

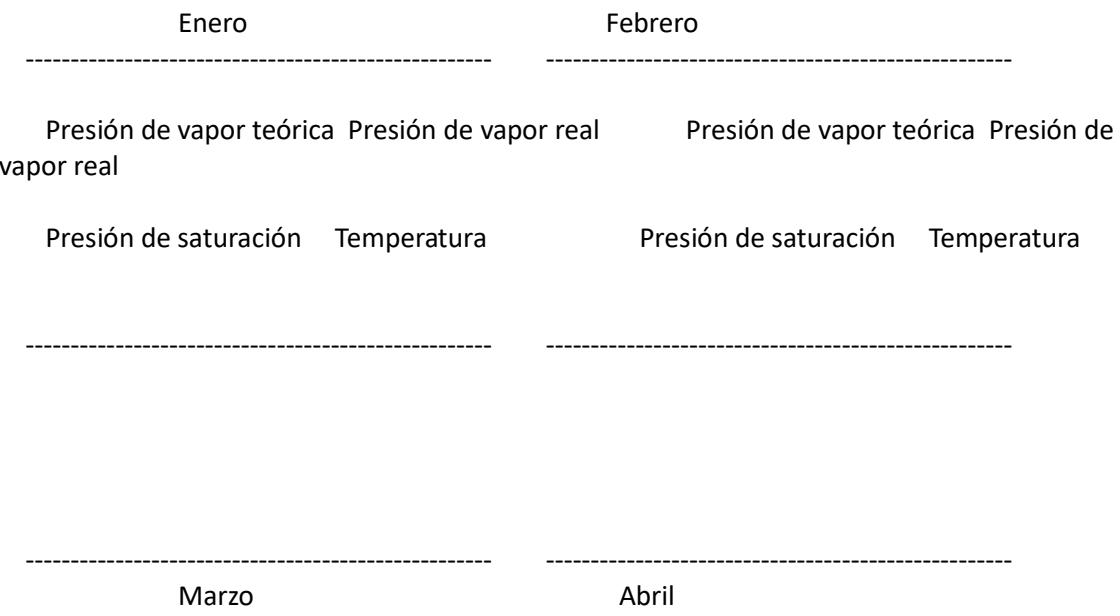
gc: Densidad de flujo de condensación, g/(m²·mes).

gev: Densidad de flujo de evaporación, g/(m²·mes).

Ma: Contenido acumulado de humedad por unidad de superficie, g/m².

>> Representación gráfica (Condensación acumulada)

1.1.6. Representación gráfica de las condensaciones intersticiales previstas



Presión de vapor teórica Presión de vapor real
vapor real

Presión de saturación Temperatura

Presión de vapor teórica Presión de

Presión de saturación Temperatura

Mayo

Junio

Presión de vapor teórica Presión de vapor real
vapor real

Presión de saturación Temperatura

Presión de vapor teórica Presión de

Presión de saturación Temperatura

Julio

Agosto

Presión de vapor teórica Presión de vapor real
vapor real

Presión de saturación Temperatura

Presión de vapor teórica Presión de

Presión de saturación Temperatura

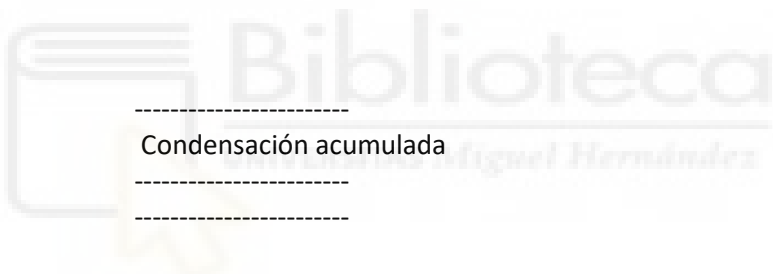
Septiembre

Octubre

Presión de vapor teórica Presión de vapor real
vapor real

Presión de vapor teórica Presión de

Presión de saturación	Temperatura	Presión de saturación	Temperatura
-----	-----	-----	-----
-----	-----	-----	-----
-----	-----	-----	-----
Noviembre		Diciembre	
-----	-----	-----	-----
Presión de vapor teórica	Presión de vapor real	Presión de vapor teórica	Presión de vapor real
vapor real			
Presión de saturación	Temperatura	Presión de saturación	Temperatura
-----	-----	-----	-----



1.2. Cubierta 3 - Inclinadas aulas

1.2.1. Resultados del cálculo de condensaciones

1.2.1.1. Condensación superficial

$$f_{Rsi} = 0.953 \geq f_{Rsi,mín} = 0.772$$

El elemento constructivo no presenta condensaciones superficiales.

donde:

f_{Rsi} : Factor de resistencia superficial interior, calculado como $(1 - U \cdot Rsi)$, donde $U = 0.189 \text{ W/m}^2 \cdot \text{K}$ y $Rsi = 0.25 \text{ m}^2 \cdot \text{K/W}$.

$f_{Rsi,mín}$: Factor de resistencia superficial interior mínimo, necesario para evitar la humedad superficial crítica,
calculado considerando un valor de $\phi_{si,cr} \leq 0.8$.

1.2.1.2. Condensación intersticial

El elemento constructivo presenta condensaciones intersticiales en los meses de: diciembre, enero, febrero. Sin embargo, la cantidad de condensación acumulada en cada periodo anual no es superior a la cantidad de evaporación posible en el mismo periodo.

1.2.2. Condiciones higrotérmicas de cálculo

Las condiciones higrotérmicas exteriores e interiores utilizadas para realizar el cálculo de condensaciones son las siguientes:

	Ene	Feb	Mar	Abr	May	Jun	Jul	Ago	Sep	Oct	Nov	Dic
<hr/>												
Condiciones exteriores												
Temperatura, θ_e (°C)	5.5	6.8	8.8	11.6	15.3	19.8	23.5	22.8	19.5	14.1	9.0	5.9
<hr/>												
Humedad relativa, ϕ_e (%)	80	76	69	68	67	62	53	54	61	72	79	81
<hr/>												
Condiciones interiores												
Temperatura, θ_i (°C)	20.0	20.0	20.0	20.0	20.0	20.0	20.0	20.0	20.0	20.0	20.0	20.0
<hr/>												
Humedad relativa, ϕ_i (%)	60	60	60	60	60	60	60	60	60	60	60	60
<hr/>												

El diagrama psicrométrico asociado al emplazamiento, con una altura sobre el nivel del mar de 679 m, se muestra a continuación, representando mediante segmentos de recta las transiciones desde cada condición exterior de cálculo a su correspondiente condición interior.

1.2.3. Descripción del elemento constructivo

El esquema de la composición del elemento constructivo, en sección, es el siguiente:

Las características térmicas y las propiedades de difusión del vapor de agua de las capas homogéneas de caras paralelas que conforman el modelo de cálculo del elemento constructivo son las siguientes:

Cubierta 3 - Inclinadas aulas		e (cm)	λ (W/m·K)	R (m ² ·K/W)	μ	Sd (m)
Rse			0.04			
----- -----	----- -----	----- -----	----- -----	----- -----	----- -----	----- -----
1 Aluminio	0.1	230.000	0.00000	1000000	1000	
2 XPS Expandido con hidrofluorcarbonos HFC [0.032 W/[mK]]	10.0	0.032	3.12500			
20 2						
3 Aluminio	0.1	230.000	0.00000	1000000	1000	
4 MW Lana mineral [0.031 W/[mK]]	5.0	0.031	1.61290	1		
0.05						
5 Con capa de compresión -Canto 300 mm	30.0	1.579	0.18999	80		
24						
6 Cámara de aire	10.0	0.16000	0.01			
7 Placa de yeso laminado [PYL] 750 < d < 900	1.5	0.250	0.06000	4		
0.06						
Rsi		0.10				
----- -----	----- -----	----- -----	----- -----	----- -----	----- -----	----- -----

donde:

e: Espesor, cm.

λ : Conductividad térmica del material, W/(m·K).

R: Resistencia térmica del material, m²·K/W.

μ : Factor de resistencia a la difusión del vapor de agua del material.

Sd: Espesor de aire equivalente frente a la difusión del vapor de agua, m.

Rse: Resistencia térmica superficial exterior del elemento, m²·K/W.

Rsi: Resistencia térmica superficial interior del elemento, m²·K/W.

La información de cálculo relativa a los parámetros higrotérmicos del elemento completo, derivada del modelo de capas homogéneas, es la siguiente:

Magnitud	Uds.	Valor
Espesor total del elemento, eT	cm	56.7
Resistencia térmica total, RT	m ² ·K/W	5.2879
Espesor de aire equivalente total, SdT	m	2026.12
Transmitancia térmica, U	W/(m ² ·K)	0.189
Factor de resistencia superficial interior, fRsi	--	0.953

donde:

ET: Espesor total del elemento, cm.

RT: Resistencia térmica total del elemento, sumatorio de la resistencia térmica de cada capa, incluyendo las resistencias superficiales Rse y Rsi, m²·K/W.

SdT: Espesor de aire equivalente total, sumatorio del espesor equivalente de cada capa del elemento, m.

U: Transmitancia térmica del elemento, calculada como la inversa de la resistencia térmica total, W/(m²·K).

fRsi: Factor de resistencia superficial interior, calculado como $(1 - U \cdot R_{si})$, donde $U = 0.189$ W/m²·K y $R_{si} = 0.25$ m²·K/W.

1.2.4. Cálculo del factor de temperatura superficial interior necesario para evitar la humedad superficial crítica

Con objeto de prevenir los efectos adversos de la humedad superficial crítica, se ha limitado la humedad relativa máxima en la superficie interior a un valor de $\phi_{si,cr} \leq 0.8$.

Dadas las condiciones higrotérmicas exteriores, así como las interiores, el cálculo de fRsi,mín queda como sigue:

θ_e (°C)	ϕ_e (%)	θ_i (°C)	ϕ_i (%)	P_i (Pa)	$P_{sat}(\theta_{si})$ (Pa)	$\theta_{si,mín}$ (°C)	$f_{Rsi,mín}$
--------------------	-----------------	--------------------	-----------------	---------------	--------------------------------	---------------------------	---------------

Enero		5.5	80.0	20.0	65.0	1519.02	1898.77	16.7	0.772
Febrero		6.8	76.0	20.0	65.0	1519.02	1898.77	16.7	0.749
Marzo		8.8	69.0	20.0	65.0	1519.02	1898.77	16.7	0.704
Abril		11.6	68.0	20.0	65.0	1519.02	1898.77	16.7	0.606
Mayo		15.3	67.0	20.0	65.0	1519.02	1898.77	16.7	0.295
Junio		19.8	62.0	20.0	65.0	1519.02	1898.77	16.7	0.000
Julio		23.5	53.0	20.0	65.0	1519.02	1898.77	16.7	--*
Agosto		22.8	54.0	20.0	65.0	1519.02	1898.77	16.7	--*
Septiembre		19.5	61.0	20.0	65.0	1519.02	1898.77	16.7	0.000
Octubre		14.1	72.0	20.0	65.0	1519.02	1898.77	16.7	0.439
Noviembre		9.0	79.0	20.0	65.0	1519.02	1898.77	16.7	0.699
Diciembre		5.9	81.0	20.0	65.0	1519.02	1898.77	16.7	0.765

*: No hay riesgo de formación de condensaciones superficiales en el paramento interior, ya que $\theta_e \geq \theta_i$.

donde:

θ_e : Temperatura del aire exterior, °C.

ϕ_e : Humedad relativa del aire exterior, %.

θ_i : Temperatura del aire interior, °C.

ϕ_i : Humedad relativa del aire interior, aumentada con un coeficiente de seguridad 5%, %.

P_i : Presión de vapor en el ambiente interior, Pa.

$Psat(\theta_{si})$: Presión de saturación del vapor de agua mínima aceptable para la superficie interior, Pa.

$\theta_{si,mín}$: Mínima temperatura superficial interior aceptable, calculada en base a la presión de saturación mínima aceptable, °C.

$f_{Rsi,mín}$: Factor de resistencia superficial interior mínimo.

Dado que $f_{Rsi} = 0.953 > f_{Rsi,mín} = 0.772$, no se producen condensaciones superficiales en el elemento constructivo.

1.2.5. Cálculo de condensaciones intersticiales

Se exponen a continuación los resultados alcanzados en el cálculo de las temperaturas y presiones en cada una de las interfasas formadas en la unión entre las capas homogéneas que conforman el modelo de cálculo del elemento constructivo.

Cálculo de condensaciones intersticiales en el mes de Enero.

Cubierta 3 - Inclinadas aulas	θ (°C)	P_{sat} (Pa)	P_n (%)	ϕ (g/(m ² ·mes))	g_c (g/m ²)	M_a (g/m ²)
Aire exterior	5.50	902.765	722.212	80.0	--	--
Cara exterior	5.61	909.671	722.212	79.4	--	--
Interfase 1-2	5.61	909.672	909.672	100.0	0.157	0.302
Interfase 2-3	14.18	1616.361	910.632	56.3	--	--
Interfase 3-4	14.18	1616.362	1390.594	86.0	--	--
Interfase 4-5	18.60	2142.151	1390.618	64.9	--	--
Interfase 5-6	19.12	2212.994	1402.137	63.4	--	--
Interfase 6-7	19.56	2274.234	1402.142	61.7	--	--
Cara interior	19.73	2297.578	1402.171	61.0	--	--
Aire interior	20.00	2336.951	1402.171	60.0	--	--

donde:

θ : Temperatura, °C.

P_{sat} : Presión de saturación del vapor de agua, Pa.

P_n : Presión del vapor de agua, Pa.

ϕ : Humedad relativa, %.

gc: Densidad de flujo de condensación, g/(m²·mes).

Ma: Contenido acumulado de humedad por unidad de superficie, g/m².

>> Representación gráfica (Enero)

Cálculo de condensaciones intersticiales en el mes de Febrero.

Cubierta 3 - Inclinadas aulas	θ (°C)	Psat (Pa)	Pn (%)	ϕ (g/(m ² ·mes))	gc (g/m ²)	Ma (g/m ²)
Aire exterior	6.80	987.670	750.629	76.0	--	--
Cara exterior	6.90	994.473	750.629	75.5	--	--
Interfase 1-2	6.90	994.474	994.474	100.0	0.074	0.377
Interfase 2-3	14.70	1671.841	995.268	59.5	--	--
Interfase 3-4	14.70	1671.842	1392.587	83.3	--	--
Interfase 4-5	18.73	2159.016	1392.607	64.5	--	--
Interfase 5-6	19.20	2223.868	1402.143	63.0	--	--
Interfase 6-7	19.60	2279.796	1402.147	61.5	--	--
Cara interior	19.75	2301.084	1402.171	60.9	--	--
Aire interior	20.00	2336.951	1402.171	60.0	--	--

donde:

θ: Temperatura, °C.

Psat: Presión de saturación del vapor de agua, Pa.

Pn: Presión del vapor de agua, Pa.

ϕ: Humedad relativa, %.

gc: Densidad de flujo de condensación, g/(m²·mes).

Ma: Contenido acumulado de humedad por unidad de superficie, g/m².

>> Representación gráfica (Febrero)

Cálculo de condensaciones intersticiales en el mes de Marzo.

Cubierta 3 - Inclinadas aulas	θ (°C)	Psat (Pa)	Pn (%)	ϕ (g/(m ² ·mes))	gc (g/m ²)	Ma (g/m ²)
Aire exterior	8.80	1132.044	781.110	69.0	--	--
Cara exterior	8.88	1138.550	781.110	68.6	--	--
Interfase 1-2	8.88	1138.550	1138.550	100.0	-0.054	0.323
Interfase 2-3	15.50	1760.457	1139.064	64.7	--	--
Interfase 3-4	15.50	1760.458	1395.974	79.3	--	--
Interfase 4-5	18.92	2185.189	1395.987	63.9	--	--
Interfase 5-6	19.32	2240.687	1402.153	62.6	--	--
Interfase 6-7	19.66	2288.377	1402.155	61.3	--	--
Cara interior	19.79	2306.488	1402.171	60.8	--	--
Aire interior	20.00	2336.951	1402.171	60.0	--	--

donde:

θ : Temperatura, °C.

Psat: Presión de saturación del vapor de agua, Pa.

Pn: Presión del vapor de agua, Pa.

ϕ : Humedad relativa, %.

gc: Densidad de flujo de condensación, g/(m²·mes).

Ma: Contenido acumulado de humedad por unidad de superficie, g/m².

>> Representación gráfica (Marzo)

Cálculo de condensaciones intersticiales en el mes de Abril.

Cubierta 3 - Inclinadas aulas	θ (°C)	P_{sat} (Pa)	P_n (%)	ϕ (g/(m ² ·mes))	g_c (g/m ²)	M_a (g/m ²)
Aire exterior	11.60	1365.261	928.378	68.0	--	--
Cara exterior	11.66	1371.010	928.378	67.7	--	--
Interfase 1-2	11.66	1371.011	1371.011	100.0	-0.214	0.109
Interfase 2-3	16.63	1891.429	1371.072	72.5	--	--
Interfase 3-4	16.63	1891.430	1401.438	74.1	--	--
Interfase 4-5	19.19	2222.298	1401.440	63.1	--	--
Interfase 5-6	19.49	2264.422	1402.169	61.9	--	--
Interfase 6-7	19.75	2300.437	1402.169	61.0	--	--
Cara interior	19.84	2314.071	1402.171	60.6	--	--
Aire interior	20.00	2336.951	1402.171	60.0	--	--

donde:

θ : Temperatura, °C.

P_{sat} : Presión de saturación del vapor de agua, Pa.

P_n : Presión del vapor de agua, Pa.

ϕ : Humedad relativa, %.

g_c : Densidad de flujo de condensación, g/(m²·mes).

M_a : Contenido acumulado de humedad por unidad de superficie, g/m².

>> Representación gráfica (Abril)

Cálculo de condensaciones intersticiales en el mes de Mayo.

Cubierta 3 - Inclinadas aulas	θ (°C)	P_{sat} (Pa)	P_n (%)	ϕ (g/(m ² ·mes))	g_c (g/m ²)	M_a
Aire exterior	15.30	1737.605	1164.195	67.0	--	--
Cara exterior	15.34	1741.576	1164.195	66.8	--	--
Interfase 1-2	15.34	1741.577	1741.577	100.0	-0.109	--
Interfase 2-3	18.11	2077.547	1740.915	83.8	--	--
Interfase 3-4	18.11	2077.548	1410.149	67.9	--	--
Interfase 4-5	19.55	2272.179	1410.132	62.1	--	--
Interfase 5-6	19.72	2296.123	1402.194	61.1	--	--
Interfase 6-7	19.86	2316.458	1402.191	60.5	--	--
Cara interior	19.91	2324.125	1402.171	60.3	--	--
Aire interior	20.00	2336.951	1402.171	60.0	--	--

donde:

θ : Temperatura, °C.

P_{sat} : Presión de saturación del vapor de agua, Pa.

P_n : Presión del vapor de agua, Pa.

ϕ : Humedad relativa, %.

g_c : Densidad de flujo de condensación, g/(m²·mes).

M_a : Contenido acumulado de humedad por unidad de superficie, g/m².

>> Representación gráfica (Mayo)

Cálculo de condensaciones intersticiales en el mes de Junio.

Cubierta 3 - Inclinadas aulas	θ (°C)	P_{sat} (Pa)	P_n (%)	ϕ (g/(m ² ·mes))	gc (g/m ²)	Ma (g/m ²)
Aire exterior	19.80	2308.176	1431.069	62.0	--	--
Cara exterior	19.80	2308.393	1431.069	62.0	--	--
Interfase 1-2	19.80	2308.393	1416.806	61.4	--	--
Interfase 2-3	19.92	2325.362	1416.778	60.9	--	--
Interfase 3-4	19.92	2325.362	1402.515	60.3	--	--
Interfase 4-5	19.98	2334.162	1402.514	60.1	--	--
Interfase 5-6	19.99	2335.201	1402.172	60.0	--	--
Interfase 6-7	19.99	2336.076	1402.172	60.0	--	--
Cara interior	20.00	2336.404	1402.171	60.0	--	--
Aire interior	20.00	2336.951	1402.171	60.0	--	--

donde:

θ : Temperatura, °C.

P_{sat} : Presión de saturación del vapor de agua, Pa.

P_n : Presión del vapor de agua, Pa.

ϕ : Humedad relativa, %.

gc: Densidad de flujo de condensación, g/(m²·mes).

Ma: Contenido acumulado de humedad por unidad de superficie, g/m².

>> Representación gráfica (Junio)

Cálculo de condensaciones intersticiales en el mes de Julio.

Cubierta 3 - Inclinadas aulas	θ (°C)	Psat (Pa)	Pn (%)	ϕ (g/(m ² ·mes))	gc (g/m ²)	Ma (g/m ²)
Aire exterior	23.50	2893.848	1533.739	53.0	--	--
Cara exterior	23.47	2889.235	1533.739	53.1	--	--
Interfase 1-2	23.47	2889.235	1468.803	50.8	--	--
Interfase 2-3	21.41	2548.107	1468.673	57.6	--	--
Interfase 3-4	21.41	2548.107	1403.737	55.1	--	--
Interfase 4-5	20.34	2386.229	1403.734	58.8	--	--
Interfase 5-6	20.21	2367.766	1402.175	59.2	--	--
Interfase 6-7	20.11	2352.314	1402.175	59.6	--	--
Cara interior	20.07	2346.543	1402.171	59.8	--	--
Aire interior	20.00	2336.951	1402.171	60.0	--	--

donde:

θ : Temperatura, °C.

Psat: Presión de saturación del vapor de agua, Pa.

Pn: Presión del vapor de agua, Pa.

ϕ : Humedad relativa, %.

gc: Densidad de flujo de condensación, g/(m²·mes).

Ma: Contenido acumulado de humedad por unidad de superficie, g/m².

>> Representación gráfica (Julio)

Cálculo de condensaciones intersticiales en el mes de Agosto.

Cubierta 3 - Inclinadas aulas	θ (°C)	Psat (Pa)	Pn (%)	ϕ (g/(m ² ·mes))	gc (g/m ²)	Ma (g/m ²)
-------------------------------	------------------	--------------	-----------	-------------------------------------	---------------------------	---------------------------

Aire exterior		22.80	2774.025	1497.973	54.0	--	--
Cara exterior		22.78	2770.468	1497.973	54.1	--	--
		22.78	2770.467	1450.690	52.4	--	--
		21.12	2504.591	1450.595	57.9	--	--
		21.12	2504.590	1403.311	56.0	--	--
		20.27	2376.302	1403.309	59.1	--	--
		20.17	2361.575	1402.174	59.4	--	--
		20.08	2349.235	1402.174	59.7	--	--
Cara interior		20.05	2344.622	1402.171	59.8	--	--
Aire interior		20.00	2336.951	1402.171	60.0	--	--

donde:

θ : Temperatura, °C.

P_{sat} : Presión de saturación del vapor de agua, Pa.

P_n : Presión del vapor de agua, Pa.

ϕ : Humedad relativa, %.

g_c : Densidad de flujo de condensación, g/(m²·mes).

M_a : Contenido acumulado de humedad por unidad de superficie, g/m².

>> Representación gráfica (Agosto)

Cálculo de condensaciones intersticiales en el mes de Septiembre.

Cubierta 3 - Inclinadas aulas	θ (°C)	P_{sat} (Pa)	P_n (%)	ϕ (g/(m²·mes))	g_c (g/m²)	M_a
Aire exterior	19.50	2265.595	1382.013	61.0	--	--

Cara exterior		19.50	2266.127	1382.013	61.0	--	--
Interfase 1-2		19.50	2266.127	1391.962	61.4	--	--
Interfase 2-3		19.80	2308.071	1391.982	60.3	--	--
Interfase 3-4		19.80	2308.072	1401.931	60.7	--	--
Interfase 4-5		19.95	2329.985	1401.931	60.2	--	--
Interfase 5-6		19.97	2332.578	1402.170	60.1	--	--
Interfase 6-7		19.98	2334.764	1402.170	60.1	--	--
Cara interior		19.99	2335.584	1402.171	60.0	--	--
Aire interior		20.00	2336.951	1402.171	60.0		

donde:

θ : Temperatura, °C.

Psat: Presión de saturación del vapor de agua, Pa.

Pn: Presión del vapor de agua, Pa.

ϕ : Humedad relativa, %.

gc: Densidad de flujo de condensación, g/(m²·mes).

Ma: Contenido acumulado de humedad por unidad de superficie, g/m².

>> Representación gráfica (Septiembre)

Cálculo de condensaciones intersticiales en el mes de Octubre.

Cubierta 3 - Inclinadas aulas	θ (°C)	Psat (Pa)	Pn (%)	ϕ (g/(m²·mes))	gc (g/m²)	Ma
Aire exterior		14.10	1608.128	1157.852	72.0	
Cara exterior		14.14	1612.787	1157.852	71.8	--
Interfase 1-2		14.14	1612.788	1278.437	79.3	--

Interfase 2-3	17.63	2015.502	1278.678	63.4	--	--
Interfase 3-4	17.63	2015.502	1399.262	69.4	--	--
Interfase 4-5	19.43	2255.895	1399.268	62.0	--	--
Interfase 5-6	19.64	2285.800	1402.162	61.3	--	--
Interfase 6-7	19.82	2311.252	1402.163	60.7	--	--
Cara interior	19.89	2320.860	1402.171	60.4	--	--
Aire interior	20.00	2336.951	1402.171	60.0		

donde:

θ : Temperatura, °C.

P_{sat} : Presión de saturación del vapor de agua, Pa.

P_n : Presión del vapor de agua, Pa.

ϕ : Humedad relativa, %.

g_c : Densidad de flujo de condensación, g/(m²·mes).

M_a : Contenido acumulado de humedad por unidad de superficie, g/m².

>> Representación gráfica (Octubre)

Cálculo de condensaciones intersticiales en el mes de Noviembre.

Cubierta 3 - Inclinadas aulas	θ (°C)	P_{sat} (Pa)	P_n (%)	ϕ (g/(m²·mes))	g_c (g/m²)	M_a
Aire exterior	9.00	1147.455	906.489	79.0		
Cara exterior	9.08	1153.920	906.489	78.6	--	--
Interfase 1-2	9.08	1153.921	1151.135	99.8	--	--
Interfase 2-3	15.58	1769.541	1151.624	65.1	--	--

Interfase 3-4	15.58	1769.542	1396.270	78.9	--	--
Interfase 4-5	18.94	2187.822	1396.282	63.8	--	--
Interfase 5-6	19.33	2242.376	1402.154	62.5	--	--
Interfase 6-7	19.67	2289.236	1402.156	61.2	--	--
Cara interior	19.79	2307.029	1402.171	60.8	--	--
Aire interior	20.00	2336.951	1402.171	60.0		

donde:

θ : Temperatura, °C.

P_{sat} : Presión de saturación del vapor de agua, Pa.

P_n : Presión del vapor de agua, Pa.

ϕ : Humedad relativa, %.

g_c : Densidad de flujo de condensación, g/(m²·mes).

M_a : Contenido acumulado de humedad por unidad de superficie, g/m².

>> Representación gráfica (Noviembre)

Cálculo de condensaciones intersticiales en el mes de Diciembre.

Cubierta 3 - Inclinadas aulas	θ (°C)	P_{sat} (Pa)	P_n (%)	ϕ (g/(m²·mes))	g_c (g/m²)	M_a
Aire exterior	5.90	928.177	751.823	81.0		
Cara exterior	6.01	935.058	751.823	80.4	--	--
Interfase 1-2	6.01	935.059	935.059	100.0	0.146	0.146
Interfase 2-3	14.34	1633.257	935.969	57.3	--	--
Interfase 3-4	14.34	1633.258	1391.191	85.2	--	--
Interfase 4-5	18.64	2147.328	1391.214	64.8	--	--

Interfase 5-6		19.15	2216.335	1402.139	63.3	--	--
Interfase 6-7		19.57	2275.944	1402.143	61.6	--	--
Cara interior		19.73	2298.657	1402.171	61.0	--	--
Aire interior		20.00	2336.951	1402.171	60.0	--	--

donde:

θ : Temperatura, °C.

P_{sat} : Presión de saturación del vapor de agua, Pa.

P_n : Presión del vapor de agua, Pa.

ϕ : Humedad relativa, %.

g_c : Densidad de flujo de condensación, g/(m²·mes).

M_a : Contenido acumulado de humedad por unidad de superficie, g/m².

>> Representación gráfica (Diciembre)

Evolución anual de la condensación acumulada.

Se presentan a continuación las cantidades totales de agua condensada en el elemento constructivo para cada situación de cálculo, así como la evolución de la humedad acumulada a lo largo del año.

El primer mes con condensación en alguna interfase es diciembre, aunque la cantidad neta anual es nula, por producirse la evaporación suficiente en los meses siguientes.

	Ene	Feb	Mar	Abr	May	Jun	Jul	Ago	Sep	Oct	Nov	Dic
Evolución de la cantidad de agua condensada.												
gc	g/(m²·mes)	0.157	0.074	--	--	--	--	--	--	--	--	0.146
gev	g/(m²·mes)	--	--	0.054	0.214	0.109	--	--	--	--	--	--
Ma	(g/m²)	0.302	0.377	0.323	0.109	--	--	--	--	--	--	0.146

-----|-----
donde:

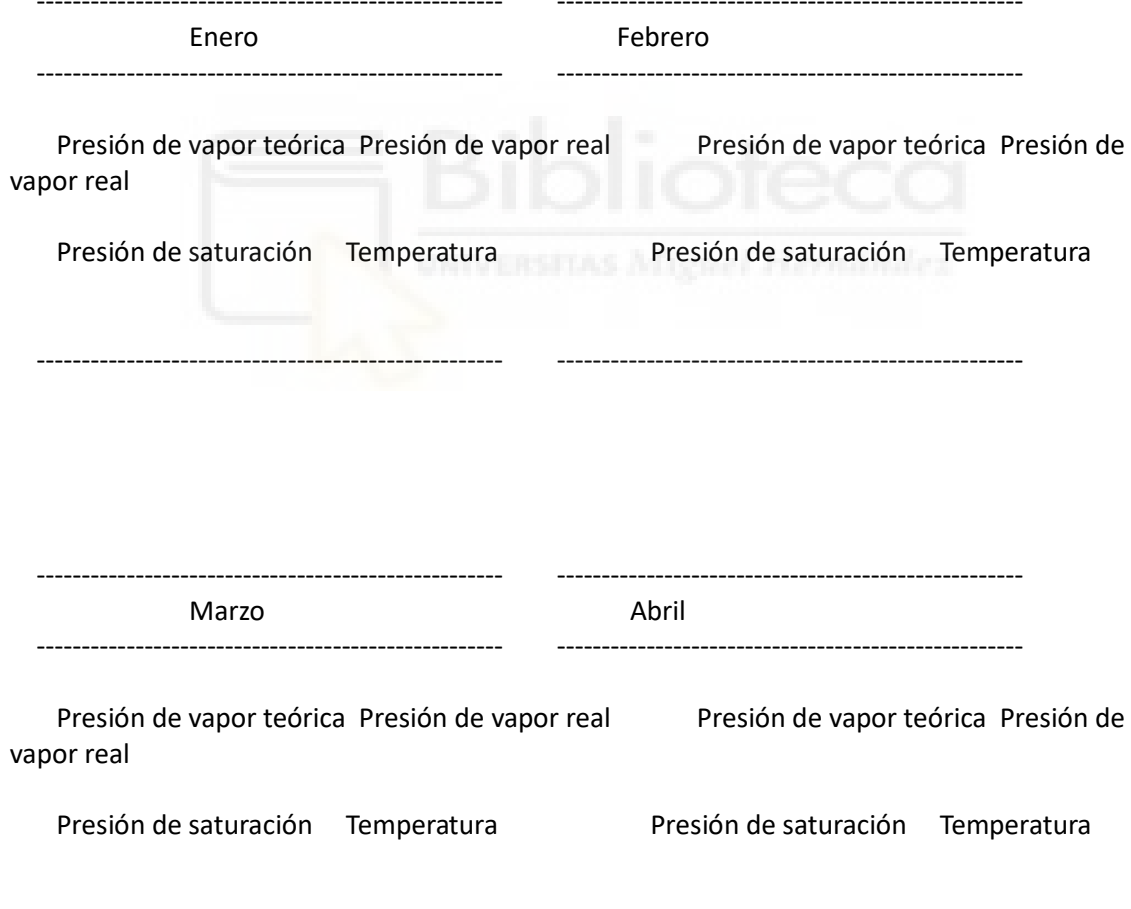
gc: Densidad de flujo de condensación, $\text{g}/(\text{m}^2 \cdot \text{mes})$.

gev: Densidad de flujo de evaporación, $\text{g}/(\text{m}^2 \cdot \text{mes})$.

Ma: Contenido acumulado de humedad por unidad de superficie, g/m^2 .

>> Representación gráfica (Condensación acumulada)

1.2.6. Representación gráfica de las condensaciones intersticiales previstas



Mayo

Junio

Presión de vapor teórica Presión de vapor real
vapor real

Presión de saturación Temperatura

Presión de saturación Temperatura

Julio

Agosto

Presión de vapor teórica Presión de vapor real
vapor real

Presión de saturación Temperatura

Presión de saturación Temperatura

Septiembre

Octubre

Presión de vapor teórica Presión de vapor real
vapor real

Presión de saturación Temperatura

Presión de saturación Temperatura

Noviembre

Diciembre

Presión de vapor teórica Presión de vapor real
vapor real

Presión de saturación Temperatura

Presión de vapor teórica Presión de

Presión de saturación Temperatura

Condensación acumulada

2. BAÑOS P BAJA

2.1. Cerramiento exterior

2.1.1. Resultados del cálculo de condensaciones

2.1.1.1. Condensación superficial

$$f_{RSI} = 0.954 \geq f_{RSI,min} = 0.772$$

El elemento constructivo no presenta condensaciones superficiales.

donde:

f_{RSI} : Factor de resistencia superficial interior, calculado como $(1 - U \cdot R_{SI})$, donde $U = 0.185$ $W/m^2 \cdot K$ y $R_{SI} = 0.25$ $m^2 \cdot K/W$.

$f_{RSI,min}$: Factor de resistencia superficial interior mínimo, necesario para evitar la humedad superficial crítica,
calculado considerando un valor de $\phi_{SI,cr} \leq 0.8$.

2.1.1.2. Condensación intersticial

El elemento constructivo presenta condensaciones intersticiales en los meses de: diciembre, enero, febrero. Sin embargo, la cantidad de condensación acumulada en cada periodo anual no es superior a la cantidad de evaporación posible en el mismo periodo.

2.1.2. Condiciones higrotérmicas de cálculo

Las condiciones higrotérmicas exteriores e interiores utilizadas para realizar el cálculo de condensaciones son las siguientes:

	Ene	Feb	Mar	Abr	May	Jun	Jul	Ago	Sep	Oct	Nov	Dic
<hr/>												
Condiciones exteriores												
Temperatura, θ_e (°C)	5.5	6.8	8.8	11.6	15.3	19.8	23.5	22.8	19.5	14.1	9.0	5.9
Humedad relativa, ϕ_e (%)	80	76	69	68	67	62	53	54	61	72	79	81
<hr/>												
Condiciones interiores												
Temperatura, θ_i (°C)	20.0	20.0	20.0	20.0	20.0	20.0	20.0	20.0	20.0	20.0	20.0	20.0
Humedad relativa, ϕ_i (%)	60	60	60	60	60	60	60	60	60	60	60	60
<hr/>												

El diagrama psicrométrico asociado al emplazamiento, con una altura sobre el nivel del mar de 679 m, se muestra a continuación, representando mediante segmentos de recta las transiciones desde cada condición exterior de cálculo a su correspondiente condición interior.

2.1.3. Descripción del elemento constructivo

El esquema de la composición del elemento constructivo, en sección, es el siguiente:

Las características térmicas y las propiedades de difusión del vapor de agua de las capas homogéneas de caras paralelas que conforman el modelo de cálculo del elemento constructivo son las siguientes:

Cerramiento exterior		e (cm)	λ (W/m·K)	R (m ² ·K/W)	μ	Sd (m)
Rse				0.04		
1	Hormigón armado d > 2500		6.0	2.500	0.02400	80 4.8
2	XPS Expandido con hidrofluorcarbonos HFC [0.032 W/[mK]]		8.0	0.032	2.50000	
3	Hormigón armado d > 2500		6.0	2.500	0.02400	80 4.8
4	MW Lana mineral [0.031 W/[mK]]		8.0	0.031	2.58065	1
0.08						
5	Placa de yeso laminado [PYL] 750 < d < 900		1.5	0.250	0.06000	4
0.06						
6	Placa de yeso laminado [PYL] 750 < d < 900		1.5	0.250	0.06000	4
0.06						
Rsi			0.13			

donde:

e: Espesor, cm.

λ : Conductividad térmica del material, W/(m·K).

R: Resistencia térmica del material, m²·K/W.

μ : Factor de resistencia a la difusión del vapor de agua del material.

Sd: Espesor de aire equivalente frente a la difusión del vapor de agua, m.

Rse: Resistencia térmica superficial exterior del elemento, m²·K/W.

Rsi: Resistencia térmica superficial interior del elemento, m²·K/W.

La información de cálculo relativa a los parámetros higrotérmicos del elemento completo, derivada del modelo de capas homogéneas, es la siguiente:

Magnitud	Uds.	Valor
Espesor total del elemento, eT	cm	31.0
Resistencia térmica total, RT	m ² ·K/W	5.4186

Espesor de aire equivalente total, Sd,T		m	11.40
Transmitancia térmica, U		W/(m ² ·K)	0.185
Factor de resistencia superficial interior, fRsi		--	0.954

donde:

ET: Espesor total del elemento, cm.

RT: Resistencia térmica total del elemento, sumatorio de la resistencia térmica de cada capa, incluyendo las resistencias superficiales Rse y Rsi, m²·K/W.

SdT: Espesor de aire equivalente total, sumatorio del espesor equivalente de cada capa del elemento, m.

U: Transmitancia térmica del elemento, calculada como la inversa de la resistencia térmica total, W/(m²·K).

fRsi: Factor de resistencia superficial interior, calculado como $(1 - U \cdot R_{si})$, donde $U = 0.185$ W/m²·K y $R_{si} = 0.25$ m²·K/W.

2.1.4. Cálculo del factor de temperatura superficial interior necesario para evitar la humedad superficial crítica

Con objeto de prevenir los efectos adversos de la humedad superficial crítica, se ha limitado la humedad relativa máxima en la superficie interior a un valor de $\phi_{si,cr} \leq 0.8$.

Dadas las condiciones higrotérmicas exteriores, así como las interiores, el cálculo de fRsi,mín queda como sigue:

	θe (°C)	φe (%)	θi (°C)	φi (%)	Pi (Pa)	Psat (θsi) (Pa)	θsi,mín (°C)	fRsi,mín
Enero	5.5	80.0	20.0	65.0	1519.02	1898.77	16.7	0.772
Febrero	6.8	76.0	20.0	65.0	1519.02	1898.77	16.7	0.749
Marzo	8.8	69.0	20.0	65.0	1519.02	1898.77	16.7	0.704
Abril	11.6	68.0	20.0	65.0	1519.02	1898.77	16.7	0.606
Mayo	15.3	67.0	20.0	65.0	1519.02	1898.77	16.7	0.295

Junio		19.8	62.0	20.0	65.0	1519.02	1898.77	16.7	0.000
Julio		23.5	53.0	20.0	65.0	1519.02	1898.77	16.7	--*
Agosto		22.8	54.0	20.0	65.0	1519.02	1898.77	16.7	--*
Septiembre		19.5	61.0	20.0	65.0	1519.02	1898.77	16.7	0.000
Octubre		14.1	72.0	20.0	65.0	1519.02	1898.77	16.7	0.439
Noviembre		9.0	79.0	20.0	65.0	1519.02	1898.77	16.7	0.699
Diciembre		5.9	81.0	20.0	65.0	1519.02	1898.77	16.7	0.765

*: No hay riesgo de formación de condensaciones superficiales en el paramento interior, ya que $\theta_e \geq \theta_i$.

donde:

θ_e : Temperatura del aire exterior, °C.

ϕ_e : Humedad relativa del aire exterior, %.

θ_i : Temperatura del aire interior, °C.

ϕ_i : Humedad relativa del aire interior, aumentada con un coeficiente de seguridad 5%, %.

P_i : Presión de vapor en el ambiente interior, Pa.

$Psat(\theta_i)$: Presión de saturación del vapor de agua mínima aceptable para la superficie interior, Pa.

$\theta_{si,mín}$: Mínima temperatura superficial interior aceptable, calculada en base a la presión de saturación mínima aceptable, °C.

$fRsi,mín$: Factor de resistencia superficial interior mínimo.

Dado que $fRsi = 0.954 > fRsi,mín = 0.772$, no se producen condensaciones superficiales en el elemento constructivo.

2.1.5. Cálculo de condensaciones intersticiales

Se exponen a continuación los resultados alcanzados en el cálculo de las temperaturas y presiones en cada una de las interfasas formadas en la unión entre las capas homogéneas que conforman el modelo de cálculo del elemento constructivo.

Cálculo de condensaciones intersticiales en el mes de Enero.

Cerramiento exterior	θ (°C)	Psat (Pa)	Pn (%)	ϕ (g/(m ² ·mes))	gc	Ma (g/m ²)
Aire exterior	5.50	902.765	722.212	80.0		
Cara exterior	5.61	909.504	722.212	79.4	--	--
Interfase 1-2	5.67	913.569	913.569	100.0	18.301	35.016
Interfase 2-3	12.36	1435.537	1032.018	71.9	--	--
Interfase 3-4	12.43	1441.610	1387.365	96.2	--	--
Interfase 4-5	19.33	2241.913	1393.287	62.1	--	--
Interfase 5-6	19.49	2264.408	1397.729	61.7	--	--
Cara interior	19.65	2287.101	1402.171	61.3	--	--
Aire interior	20.00	2336.951	1402.171	60.0		

donde:

θ : Temperatura, °C.

Psat: Presión de saturación del vapor de agua, Pa.

Pn: Presión del vapor de agua, Pa.

ϕ : Humedad relativa, %.

gc: Densidad de flujo de condensación, g/(m²·mes).

Ma: Contenido acumulado de humedad por unidad de superficie, g/m².

>> Representación gráfica (Enero)

Cálculo de condensaciones intersticiales en el mes de Febrero.

Cerramiento exterior	θ (°C)	Psat (Pa)	Pn (%)	ϕ (g/(m ² ·mes))	gc	Ma (g/m ²)
Aire exterior	6.80	987.670	750.629	76.0		
Cara exterior	6.90	994.308	750.629	75.5	--	--
Interfase 1-2	6.96	998.310	998.310	100.0	4.640	39.657
Interfase 2-3	13.05	1501.467	1096.216	73.0	--	--
Interfase 3-4	13.10	1507.216	1389.932	92.2	--	--
Interfase 4-5	19.39	2250.293	1394.828	62.0	--	--
Interfase 5-6	19.54	2270.831	1398.499	61.6	--	--
Cara interior	19.68	2291.532	1402.171	61.2	--	--
Aire interior	20.00	2336.951	1402.171	60.0		

donde:

θ : Temperatura, °C.

Psat: Presión de saturación del vapor de agua, Pa.

Pn: Presión del vapor de agua, Pa.

ϕ : Humedad relativa, %.

gc: Densidad de flujo de condensación, g/(m²·mes).

Ma: Contenido acumulado de humedad por unidad de superficie, g/m².

>> Representación gráfica (Febrero)

Cálculo de condensaciones intersticiales en el mes de Marzo.

Cerramiento exterior	θ (°C)	Psat (Pa)	Pn (%)	ϕ (g/(m ² ·mes))	gc	Ma (g/m ²)

Aire exterior		8.80	1132.044	781.110	69.0		
Cara exterior		8.88	1138.392	781.110	68.6	--	--
Interfase 1-2		8.93	1142.216	1142.216	100.0	-19.201	20.456
Interfase 2-3		14.10	1608.089	1205.236	74.9	--	--
Interfase 3-4		14.15	1613.269	1394.293	86.4	--	--
Interfase 4-5		19.48	2263.240	1397.444	61.7	--	--
Interfase 5-6		19.61	2280.742	1399.807	61.4	--	--
Cara interior		19.73	2298.363	1402.171	61.0	--	--
Aire interior		20.00	2336.951	1402.171	60.0		

donde:

θ : Temperatura, °C.

Psat: Presión de saturación del vapor de agua, Pa.

Pn: Presión del vapor de agua, Pa.

ϕ : Humedad relativa, %.

gc: Densidad de flujo de condensación, g/(m²·mes).

Ma: Contenido acumulado de humedad por unidad de superficie, g/m².

>> Representación gráfica (Marzo)

Cálculo de condensaciones intersticiales en el mes de Abril.

Cerramiento exterior	θ (°C)	Psat (Pa)	Pn (%)	ϕ (g/(m²·mes))	gc	Ma (g/m²)
Aire exterior	11.60	1365.261	928.378	68.0		
Cara exterior	11.66	1370.871	928.378	67.7	--	--
Interfase 1-2	11.70	1374.247	1374.247	100.0	-20.456	--

Interfase 2-3	15.57	1768.501	1381.016	78.1	--	--
Interfase 3-4	15.61	1772.722	1401.325	79.0	--	--
Interfase 4-5	19.61	2281.474	1401.663	61.4	--	--
Interfase 5-6	19.71	2294.683	1401.917	61.1	--	--
Cara interior	19.80	2307.958	1402.171	60.8	--	--
Aire interior	20.00	2336.951	1402.171	60.0		

donde:

θ : Temperatura, °C.

P_{sat} : Presión de saturación del vapor de agua, Pa.

P_n : Presión del vapor de agua, Pa.

ϕ : Humedad relativa, %.

g_c : Densidad de flujo de condensación, g/(m²·mes).

M_a : Contenido acumulado de humedad por unidad de superficie, g/m².

>> Representación gráfica (Abril)

Cálculo de condensaciones intersticiales en el mes de Mayo.

Cerramiento exterior	θ (°C)	P_{sat} (Pa)	P_n (%)	ϕ (g/(m²·mes))	g_c (g/m²)	M_a (g/m²)
Aire exterior	15.30	1737.605	1164.195	67.0		
Cara exterior	15.33	1741.480	1164.195	66.9	--	--
Interfase 1-2	15.36	1743.809	1264.395	72.5	--	--
Interfase 2-3	17.52	2001.891	1297.795	64.8	--	--
Interfase 3-4	17.54	2004.523	1397.996	69.7	--	--

Interfase 4-5	19.78	2305.767	1399.666	60.7	--	--
Interfase 5-6	19.84	2313.218	1400.918	60.6	--	--
Cara interior	19.89	2320.690	1402.171	60.4	--	--
Aire interior	20.00	2336.951	1402.171	60.0		

donde:

θ : Temperatura, °C.

Psat: Presión de saturación del vapor de agua, Pa.

Pn: Presión del vapor de agua, Pa.

ϕ : Humedad relativa, %.

gc: Densidad de flujo de condensación, g/(m²·mes).

Ma: Contenido acumulado de humedad por unidad de superficie, g/m².

>> Representación gráfica (Mayo)

Cálculo de condensaciones intersticiales en el mes de Junio.

Cerramiento exterior	θ (°C)	Psat (Pa)	Pn (%)	ϕ (g/(m²·mes))	gc	Ma (g/m²)
Aire exterior	19.80	2308.176	1431.069	62.0		
Cara exterior	19.80	2308.387	1431.069	62.0	--	--
Interfase 1-2	19.80	2308.514	1418.901	61.5	--	--
Interfase 2-3	19.89	2321.753	1414.845	60.9	--	--
Interfase 3-4	19.90	2321.880	1402.678	60.4	--	--
Interfase 4-5	19.99	2335.617	1402.475	60.0	--	--
Interfase 5-6	19.99	2335.937	1402.323	60.0	--	--
Cara interior	20.00	2336.257	1402.171	60.0	--	--

Aire interior	20.00	2336.951	1402.171	60.0
---------------	-------	----------	----------	------

donde:

θ : Temperatura, °C.

P_{sat} : Presión de saturación del vapor de agua, Pa.

P_n : Presión del vapor de agua, Pa.

ϕ : Humedad relativa, %.

g_c : Densidad de flujo de condensación, g/(m²·mes).

M_a : Contenido acumulado de humedad por unidad de superficie, g/m².

>> Representación gráfica (Junio)

Cálculo de condensaciones intersticiales en el mes de Julio.

Cerramiento exterior	θ (°C)	P_{sat} (Pa)	P_n (%)	ϕ (g/(m²·mes))	g_c	M_a (g/m²)
Aire exterior	23.50	2893.848	1533.739	53.0	--	--
Cara exterior	23.47	2889.346	1533.739	53.1	--	--
Interfase 1-2	23.46	2886.648	1478.342	51.2	--	--
Interfase 2-3	21.84	2617.367	1459.876	55.8	--	--
Interfase 3-4	21.83	2614.893	1404.479	53.7	--	--
Interfase 4-5	20.16	2360.412	1403.556	59.5	--	--
Interfase 5-6	20.12	2354.763	1402.863	59.6	--	--
Cara interior	20.08	2349.125	1402.171	59.7	--	--
Aire interior	20.00	2336.951	1402.171	60.0	--	--

donde:

θ : Temperatura, °C.

P_{sat} : Presión de saturación del vapor de agua, Pa.

P_n : Presión del vapor de agua, Pa.

ϕ : Humedad relativa, %.

g_c : Densidad de flujo de condensación, g/(m²·mes).

M_a : Contenido acumulado de humedad por unidad de superficie, g/m².

>> Representación gráfica (Julio)

Cálculo de condensaciones intersticiales en el mes de Agosto.

Cerramiento exterior	θ (°C)	P_{sat} (Pa)	P_n (%)	ϕ (g/(m ² ·mes))	g_c	M_a (g/m ²)
Aire exterior	22.80	2774.025	1497.973	54.0	--	--
Cara exterior	22.78	2770.554	1497.973	54.1	--	--
Interfase 1-2	22.77	2768.473	1457.635	52.7	--	--
Interfase 2-3	21.48	2559.044	1444.189	56.4	--	--
Interfase 3-4	21.46	2557.103	1403.851	54.9	--	--
Interfase 4-5	20.13	2355.704	1403.179	59.6	--	--
Interfase 5-6	20.10	2351.191	1402.675	59.7	--	--
Cara interior	20.07	2346.686	1402.171	59.8	--	--
Aire interior	20.00	2336.951	1402.171	60.0	--	--

donde:

θ : Temperatura, °C.

P_{sat} : Presión de saturación del vapor de agua, Pa.

Pn: Presión del vapor de agua, Pa.

φ: Humedad relativa, %.

gc: Densidad de flujo de condensación, g/(m²·mes).

Ma: Contenido acumulado de humedad por unidad de superficie, g/m².

>> Representación gráfica (Agosto)

Cálculo de condensaciones intersticiales en el mes de Septiembre.

Cerramiento exterior (°C)	θ (Pa)	Psat (Pa)	Pn (%)	φ (g/(m ² ·mes))	gc	Ma (g/m ²)
Aire exterior	19.50	2265.595	1382.013	61.0	--	--
Cara exterior	19.50	2266.114	1382.013	61.0	--	--
Interfase 1-2	19.51	2266.426	1390.500	61.4	--	--
Interfase 2-3	19.74	2299.118	1393.329	60.6	--	--
Interfase 3-4	19.74	2299.434	1401.817	61.0	--	--
Interfase 4-5	19.98	2333.616	1401.958	60.1	--	--
Interfase 5-6	19.98	2334.416	1402.065	60.1	--	--
Cara interior	19.99	2335.216	1402.171	60.0	--	--
Aire interior	20.00	2336.951	1402.171	60.0	--	--

donde:

θ: Temperatura, °C.

Psat: Presión de saturación del vapor de agua, Pa.

Pn: Presión del vapor de agua, Pa.

φ: Humedad relativa, %.

gc: Densidad de flujo de condensación, g/(m²·mes).

Ma: Contenido acumulado de humedad por unidad de superficie, g/m².

>> Representación gráfica (Septiembre)

Cálculo de condensaciones intersticiales en el mes de Octubre.

Cerramiento exterior	θ (°C)	Psat (Pa)	Pn (%)	ϕ (g/(m ² ·mes))	gc	Ma (g/m ²)
Aire exterior	14.10	1608.128	1157.852	72.0	--	--
Cara exterior	14.14	1612.675	1157.852	71.8	--	--
Interfase 1-2	14.17	1615.408	1260.723	78.0	--	--
Interfase 2-3	16.89	1923.406	1295.013	67.3	--	--
Interfase 3-4	16.92	1926.596	1397.884	72.6	--	--
Interfase 4-5	19.73	2297.864	1399.599	60.9	--	--
Interfase 5-6	19.79	2307.192	1400.885	60.7	--	--
Cara interior	19.86	2316.554	1402.171	60.5	--	--
Aire interior	20.00	2336.951	1402.171	60.0	--	--

donde:

θ : Temperatura, °C.

Psat: Presión de saturación del vapor de agua, Pa.

Pn: Presión del vapor de agua, Pa.

ϕ : Humedad relativa, %.

gc: Densidad de flujo de condensación, g/(m²·mes).

Ma: Contenido acumulado de humedad por unidad de superficie, g/m².

>> Representación gráfica (Octubre)

Cálculo de condensaciones intersticiales en el mes de Noviembre.

Cerramiento exterior	θ (°C)	Psat (Pa)	Pn (%)	ϕ (g/(m ² ·mes))	gc (g/m ²)	Ma (g/m ²)
Aire exterior	9.00	1147.455	906.489	79.0	--	--
Cara exterior	9.08	1153.764	906.489	78.6	--	--
Interfase 1-2	9.13	1157.564	1115.197	96.3	--	--
Interfase 2-3	14.20	1619.108	1184.767	73.2	--	--
Interfase 3-4	14.25	1624.226	1393.475	85.8	--	--
Interfase 4-5	19.49	2264.538	1396.953	61.7	--	--
Interfase 5-6	19.61	2281.736	1399.562	61.3	--	--
Cara interior	19.74	2299.048	1402.171	61.0	--	--
Aire interior	20.00	2336.951	1402.171	60.0	--	--

donde:

θ : Temperatura, °C.

Psat: Presión de saturación del vapor de agua, Pa.

Pn: Presión del vapor de agua, Pa.

ϕ : Humedad relativa, %.

gc: Densidad de flujo de condensación, g/(m²·mes).

Ma: Contenido acumulado de humedad por unidad de superficie, g/m².

>> Representación gráfica (Noviembre)

Cálculo de condensaciones intersticiales en el mes de Diciembre.

Cerramiento exterior	θ (°C)	Psat (Pa)	Pn (%)	ϕ (g/(m ² ·mes))	gc	Ma (g/m ²)
Aire exterior	5.90	928.177	751.823	81.0		
Cara exterior	6.00	934.891	751.823	80.4	--	--
Interfase 1-2	6.07	938.941	938.941	100.0	16.715	16.715
Interfase 2-3	12.57	1455.547	1051.239	72.2	--	--
Interfase 3-4	12.63	1461.524	1388.133	95.0	--	--
Interfase 4-5	19.35	2244.489	1393.748	62.1	--	--
Interfase 5-6	19.51	2266.383	1397.960	61.7	--	--
Cara interior	19.66	2288.463	1402.171	61.3	--	--
Aire interior	20.00	2336.951	1402.171	60.0		

donde:

θ : Temperatura, °C.

Psat: Presión de saturación del vapor de agua, Pa.

Pn: Presión del vapor de agua, Pa.

ϕ : Humedad relativa, %.

gc: Densidad de flujo de condensación, g/(m²·mes).

Ma: Contenido acumulado de humedad por unidad de superficie, g/m².

>> Representación gráfica (Diciembre)

Evolución anual de la condensación acumulada.

Se presentan a continuación las cantidades totales de agua condensada en el elemento constructivo para cada situación de

cálculo, así como la evolución de la humedad acumulada a lo largo del año.

El primer mes con condensación en alguna interfase es diciembre, aunque la cantidad neta anual es nula, por producirse la evaporación suficiente en los meses siguientes.

	Ene	Feb	Mar	Abr	May	Jun	Jul	Ago	Sep	Oct	Nov	Dic
Evolución de la cantidad de agua condensada.												
gc	g/(m ² ·mes)	18.301	4.640	--	--	--	--	--	--	--	--	16.715
gev	g/(m ² ·mes)	--	--	19.201	20.456	--	--	--	--	--	--	--
Ma	(g/m ²)	35.016	39.657	20.456	--	--	--	--	--	--	--	16.715

donde:

gc: Densidad de flujo de condensación, g/(m²·mes).

gev: Densidad de flujo de evaporación, g/(m²·mes).

Ma: Contenido acumulado de humedad por unidad de superficie, g/m².

>> Representación gráfica (Condensación acumulada)

2.1.6. Representación gráfica de las condensaciones intersticiales previstas

Enero	Febrero
Presión de vapor teórica vapor real	Presión de vapor teórica Presión de vapor real
Presión de saturación Temperatura	Presión de saturación Temperatura

Marzo

Abril

Presión de vapor teórica Presión de vapor real
vapor real

Presión de saturación Temperatura

Presión de vapor teórica Presión de

Presión de saturación Temperatura

Mayo

Junio

Presión de vapor teórica Presión de vapor real
vapor real

Presión de saturación Temperatura

Presión de vapor teórica Presión de

Presión de saturación Temperatura

Julio

Agosto

Presión de vapor teórica Presión de vapor real
vapor real

Presión de saturación Temperatura

Presión de vapor teórica Presión de

Presión de saturación Temperatura

Septiembre

Octubre

Presión de vapor teórica Presión de vapor real
vapor real

Presión de saturación Temperatura

Presión de vapor teórica Presión de

Presión de saturación Temperatura

Noviembre

Diciembre

Presión de vapor teórica Presión de vapor real
vapor real

Presión de saturación Temperatura

Presión de vapor teórica Presión de

Presión de saturación Temperatura

Condensación acumulada

2.2. Cubierta 3 - Inclinadas aulas

2.2.1. Resultados del cálculo de condensaciones

2.2.1.1. Condensación superficial

$$f_{RSi} = 0.953 \geq f_{RSi,mín} = 0.772$$

El elemento constructivo no presenta condensaciones superficiales.

donde:

fRsi: Factor de resistencia superficial interior, calculado como $(1 - U \cdot Rsi)$, donde $U = 0.189$ $\text{W/m}^2 \cdot \text{K}$ y $Rsi = 0.25$ $\text{m}^2 \cdot \text{K/W}$.

fRsi,mín: Factor de resistencia superficial interior mínimo, necesario para evitar la humedad superficial crítica,
calculado considerando un valor de $\phi_{si,cr} \leq 0.8$.

2.2.1.2. Condensación intersticial

El elemento constructivo presenta condensaciones intersticiales en los meses de: diciembre, enero, febrero. Sin embargo, la cantidad de condensación acumulada en cada periodo anual no es superior a la cantidad de evaporación posible en el mismo periodo.

2.2.2. Condiciones higrotérmicas de cálculo

Las condiciones higrotérmicas exteriores e interiores utilizadas para realizar el cálculo de condensaciones son las siguientes:

	Ene	Feb	Mar	Abr	May	Jun	Jul	Ago	Sep	Oct	Nov	Dic
<hr/>												
Condiciones exteriores												
Temperatura, θ_e (°C)	5.5	6.8	8.8	11.6	15.3	19.8	23.5	22.8	19.5	14.1	9.0	5.9
<hr/>												
Humedad relativa, ϕ_e (%)	80	76	69	68	67	62	53	54	61	72	79	81
<hr/>												
Condiciones interiores												
Temperatura, θ_i (°C)	20.0	20.0	20.0	20.0	20.0	20.0	20.0	20.0	20.0	20.0	20.0	20.0
20.0												
Humedad relativa, ϕ_i (%)	60	60	60	60	60	60	60	60	60	60	60	60
<hr/>												

El diagrama psicrométrico asociado al emplazamiento, con una altura sobre el nivel del mar de 679 m, se muestra a continuación, representando mediante segmentos de recta las transiciones desde cada condición exterior de cálculo a su correspondiente condición interior.

2.2.3. Descripción del elemento constructivo

El esquema de la composición del elemento constructivo, en sección, es el siguiente:

Las características térmicas y las propiedades de difusión del vapor de agua de las capas homogéneas de caras paralelas que conforman el modelo de cálculo del elemento constructivo son las siguientes:

Cubierta 3 - Inclinadas aulas		e (cm)	λ (W/m·K)	R (m ² ·K/W)	μ	Sd (m)
Rse			0.04			
----- -----	----- -----					
1 Aluminio		0.1	230.000	0.00000	1000000	1000
2 XPS Expandido con hidrofluorcarbonos HFC [0.032 W/[mK]]			10.0	0.032	3.12500	
20 2						
3 Aluminio		0.1	230.000	0.00000	1000000	1000
4 MW Lana mineral [0.031 W/[mK]]		5.0	0.031	1.61290	1	
0.05						
5 Con capa de compresión -Canto 300 mm			30.0	1.579	0.18999	80
24						
6 Cámara de aire		10.0		0.16000		0.01
7 Placa de yeso laminado [PYL] 750 < d < 900			1.5	0.250	0.06000	4
0.06						
----- -----	----- -----					
Rsi		0.10				
-----	-----					

donde:

e: Espesor, cm.

λ : Conductividad térmica del material, W/(m·K).

R: Resistencia térmica del material, m²·K/W.

μ : Factor de resistencia a la difusión del vapor de agua del material.

Sd: Espesor de aire equivalente frente a la difusión del vapor de agua, m.

Rse: Resistencia térmica superficial exterior del elemento, m²·K/W.

Rsi: Resistencia térmica superficial interior del elemento, $\text{m}^2 \cdot \text{K}/\text{W}$.

La información de cálculo relativa a los parámetros higrotérmicos del elemento completo, derivada del modelo de capas homogéneas, es la siguiente:

Magnitud	Uds.	Valor
Espesor total del elemento, eT	cm	56.7
Resistencia térmica total, RT	$\text{m}^2 \cdot \text{K}/\text{W}$	5.2879
Espesor de aire equivalente total, SdT	m	2026.12
Transmitancia térmica, U	$\text{W}/(\text{m}^2 \cdot \text{K})$	0.189
Factor de resistencia superficial interior, fRsi	--	0.953

donde:

ET: Espesor total del elemento, cm.

RT: Resistencia térmica total del elemento, sumatorio de la resistencia térmica de cada capa, incluyendo las resistencias superficiales Rse y Rsi, $\text{m}^2 \cdot \text{K}/\text{W}$.

SdT: Espesor de aire equivalente total, sumatorio del espesor equivalente de cada capa del elemento, m.

U: Transmitancia térmica del elemento, calculada como la inversa de la resistencia térmica total, $\text{W}/(\text{m}^2 \cdot \text{K})$.

fRsi: Factor de resistencia superficial interior, calculado como $(1 - U \cdot R_{\text{si}})$, donde $U = 0.189 \text{ W}/\text{m}^2 \cdot \text{K}$ y $R_{\text{si}} = 0.25 \text{ m}^2 \cdot \text{K}/\text{W}$.

2.2.4. Cálculo del factor de temperatura superficial interior necesario para evitar la humedad superficial crítica

Con objeto de prevenir los efectos adversos de la humedad superficial crítica, se ha limitado la humedad relativa máxima en la superficie interior a un valor de $\phi_{\text{si},\text{cr}} \leq 0.8$.

Dadas las condiciones higrotérmicas exteriores, así como las interiores, el cálculo de fRsi, mín queda como sigue:

	θ_e (°C)	ϕ_e (%)	θ_i (°C)	ϕ_i (%)	P_i (Pa)	$Psat(\theta_{si})$ (Pa)	$\theta_{si,mín}$ (°C)	$f_{Rsi,mín}$
Enero	5.5	80.0	20.0	65.0	1519.02	1898.77	16.7	0.772
Febrero	6.8	76.0	20.0	65.0	1519.02	1898.77	16.7	0.749
Marzo	8.8	69.0	20.0	65.0	1519.02	1898.77	16.7	0.704
Abril	11.6	68.0	20.0	65.0	1519.02	1898.77	16.7	0.606
Mayo	15.3	67.0	20.0	65.0	1519.02	1898.77	16.7	0.295
Junio	19.8	62.0	20.0	65.0	1519.02	1898.77	16.7	0.000
Julio	23.5	53.0	20.0	65.0	1519.02	1898.77	16.7	--*
Agosto	22.8	54.0	20.0	65.0	1519.02	1898.77	16.7	--*
Septiembre	19.5	61.0	20.0	65.0	1519.02	1898.77	16.7	0.000
Octubre	14.1	72.0	20.0	65.0	1519.02	1898.77	16.7	0.439
Noviembre	9.0	79.0	20.0	65.0	1519.02	1898.77	16.7	0.699
Diciembre	5.9	81.0	20.0	65.0	1519.02	1898.77	16.7	0.765

*: No hay riesgo de formación de condensaciones superficiales en el paramento interior, ya que $\theta_e \geq \theta_i$.

donde:

θ_e : Temperatura del aire exterior, °C.

ϕ_e : Humedad relativa del aire exterior, %.

θ_i : Temperatura del aire interior, °C.

ϕ_i : Humedad relativa del aire interior, aumentada con un coeficiente de seguridad 5%, %.

P_i : Presión de vapor en el ambiente interior, Pa.

$Psat(\theta_{si})$: Presión de saturación del vapor de agua mínima aceptable para la superficie interior, Pa.

$\theta_{si,mín}$: Mínima temperatura superficial interior aceptable, calculada en base a la presión de saturación mínima aceptable, °C.

$f_{Rsi,mín}$: Factor de resistencia superficial interior mínimo.

Dado que $f_{RSi} = 0.953 > f_{RSi,mín} = 0.772$, no se producen condensaciones superficiales en el elemento constructivo.

2.2.5. Cálculo de condensaciones intersticiales

Se exponen a continuación los resultados alcanzados en el cálculo de las temperaturas y presiones en cada una de las interfasas formadas en la unión entre las capas homogéneas que conforman el modelo de cálculo del elemento constructivo.

Cálculo de condensaciones intersticiales en el mes de Enero.

Cubierta 3 - Inclinadas aulas	θ (°C)	Psat (Pa)	Pn (%)	ϕ (g/(m ² ·mes))	gc (g/m ²)	Ma (g/m ²)
Aire exterior	5.50	902.765	722.212	80.0	--	--
Cara exterior	5.61	909.671	722.212	79.4	--	--
Interfase 1-2	5.61	909.672	909.672	100.0	0.157	0.302
Interfase 2-3	14.18	1616.361	910.632	56.3	--	--
Interfase 3-4	14.18	1616.362	1390.594	86.0	--	--
Interfase 4-5	18.60	2142.151	1390.618	64.9	--	--
Interfase 5-6	19.12	2212.994	1402.137	63.4	--	--
Interfase 6-7	19.56	2274.234	1402.142	61.7	--	--
Cara interior	19.73	2297.578	1402.171	61.0	--	--
Aire interior	20.00	2336.951	1402.171	60.0	--	--

donde:

θ : Temperatura, °C.

Psat: Presión de saturación del vapor de agua, Pa.

Pn: Presión del vapor de agua, Pa.

ϕ : Humedad relativa, %.

gc: Densidad de flujo de condensación, g/(m²·mes).

Ma: Contenido acumulado de humedad por unidad de superficie, g/m².

>> Representación gráfica (Enero)

Cálculo de condensaciones intersticiales en el mes de Febrero.

Cubierta 3 - Inclinadas aulas	θ (°C)	Psat (Pa)	Pn (%)	ϕ (g/(m ² ·mes))	gc (g/m ²)	Ma (g/m ²)
Aire exterior	6.80	987.670	750.629	76.0	--	--
Cara exterior	6.90	994.473	750.629	75.5	--	--
Interfase 1-2	6.90	994.474	994.474	100.0	0.074	0.377
Interfase 2-3	14.70	1671.841	995.268	59.5	--	--
Interfase 3-4	14.70	1671.842	1392.587	83.3	--	--
Interfase 4-5	18.73	2159.016	1392.607	64.5	--	--
Interfase 5-6	19.20	2223.868	1402.143	63.0	--	--
Interfase 6-7	19.60	2279.796	1402.147	61.5	--	--
Cara interior	19.75	2301.084	1402.171	60.9	--	--
Aire interior	20.00	2336.951	1402.171	60.0	--	--

donde:

θ : Temperatura, °C.

Psat: Presión de saturación del vapor de agua, Pa.

Pn: Presión del vapor de agua, Pa.

ϕ : Humedad relativa, %.

gc: Densidad de flujo de condensación, $g/(m^2 \cdot \text{mes})$.

Ma: Contenido acumulado de humedad por unidad de superficie, g/m^2 .

>> Representación gráfica (Febrero)

Cálculo de condensaciones intersticiales en el mes de Marzo.

Cubierta 3 - Inclinadas aulas	θ (°C)	Psat (Pa)	Pn (%)	ϕ ($g/(m^2 \cdot \text{mes})$)	gc (g/m^2)	Ma (g/m^2)
Aire exterior	8.80	1132.044	781.110	69.0	--	--
Cara exterior	8.88	1138.550	781.110	68.6	--	--
Interfase 1-2	8.88	1138.550	1138.550	100.0	-0.054	0.323
Interfase 2-3	15.50	1760.457	1139.064	64.7	--	--
Interfase 3-4	15.50	1760.458	1395.974	79.3	--	--
Interfase 4-5	18.92	2185.189	1395.987	63.9	--	--
Interfase 5-6	19.32	2240.687	1402.153	62.6	--	--
Interfase 6-7	19.66	2288.377	1402.155	61.3	--	--
Cara interior	19.79	2306.488	1402.171	60.8	--	--
Aire interior	20.00	2336.951	1402.171	60.0	--	--

donde:

θ : Temperatura, °C.

Psat: Presión de saturación del vapor de agua, Pa.

Pn: Presión del vapor de agua, Pa.

ϕ : Humedad relativa, %.

gc: Densidad de flujo de condensación, $g/(m^2 \cdot \text{mes})$.

Ma: Contenido acumulado de humedad por unidad de superficie, g/m^2 .

>> Representación gráfica (Marzo)

Cálculo de condensaciones intersticiales en el mes de Abril.

Cubierta 3 - Inclinadas aulas	θ (°C)	P_{sat} (Pa)	P_n (%)	ϕ (g/(m ² ·mes))	g_c (g/m ²)	M_a (g/m ²)
Aire exterior	11.60	1365.261	928.378	68.0	--	--
Cara exterior	11.66	1371.010	928.378	67.7	--	--
Interfase 1-2	11.66	1371.011	1371.011	100.0	-0.214	0.109
Interfase 2-3	16.63	1891.429	1371.072	72.5	--	--
Interfase 3-4	16.63	1891.430	1401.438	74.1	--	--
Interfase 4-5	19.19	2222.298	1401.440	63.1	--	--
Interfase 5-6	19.49	2264.422	1402.169	61.9	--	--
Interfase 6-7	19.75	2300.437	1402.169	61.0	--	--
Cara interior	19.84	2314.071	1402.171	60.6	--	--
Aire interior	20.00	2336.951	1402.171	60.0	--	--

donde:

θ : Temperatura, °C.

P_{sat} : Presión de saturación del vapor de agua, Pa.

P_n : Presión del vapor de agua, Pa.

ϕ : Humedad relativa, %.

g_c : Densidad de flujo de condensación, g/(m²·mes).

M_a : Contenido acumulado de humedad por unidad de superficie, g/m².

>> Representación gráfica (Abril)

Cálculo de condensaciones intersticiales en el mes de Mayo.

Cubierta 3 - Inclinadas aulas	θ (°C)	Psat (Pa)	Pn (%)	ϕ (g/(m ² ·mes))	gc (g/m ²)	Ma (g/m ²)
Aire exterior	15.30	1737.605	1164.195	67.0	--	--
Cara exterior	15.34	1741.576	1164.195	66.8	--	--
Interfase 1-2	15.34	1741.577	1741.577	100.0	-0.109	--
Interfase 2-3	18.11	2077.547	1740.915	83.8	--	--
Interfase 3-4	18.11	2077.548	1410.149	67.9	--	--
Interfase 4-5	19.55	2272.179	1410.132	62.1	--	--
Interfase 5-6	19.72	2296.123	1402.194	61.1	--	--
Interfase 6-7	19.86	2316.458	1402.191	60.5	--	--
Cara interior	19.91	2324.125	1402.171	60.3	--	--
Aire interior	20.00	2336.951	1402.171	60.0	--	--

donde:

θ : Temperatura, °C.

Psat: Presión de saturación del vapor de agua, Pa.

Pn: Presión del vapor de agua, Pa.

ϕ : Humedad relativa, %.

gc: Densidad de flujo de condensación, g/(m²·mes).

Ma: Contenido acumulado de humedad por unidad de superficie, g/m².

>> Representación gráfica (Mayo)

Cálculo de condensaciones intersticiales en el mes de Junio.

Cubierta 3 - Inclinadas aulas	θ (°C)	P_{sat} (Pa)	P_n (%)	ϕ (g/(m ² ·mes))	g_c (g/m ²)	M_a (g/m ²)
Aire exterior	19.80	2308.176	1431.069	62.0	--	--
Cara exterior	19.80	2308.393	1431.069	62.0	--	--
Interfase 1-2	19.80	2308.393	1416.806	61.4	--	--
Interfase 2-3	19.92	2325.362	1416.778	60.9	--	--
Interfase 3-4	19.92	2325.362	1402.515	60.3	--	--
Interfase 4-5	19.98	2334.162	1402.514	60.1	--	--
Interfase 5-6	19.99	2335.201	1402.172	60.0	--	--
Interfase 6-7	19.99	2336.076	1402.172	60.0	--	--
Cara interior	20.00	2336.404	1402.171	60.0	--	--
Aire interior	20.00	2336.951	1402.171	60.0	--	--

donde:

θ : Temperatura, °C.

P_{sat} : Presión de saturación del vapor de agua, Pa.

P_n : Presión del vapor de agua, Pa.

ϕ : Humedad relativa, %.

g_c : Densidad de flujo de condensación, g/(m²·mes).

M_a : Contenido acumulado de humedad por unidad de superficie, g/m².

>> Representación gráfica (Junio)

Cálculo de condensaciones intersticiales en el mes de Julio.

Cubierta 3 - Inclinadas aulas	θ (°C)	P_{sat} (Pa)	P_n (%)	ϕ (g/(m ² ·mes))	gc (g/m ²)	Ma (g/m ²)
Aire exterior	23.50	2893.848	1533.739	53.0	--	--
Cara exterior	23.47	2889.235	1533.739	53.1	--	--
Interfase 1-2	23.47	2889.235	1468.803	50.8	--	--
Interfase 2-3	21.41	2548.107	1468.673	57.6	--	--
Interfase 3-4	21.41	2548.107	1403.737	55.1	--	--
Interfase 4-5	20.34	2386.229	1403.734	58.8	--	--
Interfase 5-6	20.21	2367.766	1402.175	59.2	--	--
Interfase 6-7	20.11	2352.314	1402.175	59.6	--	--
Cara interior	20.07	2346.543	1402.171	59.8	--	--
Aire interior	20.00	2336.951	1402.171	60.0	--	--

donde:

θ : Temperatura, °C.

P_{sat} : Presión de saturación del vapor de agua, Pa.

P_n : Presión del vapor de agua, Pa.

ϕ : Humedad relativa, %.

gc: Densidad de flujo de condensación, g/(m²·mes).

Ma: Contenido acumulado de humedad por unidad de superficie, g/m².

>> Representación gráfica (Julio)

Cálculo de condensaciones intersticiales en el mes de Agosto.

Cubierta 3 - Inclinadas aulas	θ (°C)	P_{sat} (Pa)	P_n (%)	ϕ (g/(m ² ·mes))	g_c (g/m ²)	M_a (g/m ²)
Aire exterior	22.80	2774.025	1497.973	54.0	--	--
Cara exterior	22.78	2770.468	1497.973	54.1	--	--
Interfase 1-2	22.78	2770.467	1450.690	52.4	--	--
Interfase 2-3	21.12	2504.591	1450.595	57.9	--	--
Interfase 3-4	21.12	2504.590	1403.311	56.0	--	--
Interfase 4-5	20.27	2376.302	1403.309	59.1	--	--
Interfase 5-6	20.17	2361.575	1402.174	59.4	--	--
Interfase 6-7	20.08	2349.235	1402.174	59.7	--	--
Cara interior	20.05	2344.622	1402.171	59.8	--	--
Aire interior	20.00	2336.951	1402.171	60.0	--	--

donde:

θ : Temperatura, °C.

P_{sat} : Presión de saturación del vapor de agua, Pa.

P_n : Presión del vapor de agua, Pa.

ϕ : Humedad relativa, %.

g_c : Densidad de flujo de condensación, g/(m²·mes).

M_a : Contenido acumulado de humedad por unidad de superficie, g/m².

>> Representación gráfica (Agosto)

Cálculo de condensaciones intersticiales en el mes de Septiembre.

Cubierta 3 - Inclinadas aulas	θ (°C)	P_{sat} (Pa)	P_n (%)	ϕ (g/(m ² ·mes))	g_c (g/m ²)	M_a (g/m ²)
Aire exterior	22.80	2774.025	1497.973	54.0	--	--

Aire exterior		19.50	2265.595	1382.013	61.0		
Cara exterior		19.50	2266.127	1382.013	61.0	--	--
Interfase 1-2		19.50	2266.127	1391.962	61.4	--	--
Interfase 2-3		19.80	2308.071	1391.982	60.3	--	--
Interfase 3-4		19.80	2308.072	1401.931	60.7	--	--
Interfase 4-5		19.95	2329.985	1401.931	60.2	--	--
Interfase 5-6		19.97	2332.578	1402.170	60.1	--	--
Interfase 6-7		19.98	2334.764	1402.170	60.1	--	--
Cara interior		19.99	2335.584	1402.171	60.0	--	--
Aire interior		20.00	2336.951	1402.171	60.0		

donde:

θ : Temperatura, °C.

P_{sat} : Presión de saturación del vapor de agua, Pa.

P_n : Presión del vapor de agua, Pa.

ϕ : Humedad relativa, %.

g_c : Densidad de flujo de condensación, g/(m²·mes).

M_a : Contenido acumulado de humedad por unidad de superficie, g/m².

>> Representación gráfica (Septiembre)

Cálculo de condensaciones intersticiales en el mes de Octubre.

Cubierta 3 - Inclinadas aulas	θ (°C)	P_{sat} (Pa)	P_n (%)	ϕ (g/(m²·mes))	g_c (g/m²)	M_a
Aire exterior	14.10	1608.128	1157.852	72.0		
Cara exterior	14.14	1612.787	1157.852	71.8	--	--

Interfase 1-2		14.14	1612.788	1278.437	79.3	--	--
Interfase 2-3		17.63	2015.502	1278.678	63.4	--	--
Interfase 3-4		17.63	2015.502	1399.262	69.4	--	--
Interfase 4-5		19.43	2255.895	1399.268	62.0	--	--
Interfase 5-6		19.64	2285.800	1402.162	61.3	--	--
Interfase 6-7		19.82	2311.252	1402.163	60.7	--	--
Cara interior		19.89	2320.860	1402.171	60.4	--	--
Aire interior		20.00	2336.951	1402.171	60.0		

donde:

θ : Temperatura, °C.

P_{sat} : Presión de saturación del vapor de agua, Pa.

P_n : Presión del vapor de agua, Pa.

ϕ : Humedad relativa, %.

g_c : Densidad de flujo de condensación, g/(m²·mes).

M_a : Contenido acumulado de humedad por unidad de superficie, g/m².

>> Representación gráfica (Octubre)

Cálculo de condensaciones intersticiales en el mes de Noviembre.

Cubierta 3 - Inclinadas aulas	θ (°C)	P_{sat} (Pa)	P_n (%)	ϕ (g/(m²·mes))	g_c (g/m²)	M_a
Aire exterior	9.00	1147.455	906.489	79.0		
Cara exterior	9.08	1153.920	906.489	78.6	--	--
Interfase 1-2	9.08	1153.921	1151.135	99.8	--	--

Interfase 2-3	15.58	1769.541	1151.624	65.1	--	--
Interfase 3-4	15.58	1769.542	1396.270	78.9	--	--
Interfase 4-5	18.94	2187.822	1396.282	63.8	--	--
Interfase 5-6	19.33	2242.376	1402.154	62.5	--	--
Interfase 6-7	19.67	2289.236	1402.156	61.2	--	--
Cara interior	19.79	2307.029	1402.171	60.8	--	--
Aire interior	20.00	2336.951	1402.171	60.0		

donde:

θ : Temperatura, °C.

P_{sat} : Presión de saturación del vapor de agua, Pa.

P_n : Presión del vapor de agua, Pa.

ϕ : Humedad relativa, %.

g_c : Densidad de flujo de condensación, g/(m²·mes).

M_a : Contenido acumulado de humedad por unidad de superficie, g/m².

>> Representación gráfica (Noviembre)

Cálculo de condensaciones intersticiales en el mes de Diciembre.

Cubierta 3 - Inclinadas aulas	θ (°C)	P_{sat} (Pa)	P_n (%)	ϕ (g/(m²·mes))	g_c (g/m²)	M_a
Aire exterior	5.90	928.177	751.823	81.0		
Cara exterior	6.01	935.058	751.823	80.4	--	--
Interfase 1-2	6.01	935.059	935.059	100.0	0.146	0.146
Interfase 2-3	14.34	1633.257	935.969	57.3	--	--
Interfase 3-4	14.34	1633.258	1391.191	85.2	--	--

Interfase 4-5		18.64	2147.328	1391.214	64.8	--	--
Interfase 5-6		19.15	2216.335	1402.139	63.3	--	--
Interfase 6-7		19.57	2275.944	1402.143	61.6	--	--
Cara interior		19.73	2298.657	1402.171	61.0	--	--
Aire interior		20.00	2336.951	1402.171	60.0	--	--

donde:

θ : Temperatura, °C.

P_{sat} : Presión de saturación del vapor de agua, Pa.

P_n : Presión del vapor de agua, Pa.

ϕ : Humedad relativa, %.

g_c : Densidad de flujo de condensación, g/(m²·mes).

M_a : Contenido acumulado de humedad por unidad de superficie, g/m².

>> Representación gráfica (Diciembre)

Evolución anual de la condensación acumulada.

Se presentan a continuación las cantidades totales de agua condensada en el elemento constructivo para cada situación de cálculo, así como la evolución de la humedad acumulada a lo largo del año.

El primer mes con condensación en alguna interfase es diciembre, aunque la cantidad neta anual es nula, por producirse la evaporación suficiente en los meses siguientes.

	Ene	Feb	Mar	Abr	May	Jun	Jul	Ago	Sep	Oct	Nov	Dic
Evolución de la cantidad de agua condensada.												
gc	g/(m²·mes)	0.157	0.074	--	--	--	--	--	--	--	--	0.146
gev	g/(m²·mes)	--	--	0.054	0.214	0.109	--	--	--	--	--	--

Ma		(g/m ²)	0.302	0.377	0.323	0.109	--	--	--	--	--	--	--	0.146
----	--	---------------------	-------	-------	-------	-------	----	----	----	----	----	----	----	-------

donde:

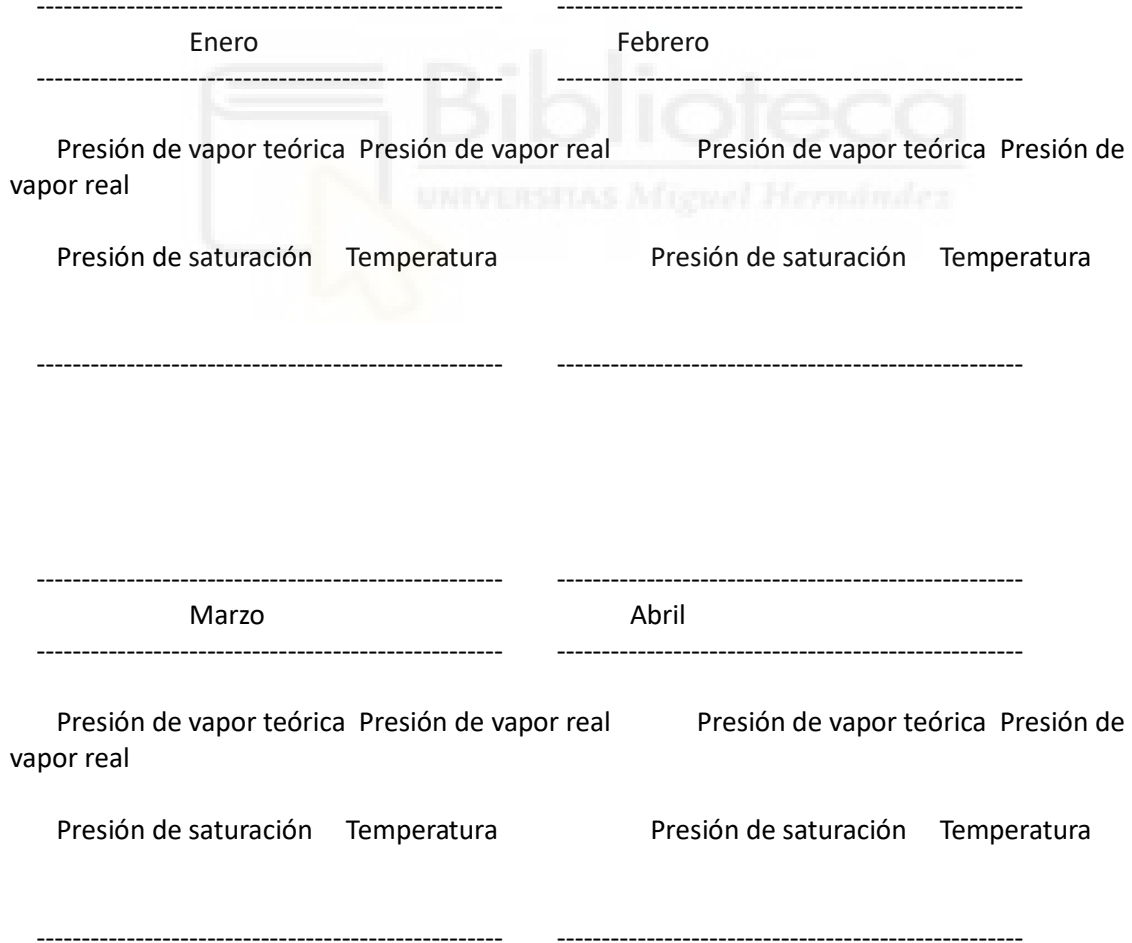
gc: Densidad de flujo de condensación, g/(m²·mes).

gev: Densidad de flujo de evaporación, g/(m²·mes).

Ma: Contenido acumulado de humedad por unidad de superficie, g/m².

>> Representación gráfica (Condensación acumulada)

2.2.6. Representación gráfica de las condensaciones intersticiales previstas



Mayo

Junio

Presión de vapor teórica Presión de vapor real
vapor real

Presión de saturación Temperatura

Presión de vapor teórica Presión de

Presión de saturación Temperatura

Julio

Agosto

Presión de vapor teórica Presión de vapor real
vapor real

Presión de saturación Temperatura

Presión de vapor teórica Presión de

Presión de saturación Temperatura

Septiembre

Octubre

Presión de vapor teórica Presión de vapor real
vapor real

Presión de saturación Temperatura

Presión de vapor teórica Presión de

Presión de saturación Temperatura

Noviembre

Diciembre

Presión de vapor teórica Presión de vapor real
vapor real

Presión de saturación Temperatura

Presión de vapor teórica Presión de

Presión de saturación Temperatura

Condensación acumulada

3. CIRCULACIONES P BAJA

3.1. Cerramiento exterior

3.1.1. Resultados del cálculo de condensaciones

3.1.1.1. Condensación superficial

$$f_{RSi} = 0.954 \geq f_{RSi,mín} = 0.772$$

El elemento constructivo no presenta condensaciones superficiales.

donde:

f_{RSi} : Factor de resistencia superficial interior, calculado como $(1 - U \cdot R_{Si})$, donde $U = 0.185 \text{ W/m}^2 \cdot \text{K}$ y $R_{Si} = 0.25 \text{ m}^2 \cdot \text{K/W}$.

$f_{RSi,mín}$: Factor de resistencia superficial interior mínimo, necesario para evitar la humedad superficial crítica,
calculado considerando un valor de $\phi_{Si,cr} \leq 0.8$.

3.1.1.2. Condensación intersticial

El elemento constructivo presenta condensaciones intersticiales en los meses de: diciembre, enero, febrero. Sin embargo, la cantidad de condensación acumulada en cada periodo anual no es superior a la cantidad de evaporación posible en el mismo periodo.

3.1.2. Condiciones higrotérmicas de cálculo

Las condiciones higrotérmicas exteriores e interiores utilizadas para realizar el cálculo de condensaciones son las siguientes:

	Ene	Feb	Mar	Abr	May	Jun	Jul	Ago	Sep	Oct	Nov	Dic
<hr/>												
Condiciones exteriores												
Temperatura, θ_e (°C)	5.5	6.8	8.8	11.6	15.3	19.8	23.5	22.8	19.5	14.1	9.0	5.9
Humedad relativa, ϕ_e (%)	80	76	69	68	67	62	53	54	61	72	79	81
<hr/>												
Condiciones interiores												
Temperatura, θ_i (°C)	20.0	20.0	20.0	20.0	20.0	20.0	20.0	20.0	20.0	20.0	20.0	20.0
Humedad relativa, ϕ_i (%)	60	60	60	60	60	60	60	60	60	60	60	60
<hr/>												

El diagrama psicrométrico asociado al emplazamiento, con una altura sobre el nivel del mar de 679 m, se muestra a continuación, representando mediante segmentos de recta las transiciones desde cada condición exterior de cálculo a su correspondiente condición interior.

3.1.3. Descripción del elemento constructivo

El esquema de la composición del elemento constructivo, en sección, es el siguiente:

Las características térmicas y las propiedades de difusión del vapor de agua de las capas homogéneas de caras paralelas que conforman el modelo de cálculo del elemento constructivo son las siguientes:

Cerramiento exterior		e (cm)	λ (W/m·K)	R (m ² ·K/W)	μ	Sd (m)
Rse			0.04			
1	Hormigón armado d > 2500		6.0	2.500	0.02400	80 4.8
2	XPS Expandido con hidrofluorcarbonos HFC [0.032 W/[mK]]		8.0	0.032	2.50000	
3	Hormigón armado d > 2500		6.0	2.500	0.02400	80 4.8
4	MW Lana mineral [0.031 W/[mK]]		8.0	0.031	2.58065	1
0.08						
5	Placa de yeso laminado [PYL] 750 < d < 900		1.5	0.250	0.06000	4
0.06						
6	Placa de yeso laminado [PYL] 750 < d < 900		1.5	0.250	0.06000	4
0.06						
Rsi			0.13			

donde:

e: Espesor, cm.

λ : Conductividad térmica del material, W/(m·K).

R: Resistencia térmica del material, m²·K/W.

μ : Factor de resistencia a la difusión del vapor de agua del material.

Sd: Espesor de aire equivalente frente a la difusión del vapor de agua, m.

Rse: Resistencia térmica superficial exterior del elemento, m²·K/W.

Rsi: Resistencia térmica superficial interior del elemento, m²·K/W.

La información de cálculo relativa a los parámetros higrotérmicos del elemento completo, derivada del modelo de capas homogéneas, es la siguiente:

Magnitud	Uds.	Valor
Espesor total del elemento, eT	cm	31.0
Resistencia térmica total, RT	m ² ·K/W	5.4186

Espesor de aire equivalente total, Sd,T		m	11.40
Transmitancia térmica, U		W/(m ² ·K)	0.185
Factor de resistencia superficial interior, fRsi		--	0.954

donde:

ET: Espesor total del elemento, cm.

RT: Resistencia térmica total del elemento, sumatorio de la resistencia térmica de cada capa, incluyendo las resistencias superficiales Rse y Rsi, m²·K/W.

SdT: Espesor de aire equivalente total, sumatorio del espesor equivalente de cada capa del elemento, m.

U: Transmitancia térmica del elemento, calculada como la inversa de la resistencia térmica total, W/(m²·K).

fRsi: Factor de resistencia superficial interior, calculado como $(1 - U \cdot R_{si})$, donde $U = 0.185$ W/m²·K y $R_{si} = 0.25$ m²·K/W.

3.1.4. Cálculo del factor de temperatura superficial interior necesario para evitar la humedad superficial crítica

Con objeto de prevenir los efectos adversos de la humedad superficial crítica, se ha limitado la humedad relativa máxima en la superficie interior a un valor de $\phi_{si,cr} \leq 0.8$.

Dadas las condiciones higrotérmicas exteriores, así como las interiores, el cálculo de fRsi,mín queda como sigue:

	θe (°C)	φe (%)	θi (°C)	φi (%)	Pi (Pa)	Psat (θsi) (Pa)	θsi,mín (°C)	fRsi,mín
Enero	5.5	80.0	20.0	65.0	1519.02	1898.77	16.7	0.772
Febrero	6.8	76.0	20.0	65.0	1519.02	1898.77	16.7	0.749
Marzo	8.8	69.0	20.0	65.0	1519.02	1898.77	16.7	0.704
Abril	11.6	68.0	20.0	65.0	1519.02	1898.77	16.7	0.606
Mayo	15.3	67.0	20.0	65.0	1519.02	1898.77	16.7	0.295

Junio		19.8	62.0	20.0	65.0	1519.02	1898.77	16.7	0.000
Julio		23.5	53.0	20.0	65.0	1519.02	1898.77	16.7	--*
Agosto		22.8	54.0	20.0	65.0	1519.02	1898.77	16.7	--*
Septiembre		19.5	61.0	20.0	65.0	1519.02	1898.77	16.7	0.000
Octubre		14.1	72.0	20.0	65.0	1519.02	1898.77	16.7	0.439
Noviembre		9.0	79.0	20.0	65.0	1519.02	1898.77	16.7	0.699
Diciembre		5.9	81.0	20.0	65.0	1519.02	1898.77	16.7	0.765

*: No hay riesgo de formación de condensaciones superficiales en el paramento interior, ya que $\theta_e \geq \theta_i$.

donde:

θ_e : Temperatura del aire exterior, °C.

ϕ_e : Humedad relativa del aire exterior, %.

θ_i : Temperatura del aire interior, °C.

ϕ_i : Humedad relativa del aire interior, aumentada con un coeficiente de seguridad 5%, %.

P_i : Presión de vapor en el ambiente interior, Pa.

$Psat(\theta_i)$: Presión de saturación del vapor de agua mínima aceptable para la superficie interior, Pa.

$\theta_{si,mín}$: Mínima temperatura superficial interior aceptable, calculada en base a la presión de saturación mínima aceptable, °C.

$fRsi,mín$: Factor de resistencia superficial interior mínimo.

Dado que $fRsi = 0.954 > fRsi,mín = 0.772$, no se producen condensaciones superficiales en el elemento constructivo.

3.1.5. Cálculo de condensaciones intersticiales

Se exponen a continuación los resultados alcanzados en el cálculo de las temperaturas y presiones en cada una de las interfasas formadas en la unión entre las capas homogéneas que conforman el modelo de cálculo del elemento constructivo.

Cálculo de condensaciones intersticiales en el mes de Enero.

Cerramiento exterior	θ (°C)	Psat (Pa)	Pn (%)	ϕ (g/(m ² ·mes))	gc	Ma (g/m ²)
Aire exterior	5.50	902.765	722.212	80.0		
Cara exterior	5.61	909.504	722.212	79.4	--	--
Interfase 1-2	5.67	913.569	913.569	100.0	18.301	35.016
Interfase 2-3	12.36	1435.537	1032.018	71.9	--	--
Interfase 3-4	12.43	1441.610	1387.365	96.2	--	--
Interfase 4-5	19.33	2241.913	1393.287	62.1	--	--
Interfase 5-6	19.49	2264.408	1397.729	61.7	--	--
Cara interior	19.65	2287.101	1402.171	61.3	--	--
Aire interior	20.00	2336.951	1402.171	60.0		

donde:

θ : Temperatura, °C.

Psat: Presión de saturación del vapor de agua, Pa.

Pn: Presión del vapor de agua, Pa.

ϕ : Humedad relativa, %.

gc: Densidad de flujo de condensación, g/(m²·mes).

Ma: Contenido acumulado de humedad por unidad de superficie, g/m².

>> Representación gráfica (Enero)

Cálculo de condensaciones intersticiales en el mes de Febrero.

Cerramiento exterior	θ (°C)	Psat (Pa)	Pn (%)	ϕ (g/(m ² ·mes))	gc	Ma (g/m ²)
Aire exterior	6.80	987.670	750.629	76.0		
Cara exterior	6.90	994.308	750.629	75.5	--	--
Interfase 1-2	6.96	998.310	998.310	100.0	4.640	39.657
Interfase 2-3	13.05	1501.467	1096.216	73.0	--	--
Interfase 3-4	13.10	1507.216	1389.932	92.2	--	--
Interfase 4-5	19.39	2250.293	1394.828	62.0	--	--
Interfase 5-6	19.54	2270.831	1398.499	61.6	--	--
Cara interior	19.68	2291.532	1402.171	61.2	--	--
Aire interior	20.00	2336.951	1402.171	60.0		

donde:

θ : Temperatura, °C.

Psat: Presión de saturación del vapor de agua, Pa.

Pn: Presión del vapor de agua, Pa.

ϕ : Humedad relativa, %.

gc: Densidad de flujo de condensación, g/(m²·mes).

Ma: Contenido acumulado de humedad por unidad de superficie, g/m².

>> Representación gráfica (Febrero)

Cálculo de condensaciones intersticiales en el mes de Marzo.

Cerramiento exterior	θ (°C)	Psat (Pa)	Pn (%)	ϕ (g/(m ² ·mes))	gc	Ma (g/m ²)

Aire exterior	8.80	1132.044	781.110	69.0			
Cara exterior	8.88	1138.392	781.110	68.6	--	--	
Interfase 1-2	8.93	1142.216	1142.216	100.0	-19.201	20.456	
Interfase 2-3	14.10	1608.089	1205.236	74.9	--	--	
Interfase 3-4	14.15	1613.269	1394.293	86.4	--	--	
Interfase 4-5	19.48	2263.240	1397.444	61.7	--	--	
Interfase 5-6	19.61	2280.742	1399.807	61.4	--	--	
Cara interior	19.73	2298.363	1402.171	61.0	--	--	
Aire interior	20.00	2336.951	1402.171	60.0			

donde:

θ : Temperatura, °C.

Psat: Presión de saturación del vapor de agua, Pa.

Pn: Presión del vapor de agua, Pa.

ϕ : Humedad relativa, %.

gc: Densidad de flujo de condensación, g/(m²·mes).

Ma: Contenido acumulado de humedad por unidad de superficie, g/m².

>> Representación gráfica (Marzo)

Cálculo de condensaciones intersticiales en el mes de Abril.

Cerramiento exterior	θ (°C)	Psat (Pa)	Pn (%)	ϕ (g/(m²·mes))	gc	Ma (g/m²)
Aire exterior	11.60	1365.261	928.378	68.0		
Cara exterior	11.66	1370.871	928.378	67.7	--	--
Interfase 1-2	11.70	1374.247	1374.247	100.0	-20.456	--

Interfase 2-3	15.57	1768.501	1381.016	78.1	--	--
Interfase 3-4	15.61	1772.722	1401.325	79.0	--	--
Interfase 4-5	19.61	2281.474	1401.663	61.4	--	--
Interfase 5-6	19.71	2294.683	1401.917	61.1	--	--
Cara interior	19.80	2307.958	1402.171	60.8	--	--
Aire interior	20.00	2336.951	1402.171	60.0		

donde:

θ : Temperatura, °C.

P_{sat} : Presión de saturación del vapor de agua, Pa.

P_n : Presión del vapor de agua, Pa.

ϕ : Humedad relativa, %.

g_c : Densidad de flujo de condensación, g/(m²·mes).

M_a : Contenido acumulado de humedad por unidad de superficie, g/m².

>> Representación gráfica (Abril)

Cálculo de condensaciones intersticiales en el mes de Mayo.

Cerramiento exterior	θ (°C)	P_{sat} (Pa)	P_n (%)	ϕ (g/(m²·mes))	g_c (g/m²)	M_a (g/m²)
Aire exterior	15.30	1737.605	1164.195	67.0		
Cara exterior	15.33	1741.480	1164.195	66.9	--	--
Interfase 1-2	15.36	1743.809	1264.395	72.5	--	--
Interfase 2-3	17.52	2001.891	1297.795	64.8	--	--
Interfase 3-4	17.54	2004.523	1397.996	69.7	--	--

Interfase 4-5	19.78	2305.767	1399.666	60.7	--	--
Interfase 5-6	19.84	2313.218	1400.918	60.6	--	--
Cara interior	19.89	2320.690	1402.171	60.4	--	--
Aire interior	20.00	2336.951	1402.171	60.0		

donde:

θ : Temperatura, °C.

Psat: Presión de saturación del vapor de agua, Pa.

Pn: Presión del vapor de agua, Pa.

ϕ : Humedad relativa, %.

gc: Densidad de flujo de condensación, g/(m²·mes).

Ma: Contenido acumulado de humedad por unidad de superficie, g/m².

>> Representación gráfica (Mayo)

Cálculo de condensaciones intersticiales en el mes de Junio.

Cerramiento exterior	θ (°C)	Psat (Pa)	Pn (%)	ϕ (g/(m²·mes))	gc	Ma (g/m²)
Aire exterior	19.80	2308.176	1431.069	62.0		
Cara exterior	19.80	2308.387	1431.069	62.0	--	--
Interfase 1-2	19.80	2308.514	1418.901	61.5	--	--
Interfase 2-3	19.89	2321.753	1414.845	60.9	--	--
Interfase 3-4	19.90	2321.880	1402.678	60.4	--	--
Interfase 4-5	19.99	2335.617	1402.475	60.0	--	--
Interfase 5-6	19.99	2335.937	1402.323	60.0	--	--
Cara interior	20.00	2336.257	1402.171	60.0	--	--

Aire interior	20.00	2336.951	1402.171	60.0
---------------	-------	----------	----------	------

donde:

θ : Temperatura, °C.

P_{sat} : Presión de saturación del vapor de agua, Pa.

P_n : Presión del vapor de agua, Pa.

ϕ : Humedad relativa, %.

g_c : Densidad de flujo de condensación, g/(m²·mes).

M_a : Contenido acumulado de humedad por unidad de superficie, g/m².

>> Representación gráfica (Junio)

Cálculo de condensaciones intersticiales en el mes de Julio.

Cerramiento exterior	θ (°C)	P_{sat} (Pa)	P_n (%)	ϕ (g/(m²·mes))	g_c	M_a (g/m²)
Aire exterior	23.50	2893.848	1533.739	53.0	--	--
Cara exterior	23.47	2889.346	1533.739	53.1	--	--
Interfase 1-2	23.46	2886.648	1478.342	51.2	--	--
Interfase 2-3	21.84	2617.367	1459.876	55.8	--	--
Interfase 3-4	21.83	2614.893	1404.479	53.7	--	--
Interfase 4-5	20.16	2360.412	1403.556	59.5	--	--
Interfase 5-6	20.12	2354.763	1402.863	59.6	--	--
Cara interior	20.08	2349.125	1402.171	59.7	--	--
Aire interior	20.00	2336.951	1402.171	60.0	--	--

donde:

θ : Temperatura, °C.

P_{sat} : Presión de saturación del vapor de agua, Pa.

P_n : Presión del vapor de agua, Pa.

ϕ : Humedad relativa, %.

g_c : Densidad de flujo de condensación, g/(m²·mes).

M_a : Contenido acumulado de humedad por unidad de superficie, g/m².

>> Representación gráfica (Julio)

Cálculo de condensaciones intersticiales en el mes de Agosto.

Cerramiento exterior	θ (°C)	P_{sat} (Pa)	P_n (%)	ϕ (g/(m ² ·mes))	g_c	M_a (g/m ²)
Aire exterior	22.80	2774.025	1497.973	54.0	--	--
Cara exterior	22.78	2770.554	1497.973	54.1	--	--
Interfase 1-2	22.77	2768.473	1457.635	52.7	--	--
Interfase 2-3	21.48	2559.044	1444.189	56.4	--	--
Interfase 3-4	21.46	2557.103	1403.851	54.9	--	--
Interfase 4-5	20.13	2355.704	1403.179	59.6	--	--
Interfase 5-6	20.10	2351.191	1402.675	59.7	--	--
Cara interior	20.07	2346.686	1402.171	59.8	--	--
Aire interior	20.00	2336.951	1402.171	60.0	--	--

donde:

θ : Temperatura, °C.

P_{sat} : Presión de saturación del vapor de agua, Pa.

Pn: Presión del vapor de agua, Pa.

φ: Humedad relativa, %.

gc: Densidad de flujo de condensación, g/(m²·mes).

Ma: Contenido acumulado de humedad por unidad de superficie, g/m².

>> Representación gráfica (Agosto)

Cálculo de condensaciones intersticiales en el mes de Septiembre.

Cerramiento exterior (°C)	θ (Pa)	Psat (Pa)	Pn (%)	φ (g/(m ² ·mes))	gc	Ma (g/m ²)
Aire exterior	19.50	2265.595	1382.013	61.0	--	--
Cara exterior	19.50	2266.114	1382.013	61.0	--	--
Interfase 1-2	19.51	2266.426	1390.500	61.4	--	--
Interfase 2-3	19.74	2299.118	1393.329	60.6	--	--
Interfase 3-4	19.74	2299.434	1401.817	61.0	--	--
Interfase 4-5	19.98	2333.616	1401.958	60.1	--	--
Interfase 5-6	19.98	2334.416	1402.065	60.1	--	--
Cara interior	19.99	2335.216	1402.171	60.0	--	--
Aire interior	20.00	2336.951	1402.171	60.0	--	--

donde:

θ: Temperatura, °C.

Psat: Presión de saturación del vapor de agua, Pa.

Pn: Presión del vapor de agua, Pa.

φ: Humedad relativa, %.

gc: Densidad de flujo de condensación, g/(m²·mes).

Ma: Contenido acumulado de humedad por unidad de superficie, g/m².

>> Representación gráfica (Septiembre)

Cálculo de condensaciones intersticiales en el mes de Octubre.

Cerramiento exterior	θ (°C)	Psat (Pa)	Pn (%)	ϕ (g/(m ² ·mes))	gc	Ma (g/m ²)
Aire exterior	14.10	1608.128	1157.852	72.0	--	--
Cara exterior	14.14	1612.675	1157.852	71.8	--	--
Interfase 1-2	14.17	1615.408	1260.723	78.0	--	--
Interfase 2-3	16.89	1923.406	1295.013	67.3	--	--
Interfase 3-4	16.92	1926.596	1397.884	72.6	--	--
Interfase 4-5	19.73	2297.864	1399.599	60.9	--	--
Interfase 5-6	19.79	2307.192	1400.885	60.7	--	--
Cara interior	19.86	2316.554	1402.171	60.5	--	--
Aire interior	20.00	2336.951	1402.171	60.0	--	--

donde:

θ : Temperatura, °C.

Psat: Presión de saturación del vapor de agua, Pa.

Pn: Presión del vapor de agua, Pa.

ϕ : Humedad relativa, %.

gc: Densidad de flujo de condensación, g/(m²·mes).

Ma: Contenido acumulado de humedad por unidad de superficie, g/m².

>> Representación gráfica (Octubre)

Cálculo de condensaciones intersticiales en el mes de Noviembre.

Cerramiento exterior	θ (°C)	Psat (Pa)	Pn (%)	ϕ (g/(m ² ·mes))	gc (g/m ²)	Ma (g/m ²)
Aire exterior	9.00	1147.455	906.489	79.0	--	--
Cara exterior	9.08	1153.764	906.489	78.6	--	--
Interfase 1-2	9.13	1157.564	1115.197	96.3	--	--
Interfase 2-3	14.20	1619.108	1184.767	73.2	--	--
Interfase 3-4	14.25	1624.226	1393.475	85.8	--	--
Interfase 4-5	19.49	2264.538	1396.953	61.7	--	--
Interfase 5-6	19.61	2281.736	1399.562	61.3	--	--
Cara interior	19.74	2299.048	1402.171	61.0	--	--
Aire interior	20.00	2336.951	1402.171	60.0	--	--

donde:

θ : Temperatura, °C.

Psat: Presión de saturación del vapor de agua, Pa.

Pn: Presión del vapor de agua, Pa.

ϕ : Humedad relativa, %.

gc: Densidad de flujo de condensación, g/(m²·mes).

Ma: Contenido acumulado de humedad por unidad de superficie, g/m².

>> Representación gráfica (Noviembre)

Cálculo de condensaciones intersticiales en el mes de Diciembre.

Cerramiento exterior	θ (°C)	Psat (Pa)	Pn (%)	ϕ (g/(m ² ·mes))	gc	Ma (g/m ²)
Aire exterior	5.90	928.177	751.823	81.0		
Cara exterior	6.00	934.891	751.823	80.4	--	--
Interfase 1-2	6.07	938.941	938.941	100.0	16.715	16.715
Interfase 2-3	12.57	1455.547	1051.239	72.2	--	--
Interfase 3-4	12.63	1461.524	1388.133	95.0	--	--
Interfase 4-5	19.35	2244.489	1393.748	62.1	--	--
Interfase 5-6	19.51	2266.383	1397.960	61.7	--	--
Cara interior	19.66	2288.463	1402.171	61.3	--	--
Aire interior	20.00	2336.951	1402.171	60.0		

donde:

θ : Temperatura, °C.

Psat: Presión de saturación del vapor de agua, Pa.

Pn: Presión del vapor de agua, Pa.

ϕ : Humedad relativa, %.

gc: Densidad de flujo de condensación, g/(m²·mes).

Ma: Contenido acumulado de humedad por unidad de superficie, g/m².

>> Representación gráfica (Diciembre)

Evolución anual de la condensación acumulada.

Se presentan a continuación las cantidades totales de agua condensada en el elemento constructivo para cada situación de

cálculo, así como la evolución de la humedad acumulada a lo largo del año.

El primer mes con condensación en alguna interfase es diciembre, aunque la cantidad neta anual es nula, por producirse la evaporación suficiente en los meses siguientes.

	Ene	Feb	Mar	Abr	May	Jun	Jul	Ago	Sep	Oct	Nov	Dic
Evolución de la cantidad de agua condensada.												
gc	g/(m ² ·mes)	18.301	4.640	--	--	--	--	--	--	--	--	16.715
gev	g/(m ² ·mes)	--	--	19.201	20.456	--	--	--	--	--	--	--
Ma	(g/m ²)	35.016	39.657	20.456	--	--	--	--	--	--	--	16.715

donde:

gc: Densidad de flujo de condensación, g/(m²·mes).

gev: Densidad de flujo de evaporación, g/(m²·mes).

Ma: Contenido acumulado de humedad por unidad de superficie, g/m².

>> Representación gráfica (Condensación acumulada)

3.1.6. Representación gráfica de las condensaciones intersticiales previstas

Enero	Febrero
Presión de vapor teórica vapor real	Presión de vapor teórica Presión de vapor real
Presión de saturación Temperatura	Presión de saturación Temperatura

Marzo

Abril

Presión de vapor teórica Presión de vapor real
vapor real

Presión de saturación Temperatura

Presión de vapor teórica Presión de

Presión de saturación Temperatura

Mayo

Junio

Presión de vapor teórica Presión de vapor real
vapor real

Presión de saturación Temperatura

Presión de vapor teórica Presión de

Presión de saturación Temperatura

Julio

Agosto

Presión de vapor teórica Presión de vapor real
vapor real

Presión de saturación Temperatura

Presión de vapor teórica Presión de

Presión de saturación Temperatura

Septiembre

Octubre

Presión de vapor teórica Presión de vapor real
vapor real

Presión de saturación Temperatura

Presión de vapor teórica Presión de

Presión de saturación Temperatura

Noviembre

Diciembre

Presión de vapor teórica Presión de vapor real
vapor real

Presión de saturación Temperatura

Presión de vapor teórica Presión de

Presión de saturación Temperatura

Condensación acumulada

3.2. Cubierta 1-Polivalente

3.2.1. Resultados del cálculo de condensaciones

3.2.1.1. Condensación superficial

$$f_{RSi} = 0.952 \geq f_{RSi,mín} = 0.772$$

El elemento constructivo no presenta condensaciones superficiales.

donde:

fRsi: Factor de resistencia superficial interior, calculado como $(1 - U \cdot Rsi)$, donde $U = 0.192$ $\text{W/m}^2 \cdot \text{K}$ y $Rsi = 0.25$ $\text{m}^2 \cdot \text{K/W}$.

fRsi,mín: Factor de resistencia superficial interior mínimo, necesario para evitar la humedad superficial crítica,
calculado considerando un valor de $\phi_{si,cr} \leq 0.8$.

3.2.1.2. Condensación intersticial

El elemento constructivo presenta condensaciones intersticiales en los meses de: noviembre, diciembre, enero, febrero.

Sin embargo, la cantidad de condensación acumulada en cada periodo anual no es superior a la cantidad de evaporación posible en el mismo periodo.

3.2.2. Condiciones higrotérmicas de cálculo

Las condiciones higrotérmicas exteriores e interiores utilizadas para realizar el cálculo de condensaciones son las siguientes:

	Ene	Feb	Mar	Abr	May	Jun	Jul	Ago	Sep	Oct	Nov	Dic
<hr/>												
Condiciones exteriores												
Temperatura, θ_e (°C)	5.5	6.8	8.8	11.6	15.3	19.8	23.5	22.8	19.5	14.1	9.0	5.9
Humedad relativa, ϕ_e (%)	80	76	69	68	67	62	53	54	61	72	79	81
<hr/>												
Condiciones interiores												
Temperatura, θ_i (°C)	20.0	20.0	20.0	20.0	20.0	20.0	20.0	20.0	20.0	20.0	20.0	20.0
Humedad relativa, ϕ_i (%)	60	60	60	60	60	60	60	60	60	60	60	60
<hr/>												

El diagrama psicrométrico asociado al emplazamiento, con una altura sobre el nivel del mar de 679 m, se muestra a continuación, representando mediante segmentos de recta las transiciones desde cada condición exterior de cálculo a su correspondiente condición interior.

3.2.3. Descripción del elemento constructivo

El esquema de la composición del elemento constructivo, en sección, es el siguiente:

Las características térmicas y las propiedades de difusión del vapor de agua de las capas homogéneas de caras paralelas que conforman el modelo de cálculo del elemento constructivo son las siguientes:

Cubierta 1-Polivalente	(cm)	e (W/m·K)	λ (m ² ·K/W)	R	μ	Sd (m)
Rse			0.04			
1 Aluminio		0.0	230.000	0.00000	1000000	100
2 MW Lana mineral [0.031 W/[mK]]			15.0	0.031	4.83871	1
0.15						
3 Aluminio		0.0	230.000	0.00000	1000000	100
4 Cámara de aire		10.0		0.16000		0.01
5 Placa de yeso laminado [PYL] 750 < d < 900			1.5	0.250	0.06000	4
0.06						
Rsi			0.10			

donde:

e: Espesor, cm.

λ : Conductividad térmica del material, W/(m·K).

R: Resistencia térmica del material, $\text{m}^2 \cdot \text{K}/\text{W}$.

μ : Factor de resistencia a la difusión del vapor de agua del material.

Sd: Espesor de aire equivalente frente a la difusión del vapor de agua. m.

Rse: Resistencia térmica superficial exterior del elemento m².K/W

Rsi: Resistencia térmica superficial interior del elemento, $\text{m}^2 \cdot \text{K} / \text{W}$

La información de cálculo relativa a los parámetros higrotérmicos del elemento completo, derivada del modelo de capas

homogéneas, es la siguiente:

Magnitud	Uds.	Valor
Espesor total del elemento, eT	cm	26.5
Resistencia térmica total, RT	$m^2 \cdot K/W$	5.1987
Espesor de aire equivalente total, SdT	m	200.22
Transmitancia térmica, U	$W/(m^2 \cdot K)$	0.192
Factor de resistencia superficial interior, fRsi	--	0.952

donde:

ET: Espesor total del elemento, cm.

RT: Resistencia térmica total del elemento, sumatorio de la resistencia térmica de cada capa, incluyendo las resistencias superficiales Rse y Rsi, $m^2 \cdot K/W$.

SdT: Espesor de aire equivalente total, sumatorio del espesor equivalente de cada capa del elemento, m.

U: Transmitancia térmica del elemento, calculada como la inversa de la resistencia térmica total, $W/(m^2 \cdot K)$.

fRsi: Factor de resistencia superficial interior, calculado como $(1 - U \cdot R_{si})$, donde $U = 0.192 W/m^2 \cdot K$ y $R_{si} = 0.25 m^2 \cdot K/W$.

3.2.4. Cálculo del factor de temperatura superficial interior necesario para evitar la humedad superficial crítica

Con objeto de prevenir los efectos adversos de la humedad superficial crítica, se ha limitado la humedad relativa máxima en la superficie interior a un valor de $\phi_{si,cr} \leq 0.8$.

Dadas las condiciones higrotérmicas exteriores, así como las interiores, el cálculo de fRsi,mín queda como sigue:

	θ_e (°C)	ϕ_e (%)	θ_i (°C)	ϕ_i (%)	Pi (Pa)	Psat (θ_{si}) (Pa)	$\theta_{si,mín}$ (°C)	fRsi,mín
Enero	5.5	80.0	20.0	65.0	1519.02	1898.77	16.7	0.772

Febrero		6.8	76.0	20.0	65.0	1519.02	1898.77	16.7	0.749
Marzo		8.8	69.0	20.0	65.0	1519.02	1898.77	16.7	0.704
Abril		11.6	68.0	20.0	65.0	1519.02	1898.77	16.7	0.606
Mayo		15.3	67.0	20.0	65.0	1519.02	1898.77	16.7	0.295
Junio		19.8	62.0	20.0	65.0	1519.02	1898.77	16.7	0.000
Julio		23.5	53.0	20.0	65.0	1519.02	1898.77	16.7	--*
Agosto		22.8	54.0	20.0	65.0	1519.02	1898.77	16.7	--*
Septiembre		19.5	61.0	20.0	65.0	1519.02	1898.77	16.7	0.000
Octubre		14.1	72.0	20.0	65.0	1519.02	1898.77	16.7	0.439
Noviembre		9.0	79.0	20.0	65.0	1519.02	1898.77	16.7	0.699
Diciembre		5.9	81.0	20.0	65.0	1519.02	1898.77	16.7	0.765

*: No hay riesgo de formación de condensaciones superficiales en el paramento interior, ya que $\theta_e \geq \theta_i$.

donde:

θ_e : Temperatura del aire exterior, °C.

ϕ_e : Humedad relativa del aire exterior, %.

θ_i : Temperatura del aire interior, °C.

ϕ_i : Humedad relativa del aire interior, aumentada con un coeficiente de seguridad 5%, %.

P_i : Presión de vapor en el ambiente interior, Pa.

$Psat(\theta_i)$: Presión de saturación del vapor de agua mínima aceptable para la superficie interior, Pa.

$\theta_{si,mín}$: Mínima temperatura superficial interior aceptable, calculada en base a la presión de saturación mínima aceptable, °C.

$fRsi,mín$: Factor de resistencia superficial interior mínimo.

Dado que $fRsi = 0.952 > fRsi,mín = 0.772$, no se producen condensaciones superficiales en el elemento constructivo.

3.2.5. Cálculo de condensaciones intersticiales

Se exponen a continuación los resultados alcanzados en el cálculo de las temperaturas y presiones en cada una de las interfasas formadas en la unión entre las capas homogéneas que conforman el modelo de cálculo del elemento constructivo.

Cálculo de condensaciones intersticiales en el mes de Enero.

Cubierta 1-Polivalente	θ (°C)	Psat (Pa)	Pn (%)	ϕ (g/(m ² ·mes))	gc	Ma (g/m ²)
Aire exterior	5.50	902.765	722.212	80.0	--	--
Cara exterior	5.61	909.790	722.212	79.4	--	--
Interfase 1-2	5.61	909.790	909.790	100.0	1.627	3.141
Interfase 2-3	19.11	2210.918	910.527	41.2	--	--
Interfase 3-4	19.11	2210.918	1401.827	63.4	--	--
Interfase 4-5	19.55	2273.171	1401.876	61.7	--	--
Cara interior	19.72	2296.908	1402.171	61.0	--	--
Aire interior	20.00	2336.951	1402.171	60.0	--	--

donde:

θ : Temperatura, °C.

Psat: Presión de saturación del vapor de agua, Pa.

Pn: Presión del vapor de agua, Pa.

ϕ : Humedad relativa, %.

gc: Densidad de flujo de condensación, g/(m²·mes).

Ma: Contenido acumulado de humedad por unidad de superficie, g/m².

>> Representación gráfica (Enero)

Cálculo de condensaciones intersticiales en el mes de Febrero.

Cubierta 1-Polivalente (°C)	θ (Pa)	Psat (Pa)	Pn (%)	ϕ (g/(m ² ·mes))	gc	Ma (g/m ²)
Aire exterior	6.80	987.670	750.629	76.0		
Cara exterior	6.90	994.590	750.629	75.5	--	--
Interfase 1-2	6.90	994.590	994.590	100.0	0.787	3.928
Interfase 2-3	19.19	2221.970	995.200	44.8	--	--
Interfase 3-4	19.19	2221.970	1401.886	63.1	--	--
Interfase 4-5	19.59	2278.826	1401.927	61.5	--	--
Cara interior	19.75	2300.473	1402.171	61.0	--	--
Aire interior	20.00	2336.951	1402.171	60.0		

donde:

θ : Temperatura, °C.

Psat: Presión de saturación del vapor de agua, Pa.

Pn: Presión del vapor de agua, Pa.

ϕ : Humedad relativa, %.

gc: Densidad de flujo de condensación, g/(m²·mes).

Ma: Contenido acumulado de humedad por unidad de superficie, g/m².

>> Representación gráfica (Febrero)

Cálculo de condensaciones intersticiales en el mes de Marzo.

Cubierta 1-Polivalente (°C)	θ (Pa)	Psat (Pa)	Pn (%)	ϕ (g/(m ² ·mes))	gc	Ma (g/m ²)
Aire exterior	8.80	1132.044	781.110	69.0		
Cara exterior	8.89	1138.662	781.110	68.6	--	--
Interfase 1-2	8.89	1138.662	1138.662	100.0	-0.507	3.422
Interfase 2-3	19.31	2239.066	1139.056	50.9	--	--
Interfase 3-4	19.31	2239.067	1401.987	62.6	--	--
Interfase 4-5	19.66	2287.551	1402.013	61.3	--	--
Cara interior	19.78	2305.968	1402.171	60.8	--	--
Aire interior	20.00	2336.951	1402.171	60.0		

donde:

θ : Temperatura, °C.

Psat: Presión de saturación del vapor de agua, Pa.

Pn: Presión del vapor de agua, Pa.

ϕ : Humedad relativa, %.

gc: Densidad de flujo de condensación, g/(m²·mes).

Ma: Contenido acumulado de humedad por unidad de superficie, g/m².

>> Representación gráfica (Marzo)

Cálculo de condensaciones intersticiales en el mes de Abril.

Cubierta 1-Polivalente (°C)	θ (Pa)	Psat (Pa)	Pn (%)	ϕ (g/(m ² ·mes))	gc	Ma (g/m ²)
Aire exterior	11.60	1365.261	928.378	68.0		
Cara exterior	11.66	1371.109	928.378	67.7	--	--

Interfase 1-2		11.66	1371.109	1371.109	100.0	-2.134	1.287
Interfase 2-3		19.48	2263.195	1371.156	60.6	--	--
Interfase 3-4		19.48	2263.195	1402.149	62.0	--	--
Interfase 4-5		19.74	2299.815	1402.152	61.0	--	--
Cara interior		19.84	2313.680	1402.171	60.6	--	--
Aire interior		20.00	2336.951	1402.171	60.0		

donde:

θ : Temperatura, °C.

P_{sat} : Presión de saturación del vapor de agua, Pa.

P_n : Presión del vapor de agua, Pa.

ϕ : Humedad relativa, %.

g_c : Densidad de flujo de condensación, g/(m²·mes).

M_a : Contenido acumulado de humedad por unidad de superficie, g/m².

>> Representación gráfica (Abril)

Cálculo de condensaciones intersticiales en el mes de Mayo.

Cubierta 1-Polivalente (°C)	θ (Pa)	P_{sat} (Pa)	P_n (%)	ϕ (g/(m²·mes))	g_c (g/m²)	M_a (g/m²)
Aire exterior	15.30	1737.605	1164.195	67.0		
Cara exterior	15.34	1741.644	1164.195	66.8	--	--
Interfase 1-2	15.34	1741.645	1741.645	100.0	-1.287	--
Interfase 2-3	19.71	2295.428	1741.136	75.9	--	--
Interfase 3-4	19.71	2295.428	1402.408	61.1	--	--

Interfase 4-5		19.86	2316.108	1402.374	60.5	--	--
Cara interior		19.91	2323.905	1402.171	60.3	--	--
Aire interior		20.00	2336.951	1402.171	60.0		

donde:

θ : Temperatura, °C.

P_{sat} : Presión de saturación del vapor de agua, Pa.

P_n : Presión del vapor de agua, Pa.

ϕ : Humedad relativa, %.

g_c : Densidad de flujo de condensación, g/(m²·mes).

M_a : Contenido acumulado de humedad por unidad de superficie, g/m².

>> Representación gráfica (Mayo)

Cálculo de condensaciones intersticiales en el mes de Junio.

Cubierta 1-Polivalente	θ (°C)	P_{sat} (Pa)	P_n (%)	ϕ (g/(m²·mes))	g_c (g/m²)	M_a (g/m²)
Aire exterior	19.80	2308.176	1431.069	62.0		
Cara exterior	19.80	2308.396	1431.069	62.0	--	--
Interfase 1-2	19.80	2308.396	1416.636	61.4	--	--
Interfase 2-3	19.99	2335.171	1416.614	60.7	--	--
Interfase 3-4	19.99	2335.171	1402.181	60.0	--	--
Interfase 4-5	19.99	2336.061	1402.179	60.0	--	--
Cara interior	20.00	2336.395	1402.171	60.0	--	--
Aire interior	20.00	2336.951	1402.171	60.0		

donde:

θ : Temperatura, °C.

Psat: Presión de saturación del vapor de agua, Pa.

Pn: Presión del vapor de agua, Pa.

ϕ : Humedad relativa, %.

gc: Densidad de flujo de condensación, g/(m²·mes).

Ma: Contenido acumulado de humedad por unidad de superficie, g/m².

>> Representación gráfica (Junio)

Cálculo de condensaciones intersticiales en el mes de Julio.

Cubierta 1-Polivalente (°C)	θ (Pa)	Psat (Pa)	Pn (%)	ϕ (g/(m ² ·mes))	gc	Ma (g/m ²)
Aire exterior	23.50	2893.848	1533.739	53.0	--	--
Cara exterior	23.47	2889.156	1533.739	53.1	--	--
Interfase 1-2	23.47	2889.156	1468.027	50.8	--	--
Interfase 2-3	20.22	2368.298	1467.929	62.0	--	--
Interfase 3-4	20.22	2368.298	1402.217	59.2	--	--
Interfase 4-5	20.11	2352.579	1402.210	59.6	--	--
Cara interior	20.07	2346.708	1402.171	59.8	--	--
Aire interior	20.00	2336.951	1402.171	60.0		

donde:

θ : Temperatura, °C.

Psat: Presión de saturación del vapor de agua, Pa.

Pn: Presión del vapor de agua, Pa.

ϕ : Humedad relativa, %.

gc: Densidad de flujo de condensación, g/(m²·mes).

Ma: Contenido acumulado de humedad por unidad de superficie, g/m².

>> Representación gráfica (Julio)

Cálculo de condensaciones intersticiales en el mes de Agosto.

Cubierta 1-Polivalente	θ (°C)	Psat (Pa)	Pn (%)	ϕ (g/(m ² ·mes))	gc (g/m ²)	Ma (g/m ²)
Aire exterior	22.80	2774.025	1497.973	54.0	--	--
Cara exterior	22.78	2770.407	1497.973	54.1	--	--
Interfase 1-2	22.78	2770.407	1450.125	52.3	--	--
Interfase 2-3	20.17	2361.999	1450.053	61.4	--	--
Interfase 3-4	20.17	2361.999	1402.204	59.4	--	--
Interfase 4-5	20.09	2349.446	1402.199	59.7	--	--
Cara interior	20.05	2344.754	1402.171	59.8	--	--
Aire interior	20.00	2336.951	1402.171	60.0	--	--

donde:

θ : Temperatura, °C.

Psat: Presión de saturación del vapor de agua, Pa.

Pn: Presión del vapor de agua, Pa.

ϕ : Humedad relativa, %.

gc: Densidad de flujo de condensación, g/(m²·mes).

Ma: Contenido acumulado de humedad por unidad de superficie, g/m².

>> Representación gráfica (Agosto)

Cálculo de condensaciones intersticiales en el mes de Septiembre.

Cubierta 1-Polivalente (°C)	θ (Pa)	Psat (Pa)	Pn (%)	ϕ (g/(m ² ·mes))	gc	Ma (g/m ²)
Aire exterior	19.50	2265.595	1382.013	61.0	--	--
Cara exterior	19.50	2266.136	1382.013	61.0	--	--
Interfase 1-2	19.50	2266.136	1392.081	61.4	--	--
Interfase 2-3	19.97	2332.503	1392.096	59.7	--	--
Interfase 3-4	19.97	2332.503	1402.164	60.1	--	--
Interfase 4-5	19.98	2334.726	1402.165	60.1	--	--
Cara interior	19.99	2335.560	1402.171	60.0	--	--
Aire interior	20.00	2336.951	1402.171	60.0	--	--

donde:

θ : Temperatura, °C.

Psat: Presión de saturación del vapor de agua, Pa.

Pn: Presión del vapor de agua, Pa.

ϕ : Humedad relativa, %.

gc: Densidad de flujo de condensación, g/(m²·mes).

Ma: Contenido acumulado de humedad por unidad de superficie, g/m².

>> Representación gráfica (Septiembre)

Cálculo de condensaciones intersticiales en el mes de Octubre.

Cubierta 1-Polivalente	θ (°C)	Psat (Pa)	Pn (%)	ϕ (g/(m ² ·mes))	gc	Ma (g/m ²)
Aire exterior	14.10	1608.128	1157.852	72.0	--	--
Cara exterior	14.15	1612.867	1157.852	71.8	--	--
Interfase 1-2	14.15	1612.868	1279.877	79.4	--	--
Interfase 2-3	19.64	2284.930	1280.060	56.0	--	--
Interfase 3-4	19.64	2284.931	1402.085	61.4	--	--
Interfase 4-5	19.82	2310.813	1402.097	60.7	--	--
Cara interior	19.89	2320.585	1402.171	60.4	--	--
Aire interior	20.00	2336.951	1402.171	60.0	--	--

donde:

θ : Temperatura, °C.

Psat: Presión de saturación del vapor de agua, Pa.

Pn: Presión del vapor de agua, Pa.

ϕ : Humedad relativa, %.

gc: Densidad de flujo de condensación, g/(m²·mes).

Ma: Contenido acumulado de humedad por unidad de superficie, g/m².

>> Representación gráfica (Octubre)

Cálculo de condensaciones intersticiales en el mes de Noviembre.

Cubierta 1-Polivalente	θ (°C)	Psat (Pa)	Pn (%)	ϕ (g/(m ² ·mes))	gc	Ma (g/m ²)
Aire exterior	14.10	1608.128	1157.852	72.0	--	--

Aire exterior	9.00	1147.455	906.489	79.0			
Cara exterior	9.08	1154.032	906.489	78.5	--	--	
Interfase 1-2	9.08	1154.032	1154.032	100.0	0.000	0.000	
Interfase 2-3	19.32	2240.782	1154.403	51.5	--	--	
Interfase 3-4	19.32	2240.783	1401.997	62.6	--	--	
Interfase 4-5	19.66	2288.425	1402.022	61.3	--	--	
Cara interior	19.79	2306.518	1402.171	60.8	--	--	
Aire interior	20.00	2336.951	1402.171	60.0			

donde:

θ : Temperatura, °C.

P_{sat} : Presión de saturación del vapor de agua, Pa.

P_n : Presión del vapor de agua, Pa.

ϕ : Humedad relativa, %.

g_c : Densidad de flujo de condensación, g/(m²·mes).

M_a : Contenido acumulado de humedad por unidad de superficie, g/m².

>> Representación gráfica (Noviembre)

Cálculo de condensaciones intersticiales en el mes de Diciembre.

Cubierta 1-Polivalente (°C)	θ (Pa)	P_{sat} (Pa)	P_n (%)	ϕ (g/(m²·mes))	g_c	M_a (g/m²)
Aire exterior	5.90	928.177	751.823	81.0		
Cara exterior	6.01	935.176	751.823	80.4	--	--
Interfase 1-2	6.01	935.177	935.177	100.0	1.514	1.514
Interfase 2-3	19.13	2214.314	935.875	42.3	--	--

Interfase 3-4		19.13	2214.314	1401.845	63.3	--	--
Interfase 4-5		19.57	2274.910	1401.891	61.6	--	--
Cara interior		19.73	2298.004	1402.171	61.0	--	--
Aire interior		20.00	2336.951	1402.171	60.0		

donde:

θ : Temperatura, °C.

Psat: Presión de saturación del vapor de agua, Pa.

Pn: Presión del vapor de agua, Pa.

ϕ : Humedad relativa, %.

gc: Densidad de flujo de condensación, g/(m²·mes).

Ma: Contenido acumulado de humedad por unidad de superficie, g/m².

>> Representación gráfica (Diciembre)

Evolución anual de la condensación acumulada.

Se presentan a continuación las cantidades totales de agua condensada en el elemento constructivo para cada situación de cálculo, así como la evolución de la humedad acumulada a lo largo del año.

El primer mes con condensación en alguna interfase es noviembre, aunque la cantidad neta anual es nula, por producirse la evaporación suficiente en los meses siguientes.

	Ene	Feb	Mar	Abr	May	Jun	Jul	Ago	Sep	Oct	Nov	Dic
Evolución de la cantidad de agua condensada.												
gc	g/(m ² ·mes)	1.627	0.787	--	--	--	--	--	--	0.000	1.514	
gev	g/(m ² ·mes)	--	--	0.507	2.134	1.287	--	--	--	--	--	
Ma	(g/m ²)	3.141	3.928	3.422	1.287	--	--	--	--	0.000	1.514	

-----|-----
donde:

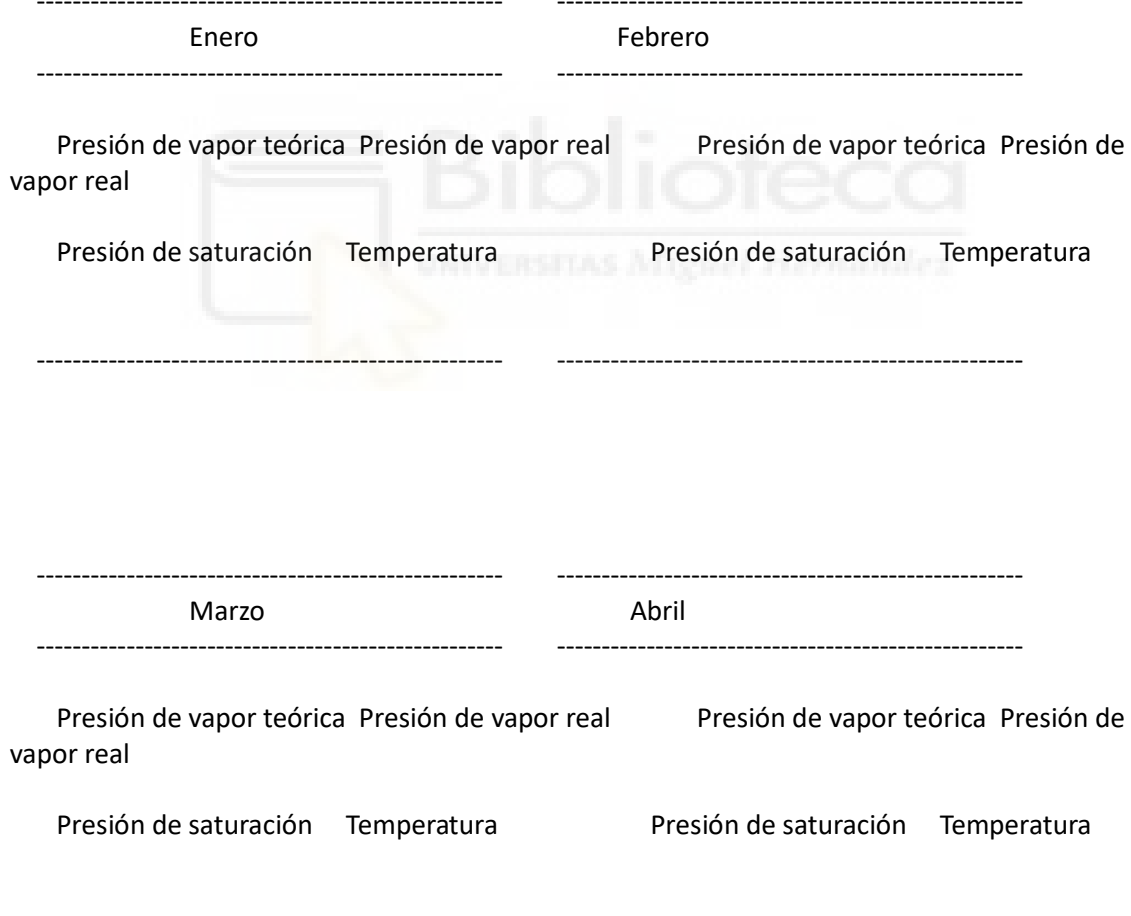
gc: Densidad de flujo de condensación, $\text{g}/(\text{m}^2 \cdot \text{mes})$.

gev: Densidad de flujo de evaporación, $\text{g}/(\text{m}^2 \cdot \text{mes})$.

Ma: Contenido acumulado de humedad por unidad de superficie, g/m^2 .

>> Representación gráfica (Condensación acumulada)

3.2.6. Representación gráfica de las condensaciones intersticiales previstas



Mayo

Junio

Presión de vapor teórica Presión de vapor real
vapor real

Presión de saturación Temperatura

Presión de vapor teórica Presión de

vapor real

Presión de saturación Temperatura

Julio

Agosto

Presión de vapor teórica Presión de vapor real
vapor real

Presión de vapor teórica Presión de

vapor real

Presión de saturación Temperatura

Presión de saturación Temperatura

Septiembre

Octubre

Presión de vapor teórica Presión de vapor real
vapor real

Presión de vapor teórica Presión de

vapor real

Presión de saturación Temperatura

Presión de saturación Temperatura

Noviembre

Diciembre

Presión de vapor teórica Presión de vapor real
vapor real

Presión de saturación Temperatura

Presión de vapor teórica Presión de

Presión de saturación Temperatura

Condensación acumulada

3.3. Cubierta 3 - Inclinadas aulas

3.3.1. Resultados del cálculo de condensaciones

3.3.1.1. Condensación superficial

$$f_{RSI} = 0.953 \geq f_{RSI,mín} = 0.772$$

El elemento constructivo no presenta condensaciones superficiales.

donde:

f_{RSI} : Factor de resistencia superficial interior, calculado como $(1 - U \cdot R_{SI})$, donde $U = 0.189 \frac{W}{m^2 \cdot K}$ y $R_{SI} = 0.25 \frac{m^2 \cdot K}{W}$.

$f_{RSI,mín}$: Factor de resistencia superficial interior mínimo, necesario para evitar la humedad superficial crítica,
calculado considerando un valor de $\phi_{SI,cr} \leq 0.8$.

3.3.1.2. Condensación intersticial

El elemento constructivo presenta condensaciones intersticiales en los meses de: diciembre, enero, febrero. Sin embargo, la cantidad de condensación acumulada en cada periodo anual no es superior a la cantidad de evaporación

posible en el mismo periodo.

3.3.2. Condiciones higrotérmicas de cálculo

Las condiciones higrotérmicas exteriores e interiores utilizadas para realizar el cálculo de condensaciones son las siguientes:

	Ene	Feb	Mar	Abr	May	Jun	Jul	Ago	Sep	Oct	Nov	Dic
<hr/>												
Condiciones exteriores												
Temperatura, θ_e (°C)	5.5	6.8	8.8	11.6	15.3	19.8	23.5	22.8	19.5	14.1	9.0	5.9
Humedad relativa, ϕ_e (%)	80	76	69	68	67	62	53	54	61	72	79	81
<hr/>												
Condiciones interiores												
Temperatura, θ_i (°C)	20.0	20.0	20.0	20.0	20.0	20.0	20.0	20.0	20.0	20.0	20.0	20.0
Humedad relativa, ϕ_i (%)	60	60	60	60	60	60	60	60	60	60	60	60
<hr/>												

El diagrama psicrométrico asociado al emplazamiento, con una altura sobre el nivel del mar de 679 m, se muestra a continuación, representando mediante segmentos de recta las transiciones desde cada condición exterior de cálculo a su correspondiente condición interior.

3.3.3. Descripción del elemento constructivo

El esquema de la composición del elemento constructivo, en sección, es el siguiente:

Las características térmicas y las propiedades de difusión del vapor de agua de las capas homogéneas de caras paralelas que conforman el modelo de cálculo del elemento constructivo son las siguientes:

Cubierta 3 - Inclinadas aulas	e (cm)	λ (W/m·K)	R	μ	Sd (m)
Rse		0.04			

-----	-----	-----	-----	-----	-----	-----
1	Aluminio	0.1	230.000	0.00000	1000000	1000
2	XPS Expandido con hidrofluorcarbonos HFC [0.032 W/[mK]]	10.0	0.032	3.12500		
20	2					
3	Aluminio	0.1	230.000	0.00000	1000000	1000
4	MW Lana mineral [0.031 W/[mK]]	5.0	0.031	1.61290	1	
0.05						
5	Con capa de compresión -Canto 300 mm	30.0	1.579	0.18999	80	
24						
6	Cámara de aire	10.0	0.16000		0.01	
7	Placa de yeso laminado [PYL] 750 < d < 900	1.5	0.250	0.06000	4	
0.06						
-----	-----	-----	-----	-----	-----	-----
Rsi		0.10				
-----	-----	-----	-----	-----	-----	-----

donde:

e: Espesor, cm.

λ : Conductividad térmica del material, W/(m·K).

R: Resistencia térmica del material, $m^2 \cdot K/W$.

μ : Factor de resistencia a la difusión del vapor de agua del material.

Sd: Espesor de aire equivalente frente a la difusión del vapor de agua, m.

Rse: Resistencia térmica superficial exterior del elemento, $m^2 \cdot K/W$.

Rsi: Resistencia térmica superficial interior del elemento, $m^2 \cdot K/W$.

La información de cálculo relativa a los parámetros higrotérmicos del elemento completo, derivada del modelo de capas homogéneas, es la siguiente:

Magnitud	Uds.	Valor
Espesor total del elemento, eT	cm	56.7
Resistencia térmica total, RT	$m^2 \cdot K/W$	5.2879
Espesor de aire equivalente total, SdT	m	2026.12

Transmitancia térmica, U		W/(m ² ·K)	0.189
Factor de resistencia superficial interior, fRsi		--	0.953

donde:

ET: Espesor total del elemento, cm.

RT: Resistencia térmica total del elemento, sumatorio de la resistencia térmica de cada capa, incluyendo las resistencias superficiales Rse y Rsi, m²·K/W.

SdT: Espesor de aire equivalente total, sumatorio del espesor equivalente de cada capa del elemento, m.

U: Transmitancia térmica del elemento, calculada como la inversa de la resistencia térmica total, W/(m²·K).

fRsi: Factor de resistencia superficial interior, calculado como $(1 - U \cdot R_{si})$, donde $U = 0.189$ W/m²·K y $R_{si} = 0.25$ m²·K/W.

3.3.4. Cálculo del factor de temperatura superficial interior necesario para evitar la humedad superficial crítica

Con objeto de prevenir los efectos adversos de la humedad superficial crítica, se ha limitado la humedad relativa máxima en la superficie interior a un valor de $\phi_{si,cr} \leq 0.8$.

Dadas las condiciones higrotérmicas exteriores, así como las interiores, el cálculo de fRsi,mín queda como sigue:

	θe (°C)	φe (%)	θi (°C)	φi (%)	Pi (Pa)	Psat (θsi) (Pa)	θsi,mín (°C)	fRsi,mín
Enero	5.5	80.0	20.0	65.0	1519.02	1898.77	16.7	0.772
Febrero	6.8	76.0	20.0	65.0	1519.02	1898.77	16.7	0.749
Marzo	8.8	69.0	20.0	65.0	1519.02	1898.77	16.7	0.704
Abril	11.6	68.0	20.0	65.0	1519.02	1898.77	16.7	0.606
Mayo	15.3	67.0	20.0	65.0	1519.02	1898.77	16.7	0.295
Junio	19.8	62.0	20.0	65.0	1519.02	1898.77	16.7	0.000

Julio		23.5	53.0	20.0	65.0	1519.02	1898.77	16.7	--*
Agosto		22.8	54.0	20.0	65.0	1519.02	1898.77	16.7	--*
Septiembre		19.5	61.0	20.0	65.0	1519.02	1898.77	16.7	0.000
Octubre		14.1	72.0	20.0	65.0	1519.02	1898.77	16.7	0.439
Noviembre		9.0	79.0	20.0	65.0	1519.02	1898.77	16.7	0.699
Diciembre		5.9	81.0	20.0	65.0	1519.02	1898.77	16.7	0.765
<hr/>									

*: No hay riesgo de formación de condensaciones superficiales en el paramento interior, ya que $\theta_e \geq \theta_i$.

donde:

θ_e : Temperatura del aire exterior, °C.

ϕ_e : Humedad relativa del aire exterior, %.

θ_i : Temperatura del aire interior, °C.

ϕ_i : Humedad relativa del aire interior, aumentada con un coeficiente de seguridad 5%, %.

P_i : Presión de vapor en el ambiente interior, Pa.

$Psat(\theta_i)$: Presión de saturación del vapor de agua mínima aceptable para la superficie interior, Pa.

$\theta_{si,mín}$: Mínima temperatura superficial interior aceptable, calculada en base a la presión de saturación mínima aceptable, °C.

$f_{Rsi,mín}$: Factor de resistencia superficial interior mínimo.

Dado que $f_{Rsi} = 0.953 > f_{Rsi,mín} = 0.772$, no se producen condensaciones superficiales en el elemento constructivo.

3.3.5. Cálculo de condensaciones intersticiales

Se exponen a continuación los resultados alcanzados en el cálculo de las temperaturas y presiones en cada una de las interfasas formadas en la unión entre las capas homogéneas que conforman el modelo de cálculo del elemento constructivo.

Cálculo de condensaciones intersticiales en el mes de Enero.

Cubierta 3 - Inclinadas aulas	θ (°C)	Psat (Pa)	Pn (%)	ϕ (g/(m ² ·mes))	gc (g/m ²)	Ma (g/m ²)
Aire exterior	5.50	902.765	722.212	80.0	--	--
Cara exterior	5.61	909.671	722.212	79.4	--	--
Interfase 1-2	5.61	909.672	909.672	100.0	0.157	0.302
Interfase 2-3	14.18	1616.361	910.632	56.3	--	--
Interfase 3-4	14.18	1616.362	1390.594	86.0	--	--
Interfase 4-5	18.60	2142.151	1390.618	64.9	--	--
Interfase 5-6	19.12	2212.994	1402.137	63.4	--	--
Interfase 6-7	19.56	2274.234	1402.142	61.7	--	--
Cara interior	19.73	2297.578	1402.171	61.0	--	--
Aire interior	20.00	2336.951	1402.171	60.0	--	--

donde:

θ : Temperatura, °C.

Psat: Presión de saturación del vapor de agua, Pa.

Pn: Presión del vapor de agua, Pa.

ϕ : Humedad relativa, %.

gc: Densidad de flujo de condensación, g/(m²·mes).

Ma: Contenido acumulado de humedad por unidad de superficie, g/m².

>> Representación gráfica (Enero)

Cálculo de condensaciones intersticiales en el mes de Febrero.

Cubierta 3 - Inclinadas aulas	θ (°C)	Psat (Pa)	Pn (%)	ϕ (g/(m ² ·mes))	gc	Ma (g/m ²)
Aire exterior	6.80	987.670	750.629	76.0	--	--
Cara exterior	6.90	994.473	750.629	75.5	--	--
Interfase 1-2	6.90	994.474	994.474	100.0	0.074	0.377
Interfase 2-3	14.70	1671.841	995.268	59.5	--	--
Interfase 3-4	14.70	1671.842	1392.587	83.3	--	--
Interfase 4-5	18.73	2159.016	1392.607	64.5	--	--
Interfase 5-6	19.20	2223.868	1402.143	63.0	--	--
Interfase 6-7	19.60	2279.796	1402.147	61.5	--	--
Cara interior	19.75	2301.084	1402.171	60.9	--	--
Aire interior	20.00	2336.951	1402.171	60.0	--	--

donde:

θ : Temperatura, °C.

Psat: Presión de saturación del vapor de agua, Pa.

Pn: Presión del vapor de agua, Pa.

ϕ : Humedad relativa, %.

gc: Densidad de flujo de condensación, g/(m²·mes).

Ma: Contenido acumulado de humedad por unidad de superficie, g/m².

>> Representación gráfica (Febrero)

Cálculo de condensaciones intersticiales en el mes de Marzo.

Cubierta 3 - Inclinadas aulas θ Psat Pn ϕ gc Ma

	(°C)	(Pa)	(Pa)	(%)	(g/(m ² ·mes))	(g/m ²)
Aire exterior	8.80	1132.044	781.110	69.0		
Cara exterior	8.88	1138.550	781.110	68.6	--	--
Interfase 1-2	8.88	1138.550	1138.550	100.0	-0.054	0.323
Interfase 2-3	15.50	1760.457	1139.064	64.7	--	--
Interfase 3-4	15.50	1760.458	1395.974	79.3	--	--
Interfase 4-5	18.92	2185.189	1395.987	63.9	--	--
Interfase 5-6	19.32	2240.687	1402.153	62.6	--	--
Interfase 6-7	19.66	2288.377	1402.155	61.3	--	--
Cara interior	19.79	2306.488	1402.171	60.8	--	--
Aire interior	20.00	2336.951	1402.171	60.0		

donde:

θ : Temperatura, °C.

P_{sat} : Presión de saturación del vapor de agua, Pa.

P_n : Presión del vapor de agua, Pa.

ϕ : Humedad relativa, %.

gc : Densidad de flujo de condensación, g/(m²·mes).

Ma : Contenido acumulado de humedad por unidad de superficie, g/m².

>> Representación gráfica (Marzo)

Cálculo de condensaciones intersticiales en el mes de Abril.

Cubierta 3 - Inclinadas aulas	θ (°C)	P_{sat} (Pa)	P_n (%)	ϕ (g/(m ² ·mes))	gc (g/m ²)	Ma (g/m ²)
Aire exterior	11.60	1365.261	928.378	68.0		

Cara exterior	11.66	1371.010	928.378	67.7	--	--
Interfase 1-2	11.66	1371.011	1371.011	100.0	-0.214	0.109
Interfase 2-3	16.63	1891.429	1371.072	72.5	--	--
Interfase 3-4	16.63	1891.430	1401.438	74.1	--	--
Interfase 4-5	19.19	2222.298	1401.440	63.1	--	--
Interfase 5-6	19.49	2264.422	1402.169	61.9	--	--
Interfase 6-7	19.75	2300.437	1402.169	61.0	--	--
Cara interior	19.84	2314.071	1402.171	60.6	--	--
Aire interior	20.00	2336.951	1402.171	60.0		

donde:

θ : Temperatura, °C.

P_{sat} : Presión de saturación del vapor de agua, Pa.

P_n : Presión del vapor de agua, Pa.

ϕ : Humedad relativa, %.

g_c : Densidad de flujo de condensación, g/(m²·mes).

M_a : Contenido acumulado de humedad por unidad de superficie, g/m².

>> Representación gráfica (Abril)

Cálculo de condensaciones intersticiales en el mes de Mayo.

Cubierta 3 - Inclinadas aulas	θ (°C)	P_{sat} (Pa)	P_n (Pa)	ϕ (g/(m²·mes))	g_c (g/m²)	M_a (g/m²)
Aire exterior	15.30	1737.605	1164.195	67.0		
Cara exterior	15.34	1741.576	1164.195	66.8	--	--

Interfase 1-2		15.34	1741.577	1741.577	100.0	-0.109	--
Interfase 2-3		18.11	2077.547	1740.915	83.8	--	--
Interfase 3-4		18.11	2077.548	1410.149	67.9	--	--
Interfase 4-5		19.55	2272.179	1410.132	62.1	--	--
Interfase 5-6		19.72	2296.123	1402.194	61.1	--	--
Interfase 6-7		19.86	2316.458	1402.191	60.5	--	--
Cara interior		19.91	2324.125	1402.171	60.3	--	--
Aire interior		20.00	2336.951	1402.171	60.0		

donde:

θ : Temperatura, °C.

P_{sat} : Presión de saturación del vapor de agua, Pa.

P_n : Presión del vapor de agua, Pa.

ϕ : Humedad relativa, %.

g_c : Densidad de flujo de condensación, g/(m²·mes).

M_a : Contenido acumulado de humedad por unidad de superficie, g/m².

>> Representación gráfica (Mayo)

Cálculo de condensaciones intersticiales en el mes de Junio.

Cubierta 3 - Inclinadas aulas	θ (°C)	P_{sat} (Pa)	P_n (Pa)	ϕ (g/(m²·mes))	g_c (g/m²)	M_a (g/m²)
Aire exterior		19.80	2308.176	1431.069	62.0	
Cara exterior		19.80	2308.393	1431.069	62.0	--
Interfase 1-2		19.80	2308.393	1416.806	61.4	--
Interfase 2-3		19.92	2325.362	1416.778	60.9	--

Interfase 3-4	19.92	2325.362	1402.515	60.3	--	--
Interfase 4-5	19.98	2334.162	1402.514	60.1	--	--
Interfase 5-6	19.99	2335.201	1402.172	60.0	--	--
Interfase 6-7	19.99	2336.076	1402.172	60.0	--	--
Cara interior	20.00	2336.404	1402.171	60.0	--	--
Aire interior	20.00	2336.951	1402.171	60.0		

donde:

θ : Temperatura, °C.

P_{sat} : Presión de saturación del vapor de agua, Pa.

P_n : Presión del vapor de agua, Pa.

ϕ : Humedad relativa, %.

g_c : Densidad de flujo de condensación, g/(m²·mes).

M_a : Contenido acumulado de humedad por unidad de superficie, g/m².

>> Representación gráfica (Junio)

Cálculo de condensaciones intersticiales en el mes de Julio.

Cubierta 3 - Inclinadas aulas	θ (°C)	P_{sat} (Pa)	P_n (%)	ϕ (g/(m²·mes))	g_c (g/m²)	M_a
Aire exterior	23.50	2893.848	1533.739	53.0		
Cara exterior	23.47	2889.235	1533.739	53.1	--	--
Interfase 1-2	23.47	2889.235	1468.803	50.8	--	--
Interfase 2-3	21.41	2548.107	1468.673	57.6	--	--
Interfase 3-4	21.41	2548.107	1403.737	55.1	--	--

Interfase 4-5		20.34	2386.229	1403.734	58.8	--	--
Interfase 5-6		20.21	2367.766	1402.175	59.2	--	--
Interfase 6-7		20.11	2352.314	1402.175	59.6	--	--
Cara interior		20.07	2346.543	1402.171	59.8	--	--
Aire interior		20.00	2336.951	1402.171	60.0		

donde:

θ : Temperatura, °C.

P_{sat} : Presión de saturación del vapor de agua, Pa.

P_n : Presión del vapor de agua, Pa.

ϕ : Humedad relativa, %.

g_c : Densidad de flujo de condensación, g/(m²·mes).

M_a : Contenido acumulado de humedad por unidad de superficie, g/m².

>> Representación gráfica (Julio)

Cálculo de condensaciones intersticiales en el mes de Agosto.

Cubierta 3 - Inclinadas aulas	θ (°C)	P_{sat} (Pa)	P_n (%)	ϕ (g/(m²·mes))	g_c (g/m²)	M_a
Aire exterior	22.80	2774.025	1497.973	54.0		
Cara exterior	22.78	2770.468	1497.973	54.1	--	--
Interfase 1-2	22.78	2770.467	1450.690	52.4	--	--
Interfase 2-3	21.12	2504.591	1450.595	57.9	--	--
Interfase 3-4	21.12	2504.590	1403.311	56.0	--	--
Interfase 4-5	20.27	2376.302	1403.309	59.1	--	--
Interfase 5-6	20.17	2361.575	1402.174	59.4	--	--

Interfase 6-7	20.08	2349.235	1402.174	59.7	--	--
Cara interior	20.05	2344.622	1402.171	59.8	--	--
Aire interior	20.00	2336.951	1402.171	60.0	--	--

donde:

θ : Temperatura, °C.

P_{sat} : Presión de saturación del vapor de agua, Pa.

P_n : Presión del vapor de agua, Pa.

ϕ : Humedad relativa, %.

g_c : Densidad de flujo de condensación, g/(m²·mes).

M_a : Contenido acumulado de humedad por unidad de superficie, g/m².

>> Representación gráfica (Agosto)

Cálculo de condensaciones intersticiales en el mes de Septiembre.

Cubierta 3 - Inclinadas aulas	θ (°C)	P_{sat} (Pa)	P_n (%)	ϕ (g/(m²·mes))	g_c (g/m²)	M_a
Aire exterior	19.50	2265.595	1382.013	61.0	--	--
Cara exterior	19.50	2266.127	1382.013	61.0	--	--
Interfase 1-2	19.50	2266.127	1391.962	61.4	--	--
Interfase 2-3	19.80	2308.071	1391.982	60.3	--	--
Interfase 3-4	19.80	2308.072	1401.931	60.7	--	--
Interfase 4-5	19.95	2329.985	1401.931	60.2	--	--
Interfase 5-6	19.97	2332.578	1402.170	60.1	--	--
Interfase 6-7	19.98	2334.764	1402.170	60.1	--	--

Cara interior		19.99	2335.584	1402.171	60.0	--	--
Aire interior		20.00	2336.951	1402.171	60.0		

donde:

θ : Temperatura, °C.

P_{sat} : Presión de saturación del vapor de agua, Pa.

P_n : Presión del vapor de agua, Pa.

ϕ : Humedad relativa, %.

g_c : Densidad de flujo de condensación, g/(m²·mes).

M_a : Contenido acumulado de humedad por unidad de superficie, g/m².

>> Representación gráfica (Septiembre)

Cálculo de condensaciones intersticiales en el mes de Octubre.

Cubierta 3 - Inclinadas aulas	θ (°C)	P_{sat} (Pa)	P_n (%)	ϕ (g/(m²·mes))	g_c (g/m²)	M_a
Aire exterior	14.10	1608.128	1157.852	72.0		
Cara exterior	14.14	1612.787	1157.852	71.8	--	--
Interfase 1-2	14.14	1612.788	1278.437	79.3	--	--
Interfase 2-3	17.63	2015.502	1278.678	63.4	--	--
Interfase 3-4	17.63	2015.502	1399.262	69.4	--	--
Interfase 4-5	19.43	2255.895	1399.268	62.0	--	--
Interfase 5-6	19.64	2285.800	1402.162	61.3	--	--
Interfase 6-7	19.82	2311.252	1402.163	60.7	--	--
Cara interior	19.89	2320.860	1402.171	60.4	--	--
Aire interior	20.00	2336.951	1402.171	60.0		

-----|-----
donde:

θ : Temperatura, °C.

P_{sat} : Presión de saturación del vapor de agua, Pa.

P_n : Presión del vapor de agua, Pa.

ϕ : Humedad relativa, %.

g_c : Densidad de flujo de condensación, g/(m²·mes).

M_a : Contenido acumulado de humedad por unidad de superficie, g/m².

>> Representación gráfica (Octubre)

Cálculo de condensaciones intersticiales en el mes de Noviembre.

Cubierta 3 - Inclinadas aulas	θ (°C)	P_{sat} (Pa)	P_n (%)	ϕ (g/(m²·mes))	g_c (g/m²)	M_a
Aire exterior	9.00	1147.455	906.489	79.0	--	--
Cara exterior	9.08	1153.920	906.489	78.6	--	--
Interfase 1-2	9.08	1153.921	1151.135	99.8	--	--
Interfase 2-3	15.58	1769.541	1151.624	65.1	--	--
Interfase 3-4	15.58	1769.542	1396.270	78.9	--	--
Interfase 4-5	18.94	2187.822	1396.282	63.8	--	--
Interfase 5-6	19.33	2242.376	1402.154	62.5	--	--
Interfase 6-7	19.67	2289.236	1402.156	61.2	--	--
Cara interior	19.79	2307.029	1402.171	60.8	--	--
Aire interior	20.00	2336.951	1402.171	60.0	--	--

donde:

θ : Temperatura, °C.

P_{sat} : Presión de saturación del vapor de agua, Pa.

P_n : Presión del vapor de agua, Pa.

ϕ : Humedad relativa, %.

g_c : Densidad de flujo de condensación, g/(m²·mes).

M_a : Contenido acumulado de humedad por unidad de superficie, g/m².

>> Representación gráfica (Noviembre)

Cálculo de condensaciones intersticiales en el mes de Diciembre.

Cubierta 3 - Inclinadas aulas	θ (°C)	P_{sat} (Pa)	P_n (%)	ϕ (g/(m ² ·mes))	g_c (g/m ²)	M_a (g/m ²)
Aire exterior	5.90	928.177	751.823	81.0	--	--
Cara exterior	6.01	935.058	751.823	80.4	--	--
Interfase 1-2	6.01	935.059	935.059	100.0	0.146	0.146
Interfase 2-3	14.34	1633.257	935.969	57.3	--	--
Interfase 3-4	14.34	1633.258	1391.191	85.2	--	--
Interfase 4-5	18.64	2147.328	1391.214	64.8	--	--
Interfase 5-6	19.15	2216.335	1402.139	63.3	--	--
Interfase 6-7	19.57	2275.944	1402.143	61.6	--	--
Cara interior	19.73	2298.657	1402.171	61.0	--	--
Aire interior	20.00	2336.951	1402.171	60.0	--	--

donde:

θ : Temperatura, °C.

Psat: Presión de saturación del vapor de agua, Pa.

Pn: Presión del vapor de agua, Pa.

ϕ : Humedad relativa, %.

gc: Densidad de flujo de condensación, g/(m²·mes).

Ma: Contenido acumulado de humedad por unidad de superficie, g/m².

>> Representación gráfica (Diciembre)

Evolución anual de la condensación acumulada.

Se presentan a continuación las cantidades totales de agua condensada en el elemento constructivo para cada situación de cálculo, así como la evolución de la humedad acumulada a lo largo del año.

El primer mes con condensación en alguna interfase es diciembre, aunque la cantidad neta anual es nula, por producirse la evaporación suficiente en los meses siguientes.

	Ene	Feb	Mar	Abr	May	Jun	Jul	Ago	Sep	Oct	Nov	Dic
Evolución de la cantidad de agua condensada.												
gc	g/(m ² ·mes)	0.157	0.074	--	--	--	--	--	--	--	--	0.146
gev	g/(m ² ·mes)	--	--	0.054	0.214	0.109	--	--	--	--	--	--
Ma	(g/m ²)	0.302	0.377	0.323	0.109	--	--	--	--	--	--	0.146

donde:

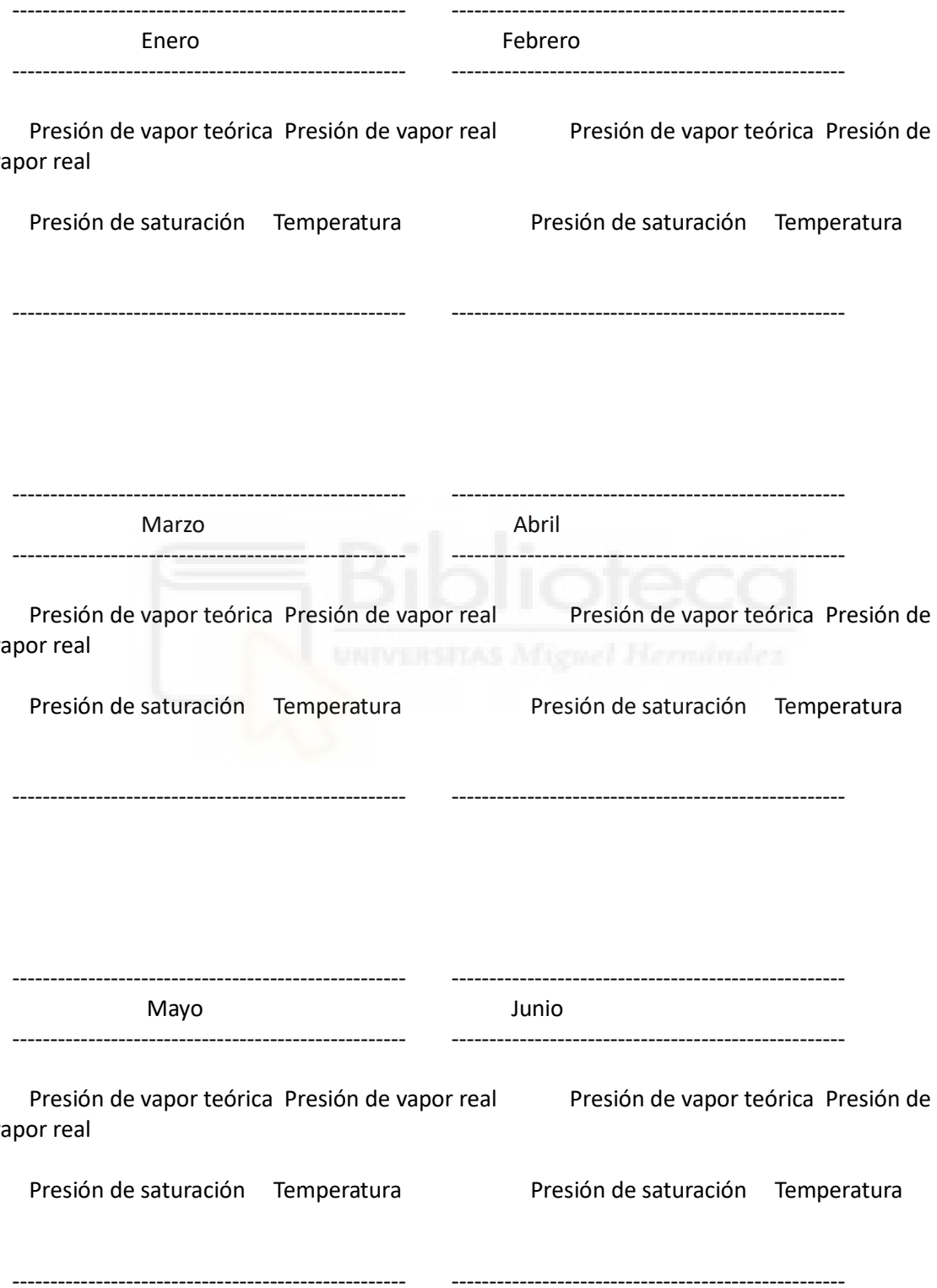
gc: Densidad de flujo de condensación, g/(m²·mes).

gev: Densidad de flujo de evaporación, g/(m²·mes).

Ma: Contenido acumulado de humedad por unidad de superficie, g/m².

>> Representación gráfica (Condensación acumulada)

3.3.6. Representación gráfica de las condensaciones intersticiales previstas



Julio

Agosto

Presión de vapor teórica Presión de vapor real
vapor real

Presión de saturación Temperatura

Presión de vapor teórica Presión de

Presión de vapor real

Presión de saturación Temperatura

Septiembre

Octubre

Presión de vapor teórica Presión de vapor real
vapor real

Presión de saturación Temperatura

Presión de saturación Temperatura

Noviembre

Diciembre

Presión de vapor teórica Presión de vapor real
vapor real

Presión de saturación Temperatura

Presión de vapor teórica Presión de

Presión de vapor real

Presión de saturación Temperatura

Condensación acumulada

4. OFICINAS P BAJA

4.1. Cerramiento exterior

4.1.1. Resultados del cálculo de condensaciones

4.1.1.1. Condensación superficial

$$f_{Rsi} = 0.954 \geq f_{Rsi,mín} = 0.772$$

El elemento constructivo no presenta condensaciones superficiales.

donde:

f_{Rsi} : Factor de resistencia superficial interior, calculado como $(1 - U \cdot Rsi)$, donde $U = 0.185$ $\text{W/m}^2 \cdot \text{K}$ y $Rsi = 0.25$ $\text{m}^2 \cdot \text{K/W}$.

$f_{Rsi,mín}$: Factor de resistencia superficial interior mínimo, necesario para evitar la humedad superficial crítica,
calculado considerando un valor de $\phi_{si,cr} \leq 0.8$.

4.1.1.2. Condensación intersticial

El elemento constructivo presenta condensaciones intersticiales en los meses de: diciembre, enero, febrero. Sin embargo, la cantidad de condensación acumulada en cada periodo anual no es superior a la cantidad de evaporación posible en el mismo periodo.

4.1.2. Condiciones higrotérmicas de cálculo

Las condiciones higrotérmicas exteriores e interiores utilizadas para realizar el cálculo de condensaciones son las siguientes:

Ene	Feb	Mar	Abr	May	Jun	Jul	Ago	Sep	Oct	Nov	Dic
-----	-----	-----	-----	-----	-----	-----	-----	-----	-----	-----	-----

Condiciones exteriores													
Temperatura, θ_e	(°C)	5.5	6.8	8.8	11.6	15.3	19.8	23.5	22.8	19.5	14.1	9.0	
5.9													
Condiciones interiores													
Temperatura, θ_i	(°C)	20.0	20.0	20.0	20.0	20.0	20.0	20.0	20.0	20.0	20.0	20.0	
20.0													
Humedad relativa, ϕ_e	(%)	80	76	69	68	67	62	53	54	61	72	79	81
Humedad relativa, ϕ_i	(%)	60	60	60	60	60	60	60	60	60	60	60	60

El diagrama psicrométrico asociado al emplazamiento, con una altura sobre el nivel del mar de 679 m, se muestra a continuación, representando mediante segmentos de recta las transiciones desde cada condición exterior de cálculo a su correspondiente condición interior.

4.1.3. Descripción del elemento constructivo

El esquema de la composición del elemento constructivo, en sección, es el siguiente:

Las características térmicas y las propiedades de difusión del vapor de agua de las capas homogéneas de caras paralelas que conforman el modelo de cálculo del elemento constructivo son las siguientes:

Cerramiento exterior	(cm)	e (W/m·K)	λ (m ² ·K/W)	R [m ² ·K/W]	μ	Sd (m)
Rse			0.04			
1 Hormigón armado d > 2500				6.0	2.500	0.02400
2 XPS Expandido con hidrofluorcarbonos HFC [0.032 W/[mK]]				8.0	0.032	2.50000
3 Hormigón armado d > 2500				6.0	2.500	0.02400
4 MW Lana mineral [0.031 W/[mK]]				8.0	0.031	2.58065
0.08						1

5	Placa de yeso laminado [PYL] 750 < d < 900	1.5	0.250	0.06000	4
0.06					
6	Placa de yeso laminado [PYL] 750 < d < 900	1.5	0.250	0.06000	4
0.06					
Rsi		0.13			

donde:

e: Espesor, cm.

λ : Conductividad térmica del material, W/(m·K).

R: Resistencia térmica del material, m²·K/W.

μ : Factor de resistencia a la difusión del vapor de agua del material.

Sd: Espesor de aire equivalente frente a la difusión del vapor de agua, m.

Rse: Resistencia térmica superficial exterior del elemento, m²·K/W.

Rsi: Resistencia térmica superficial interior del elemento, m²·K/W.

La información de cálculo relativa a los parámetros higrotérmicos del elemento completo, derivada del modelo de capas homogéneas, es la siguiente:

Magnitud	Uds.	Valor
Espesor total del elemento, eT	cm	31.0
Resistencia térmica total, RT	m ² ·K/W	5.4186
Espesor de aire equivalente total, SdT	m	11.40
Transmitancia térmica, U	W/(m ² ·K)	0.185
Factor de resistencia superficial interior, fRsi	--	0.954

donde:

ET: Espesor total del elemento, cm.

RT: Resistencia térmica total del elemento, sumatorio de la resistencia térmica de cada capa, incluyendo las

resistencias superficiales R_{se} y R_{si} , $\text{m}^2 \cdot \text{K}/\text{W}$.

SdT : Espesor de aire equivalente total, sumatorio del espesor equivalente de cada capa del elemento, m.

U : Transmitancia térmica del elemento, calculada como la inversa de la resistencia térmica total, $\text{W}/(\text{m}^2 \cdot \text{K})$.

fR_{si} : Factor de resistencia superficial interior, calculado como $(1 - U \cdot R_{si})$, donde $U = 0.185 \text{ W/m}^2 \cdot \text{K}$ y $R_{si} = 0.25 \text{ m}^2 \cdot \text{K}/\text{W}$.

4.1.4. Cálculo del factor de temperatura superficial interior necesario para evitar la humedad superficial crítica

Con objeto de prevenir los efectos adversos de la humedad superficial crítica, se ha limitado la humedad relativa máxima en la superficie interior a un valor de $\phi_{si,cr} \leq 0.8$.

Dadas las condiciones higrotérmicas exteriores, así como las interiores, el cálculo de $fR_{si,mín}$ queda como sigue:

	θ_e (°C)	ϕ_e (%)	θ_i (°C)	ϕ_i (%)	P_i (Pa)	$P_{sat}(\theta_{si})$ (Pa)	$\theta_{si,mín}$ (°C)	$fR_{si,mín}$
Enero	5.5	80.0	20.0	65.0	1519.02	1898.77	16.7	0.772
Febrero	6.8	76.0	20.0	65.0	1519.02	1898.77	16.7	0.749
Marzo	8.8	69.0	20.0	65.0	1519.02	1898.77	16.7	0.704
Abril	11.6	68.0	20.0	65.0	1519.02	1898.77	16.7	0.606
Mayo	15.3	67.0	20.0	65.0	1519.02	1898.77	16.7	0.295
Junio	19.8	62.0	20.0	65.0	1519.02	1898.77	16.7	0.000
Julio	23.5	53.0	20.0	65.0	1519.02	1898.77	16.7	--*
Agosto	22.8	54.0	20.0	65.0	1519.02	1898.77	16.7	--*
Septiembre	19.5	61.0	20.0	65.0	1519.02	1898.77	16.7	0.000
Octubre	14.1	72.0	20.0	65.0	1519.02	1898.77	16.7	0.439
Noviembre	9.0	79.0	20.0	65.0	1519.02	1898.77	16.7	0.699
Diciembre	5.9	81.0	20.0	65.0	1519.02	1898.77	16.7	0.765

*: No hay riesgo de formación de condensaciones superficiales en el paramento interior, ya que $\theta_e \geq \theta_i$.

donde:

θ_e : Temperatura del aire exterior, °C.

ϕ_e : Humedad relativa del aire exterior, %.

θ_i : Temperatura del aire interior, °C.

ϕ_i : Humedad relativa del aire interior, aumentada con un coeficiente de seguridad 5%, %.

P_i : Presión de vapor en el ambiente interior, Pa.

$P_{sat}(\theta_i)$: Presión de saturación del vapor de agua mínima aceptable para la superficie interior, Pa.

$\theta_{si,mín}$: Mínima temperatura superficial interior aceptable, calculada en base a la presión de saturación mínima aceptable, °C.

$f_{Rsi,mín}$: Factor de resistencia superficial interior mínimo.

Dado que $f_{Rsi} = 0.954 > f_{Rsi,mín} = 0.772$, no se producen condensaciones superficiales en el elemento constructivo.

4.1.5. Cálculo de condensaciones intersticiales

Se exponen a continuación los resultados alcanzados en el cálculo de las temperaturas y presiones en cada una de las interfasas formadas en la unión entre las capas homogéneas que conforman el modelo de cálculo del elemento constructivo.

Cálculo de condensaciones intersticiales en el mes de Enero.

Cerramiento exterior	θ (°C)	P (Pa)	P_{sat} (Pa)	P_n (%)	ϕ (g/(m ² ·mes))	g_c	M_a (g/m ²)
Aire exterior	5.50	902.765	722.212	80.0			
Cara exterior	5.61	909.504	722.212	79.4	--	--	

Interfase 1-2		5.67	913.569	913.569	100.0	18.301	35.016
Interfase 2-3		12.36	1435.537	1032.018	71.9	--	--
Interfase 3-4		12.43	1441.610	1387.365	96.2	--	--
Interfase 4-5		19.33	2241.913	1393.287	62.1	--	--
Interfase 5-6		19.49	2264.408	1397.729	61.7	--	--
Cara interior		19.65	2287.101	1402.171	61.3	--	--
Aire interior		20.00	2336.951	1402.171	60.0	--	--

donde:

θ : Temperatura, °C.

P_{sat} : Presión de saturación del vapor de agua, Pa.

P_n : Presión del vapor de agua, Pa.

ϕ : Humedad relativa, %.

g_c : Densidad de flujo de condensación, g/(m²·mes).

M_a : Contenido acumulado de humedad por unidad de superficie, g/m².

>> Representación gráfica (Enero)

Cálculo de condensaciones intersticiales en el mes de Febrero.

Cerramiento exterior	θ (°C)	P_{sat} (Pa)	P_n (%)	ϕ (g/(m²·mes))	g_c	M_a (g/m²)
Aire exterior	6.80	987.670	750.629	76.0	--	--
Cara exterior	6.90	994.308	750.629	75.5	--	--
Interfase 1-2	6.96	998.310	998.310	100.0	4.640	39.657
Interfase 2-3	13.05	1501.467	1096.216	73.0	--	--
Interfase 3-4	13.10	1507.216	1389.932	92.2	--	--

Interfase 4-5	19.39	2250.293	1394.828	62.0	--	--
Interfase 5-6	19.54	2270.831	1398.499	61.6	--	--
Cara interior	19.68	2291.532	1402.171	61.2	--	--
Aire interior	20.00	2336.951	1402.171	60.0		

donde:

θ : Temperatura, °C.

Psat: Presión de saturación del vapor de agua, Pa.

Pn: Presión del vapor de agua, Pa.

ϕ : Humedad relativa, %.

gc: Densidad de flujo de condensación, g/(m²·mes).

Ma: Contenido acumulado de humedad por unidad de superficie, g/m².

>> Representación gráfica (Febrero)

Cálculo de condensaciones intersticiales en el mes de Marzo.

Cerramiento exterior	θ (°C)	Psat (Pa)	Pn (%)	ϕ (g/(m ² ·mes))	gc	Ma (g/m ²)
Aire exterior	8.80	1132.044	781.110	69.0		
Cara exterior	8.88	1138.392	781.110	68.6	--	--
Interfase 1-2	8.93	1142.216	1142.216	100.0	-19.201	20.456
Interfase 2-3	14.10	1608.089	1205.236	74.9	--	--
Interfase 3-4	14.15	1613.269	1394.293	86.4	--	--
Interfase 4-5	19.48	2263.240	1397.444	61.7	--	--
Interfase 5-6	19.61	2280.742	1399.807	61.4	--	--

Cara interior	19.73	2298.363	1402.171	61.0	--	--
Aire interior	20.00	2336.951	1402.171	60.0		

donde:

θ : Temperatura, °C.

Psat: Presión de saturación del vapor de agua, Pa.

Pn: Presión del vapor de agua, Pa.

ϕ : Humedad relativa, %.

gc: Densidad de flujo de condensación, g/(m²·mes).

Ma: Contenido acumulado de humedad por unidad de superficie, g/m².

>> Representación gráfica (Marzo)

Cálculo de condensaciones intersticiales en el mes de Abril.

Cerramiento exterior	θ (°C)	Psat (Pa)	Pn (%)	ϕ (g/(m²·mes))	gc	Ma (g/m²)
Aire exterior	11.60	1365.261	928.378	68.0		
Cara exterior	11.66	1370.871	928.378	67.7	--	--
Interfase 1-2	11.70	1374.247	1374.247	100.0	-20.456	--
Interfase 2-3	15.57	1768.501	1381.016	78.1	--	--
Interfase 3-4	15.61	1772.722	1401.325	79.0	--	--
Interfase 4-5	19.61	2281.474	1401.663	61.4	--	--
Interfase 5-6	19.71	2294.683	1401.917	61.1	--	--
Cara interior	19.80	2307.958	1402.171	60.8	--	--
Aire interior	20.00	2336.951	1402.171	60.0		

donde:

θ : Temperatura, °C.

Psat: Presión de saturación del vapor de agua, Pa.

Pn: Presión del vapor de agua, Pa.

ϕ : Humedad relativa, %.

gc: Densidad de flujo de condensación, g/(m²·mes).

Ma: Contenido acumulado de humedad por unidad de superficie, g/m².

>> Representación gráfica (Abril)

Cálculo de condensaciones intersticiales en el mes de Mayo.

Cerramiento exterior	θ (°C)	Psat (Pa)	Pn (%)	ϕ (g/(m ² ·mes))	gc (g/m ²)	Ma (g/m ²)
Aire exterior	15.30	1737.605	1164.195	67.0	--	--
Cara exterior	15.33	1741.480	1164.195	66.9	--	--
Interfase 1-2	15.36	1743.809	1264.395	72.5	--	--
Interfase 2-3	17.52	2001.891	1297.795	64.8	--	--
Interfase 3-4	17.54	2004.523	1397.996	69.7	--	--
Interfase 4-5	19.78	2305.767	1399.666	60.7	--	--
Interfase 5-6	19.84	2313.218	1400.918	60.6	--	--
Cara interior	19.89	2320.690	1402.171	60.4	--	--
Aire interior	20.00	2336.951	1402.171	60.0	--	--

donde:

θ : Temperatura, °C.

Psat: Presión de saturación del vapor de agua, Pa.

Pn: Presión del vapor de agua, Pa.

φ: Humedad relativa, %.

gc: Densidad de flujo de condensación, g/(m²·mes).

Ma: Contenido acumulado de humedad por unidad de superficie, g/m².

>> Representación gráfica (Mayo)

Cálculo de condensaciones intersticiales en el mes de Junio.

Cerramiento exterior	θ (°C)	Psat (Pa)	Pn (%)	φ (g/(m ² ·mes))	gc (g/m ²)	Ma (g/m ²)
Aire exterior	19.80	2308.176	1431.069	62.0	--	--
Cara exterior	19.80	2308.387	1431.069	62.0	--	--
Interfase 1-2	19.80	2308.514	1418.901	61.5	--	--
Interfase 2-3	19.89	2321.753	1414.845	60.9	--	--
Interfase 3-4	19.90	2321.880	1402.678	60.4	--	--
Interfase 4-5	19.99	2335.617	1402.475	60.0	--	--
Interfase 5-6	19.99	2335.937	1402.323	60.0	--	--
Cara interior	20.00	2336.257	1402.171	60.0	--	--
Aire interior	20.00	2336.951	1402.171	60.0	--	--

donde:

θ: Temperatura, °C.

Psat: Presión de saturación del vapor de agua, Pa.

Pn: Presión del vapor de agua, Pa.

φ: Humedad relativa, %.

gc: Densidad de flujo de condensación, $g/(m^2 \cdot \text{mes})$.

Ma: Contenido acumulado de humedad por unidad de superficie, g/m^2 .

>> Representación gráfica (Junio)

Cálculo de condensaciones intersticiales en el mes de Julio.

Cerramiento exterior	θ (°C)	Psat (Pa)	Pn (%)	ϕ ($g/(m^2 \cdot \text{mes})$)	gc	Ma (g/m^2)
Aire exterior	23.50	2893.848	1533.739	53.0	--	--
Cara exterior	23.47	2889.346	1533.739	53.1	--	--
Interfase 1-2	23.46	2886.648	1478.342	51.2	--	--
Interfase 2-3	21.84	2617.367	1459.876	55.8	--	--
Interfase 3-4	21.83	2614.893	1404.479	53.7	--	--
Interfase 4-5	20.16	2360.412	1403.556	59.5	--	--
Interfase 5-6	20.12	2354.763	1402.863	59.6	--	--
Cara interior	20.08	2349.125	1402.171	59.7	--	--
Aire interior	20.00	2336.951	1402.171	60.0	--	--

donde:

θ : Temperatura, °C.

Psat: Presión de saturación del vapor de agua, Pa.

Pn: Presión del vapor de agua, Pa.

ϕ : Humedad relativa, %.

gc: Densidad de flujo de condensación, $g/(m^2 \cdot \text{mes})$.

Ma: Contenido acumulado de humedad por unidad de superficie, g/m^2 .

>> Representación gráfica (Julio)

Cálculo de condensaciones intersticiales en el mes de Agosto.

Cerramiento exterior	θ (°C)	Psat (Pa)	Pn (%)	ϕ (g/(m ² ·mes))	gc (g/m ²)	Ma (g/m ²)
Aire exterior	22.80	2774.025	1497.973	54.0	--	--
Cara exterior	22.78	2770.554	1497.973	54.1	--	--
Interfase 1-2	22.77	2768.473	1457.635	52.7	--	--
Interfase 2-3	21.48	2559.044	1444.189	56.4	--	--
Interfase 3-4	21.46	2557.103	1403.851	54.9	--	--
Interfase 4-5	20.13	2355.704	1403.179	59.6	--	--
Interfase 5-6	20.10	2351.191	1402.675	59.7	--	--
Cara interior	20.07	2346.686	1402.171	59.8	--	--
Aire interior	20.00	2336.951	1402.171	60.0	--	--

donde:

θ : Temperatura, °C.

Psat: Presión de saturación del vapor de agua, Pa.

Pn: Presión del vapor de agua, Pa.

ϕ : Humedad relativa, %.

gc: Densidad de flujo de condensación, g/(m²·mes).

Ma: Contenido acumulado de humedad por unidad de superficie, g/m².

>> Representación gráfica (Agosto)

Cálculo de condensaciones intersticiales en el mes de Septiembre.

Cerramiento exterior	θ (°C)	Psat (Pa)	Pn (%)	ϕ (g/(m ² ·mes))	gc	Ma (g/m ²)
Aire exterior	19.50	2265.595	1382.013	61.0		
Cara exterior	19.50	2266.114	1382.013	61.0	--	--
Interfase 1-2	19.51	2266.426	1390.500	61.4	--	--
Interfase 2-3	19.74	2299.118	1393.329	60.6	--	--
Interfase 3-4	19.74	2299.434	1401.817	61.0	--	--
Interfase 4-5	19.98	2333.616	1401.958	60.1	--	--
Interfase 5-6	19.98	2334.416	1402.065	60.1	--	--
Cara interior	19.99	2335.216	1402.171	60.0	--	--
Aire interior	20.00	2336.951	1402.171	60.0		

donde:

θ : Temperatura, °C.

Psat: Presión de saturación del vapor de agua, Pa.

Pn: Presión del vapor de agua, Pa.

ϕ : Humedad relativa, %.

gc: Densidad de flujo de condensación, g/(m²·mes).

Ma: Contenido acumulado de humedad por unidad de superficie, g/m².

>> Representación gráfica (Septiembre)

Cálculo de condensaciones intersticiales en el mes de Octubre.

Cerramiento exterior	θ (°C)	Psat (Pa)	Pn (%)	ϕ (g/(m ² ·mes))	gc	Ma (g/m ²)
Aire exterior	14.10	1608.128	1157.852	72.0		
Cara exterior	14.14	1612.675	1157.852	71.8	--	--
Interfase 1-2	14.17	1615.408	1260.723	78.0	--	--
Interfase 2-3	16.89	1923.406	1295.013	67.3	--	--
Interfase 3-4	16.92	1926.596	1397.884	72.6	--	--
Interfase 4-5	19.73	2297.864	1399.599	60.9	--	--
Interfase 5-6	19.79	2307.192	1400.885	60.7	--	--
Cara interior	19.86	2316.554	1402.171	60.5	--	--
Aire interior	20.00	2336.951	1402.171	60.0		

donde:

θ : Temperatura, °C.

Psat: Presión de saturación del vapor de agua, Pa.

Pn: Presión del vapor de agua, Pa.

ϕ : Humedad relativa, %.

gc: Densidad de flujo de condensación, g/(m²·mes).

Ma: Contenido acumulado de humedad por unidad de superficie, g/m².

>> Representación gráfica (Octubre)

Cálculo de condensaciones intersticiales en el mes de Noviembre.

Cerramiento exterior	θ (°C)	Psat (Pa)	Pn (%)	ϕ (g/(m ² ·mes))	gc	Ma (g/m ²)
Aire exterior	9.00	1147.455	906.489	79.0		

Cara exterior		9.08	1153.764	906.489	78.6	--	--
Interfase 1-2		9.13	1157.564	1115.197	96.3	--	--
Interfase 2-3		14.20	1619.108	1184.767	73.2	--	--
Interfase 3-4		14.25	1624.226	1393.475	85.8	--	--
Interfase 4-5		19.49	2264.538	1396.953	61.7	--	--
Interfase 5-6		19.61	2281.736	1399.562	61.3	--	--
Cara interior		19.74	2299.048	1402.171	61.0	--	--
Aire interior		20.00	2336.951	1402.171	60.0		

donde:

θ : Temperatura, °C.

P_{sat} : Presión de saturación del vapor de agua, Pa.

P_n : Presión del vapor de agua, Pa.

ϕ : Humedad relativa, %.

g_c : Densidad de flujo de condensación, g/(m²·mes).

M_a : Contenido acumulado de humedad por unidad de superficie, g/m².

>> Representación gráfica (Noviembre)

Cálculo de condensaciones intersticiales en el mes de Diciembre.

Cerramiento exterior	θ (°C)	P_{sat} (Pa)	P_n (%)	ϕ (g/(m²·mes))	g_c	M_a (g/m²)
Aire exterior		5.90	928.177	751.823	81.0	
Cara exterior		6.00	934.891	751.823	80.4	--
Interfase 1-2		6.07	938.941	938.941	100.0	16.715
Interfase 2-3		12.57	1455.547	1051.239	72.2	--

Interfase 3-4		12.63	1461.524	1388.133	95.0	--	--
Interfase 4-5		19.35	2244.489	1393.748	62.1	--	--
Interfase 5-6		19.51	2266.383	1397.960	61.7	--	--
Cara interior		19.66	2288.463	1402.171	61.3	--	--
Aire interior		20.00	2336.951	1402.171	60.0	--	--

donde:

θ : Temperatura, °C.

P_{sat} : Presión de saturación del vapor de agua, Pa.

P_n : Presión del vapor de agua, Pa.

ϕ : Humedad relativa, %.

g_c : Densidad de flujo de condensación, g/(m²·mes).

M_a : Contenido acumulado de humedad por unidad de superficie, g/m².

>> Representación gráfica (Diciembre)

Evolución anual de la condensación acumulada.

Se presentan a continuación las cantidades totales de agua condensada en el elemento constructivo para cada situación de cálculo, así como la evolución de la humedad acumulada a lo largo del año.

El primer mes con condensación en alguna interfase es diciembre, aunque la cantidad neta anual es nula, por producirse la evaporación suficiente en los meses siguientes.

	Ene	Feb	Mar	Abr	May	Jun	Jul	Ago	Sep	Oct	Nov	Dic
<hr/>												
Evolución de la cantidad de agua condensada.												
gc	g/(m²·mes)	18.301	4.640	--	--	--	--	--	--	--	--	16.715
gev	g/(m²·mes)	--	--	19.201	20.456	--	--	--	--	--	--	--

Ma		(g/m ²)	35.016	39.657	20.456	--	--	--	--	--	--	--	--	16.715
----	--	---------------------	--------	--------	--------	----	----	----	----	----	----	----	----	--------

donde:

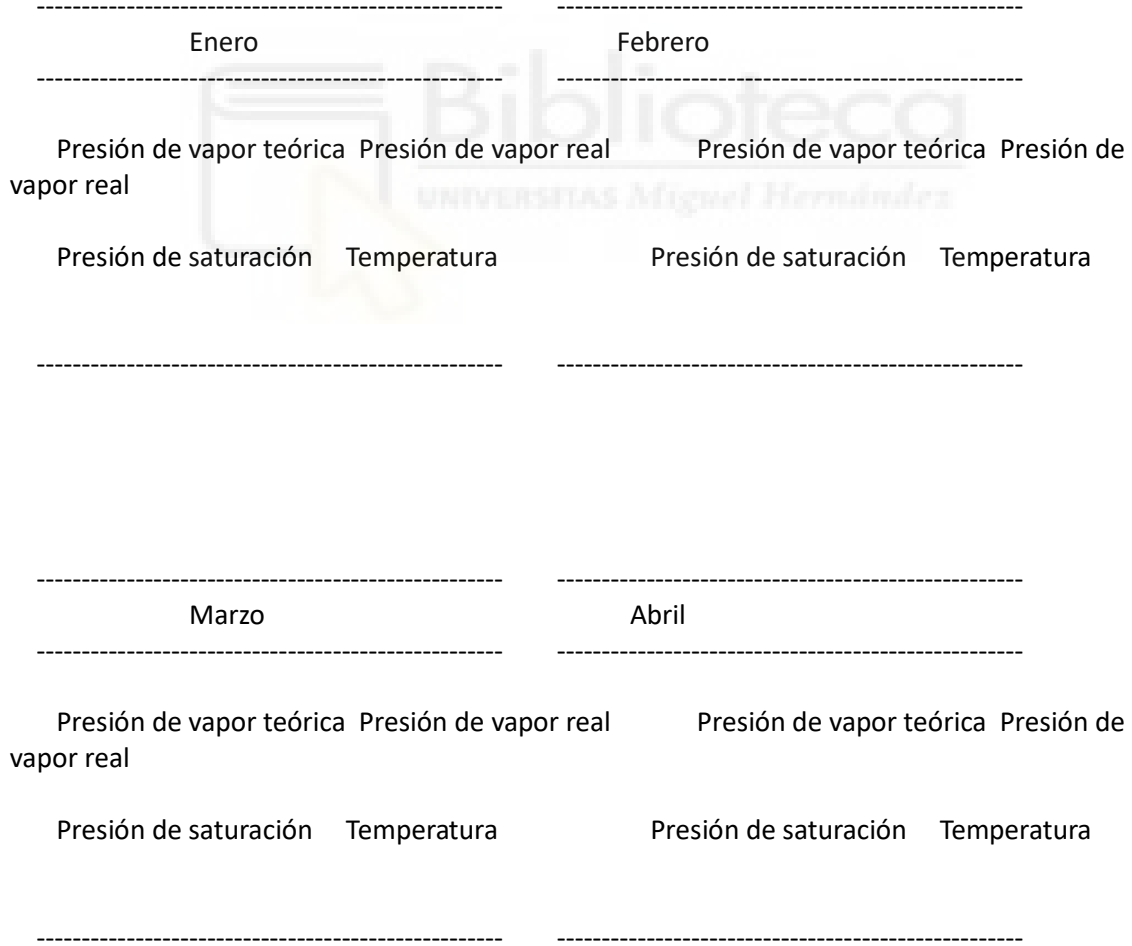
gc: Densidad de flujo de condensación, g/(m²·mes).

gev: Densidad de flujo de evaporación, g/(m²·mes).

Ma: Contenido acumulado de humedad por unidad de superficie, g/m².

>> Representación gráfica (Condensación acumulada)

4.1.6. Representación gráfica de las condensaciones intersticiales previstas



Mayo

Junio

Presión de vapor teórica Presión de vapor real
vapor real

Presión de saturación Temperatura

Presión de vapor teórica Presión de

Presión de saturación Temperatura

Julio

Agosto

Presión de vapor teórica Presión de vapor real
vapor real

Presión de saturación Temperatura

Presión de vapor teórica Presión de

Presión de saturación Temperatura

Septiembre

Octubre

Presión de vapor teórica Presión de vapor real
vapor real

Presión de saturación Temperatura

Presión de vapor teórica Presión de

Presión de saturación Temperatura

Noviembre

Diciembre

Presión de vapor teórica Presión de vapor real Presión de vapor teórica Presión de vapor real

Presión de saturación Temperatura

Presión de saturación Temperatura

Condensación acumulada

4.2. Cubierta 3 - Inclinadas aulas

4.2.1. Resultados del cálculo de condensaciones

4.2.1.1. Condensación superficial

$$f_{RSI} = 0.953 \geq f_{RSI,min} = 0.772$$

El elemento constructivo no presenta condensaciones superficiales.

donde:

f_{RSI} : Factor de resistencia superficial interior, calculado como $(1 - U \cdot R_{SI})$, donde $U = 0.189 \text{ W/m}^2 \cdot \text{K}$ y $R_{SI} = 0.25 \text{ m}^2 \cdot \text{K/W}$.

$f_{RSI,min}$: Factor de resistencia superficial interior mínimo, necesario para evitar la humedad superficial crítica,
calculado considerando un valor de $\phi_{SI,cr} \leq 0.8$.

4.2.1.2. Condensación intersticial

El elemento constructivo presenta condensaciones intersticiales en los meses de: diciembre, enero, febrero. Sin

embargo, la cantidad de condensación acumulada en cada periodo anual no es superior a la cantidad de evaporación posible en el mismo periodo.

4.2.2. Condiciones higrotérmicas de cálculo

Las condiciones higrotérmicas exteriores e interiores utilizadas para realizar el cálculo de condensaciones son las siguientes:

	Ene	Feb	Mar	Abr	May	Jun	Jul	Ago	Sep	Oct	Nov	Dic
<hr/>												
Condiciones exteriores												
Temperatura, θ_e (°C)	5.5	6.8	8.8	11.6	15.3	19.8	23.5	22.8	19.5	14.1	9.0	5.9
Humedad relativa, ϕ_e (%)	80	76	69	68	67	62	53	54	61	72	79	81
<hr/>												
Condiciones interiores												
Temperatura, θ_i (°C)	20.0	20.0	20.0	20.0	20.0	20.0	20.0	20.0	20.0	20.0	20.0	20.0
Humedad relativa, ϕ_i (%)	60	60	60	60	60	60	60	60	60	60	60	60
<hr/>												

El diagrama psicrométrico asociado al emplazamiento, con una altura sobre el nivel del mar de 679 m, se muestra a continuación, representando mediante segmentos de recta las transiciones desde cada condición exterior de cálculo a su correspondiente condición interior.

4.2.3. Descripción del elemento constructivo

El esquema de la composición del elemento constructivo, en sección, es el siguiente:

Las características térmicas y las propiedades de difusión del vapor de agua de las capas homogéneas de caras paralelas que conforman el modelo de cálculo del elemento constructivo son las siguientes:

Cubierta 3 - Inclinadas aulas	e (cm)	λ (W/m·K)	R (m ² ·K/W)	μ	Sd (m)
-------------------------------	-----------	----------------------	----------------------------	-------	-----------

Rse					0.04		
----- -----	----- -----	----- -----	----- -----	----- -----	----- -----	----- -----	----- -----
1 Aluminio	0.1	230.000	0.00000	1000000	1000		
2 XPS Expandido con hidrofluorcarbonos HFC [0.032 W/[mK]]	10.0	0.032	3.12500				
20 2							
3 Aluminio	0.1	230.000	0.00000	1000000	1000		
4 MW Lana mineral [0.031 W/[mK]]	5.0	0.031	1.61290	1			
0.05							
5 Con capa de compresión -Canto 300 mm	30.0	1.579	0.18999	80			
24							
6 Cámara de aire	10.0	0.16000	0.01				
7 Placa de yeso laminado [PYL] 750 < d < 900	1.5	0.250	0.06000	4			
0.06							
----- -----	----- -----	----- -----	----- -----	----- -----	----- -----	----- -----	----- -----
Rsi					0.10		

donde:

e: Espesor, cm.

λ : Conductividad térmica del material, W/(m·K).

R: Resistencia térmica del material, m²·K/W.

μ : Factor de resistencia a la difusión del vapor de agua del material.

Sd: Espesor de aire equivalente frente a la difusión del vapor de agua, m.

Rse: Resistencia térmica superficial exterior del elemento, m²·K/W.

Rsi: Resistencia térmica superficial interior del elemento, m²·K/W.

La información de cálculo relativa a los parámetros higrotérmicos del elemento completo, derivada del modelo de capas homogéneas, es la siguiente:

Magnitud	Uds.	Valor
Espesor total del elemento, eT	cm	56.7
Resistencia térmica total, RT	m ² ·K/W	5.2879

Espesor de aire equivalente total, Sd,T		m	2026.12
Transmitancia térmica, U		W/(m ² ·K)	0.189
Factor de resistencia superficial interior, fRsi		--	0.953

donde:

ET: Espesor total del elemento, cm.

RT: Resistencia térmica total del elemento, sumatorio de la resistencia térmica de cada capa, incluyendo las resistencias superficiales Rse y Rsi, m²·K/W.

SdT: Espesor de aire equivalente total, sumatorio del espesor equivalente de cada capa del elemento, m.

U: Transmitancia térmica del elemento, calculada como la inversa de la resistencia térmica total, W/(m²·K).

fRsi: Factor de resistencia superficial interior, calculado como $(1 - U \cdot R_{si})$, donde $U = 0.189$ W/m²·K y $R_{si} = 0.25$ m²·K/W.

4.2.4. Cálculo del factor de temperatura superficial interior necesario para evitar la humedad superficial crítica

Con objeto de prevenir los efectos adversos de la humedad superficial crítica, se ha limitado la humedad relativa máxima en la superficie interior a un valor de $\phi_{si,cr} \leq 0.8$.

Dadas las condiciones higrotérmicas exteriores, así como las interiores, el cálculo de fRsi,mín queda como sigue:

	θe (°C)	φe (%)	θi (°C)	φi (%)	Pi (Pa)	Psat (θsi) (Pa)	θsi,mín (°C)	fRsi,mín
Enero	5.5	80.0	20.0	65.0	1519.02	1898.77	16.7	0.772
Febrero	6.8	76.0	20.0	65.0	1519.02	1898.77	16.7	0.749
Marzo	8.8	69.0	20.0	65.0	1519.02	1898.77	16.7	0.704
Abril	11.6	68.0	20.0	65.0	1519.02	1898.77	16.7	0.606
Mayo	15.3	67.0	20.0	65.0	1519.02	1898.77	16.7	0.295

Junio		19.8	62.0	20.0	65.0	1519.02	1898.77	16.7	0.000
Julio		23.5	53.0	20.0	65.0	1519.02	1898.77	16.7	--*
Agosto		22.8	54.0	20.0	65.0	1519.02	1898.77	16.7	--*
Septiembre		19.5	61.0	20.0	65.0	1519.02	1898.77	16.7	0.000
Octubre		14.1	72.0	20.0	65.0	1519.02	1898.77	16.7	0.439
Noviembre		9.0	79.0	20.0	65.0	1519.02	1898.77	16.7	0.699
Diciembre		5.9	81.0	20.0	65.0	1519.02	1898.77	16.7	0.765

*: No hay riesgo de formación de condensaciones superficiales en el paramento interior, ya que $\theta_e \geq \theta_i$.

donde:

θ_e : Temperatura del aire exterior, °C.

ϕ_e : Humedad relativa del aire exterior, %.

θ_i : Temperatura del aire interior, °C.

ϕ_i : Humedad relativa del aire interior, aumentada con un coeficiente de seguridad 5%, %.

P_i : Presión de vapor en el ambiente interior, Pa.

$Psat(\theta_i)$: Presión de saturación del vapor de agua mínima aceptable para la superficie interior, Pa.

$\theta_{si,mín}$: Mínima temperatura superficial interior aceptable, calculada en base a la presión de saturación mínima aceptable, °C.

$fRsi,mín$: Factor de resistencia superficial interior mínimo.

Dado que $fRsi = 0.953 > fRsi,mín = 0.772$, no se producen condensaciones superficiales en el elemento constructivo.

4.2.5. Cálculo de condensaciones intersticiales

Se exponen a continuación los resultados alcanzados en el cálculo de las temperaturas y presiones en cada una de las interfasas formadas en la unión entre las capas homogéneas que conforman el modelo de cálculo del elemento constructivo.

Cálculo de condensaciones intersticiales en el mes de Enero.

Cubierta 3 - Inclinadas aulas	θ (°C)	P_{sat} (Pa)	P_n (%)	ϕ (g/(m ² ·mes))	g_c (g/m ²)	M_a
Aire exterior	5.50	902.765	722.212	80.0	--	--
Cara exterior	5.61	909.671	722.212	79.4	--	--
Interfase 1-2	5.61	909.672	909.672	100.0	0.157	0.302
Interfase 2-3	14.18	1616.361	910.632	56.3	--	--
Interfase 3-4	14.18	1616.362	1390.594	86.0	--	--
Interfase 4-5	18.60	2142.151	1390.618	64.9	--	--
Interfase 5-6	19.12	2212.994	1402.137	63.4	--	--
Interfase 6-7	19.56	2274.234	1402.142	61.7	--	--
Cara interior	19.73	2297.578	1402.171	61.0	--	--
Aire interior	20.00	2336.951	1402.171	60.0	--	--

donde:

θ : Temperatura, °C.

P_{sat} : Presión de saturación del vapor de agua, Pa.

P_n : Presión del vapor de agua, Pa.

ϕ : Humedad relativa, %.

g_c : Densidad de flujo de condensación, g/(m²·mes).

M_a : Contenido acumulado de humedad por unidad de superficie, g/m².

>> Representación gráfica (Enero)

Cálculo de condensaciones intersticiales en el mes de Febrero.

Cubierta 3 - Inclinadas aulas	θ (°C)	P_{sat} (Pa)	P_n (%)	ϕ (g/(m ² ·mes))	gc (g/m ²)	Ma (g/m ²)
Aire exterior	6.80	987.670	750.629	76.0	--	--
Cara exterior	6.90	994.473	750.629	75.5	--	--
Interfase 1-2	6.90	994.474	994.474	100.0	0.074	0.377
Interfase 2-3	14.70	1671.841	995.268	59.5	--	--
Interfase 3-4	14.70	1671.842	1392.587	83.3	--	--
Interfase 4-5	18.73	2159.016	1392.607	64.5	--	--
Interfase 5-6	19.20	2223.868	1402.143	63.0	--	--
Interfase 6-7	19.60	2279.796	1402.147	61.5	--	--
Cara interior	19.75	2301.084	1402.171	60.9	--	--
Aire interior	20.00	2336.951	1402.171	60.0	--	--

donde:

θ : Temperatura, °C.

P_{sat} : Presión de saturación del vapor de agua, Pa.

P_n : Presión del vapor de agua, Pa.

ϕ : Humedad relativa, %.

gc: Densidad de flujo de condensación, g/(m²·mes).

Ma: Contenido acumulado de humedad por unidad de superficie, g/m².

>> Representación gráfica (Febrero)

Cálculo de condensaciones intersticiales en el mes de Marzo.

Cubierta 3 - Inclinadas aulas	θ (°C)	Psat (Pa)	Pn (%)	ϕ (g/(m ² ·mes))	gc (g/m ²)	Ma (g/m ²)
Aire exterior	8.80	1132.044	781.110	69.0	--	--
Cara exterior	8.88	1138.550	781.110	68.6	--	--
Interfase 1-2	8.88	1138.550	1138.550	100.0	-0.054	0.323
Interfase 2-3	15.50	1760.457	1139.064	64.7	--	--
Interfase 3-4	15.50	1760.458	1395.974	79.3	--	--
Interfase 4-5	18.92	2185.189	1395.987	63.9	--	--
Interfase 5-6	19.32	2240.687	1402.153	62.6	--	--
Interfase 6-7	19.66	2288.377	1402.155	61.3	--	--
Cara interior	19.79	2306.488	1402.171	60.8	--	--
Aire interior	20.00	2336.951	1402.171	60.0	--	--

donde:

θ : Temperatura, °C.

Psat: Presión de saturación del vapor de agua, Pa.

Pn: Presión del vapor de agua, Pa.

ϕ : Humedad relativa, %.

gc: Densidad de flujo de condensación, g/(m²·mes).

Ma: Contenido acumulado de humedad por unidad de superficie, g/m².

>> Representación gráfica (Marzo)

Cálculo de condensaciones intersticiales en el mes de Abril.

Cubierta 3 - Inclinadas aulas	θ (°C)	Psat (Pa)	Pn (%)	ϕ (g/(m ² ·mes))	gc (g/m ²)	Ma (g/m ²)
-------------------------------	------------------	--------------	-----------	-------------------------------------	---------------------------	---------------------------

Aire exterior		11.60	1365.261	928.378	68.0		
Cara exterior		11.66	1371.010	928.378	67.7	--	--
Interfase 1-2		11.66	1371.011	1371.011	100.0	-0.214	0.109
Interfase 2-3		16.63	1891.429	1371.072	72.5	--	--
Interfase 3-4		16.63	1891.430	1401.438	74.1	--	--
Interfase 4-5		19.19	2222.298	1401.440	63.1	--	--
Interfase 5-6		19.49	2264.422	1402.169	61.9	--	--
Interfase 6-7		19.75	2300.437	1402.169	61.0	--	--
Cara interior		19.84	2314.071	1402.171	60.6	--	--
Aire interior		20.00	2336.951	1402.171	60.0		

donde:

θ : Temperatura, °C.

P_{sat} : Presión de saturación del vapor de agua, Pa.

P_n : Presión del vapor de agua, Pa.

ϕ : Humedad relativa, %.

g_c : Densidad de flujo de condensación, g/(m²·mes).

M_a : Contenido acumulado de humedad por unidad de superficie, g/m².

>> Representación gráfica (Abril)

Cálculo de condensaciones intersticiales en el mes de Mayo.

Cubierta 3 - Inclinadas aulas	θ (°C)	P_{sat} (Pa)	P_n (%)	ϕ (g/(m²·mes))	g_c (g/m²)	M_a
Aire exterior	15.30	1737.605	1164.195	67.0		

Cara exterior		15.34	1741.576	1164.195	66.8	--	--
Interfase 1-2		15.34	1741.577	1741.577	100.0	-0.109	--
Interfase 2-3		18.11	2077.547	1740.915	83.8	--	--
Interfase 3-4		18.11	2077.548	1410.149	67.9	--	--
Interfase 4-5		19.55	2272.179	1410.132	62.1	--	--
Interfase 5-6		19.72	2296.123	1402.194	61.1	--	--
Interfase 6-7		19.86	2316.458	1402.191	60.5	--	--
Cara interior		19.91	2324.125	1402.171	60.3	--	--
Aire interior		20.00	2336.951	1402.171	60.0		

donde:

θ : Temperatura, °C.

Psat: Presión de saturación del vapor de agua, Pa.

Pn: Presión del vapor de agua, Pa.

ϕ : Humedad relativa, %.

gc: Densidad de flujo de condensación, g/(m²·mes).

Ma: Contenido acumulado de humedad por unidad de superficie, g/m².

>> Representación gráfica (Mayo)

Cálculo de condensaciones intersticiales en el mes de Junio.

Cubierta 3 - Inclinadas aulas	θ (°C)	Psat (Pa)	Pn (%)	ϕ (g/(m²·mes))	gc (g/m²)	Ma
Aire exterior		19.80	2308.176	1431.069	62.0	
Cara exterior		19.80	2308.393	1431.069	62.0	--
Interfase 1-2		19.80	2308.393	1416.806	61.4	--

Interfase 2-3	19.92	2325.362	1416.778	60.9	--	--
Interfase 3-4	19.92	2325.362	1402.515	60.3	--	--
Interfase 4-5	19.98	2334.162	1402.514	60.1	--	--
Interfase 5-6	19.99	2335.201	1402.172	60.0	--	--
Interfase 6-7	19.99	2336.076	1402.172	60.0	--	--
Cara interior	20.00	2336.404	1402.171	60.0	--	--
Aire interior	20.00	2336.951	1402.171	60.0		

donde:

θ : Temperatura, °C.

P_{sat} : Presión de saturación del vapor de agua, Pa.

P_n : Presión del vapor de agua, Pa.

ϕ : Humedad relativa, %.

g_c : Densidad de flujo de condensación, g/(m²·mes).

M_a : Contenido acumulado de humedad por unidad de superficie, g/m².

>> Representación gráfica (Junio)

Cálculo de condensaciones intersticiales en el mes de Julio.

Cubierta 3 - Inclinadas aulas	θ (°C)	P_{sat} (Pa)	P_n (%)	ϕ (g/(m²·mes))	g_c (g/m²)	M_a
Aire exterior	23.50	2893.848	1533.739	53.0		
Cara exterior	23.47	2889.235	1533.739	53.1	--	--
Interfase 1-2	23.47	2889.235	1468.803	50.8	--	--
Interfase 2-3	21.41	2548.107	1468.673	57.6	--	--

Interfase 3-4	21.41	2548.107	1403.737	55.1	--	--
Interfase 4-5	20.34	2386.229	1403.734	58.8	--	--
Interfase 5-6	20.21	2367.766	1402.175	59.2	--	--
Interfase 6-7	20.11	2352.314	1402.175	59.6	--	--
Cara interior	20.07	2346.543	1402.171	59.8	--	--
Aire interior	20.00	2336.951	1402.171	60.0		

donde:

θ : Temperatura, °C.

P_{sat} : Presión de saturación del vapor de agua, Pa.

P_n : Presión del vapor de agua, Pa.

ϕ : Humedad relativa, %.

g_c : Densidad de flujo de condensación, g/(m²·mes).

M_a : Contenido acumulado de humedad por unidad de superficie, g/m².

>> Representación gráfica (Julio)

Cálculo de condensaciones intersticiales en el mes de Agosto.

Cubierta 3 - Inclinadas aulas	θ (°C)	P_{sat} (Pa)	P_n (%)	ϕ (g/(m²·mes))	g_c (g/m²)	M_a
Aire exterior	22.80	2774.025	1497.973	54.0		
Cara exterior	22.78	2770.468	1497.973	54.1	--	--
Interfase 1-2	22.78	2770.467	1450.690	52.4	--	--
Interfase 2-3	21.12	2504.591	1450.595	57.9	--	--
Interfase 3-4	21.12	2504.590	1403.311	56.0	--	--
Interfase 4-5	20.27	2376.302	1403.309	59.1	--	--

Interfase 5-6	20.17	2361.575	1402.174	59.4	--	--
Interfase 6-7	20.08	2349.235	1402.174	59.7	--	--
Cara interior	20.05	2344.622	1402.171	59.8	--	--
Aire interior	20.00	2336.951	1402.171	60.0		

donde:

θ : Temperatura, °C.

Psat: Presión de saturación del vapor de agua, Pa.

Pn: Presión del vapor de agua, Pa.

ϕ : Humedad relativa, %.

gc: Densidad de flujo de condensación, g/(m²·mes).

Ma: Contenido acumulado de humedad por unidad de superficie, g/m².

>> Representación gráfica (Agosto)

Cálculo de condensaciones intersticiales en el mes de Septiembre.

Cubierta 3 - Inclinadas aulas	θ (°C)	Psat (Pa)	Pn (%)	ϕ (g/(m ² ·mes))	gc	Ma (g/m ²)
Aire exterior	19.50	2265.595	1382.013	61.0		
Cara exterior	19.50	2266.127	1382.013	61.0	--	--
Interfase 1-2	19.50	2266.127	1391.962	61.4	--	--
Interfase 2-3	19.80	2308.071	1391.982	60.3	--	--
Interfase 3-4	19.80	2308.072	1401.931	60.7	--	--
Interfase 4-5	19.95	2329.985	1401.931	60.2	--	--
Interfase 5-6	19.97	2332.578	1402.170	60.1	--	--

Interfase 6-7		19.98	2334.764	1402.170	60.1	--	--
Cara interior		19.99	2335.584	1402.171	60.0	--	--
Aire interior		20.00	2336.951	1402.171	60.0	--	--

donde:

θ : Temperatura, °C.

Psat: Presión de saturación del vapor de agua, Pa.

Pn: Presión del vapor de agua, Pa.

ϕ : Humedad relativa, %.

gc: Densidad de flujo de condensación, g/(m²·mes).

Ma: Contenido acumulado de humedad por unidad de superficie, g/m².

>> Representación gráfica (Septiembre)

Cálculo de condensaciones intersticiales en el mes de Octubre.

Cubierta 3 - Inclinadas aulas	θ (°C)	Psat (Pa)	Pn (%)	ϕ (g/(m²·mes))	gc (g/m²)	Ma
Aire exterior	14.10	1608.128	1157.852	72.0	--	--
Cara exterior	14.14	1612.787	1157.852	71.8	--	--
Interfase 1-2	14.14	1612.788	1278.437	79.3	--	--
Interfase 2-3	17.63	2015.502	1278.678	63.4	--	--
Interfase 3-4	17.63	2015.502	1399.262	69.4	--	--
Interfase 4-5	19.43	2255.895	1399.268	62.0	--	--
Interfase 5-6	19.64	2285.800	1402.162	61.3	--	--
Interfase 6-7	19.82	2311.252	1402.163	60.7	--	--
Cara interior	19.89	2320.860	1402.171	60.4	--	--

Aire interior	20.00	2336.951	1402.171	60.0
---------------	-------	----------	----------	------

donde:

θ : Temperatura, °C.

P_{sat} : Presión de saturación del vapor de agua, Pa.

P_n : Presión del vapor de agua, Pa.

ϕ : Humedad relativa, %.

g_c : Densidad de flujo de condensación, g/(m²·mes).

M_a : Contenido acumulado de humedad por unidad de superficie, g/m².

>> Representación gráfica (Octubre)

Cálculo de condensaciones intersticiales en el mes de Noviembre.

Cubierta 3 - Inclinadas aulas	θ (°C)	P_{sat} (Pa)	P_n (%)	ϕ (g/(m²·mes))	g_c (g/m²)	M_a
Aire exterior	9.00	1147.455	906.489	79.0	--	--
Cara exterior	9.08	1153.920	906.489	78.6	--	--
Interfase 1-2	9.08	1153.921	1151.135	99.8	--	--
Interfase 2-3	15.58	1769.541	1151.624	65.1	--	--
Interfase 3-4	15.58	1769.542	1396.270	78.9	--	--
Interfase 4-5	18.94	2187.822	1396.282	63.8	--	--
Interfase 5-6	19.33	2242.376	1402.154	62.5	--	--
Interfase 6-7	19.67	2289.236	1402.156	61.2	--	--
Cara interior	19.79	2307.029	1402.171	60.8	--	--
Aire interior	20.00	2336.951	1402.171	60.0	--	--

donde:

θ : Temperatura, °C.

P_{sat} : Presión de saturación del vapor de agua, Pa.

P_n : Presión del vapor de agua, Pa.

ϕ : Humedad relativa, %.

g_c : Densidad de flujo de condensación, g/(m²·mes).

M_a : Contenido acumulado de humedad por unidad de superficie, g/m².

>> Representación gráfica (Noviembre)

Cálculo de condensaciones intersticiales en el mes de Diciembre.

Cubierta 3 - Inclinadas aulas	θ (°C)	P_{sat} (Pa)	P_n (%)	ϕ (g/(m ² ·mes))	g_c (g/m ²)	M_a (g/m ²)
Aire exterior	5.90	928.177	751.823	81.0	--	--
Cara exterior	6.01	935.058	751.823	80.4	--	--
Interfase 1-2	6.01	935.059	935.059	100.0	0.146	0.146
Interfase 2-3	14.34	1633.257	935.969	57.3	--	--
Interfase 3-4	14.34	1633.258	1391.191	85.2	--	--
Interfase 4-5	18.64	2147.328	1391.214	64.8	--	--
Interfase 5-6	19.15	2216.335	1402.139	63.3	--	--
Interfase 6-7	19.57	2275.944	1402.143	61.6	--	--
Cara interior	19.73	2298.657	1402.171	61.0	--	--
Aire interior	20.00	2336.951	1402.171	60.0	--	--

donde:

θ : Temperatura, °C.

P_{sat} : Presión de saturación del vapor de agua, Pa.

P_n : Presión del vapor de agua, Pa.

ϕ : Humedad relativa, %.

g_c : Densidad de flujo de condensación, g/(m²·mes).

M_a : Contenido acumulado de humedad por unidad de superficie, g/m².

>> Representación gráfica (Diciembre)

Evolución anual de la condensación acumulada.

Se presentan a continuación las cantidades totales de agua condensada en el elemento constructivo para cada situación de cálculo, así como la evolución de la humedad acumulada a lo largo del año.

El primer mes con condensación en alguna interfase es diciembre, aunque la cantidad neta anual es nula, por producirse la evaporación suficiente en los meses siguientes.

	Ene	Feb	Mar	Abr	May	Jun	Jul	Ago	Sep	Oct	Nov	Dic

Evolución de la cantidad de agua condensada.												
----- -----	----- -----	----- -----	----- -----	----- -----	----- -----	----- -----	----- -----	----- -----	----- -----	----- -----	----- -----	----- -----
gc g/(m ² ·mes) 0.157 0.074 -- -- -- -- -- -- -- -- -- 0.146												
gev g/(m ² ·mes) -- -- 0.054 0.214 0.109 -- -- -- -- -- -- --												
Ma (g/m ²) 0.302 0.377 0.323 0.109 -- -- -- -- -- -- -- 0.146												
----- -----	----- -----	----- -----	----- -----	----- -----	----- -----	----- -----	----- -----	----- -----	----- -----	----- -----	----- -----	----- -----

donde:

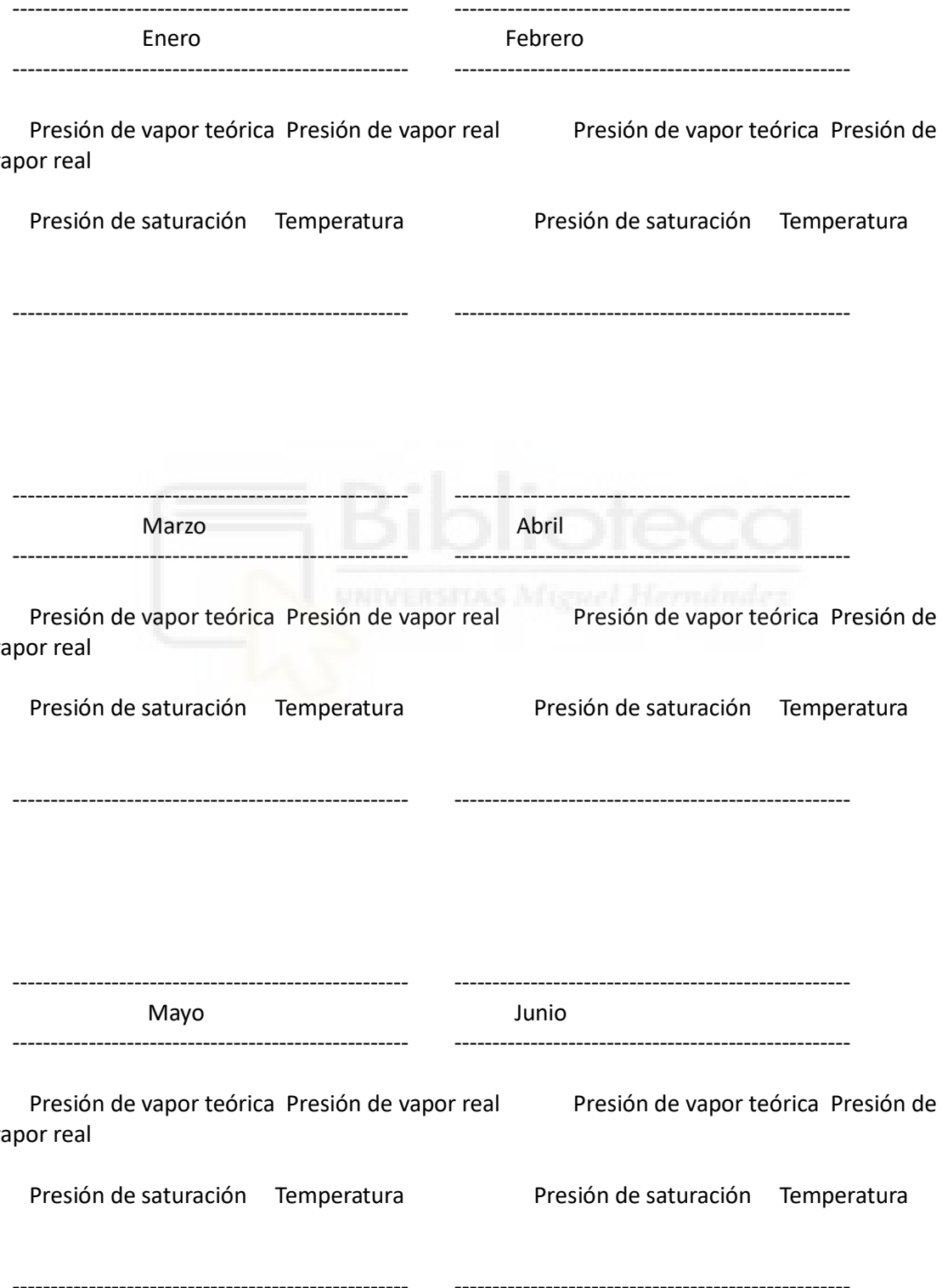
g_c : Densidad de flujo de condensación, g/(m²·mes).

gev : Densidad de flujo de evaporación, g/(m²·mes).

M_a : Contenido acumulado de humedad por unidad de superficie, g/m².

>> Representación gráfica (Condensación acumulada)

4.2.6. Representación gráfica de las condensaciones intersticiales previstas



Julio

Agosto

Presión de vapor teórica Presión de vapor real
vapor real

Presión de saturación Temperatura

Presión de saturación Temperatura

Septiembre

Octubre

Presión de vapor teórica Presión de vapor real
vapor real

Presión de saturación Temperatura

Presión de saturación Temperatura

Noviembre

Diciembre

Presión de vapor teórica Presión de vapor real
vapor real

Presión de saturación Temperatura

Presión de saturación Temperatura

Condensación acumulada

5. SALAS

5.1. Cerramiento exterior

5.1.1. Resultados del cálculo de condensaciones

5.1.1.1. Condensación superficial

$f_{RSI} = 0.954 \geq f_{RSI,mín} = 0.772$

El elemento constructivo no presenta condensaciones superficiales.

donde:

f_{RSI} : Factor de resistencia superficial interior, calculado como $(1 - U \cdot R_{SI})$, donde $U = 0.185$ $W/m^2 \cdot K$ y $R_{SI} = 0.25$ $m^2 \cdot K/W$.

$f_{RSI,mín}$: Factor de resistencia superficial interior mínimo, necesario para evitar la humedad superficial crítica, calculado considerando un valor de $\phi_{SI,cr} \leq 0.8$.

5.1.1.2. Condensación intersticial

El elemento constructivo presenta condensaciones intersticiales en los meses de: diciembre, enero, febrero. Sin embargo, la cantidad de condensación acumulada en cada periodo anual no es superior a la cantidad de evaporación

possible en el mismo periodo.

5.1.2. Condiciones higrotérmicas de cálculo

Las condiciones higrotérmicas exteriores e interiores utilizadas para realizar el cálculo de condensaciones son las siguientes:

	Ene	Feb	Mar	Abr	May	Jun	Jul	Ago	Sep	Oct	Nov	Dic
Condiciones exteriores												
Temperatura, θ_e (°C)	5.5	6.8	8.8	11.6	15.3	19.8	23.5	22.8	19.5	14.1	9.0	5.9
Humedad relativa, ϕ_e (%)	80	76	69	68	67	62	53	54	61	72	79	81
Condiciones interiores												
Temperatura, θ_i (°C)	20.0	20.0	20.0	20.0	20.0	20.0	20.0	20.0	20.0	20.0	20.0	20.0
Humedad relativa, ϕ_i (%)	60	60	60	60	60	60	60	60	60	60	60	60

El diagrama psicrométrico asociado al emplazamiento, con una altura sobre el nivel del mar de 679 m, se muestra a continuación, representando mediante segmentos de recta las transiciones desde cada condición exterior de cálculo a su correspondiente condición interior.

5.1.3. Descripción del elemento constructivo

El esquema de la composición del elemento constructivo, en sección, es el siguiente:

Las características térmicas y las propiedades de difusión del vapor de agua de las capas homogéneas de caras paralelas que conforman el modelo de cálculo del elemento constructivo son las siguientes:

	Cerramiento exterior	e (cm)	λ (W/m·K)	R (m ² ·K/W)	μ	Sd (m)
Rse			0.04			
1 Hormigón armado d > 2500		6.0	2.500	0.02400	80	4.8
2 XPS Expandido con hidrofluorcarbonos HFC [0.032 W/[mK]]		8.0	0.032	2.50000		
20 1.6						
3 Hormigón armado d > 2500		6.0	2.500	0.02400	80	4.8
4 MW Lana mineral [0.031 W/[mK]]		8.0	0.031	2.58065	1	
0.08						

5	Placa de yeso laminado [PYL] $750 < d < 900$	1.5	0.250	0.06000	4
0.06					
6	Placa de yeso laminado [PYL] $750 < d < 900$	1.5	0.250	0.06000	4
0.06					
Rsi		----- -----	0.13		
		----- -----			

donde:

e: Espesor, cm.

λ : Conductividad térmica del material, W/(m·K).

R: Resistencia térmica del material, m²·K/W.

μ : Factor de resistencia a la difusión del vapor de agua del material.

Sd: Espesor de aire equivalente frente a la difusión del vapor de agua, m.

Rse: Resistencia térmica superficial exterior del elemento, m²·K/W.

Rsi: Resistencia térmica superficial interior del elemento, m²·K/W.

La información de cálculo relativa a los parámetros higrotérmicos del elemento completo, derivada del modelo de capas homogéneas, es la siguiente:

Magnitud	Uds.	Valor
Espesor total del elemento, eT	cm	31.0
Resistencia térmica total, RT	m ² ·K/W	5.4186
Espesor de aire equivalente total, SdT	m	11.40
Transmitancia térmica, U	W/(m ² ·K)	0.185
Factor de resistencia superficial interior, fRsi	--	0.954

donde:

ET: Espesor total del elemento, cm.

RT: Resistencia térmica total del elemento, sumatorio de la resistencia térmica de cada capa, incluyendo las resistencias superficiales R_{se} y R_{si} , $\text{m}^2\cdot\text{K}/\text{W}$.

SdT: Espesor de aire equivalente total, sumatorio del espesor equivalente de cada capa del elemento, m.

U: Transmitancia térmica del elemento, calculada como la inversa de la resistencia térmica total, $\text{W}/(\text{m}^2\cdot\text{K})$.

fR_{si} : Factor de resistencia superficial interior, calculado como $(1 - U \cdot R_{si})$, donde $U = 0.185 \text{ W/m}^2\cdot\text{K}$ y $R_{si} = 0.25 \text{ m}^2\cdot\text{K}/\text{W}$.

5.1.4. Cálculo del factor de temperatura superficial interior necesario para evitar la humedad superficial crítica

Con objeto de prevenir los efectos adversos de la humedad superficial crítica, se ha limitado la humedad relativa máxima en la superficie interior a un valor de $\phi_{si,cr} \leq 0.8$.

Dadas las condiciones higrotérmicas exteriores, así como las interiores, el cálculo de $fR_{si,mín}$ queda como sigue:

	θ_e (°C)	ϕ_e (%)	θ_i (°C)	ϕ_i (%)	P_i (Pa)	$P_{sat}(\theta_{si})$ (Pa)	$\theta_{si,mín}$ (°C)	$fR_{si,mín}$
Enero	5.5	80.0	20.0	65.0	1519.02	1898.77	16.7	0.772
Febrero	6.8	76.0	20.0	65.0	1519.02	1898.77	16.7	0.749
Marzo	8.8	69.0	20.0	65.0	1519.02	1898.77	16.7	0.704
Abril	11.6	68.0	20.0	65.0	1519.02	1898.77	16.7	0.606
Mayo	15.3	67.0	20.0	65.0	1519.02	1898.77	16.7	0.295
Junio	19.8	62.0	20.0	65.0	1519.02	1898.77	16.7	0.000
Julio	23.5	53.0	20.0	65.0	1519.02	1898.77	16.7	--*
Agosto	22.8	54.0	20.0	65.0	1519.02	1898.77	16.7	--*
Septiembre	19.5	61.0	20.0	65.0	1519.02	1898.77	16.7	0.000
Octubre	14.1	72.0	20.0	65.0	1519.02	1898.77	16.7	0.439
Noviembre	9.0	79.0	20.0	65.0	1519.02	1898.77	16.7	0.699
Diciembre	5.9	81.0	20.0	65.0	1519.02	1898.77	16.7	0.765

-----|-----
*: No hay riesgo de formación de condensaciones superficiales en el paramento interior, ya que $\theta_e \geq \theta_i$.

donde:

θ_e : Temperatura del aire exterior, °C.

ϕ_e : Humedad relativa del aire exterior, %.

θ_i : Temperatura del aire interior, °C.

ϕ_i : Humedad relativa del aire interior, aumentada con un coeficiente de seguridad 5%, %.

P_i : Presión de vapor en el ambiente interior, Pa.

$P_{sat}(\theta_{si})$: Presión de saturación del vapor de agua mínima aceptable para la superficie interior, Pa.

$\theta_{si,mín}$: Mínima temperatura superficial interior aceptable, calculada en base a la presión de saturación mínima aceptable, °C.

$f_{Rsi,mín}$: Factor de resistencia superficial interior mínimo.

Dado que $f_{Rsi} = 0.954 > f_{Rsi,mín} = 0.772$, no se producen condensaciones superficiales en el elemento constructivo.

5.1.5. Cálculo de condensaciones intersticiales

Se exponen a continuación los resultados alcanzados en el cálculo de las temperaturas y presiones en cada una de las interfasas formadas en la unión entre las capas homogéneas que conforman el modelo de cálculo del elemento constructivo.

Cálculo de condensaciones intersticiales en el mes de Enero.

Cerramiento exterior	θ (°C)	P_{sat} (Pa)	P_n (%)	ϕ (g/(m ² ·mes))	g_c	M_a (g/m ²)
Aire exterior	5.50	902.765	722.212	80.0	--	--
Cara exterior	5.61	909.504	722.212	79.4	--	--

Interfase 1-2	5.67	913.569	913.569	100.0	18.301	35.016
Interfase 2-3	12.36	1435.537	1032.018	71.9	--	--
Interfase 3-4	12.43	1441.610	1387.365	96.2	--	--
Interfase 4-5	19.33	2241.913	1393.287	62.1	--	--
Interfase 5-6	19.49	2264.408	1397.729	61.7	--	--
Cara interior	19.65	2287.101	1402.171	61.3	--	--
Aire interior	20.00	2336.951	1402.171	60.0		

donde:

θ : Temperatura, °C.

P_{sat} : Presión de saturación del vapor de agua, Pa.

P_n : Presión del vapor de agua, Pa.

ϕ : Humedad relativa, %.

g_c : Densidad de flujo de condensación, g/(m²·mes).

M_a : Contenido acumulado de humedad por unidad de superficie, g/m².

>> Representación gráfica (Enero)

Cálculo de condensaciones intersticiales en el mes de Febrero.

Cerramiento exterior	θ (°C)	P_{sat} (Pa)	P_n (%)	ϕ (g/(m²·mes))	g_c	M_a (g/m²)
Aire exterior	6.80	987.670	750.629	76.0		
Cara exterior	6.90	994.308	750.629	75.5	--	--
Interfase 1-2	6.96	998.310	998.310	100.0	4.640	39.657
Interfase 2-3	13.05	1501.467	1096.216	73.0	--	--

Interfase 3-4	13.10	1507.216	1389.932	92.2	--	--
Interfase 4-5	19.39	2250.293	1394.828	62.0	--	--
Interfase 5-6	19.54	2270.831	1398.499	61.6	--	--
Cara interior	19.68	2291.532	1402.171	61.2	--	--
Aire interior	20.00	2336.951	1402.171	60.0		

donde:

θ : Temperatura, °C.

Psat: Presión de saturación del vapor de agua, Pa.

Pn: Presión del vapor de agua, Pa.

ϕ : Humedad relativa, %.

gc: Densidad de flujo de condensación, g/(m²·mes).

Ma: Contenido acumulado de humedad por unidad de superficie, g/m².

>> Representación gráfica (Febrero)

Cálculo de condensaciones intersticiales en el mes de Marzo.

Cerramiento exterior	θ (°C)	Psat (Pa)	Pn (%)	ϕ (g/(m²·mes))	gc	Ma (g/m²)
Aire exterior	8.80	1132.044	781.110	69.0		
Cara exterior	8.88	1138.392	781.110	68.6	--	--
Interfase 1-2	8.93	1142.216	1142.216	100.0	-19.201	20.456
Interfase 2-3	14.10	1608.089	1205.236	74.9	--	--
Interfase 3-4	14.15	1613.269	1394.293	86.4	--	--
Interfase 4-5	19.48	2263.240	1397.444	61.7	--	--
Interfase 5-6	19.61	2280.742	1399.807	61.4	--	--

Cara interior	19.73	2298.363	1402.171	61.0	--	--
Aire interior	20.00	2336.951	1402.171	60.0		

donde:

θ : Temperatura, °C.

$Psat$: Presión de saturación del vapor de agua, Pa.

Pn : Presión del vapor de agua, Pa.

ϕ : Humedad relativa, %.

gc : Densidad de flujo de condensación, g/(m²·mes).

Ma : Contenido acumulado de humedad por unidad de superficie, g/m².

>> Representación gráfica (Marzo)

Cálculo de condensaciones intersticiales en el mes de Abril.

Cerramiento exterior	θ (°C)	$Psat$ (Pa)	Pn (%)	ϕ (g/(m²·mes))	gc	Ma (g/m²)
Aire exterior	11.60	1365.261	928.378	68.0		
Cara exterior	11.66	1370.871	928.378	67.7	--	--
Interfase 1-2	11.70	1374.247	1374.247	100.0	-20.456	--
Interfase 2-3	15.57	1768.501	1381.016	78.1	--	--
Interfase 3-4	15.61	1772.722	1401.325	79.0	--	--
Interfase 4-5	19.61	2281.474	1401.663	61.4	--	--
Interfase 5-6	19.71	2294.683	1401.917	61.1	--	--
Cara interior	19.80	2307.958	1402.171	60.8	--	--
Aire interior	20.00	2336.951	1402.171	60.0		

donde:

θ : Temperatura, °C.

P_{sat} : Presión de saturación del vapor de agua, Pa.

P_n : Presión del vapor de agua, Pa.

ϕ : Humedad relativa, %.

g_c : Densidad de flujo de condensación, g/(m²·mes).

M_a : Contenido acumulado de humedad por unidad de superficie, g/m².

>> Representación gráfica (Abril)

Cálculo de condensaciones intersticiales en el mes de Mayo.

Cerramiento exterior (°C)	θ (Pa)	P_{sat} (Pa)	P_n (%)	ϕ (g/(m²·mes))	g_c	M_a (g/m²)
Aire exterior	15.30	1737.605	1164.195	67.0		
Cara exterior	15.33	1741.480	1164.195	66.9	--	--
Interfase 1-2	15.36	1743.809	1264.395	72.5	--	--
Interfase 2-3	17.52	2001.891	1297.795	64.8	--	--
Interfase 3-4	17.54	2004.523	1397.996	69.7	--	--
Interfase 4-5	19.78	2305.767	1399.666	60.7	--	--
Interfase 5-6	19.84	2313.218	1400.918	60.6	--	--
Cara interior	19.89	2320.690	1402.171	60.4	--	--
Aire interior	20.00	2336.951	1402.171	60.0		

donde:

θ : Temperatura, °C.

Psat: Presión de saturación del vapor de agua, Pa.

Pn: Presión del vapor de agua, Pa.

ϕ : Humedad relativa, %.

gc: Densidad de flujo de condensación, g/(m²·mes).

Ma: Contenido acumulado de humedad por unidad de superficie, g/m².

>> Representación gráfica (Mayo)

Cálculo de condensaciones intersticiales en el mes de Junio.

Cerramiento exterior	θ (°C)	Psat (Pa)	Pn (%)	ϕ (g/(m ² ·mes))	gc (g/m ²)	Ma (g/m ²)
Aire exterior	19.80	2308.176	1431.069	62.0	--	--
Cara exterior	19.80	2308.387	1431.069	62.0	--	--
Interfase 1-2	19.80	2308.514	1418.901	61.5	--	--
Interfase 2-3	19.89	2321.753	1414.845	60.9	--	--
Interfase 3-4	19.90	2321.880	1402.678	60.4	--	--
Interfase 4-5	19.99	2335.617	1402.475	60.0	--	--
Interfase 5-6	19.99	2335.937	1402.323	60.0	--	--
Cara interior	20.00	2336.257	1402.171	60.0	--	--
Aire interior	20.00	2336.951	1402.171	60.0	--	--

donde:

θ : Temperatura, °C.

Psat: Presión de saturación del vapor de agua, Pa.

Pn: Presión del vapor de agua, Pa.

ϕ : Humedad relativa, %.

gc: Densidad de flujo de condensación, g/(m²·mes).

Ma: Contenido acumulado de humedad por unidad de superficie, g/m².

>> Representación gráfica (Junio)

Cálculo de condensaciones intersticiales en el mes de Julio.

Cerramiento exterior	θ (°C)	Psat (Pa)	Pn (%)	ϕ (g/(m ² ·mes))	gc (g/m ²)	Ma
Aire exterior	23.50	2893.848	1533.739	53.0	--	--
Cara exterior	23.47	2889.346	1533.739	53.1	--	--
Interfase 1-2	23.46	2886.648	1478.342	51.2	--	--
Interfase 2-3	21.84	2617.367	1459.876	55.8	--	--
Interfase 3-4	21.83	2614.893	1404.479	53.7	--	--
Interfase 4-5	20.16	2360.412	1403.556	59.5	--	--
Interfase 5-6	20.12	2354.763	1402.863	59.6	--	--
Cara interior	20.08	2349.125	1402.171	59.7	--	--
Aire interior	20.00	2336.951	1402.171	60.0	--	--

donde:

θ : Temperatura, °C.

Psat: Presión de saturación del vapor de agua, Pa.

Pn: Presión del vapor de agua, Pa.

ϕ : Humedad relativa, %.

gc: Densidad de flujo de condensación, g/(m²·mes).

Ma: Contenido acumulado de humedad por unidad de superficie, g/m².

>> Representación gráfica (Julio)

Cálculo de condensaciones intersticiales en el mes de Agosto.

Cerramiento exterior	θ (°C)	Psat (Pa)	Pn (%)	ϕ (g/(m ² ·mes))	gc	Ma (g/m ²)
Aire exterior	22.80	2774.025	1497.973	54.0		
Cara exterior	22.78	2770.554	1497.973	54.1	--	--
Interfase 1-2	22.77	2768.473	1457.635	52.7	--	--
Interfase 2-3	21.48	2559.044	1444.189	56.4	--	--
Interfase 3-4	21.46	2557.103	1403.851	54.9	--	--
Interfase 4-5	20.13	2355.704	1403.179	59.6	--	--
Interfase 5-6	20.10	2351.191	1402.675	59.7	--	--
Cara interior	20.07	2346.686	1402.171	59.8	--	--
Aire interior	20.00	2336.951	1402.171	60.0		

donde:

θ : Temperatura, °C.

Psat: Presión de saturación del vapor de agua, Pa.

Pn: Presión del vapor de agua, Pa.

ϕ : Humedad relativa, %.

gc: Densidad de flujo de condensación, g/(m²·mes).

Ma: Contenido acumulado de humedad por unidad de superficie, g/m².

>> Representación gráfica (Agosto)

Cálculo de condensaciones intersticiales en el mes de Septiembre.

Cerramiento exterior	θ (°C)	Psat (Pa)	Pn (%)	ϕ (g/(m ² ·mes))	gc (g/m ²)	Ma (g/m ²)
Aire exterior	19.50	2265.595	1382.013	61.0	--	--
Cara exterior	19.50	2266.114	1382.013	61.0	--	--
Interfase 1-2	19.51	2266.426	1390.500	61.4	--	--
Interfase 2-3	19.74	2299.118	1393.329	60.6	--	--
Interfase 3-4	19.74	2299.434	1401.817	61.0	--	--
Interfase 4-5	19.98	2333.616	1401.958	60.1	--	--
Interfase 5-6	19.98	2334.416	1402.065	60.1	--	--
Cara interior	19.99	2335.216	1402.171	60.0	--	--
Aire interior	20.00	2336.951	1402.171	60.0	--	--

donde:

θ : Temperatura, °C.

Psat: Presión de saturación del vapor de agua, Pa.

Pn: Presión del vapor de agua, Pa.

ϕ : Humedad relativa, %.

gc: Densidad de flujo de condensación, g/(m²·mes).

Ma: Contenido acumulado de humedad por unidad de superficie, g/m².

>> Representación gráfica (Septiembre)

Cálculo de condensaciones intersticiales en el mes de Octubre.

Cerramiento exterior (°C)	θ (Pa)	Psat (Pa)	Pn (%)	ϕ (g/(m ² ·mes))	gc	Ma (g/m ²)
Aire exterior	14.10	1608.128	1157.852	72.0		
Cara exterior	14.14	1612.675	1157.852	71.8	--	--
Interfase 1-2	14.17	1615.408	1260.723	78.0	--	--
Interfase 2-3	16.89	1923.406	1295.013	67.3	--	--
Interfase 3-4	16.92	1926.596	1397.884	72.6	--	--
Interfase 4-5	19.73	2297.864	1399.599	60.9	--	--
Interfase 5-6	19.79	2307.192	1400.885	60.7	--	--
Cara interior	19.86	2316.554	1402.171	60.5	--	--
Aire interior	20.00	2336.951	1402.171	60.0		

donde:

θ: Temperatura, °C.

Psat: Presión de saturación del vapor de agua, Pa.

Pn: Presión del vapor de agua, Pa.

ϕ: Humedad relativa, %.

gc: Densidad de flujo de condensación, g/(m²·mes).

Ma: Contenido acumulado de humedad por unidad de superficie, g/m².

>> Representación gráfica (Octubre)

Cálculo de condensaciones intersticiales en el mes de Noviembre.

Cerramiento exterior (°C)	θ (Pa)	Psat (Pa)	Pn (%)	ϕ (g/(m ² ·mes))	gc	Ma (g/m ²)
Aire exterior	9.00	1147.455	906.489	79.0		

Cara exterior	9.08	1153.764	906.489	78.6	--	--
Interfase 1-2	9.13	1157.564	1115.197	96.3	--	--
Interfase 2-3	14.20	1619.108	1184.767	73.2	--	--
Interfase 3-4	14.25	1624.226	1393.475	85.8	--	--
Interfase 4-5	19.49	2264.538	1396.953	61.7	--	--
Interfase 5-6	19.61	2281.736	1399.562	61.3	--	--
Cara interior	19.74	2299.048	1402.171	61.0	--	--
Aire interior	20.00	2336.951	1402.171	60.0		

donde:

θ : Temperatura, °C.

P_{sat} : Presión de saturación del vapor de agua, Pa.

P_n : Presión del vapor de agua, Pa.

ϕ : Humedad relativa, %.

g_c : Densidad de flujo de condensación, g/(m²·mes).

M_a : Contenido acumulado de humedad por unidad de superficie, g/m².

>> Representación gráfica (Noviembre)

Cálculo de condensaciones intersticiales en el mes de Diciembre.

Cerramiento exterior	θ (°C)	P_{sat} (Pa)	P_n (%)	ϕ (g/(m²·mes))	g_c	M_a (g/m²)
Aire exterior	5.90	928.177	751.823	81.0		
Cara exterior	6.00	934.891	751.823	80.4	--	--
Interfase 1-2	6.07	938.941	938.941	100.0	16.715	16.715

Interfase 2-3		12.57	1455.547	1051.239	72.2	--	--
Interfase 3-4		12.63	1461.524	1388.133	95.0	--	--
Interfase 4-5		19.35	2244.489	1393.748	62.1	--	--
Interfase 5-6		19.51	2266.383	1397.960	61.7	--	--
Cara interior		19.66	2288.463	1402.171	61.3	--	--
Aire interior		20.00	2336.951	1402.171	60.0		

donde:

θ : Temperatura, °C.

P_{sat} : Presión de saturación del vapor de agua, Pa.

P_n : Presión del vapor de agua, Pa.

ϕ : Humedad relativa, %.

gc : Densidad de flujo de condensación, g/(m²·mes).

Ma : Contenido acumulado de humedad por unidad de superficie, g/m².

>> Representación gráfica (Diciembre)

Evolución anual de la condensación acumulada.

Se presentan a continuación las cantidades totales de agua condensada en el elemento constructivo para cada situación de cálculo, así como la evolución de la humedad acumulada a lo largo del año.

El primer mes con condensación en alguna interfase es diciembre, aunque la cantidad neta anual es nula, por producirse la evaporación suficiente en los meses siguientes.

	Ene	Feb	Mar	Abr	May	Jun	Jul	Ago	Sep	Oct	Nov	Dic
Evolución de la cantidad de agua condensada.												
gc	g/(m²·mes)	18.301	4.640	--	--	--	--	--	--	--	--	16.715

gev	$g/(m^2 \cdot \text{mes})$	--	--	19.201	20.456	--	--	--	--	--	--	--	--
Ma	(g/m^2)	35.016	39.657	20.456	--	--	--	--	--	--	--	--	16.715

donde:

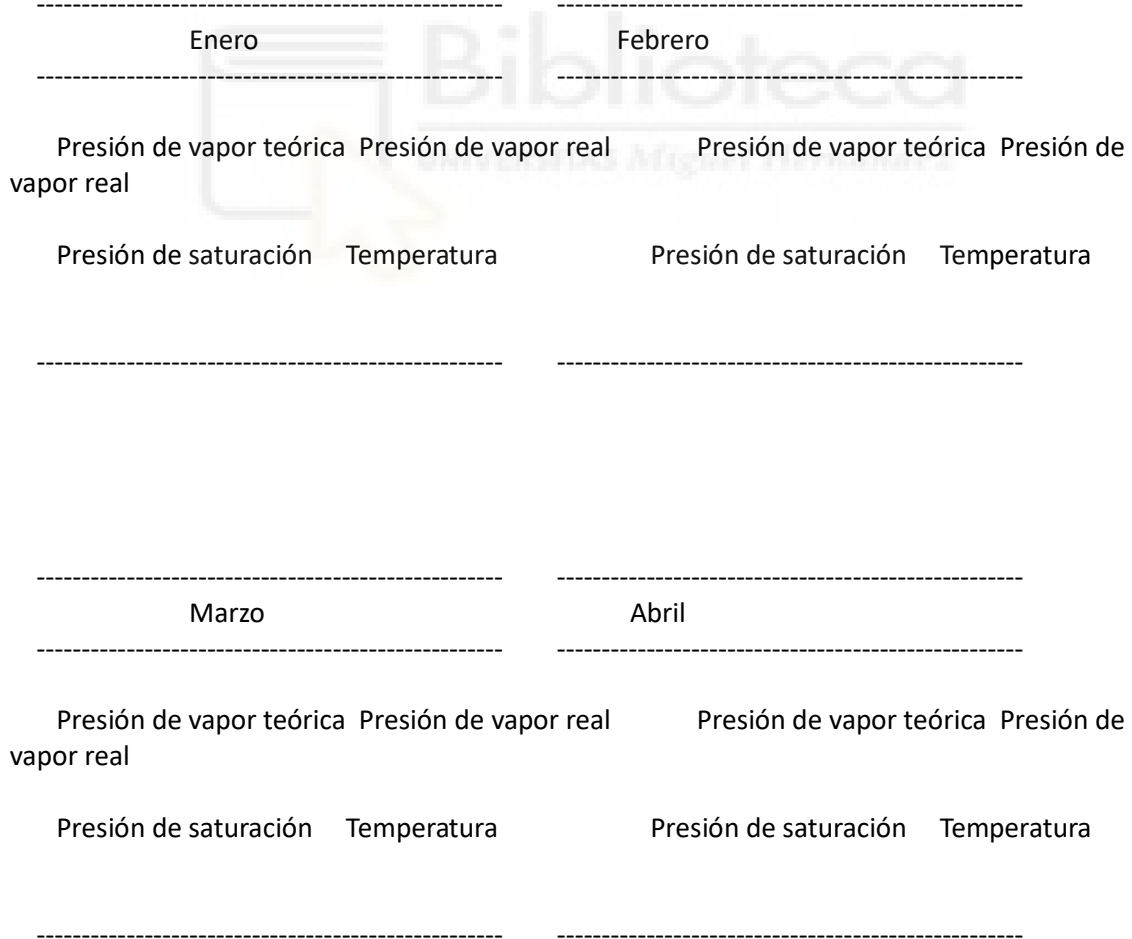
gc: Densidad de flujo de condensación, $g/(m^2 \cdot \text{mes})$.

gev: Densidad de flujo de evaporación, $g/(m^2 \cdot \text{mes})$.

Ma: Contenido acumulado de humedad por unidad de superficie, g/m^2 .

>> Representación gráfica (Condensación acumulada)

5.1.6. Representación gráfica de las condensaciones intersticiales previstas



Mayo	Junio
Presión de vapor teórica vapor real	Presión de vapor teórica vapor real
Presión de saturación Temperatura	Presión de saturación Temperatura
Julio	Agosto
Presión de vapor teórica vapor real	Presión de vapor teórica vapor real
Presión de saturación Temperatura	Presión de saturación Temperatura
Septiembre	Octubre
Presión de vapor teórica vapor real	Presión de vapor teórica vapor real
Presión de saturación Temperatura	Presión de saturación Temperatura
Noviembre	Diciembre

Presión de vapor teórica Presión de vapor real
vapor real

Presión de saturación Temperatura

Presión de vapor teórica Presión de

Presión de saturación Temperatura

Condensación acumulada

5.2. Cubierta 1-Polivalente

5.2.1. Resultados del cálculo de condensaciones

5.2.1.1. Condensación superficial

$$f_{RSi} = 0.952 \geq f_{RSi,mín} = 0.772$$

El elemento constructivo no presenta condensaciones superficiales.

donde:

f_{RSi} : Factor de resistencia superficial interior, calculado como $(1 - U \cdot R_{Si})$, donde $U = 0.192 \text{ W/m}^2 \cdot \text{K}$ y $R_{Si} = 0.25 \text{ m}^2 \cdot \text{K/W}$.

$f_{RSi,mín}$: Factor de resistencia superficial interior mínimo, necesario para evitar la humedad superficial crítica,
calculado considerando un valor de $\phi_{Si,cr} \leq 0.8$.

5.2.1.2. Condensación intersticial

El elemento constructivo presenta condensaciones intersticiales en los meses de: noviembre, diciembre, enero, febrero.

Sin embargo, la cantidad de condensación acumulada en cada periodo anual no es superior a la cantidad de evaporación posible en el mismo periodo.

5.2.2. Condiciones higrotérmicas de cálculo

Las condiciones higrotérmicas exteriores e interiores utilizadas para realizar el cálculo de condensaciones son las siguientes:

	Ene	Feb	Mar	Abr	May	Jun	Jul	Ago	Sep	Oct	Nov	Dic
<hr/>												
Condiciones exteriores												
Temperatura, θ_e (°C)	5.5	6.8	8.8	11.6	15.3	19.8	23.5	22.8	19.5	14.1	9.0	5.9
Humedad relativa, ϕ_e (%)	80	76	69	68	67	62	53	54	61	72	79	81
<hr/>												
Condiciones interiores												
Temperatura, θ_i (°C)	20.0	20.0	20.0	20.0	20.0	20.0	20.0	20.0	20.0	20.0	20.0	20.0
Humedad relativa, ϕ_i (%)	60	60	60	60	60	60	60	60	60	60	60	60
<hr/>												

El diagrama psicrométrico asociado al emplazamiento, con una altura sobre el nivel del mar de 679 m, se muestra a continuación, representando mediante segmentos de recta las transiciones desde cada condición exterior de cálculo a su correspondiente condición interior.

5.2.3. Descripción del elemento constructivo

El esquema de la composición del elemento constructivo, en sección, es el siguiente:

Las características térmicas y las propiedades de difusión del vapor de agua de las capas homogéneas de caras paralelas que conforman el modelo de cálculo del elemento constructivo son las siguientes:

Cubierta 1-Polivalente (cm)	e (W/m·K)	λ (m ² ·K/W)	R (m ² ·K/W)	μ	Sd (m)

Rse		0.04					
1	Aluminio	0.0	230.000	0.00000	1000000	100	
2	MW Lana mineral [0.031 W/[mK]]		15.0	0.031	4.83871	1	
0.15							
3	Aluminio	0.0	230.000	0.00000	1000000	100	
4	Cámara de aire		10.0	0.16000		0.01	
5	Placa de yeso laminado [PYL] 750 < d < 900		1.5	0.250	0.06000	4	
0.06							
Rsi		0.10					

donde:

e: Espesor, cm.

λ : Conductividad térmica del material, W/(m·K).

R: Resistencia térmica del material, m²·K/W.

μ : Factor de resistencia a la difusión del vapor de agua del material.

Sd: Espesor de aire equivalente frente a la difusión del vapor de agua, m.

Rse: Resistencia térmica superficial exterior del elemento, m²·K/W.

Rsi: Resistencia térmica superficial interior del elemento, m²·K/W.

La información de cálculo relativa a los parámetros higrotérmicos del elemento completo, derivada del modelo de capas homogéneas, es la siguiente:

Magnitud	Uds.	Valor
Espesor total del elemento, eT	cm	26.5
Resistencia térmica total, RT	m ² ·K/W	5.1987
Espesor de aire equivalente total, SdT	m	200.22
Transmitancia térmica, U	W/(m ² ·K)	0.192
Factor de resistencia superficial interior, fRsi	--	0.952

donde:

ET: Espesor total del elemento, cm.

RT: Resistencia térmica total del elemento, sumatorio de la resistencia térmica de cada capa, incluyendo las resistencias superficiales R_{se} y R_{si} , $\text{m}^2 \cdot \text{K}/\text{W}$.

SdT: Espesor de aire equivalente total, sumatorio del espesor equivalente de cada capa del elemento, m.

U: Transmitancia térmica del elemento, calculada como la inversa de la resistencia térmica total, $\text{W}/(\text{m}^2 \cdot \text{K})$.

fR_{si} : Factor de resistencia superficial interior, calculado como $(1 - U \cdot R_{si})$, donde $U = 0.192 \text{ W}/(\text{m}^2 \cdot \text{K})$ y $R_{si} = 0.25 \text{ m}^2 \cdot \text{K}/\text{W}$.

5.2.4. Cálculo del factor de temperatura superficial interior necesario para evitar la humedad superficial crítica

Con objeto de prevenir los efectos adversos de la humedad superficial crítica, se ha limitado la humedad relativa máxima en la superficie interior a un valor de $\phi_{si,cr} \leq 0.8$.

Dadas las condiciones higrotérmicas exteriores, así como las interiores, el cálculo de $fR_{si,mín}$ queda como sigue:

	θ_e (°C)	ϕ_e (%)	θ_i (°C)	ϕ_i (%)	P_i (Pa)	$P_{sat}(\theta_{si})$ (Pa)	$\theta_{si,mín}$ (°C)	$fR_{si,mín}$
Enero	5.5	80.0	20.0	65.0	1519.02	1898.77	16.7	0.772
Febrero	6.8	76.0	20.0	65.0	1519.02	1898.77	16.7	0.749
Marzo	8.8	69.0	20.0	65.0	1519.02	1898.77	16.7	0.704
Abril	11.6	68.0	20.0	65.0	1519.02	1898.77	16.7	0.606
Mayo	15.3	67.0	20.0	65.0	1519.02	1898.77	16.7	0.295
Junio	19.8	62.0	20.0	65.0	1519.02	1898.77	16.7	0.000
Julio	23.5	53.0	20.0	65.0	1519.02	1898.77	16.7	--*
Agosto	22.8	54.0	20.0	65.0	1519.02	1898.77	16.7	--*

Septiembre		19.5	61.0	20.0	65.0	1519.02	1898.77	16.7	0.000
Octubre		14.1	72.0	20.0	65.0	1519.02	1898.77	16.7	0.439
Noviembre		9.0	79.0	20.0	65.0	1519.02	1898.77	16.7	0.699
Diciembre		5.9	81.0	20.0	65.0	1519.02	1898.77	16.7	0.765
<hr/>									

*: No hay riesgo de formación de condensaciones superficiales en el paramento interior, ya que $\theta_e \geq \theta_i$.

donde:

θ_e : Temperatura del aire exterior, °C.

ϕ_e : Humedad relativa del aire exterior, %.

θ_i : Temperatura del aire interior, °C.

ϕ_i : Humedad relativa del aire interior, aumentada con un coeficiente de seguridad 5%, %.

P_i : Presión de vapor en el ambiente interior, Pa.

$P_{sat}(\theta_i)$: Presión de saturación del vapor de agua mínima aceptable para la superficie interior, Pa.

$\theta_{si,mín}$: Mínima temperatura superficial interior aceptable, calculada en base a la presión de saturación mínima aceptable, °C.

$f_{Rsi,mín}$: Factor de resistencia superficial interior mínimo.

Dado que $f_{Rsi} = 0.952 > f_{Rsi,mín} = 0.772$, no se producen condensaciones superficiales en el elemento constructivo.

5.2.5. Cálculo de condensaciones intersticiales

Se exponen a continuación los resultados alcanzados en el cálculo de las temperaturas y presiones en cada una de las interfasas formadas en la unión entre las capas homogéneas que conforman el modelo de cálculo del elemento constructivo.

Cálculo de condensaciones intersticiales en el mes de Enero.

Cubierta 1-Polivalente	θ (°C)	Psat (Pa)	Pn (%)	ϕ (g/(m ² ·mes))	gc	Ma (g/m ²)
Aire exterior	5.50	902.765	722.212	80.0	--	--
Cara exterior	5.61	909.790	722.212	79.4	--	--
Interfase 1-2	5.61	909.790	909.790	100.0	1.627	3.141
Interfase 2-3	19.11	2210.918	910.527	41.2	--	--
Interfase 3-4	19.11	2210.918	1401.827	63.4	--	--
Interfase 4-5	19.55	2273.171	1401.876	61.7	--	--
Cara interior	19.72	2296.908	1402.171	61.0	--	--
Aire interior	20.00	2336.951	1402.171	60.0	--	--

donde:

θ : Temperatura, °C.

Psat: Presión de saturación del vapor de agua, Pa.

Pn: Presión del vapor de agua, Pa.

ϕ : Humedad relativa, %.

gc: Densidad de flujo de condensación, g/(m²·mes).

Ma: Contenido acumulado de humedad por unidad de superficie, g/m².

>> Representación gráfica (Enero)

Cálculo de condensaciones intersticiales en el mes de Febrero.

Cubierta 1-Polivalente	θ (°C)	Psat (Pa)	Pn (%)	ϕ (g/(m ² ·mes))	gc	Ma (g/m ²)
Aire exterior	6.80	987.670	750.629	76.0	--	--
Cara exterior	6.90	994.590	750.629	75.5	--	--

Interfase 1-2		6.90	994.590	994.590	100.0	0.787	3.928
Interfase 2-3		19.19	2221.970	995.200	44.8	--	--
Interfase 3-4		19.19	2221.970	1401.886	63.1	--	--
Interfase 4-5		19.59	2278.826	1401.927	61.5	--	--
Cara interior		19.75	2300.473	1402.171	61.0	--	--
Aire interior		20.00	2336.951	1402.171	60.0		

donde:

θ : Temperatura, °C.

P_{sat} : Presión de saturación del vapor de agua, Pa.

P_n : Presión del vapor de agua, Pa.

ϕ : Humedad relativa, %.

g_c : Densidad de flujo de condensación, g/(m²·mes).

M_a : Contenido acumulado de humedad por unidad de superficie, g/m².

>> Representación gráfica (Febrero)

Cálculo de condensaciones intersticiales en el mes de Marzo.

Cubierta 1-Polivalente	(°C)	θ (Pa)	P_{sat} (Pa)	P_n (%)	ϕ (g/(m²·mes))	g_c	M_a (g/m²)
Aire exterior		8.80	1132.044	781.110	69.0		
Cara exterior		8.89	1138.662	781.110	68.6	--	--
Interfase 1-2		8.89	1138.662	1138.662	100.0	-0.507	3.422
Interfase 2-3		19.31	2239.066	1139.056	50.9	--	--
Interfase 3-4		19.31	2239.067	1401.987	62.6	--	--

Interfase 4-5		19.66	2287.551	1402.013	61.3	--	--
Cara interior		19.78	2305.968	1402.171	60.8	--	--
Aire interior		20.00	2336.951	1402.171	60.0		

donde:

θ : Temperatura, °C.

P_{sat} : Presión de saturación del vapor de agua, Pa.

P_n : Presión del vapor de agua, Pa.

ϕ : Humedad relativa, %.

g_c : Densidad de flujo de condensación, g/(m²·mes).

M_a : Contenido acumulado de humedad por unidad de superficie, g/m².

>> Representación gráfica (Marzo)

Cálculo de condensaciones intersticiales en el mes de Abril.

Cubierta 1-Polivalente	θ (°C)	P_{sat} (Pa)	P_n (%)	ϕ (g/(m²·mes))	g_c	M_a (g/m²)
Aire exterior	11.60	1365.261	928.378	68.0		
Cara exterior	11.66	1371.109	928.378	67.7	--	--
Interfase 1-2	11.66	1371.109	1371.109	100.0	-2.134	1.287
Interfase 2-3	19.48	2263.195	1371.156	60.6	--	--
Interfase 3-4	19.48	2263.195	1402.149	62.0	--	--
Interfase 4-5	19.74	2299.815	1402.152	61.0	--	--
Cara interior	19.84	2313.680	1402.171	60.6	--	--
Aire interior	20.00	2336.951	1402.171	60.0		

donde:

θ : Temperatura, °C.

Psat: Presión de saturación del vapor de agua, Pa.

Pn: Presión del vapor de agua, Pa.

ϕ : Humedad relativa, %.

gc: Densidad de flujo de condensación, g/(m²·mes).

Ma: Contenido acumulado de humedad por unidad de superficie, g/m².

>> Representación gráfica (Abril)

Cálculo de condensaciones intersticiales en el mes de Mayo.

Cubierta 1-Polivalente	θ (°C)	Psat (Pa)	Pn (%)	ϕ (g/(m ² ·mes))	gc	Ma (g/m ²)
Aire exterior	15.30	1737.605	1164.195	67.0	--	--
Cara exterior	15.34	1741.644	1164.195	66.8	--	--
Interfase 1-2	15.34	1741.645	1741.645	100.0	-1.287	--
Interfase 2-3	19.71	2295.428	1741.136	75.9	--	--
Interfase 3-4	19.71	2295.428	1402.408	61.1	--	--
Interfase 4-5	19.86	2316.108	1402.374	60.5	--	--
Cara interior	19.91	2323.905	1402.171	60.3	--	--
Aire interior	20.00	2336.951	1402.171	60.0	--	--

donde:

θ : Temperatura, °C.

Psat: Presión de saturación del vapor de agua, Pa.

Pn: Presión del vapor de agua, Pa.

ϕ : Humedad relativa, %.

gc: Densidad de flujo de condensación, g/(m²·mes).

Ma: Contenido acumulado de humedad por unidad de superficie, g/m².

>> Representación gráfica (Mayo)

Cálculo de condensaciones intersticiales en el mes de Junio.

Cubierta 1-Polivalente	θ (°C)	Psat (Pa)	Pn (%)	ϕ (g/(m ² ·mes))	gc (g/m ²)	Ma (g/m ²)
Aire exterior	19.80	2308.176	1431.069	62.0	--	--
Cara exterior	19.80	2308.396	1431.069	62.0	--	--
Interfase 1-2	19.80	2308.396	1416.636	61.4	--	--
Interfase 2-3	19.99	2335.171	1416.614	60.7	--	--
Interfase 3-4	19.99	2335.171	1402.181	60.0	--	--
Interfase 4-5	19.99	2336.061	1402.179	60.0	--	--
Cara interior	20.00	2336.395	1402.171	60.0	--	--
Aire interior	20.00	2336.951	1402.171	60.0		

donde:

θ : Temperatura, °C.

Psat: Presión de saturación del vapor de agua, Pa.

Pn: Presión del vapor de agua, Pa.

ϕ : Humedad relativa, %.

gc: Densidad de flujo de condensación, g/(m²·mes).

Ma: Contenido acumulado de humedad por unidad de superficie, g/m².

>> Representación gráfica (Junio)

Cálculo de condensaciones intersticiales en el mes de Julio.

Cubierta 1-Polivalente (°C)	θ (Pa)	Psat (Pa)	Pn (%)	ϕ (g/(m ² ·mes))	gc	Ma (g/m ²)
Aire exterior	23.50	2893.848	1533.739	53.0	--	--
Cara exterior	23.47	2889.156	1533.739	53.1	--	--
Interfase 1-2	23.47	2889.156	1468.027	50.8	--	--
Interfase 2-3	20.22	2368.298	1467.929	62.0	--	--
Interfase 3-4	20.22	2368.298	1402.217	59.2	--	--
Interfase 4-5	20.11	2352.579	1402.210	59.6	--	--
Cara interior	20.07	2346.708	1402.171	59.8	--	--
Aire interior	20.00	2336.951	1402.171	60.0	--	--

donde:

θ : Temperatura, °C.

Psat: Presión de saturación del vapor de agua, Pa.

Pn: Presión del vapor de agua, Pa.

ϕ : Humedad relativa, %.

gc: Densidad de flujo de condensación, g/(m²·mes).

Ma: Contenido acumulado de humedad por unidad de superficie, g/m².

>> Representación gráfica (Julio)

Cálculo de condensaciones intersticiales en el mes de Agosto.

Cubierta 1-Polivalente	θ (°C)	Psat (Pa)	Pn (%)	ϕ (g/(m ² ·mes))	gc	Ma (g/m ²)
Aire exterior	22.80	2774.025	1497.973	54.0	--	--
Cara exterior	22.78	2770.407	1497.973	54.1	--	--
Interfase 1-2	22.78	2770.407	1450.125	52.3	--	--
Interfase 2-3	20.17	2361.999	1450.053	61.4	--	--
Interfase 3-4	20.17	2361.999	1402.204	59.4	--	--
Interfase 4-5	20.09	2349.446	1402.199	59.7	--	--
Cara interior	20.05	2344.754	1402.171	59.8	--	--
Aire interior	20.00	2336.951	1402.171	60.0	--	--

donde:

θ : Temperatura, °C.

Psat: Presión de saturación del vapor de agua, Pa.

Pn: Presión del vapor de agua, Pa.

ϕ : Humedad relativa, %.

gc: Densidad de flujo de condensación, g/(m²·mes).

Ma: Contenido acumulado de humedad por unidad de superficie, g/m².

>> Representación gráfica (Agosto)

Cálculo de condensaciones intersticiales en el mes de Septiembre.

Cubierta 1-Polivalente	θ (°C)	Psat (Pa)	Pn (%)	ϕ (g/(m ² ·mes))	gc	Ma (g/m ²)

Aire exterior	19.50	2265.595	1382.013	61.0		
Cara exterior	19.50	2266.136	1382.013	61.0	--	--
Interfase 1-2	19.50	2266.136	1392.081	61.4	--	--
Interfase 2-3	19.97	2332.503	1392.096	59.7	--	--
Interfase 3-4	19.97	2332.503	1402.164	60.1	--	--
Interfase 4-5	19.98	2334.726	1402.165	60.1	--	--
Cara interior	19.99	2335.560	1402.171	60.0	--	--
Aire interior	20.00	2336.951	1402.171	60.0		

donde:

θ : Temperatura, °C.

P_{sat} : Presión de saturación del vapor de agua, Pa.

P_n : Presión del vapor de agua, Pa.

ϕ : Humedad relativa, %.

g_c : Densidad de flujo de condensación, g/(m²·mes).

M_a : Contenido acumulado de humedad por unidad de superficie, g/m².

>> Representación gráfica (Septiembre)

Cálculo de condensaciones intersticiales en el mes de Octubre.

Cubierta 1-Polivalente (°C)	θ (Pa)	P_{sat} (Pa)	P_n (%)	ϕ (g/(m²·mes))	g_c (g/m²)	M_a (g/m²)
Aire exterior	14.10	1608.128	1157.852	72.0		
Cara exterior	14.15	1612.867	1157.852	71.8	--	--
Interfase 1-2	14.15	1612.868	1279.877	79.4	--	--
Interfase 2-3	19.64	2284.930	1280.060	56.0	--	--

Interfase 3-4	19.64	2284.931	1402.085	61.4	--	--
Interfase 4-5	19.82	2310.813	1402.097	60.7	--	--
Cara interior	19.89	2320.585	1402.171	60.4	--	--
Aire interior	20.00	2336.951	1402.171	60.0		

donde:

θ : Temperatura, °C.

P_{sat} : Presión de saturación del vapor de agua, Pa.

P_n : Presión del vapor de agua, Pa.

ϕ : Humedad relativa, %.

g_c : Densidad de flujo de condensación, g/(m²·mes).

M_a : Contenido acumulado de humedad por unidad de superficie, g/m².

>> Representación gráfica (Octubre)

Cálculo de condensaciones intersticiales en el mes de Noviembre.

Cubierta 1-Polivalente (°C)	θ (Pa)	P_{sat} (Pa)	P_n (%)	ϕ (g/(m²·mes))	g_c	M_a (g/m²)
Aire exterior	9.00	1147.455	906.489	79.0		
Cara exterior	9.08	1154.032	906.489	78.5	--	--
Interfase 1-2	9.08	1154.032	1154.032	100.0	0.000	0.000
Interfase 2-3	19.32	2240.782	1154.403	51.5	--	--
Interfase 3-4	19.32	2240.783	1401.997	62.6	--	--
Interfase 4-5	19.66	2288.425	1402.022	61.3	--	--
Cara interior	19.79	2306.518	1402.171	60.8	--	--

Aire interior		20.00	2336.951	1402.171	60.0
---------------	--	-------	----------	----------	------

-----|-----
donde:

θ : Temperatura, °C.

Psat: Presión de saturación del vapor de agua, Pa.

Pn: Presión del vapor de agua, Pa.

ϕ : Humedad relativa, %.

gc: Densidad de flujo de condensación, g/(m²·mes).

Ma: Contenido acumulado de humedad por unidad de superficie, g/m².

>> Representación gráfica (Noviembre)

Cálculo de condensaciones intersticiales en el mes de Diciembre.

Cubierta 1-Polivalente	θ (°C)	Psat (Pa)	Pn (%)	ϕ (g/(m²·mes))	gc	Ma (g/m²)
Aire exterior	5.90	928.177	751.823	81.0	--	--
Cara exterior	6.01	935.176	751.823	80.4	--	--
Interfase 1-2	6.01	935.177	935.177	100.0	1.514	1.514
Interfase 2-3	19.13	2214.314	935.875	42.3	--	--
Interfase 3-4	19.13	2214.314	1401.845	63.3	--	--
Interfase 4-5	19.57	2274.910	1401.891	61.6	--	--
Cara interior	19.73	2298.004	1402.171	61.0	--	--
Aire interior	20.00	2336.951	1402.171	60.0	--	--

donde:

θ : Temperatura, °C.

Psat: Presión de saturación del vapor de agua, Pa.

Pn: Presión del vapor de agua, Pa.

ϕ : Humedad relativa, %.

gc: Densidad de flujo de condensación, g/(m²·mes).

Ma: Contenido acumulado de humedad por unidad de superficie, g/m².

>> Representación gráfica (Diciembre)

Evolución anual de la condensación acumulada.

Se presentan a continuación las cantidades totales de agua condensada en el elemento constructivo para cada situación de cálculo, así como la evolución de la humedad acumulada a lo largo del año.

El primer mes con condensación en alguna interfase es noviembre, aunque la cantidad neta anual es nula, por producirse la evaporación suficiente en los meses siguientes.

	Ene	Feb	Mar	Abr	May	Jun	Jul	Ago	Sep	Oct	Nov	Dic
Evolución de la cantidad de agua condensada.												
gc	g/(m ² ·mes)	1.627	0.787	--	--	--	--	--	--	--	0.000	1.514
gev	g/(m ² ·mes)	--	--	0.507	2.134	1.287	--	--	--	--	--	--
Ma	(g/m ²)	3.141	3.928	3.422	1.287	--	--	--	--	--	0.000	1.514

donde:

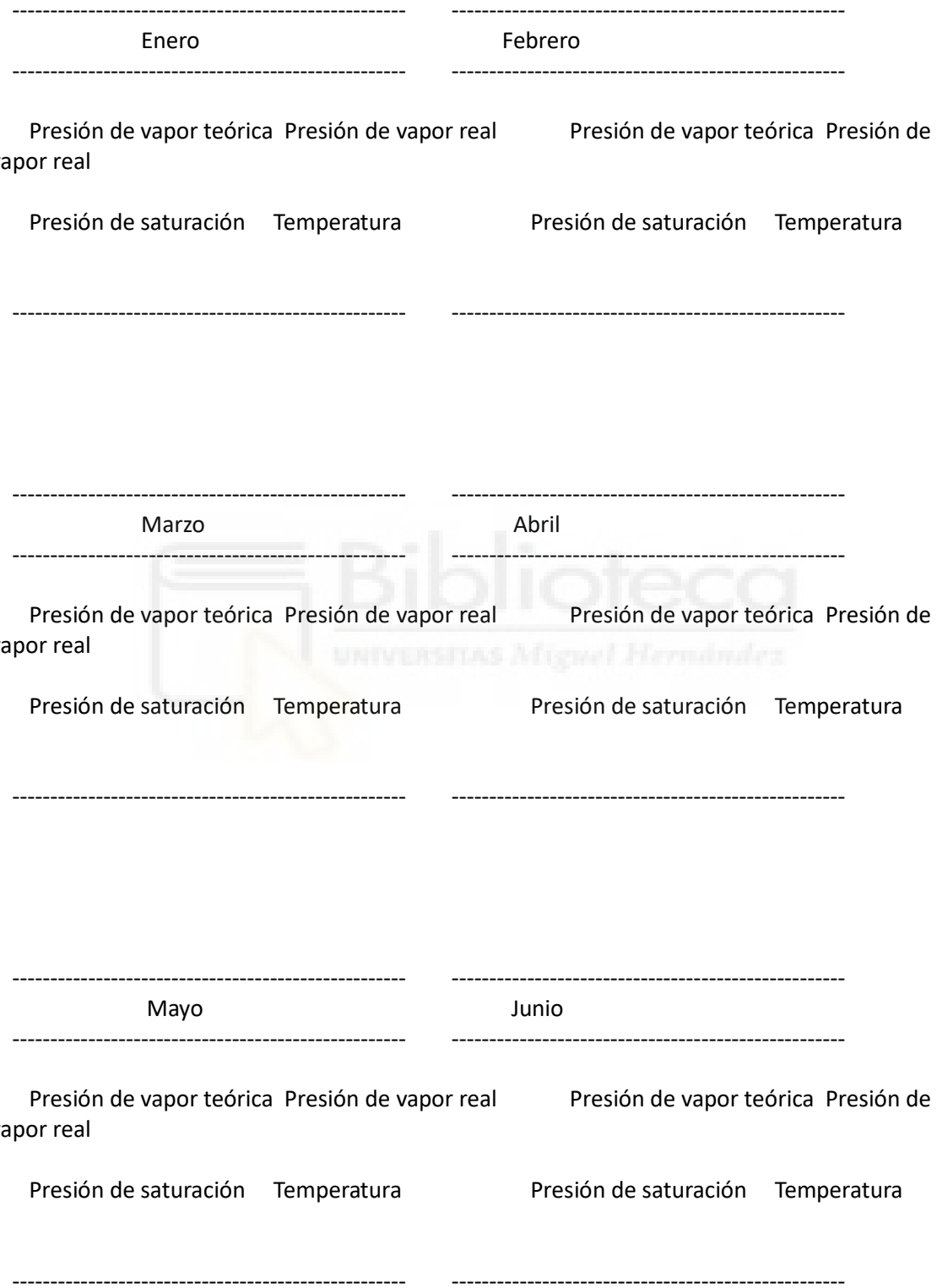
gc: Densidad de flujo de condensación, g/(m²·mes).

gev: Densidad de flujo de evaporación, g/(m²·mes).

Ma: Contenido acumulado de humedad por unidad de superficie, g/m².

>> Representación gráfica (Condensación acumulada)

5.2.6. Representación gráfica de las condensaciones intersticiales previstas



Julio

Agosto

Presión de vapor teórica Presión de vapor real
vapor real

Presión de saturación Temperatura

Presión de vapor teórica Presión de

Presión de saturación Temperatura

Septiembre

Octubre

Presión de vapor teórica Presión de vapor real
vapor real

Presión de saturación Temperatura

Presión de saturación Temperatura

Noviembre

Diciembre

Presión de vapor teórica Presión de vapor real
vapor real

Presión de saturación Temperatura

Presión de vapor teórica Presión de

Presión de saturación Temperatura

Condensación acumulada

6. BAÑOS P PRIMERA

6.1. Cerramiento exterior

6.1.1. Resultados del cálculo de condensaciones

6.1.1.1. Condensación superficial

$$f_{Rsi} = 0.954 \geq f_{Rsi,mín} = 0.772$$

El elemento constructivo no presenta condensaciones superficiales.

donde:

f_{Rsi} : Factor de resistencia superficial interior, calculado como $(1 - U \cdot Rsi)$, donde $U = 0.185$ $\text{W/m}^2 \cdot \text{K}$ y $Rsi = 0.25$ $\text{m}^2 \cdot \text{K/W}$.

$f_{Rsi,mín}$: Factor de resistencia superficial interior mínimo, necesario para evitar la humedad superficial crítica,
calculado considerando un valor de $\phi_{si,cr} \leq 0.8$.

6.1.1.2. Condensación intersticial

El elemento constructivo presenta condensaciones intersticiales en los meses de: diciembre, enero, febrero. Sin embargo, la cantidad de condensación acumulada en cada periodo anual no es superior a la cantidad de evaporación posible en el mismo periodo.

6.1.2. Condiciones higrotérmicas de cálculo

Las condiciones higrotérmicas exteriores e interiores utilizadas para realizar el cálculo de condensaciones son las siguientes:

Ene	Feb	Mar	Abr	May	Jun	Jul	Ago	Sep	Oct	Nov	Dic
-----	-----	-----	-----	-----	-----	-----	-----	-----	-----	-----	-----

Condiciones exteriores													
Temperatura, θ_e	(°C)	5.5	6.8	8.8	11.6	15.3	19.8	23.5	22.8	19.5	14.1	9.0	
5.9													
Humedad relativa, ϕ_e	(%)	80	76	69	68	67	62	53	54	61	72	79	81
Condiciones interiores													
Temperatura, θ_i	(°C)	20.0	20.0	20.0	20.0	20.0	20.0	20.0	20.0	20.0	20.0	20.0	
20.0													
Humedad relativa, ϕ_i	(%)	60	60	60	60	60	60	60	60	60	60	60	

El diagrama psicrométrico asociado al emplazamiento, con una altura sobre el nivel del mar de 679 m, se muestra a continuación, representando mediante segmentos de recta las transiciones desde cada condición exterior de cálculo a su correspondiente condición interior.

6.1.3. Descripción del elemento constructivo

El esquema de la composición del elemento constructivo, en sección, es el siguiente:

Cerramiento exterior	(cm)	e (W/m·K)	λ (m ² ·K/W)	R [m ² ·K/W]	μ	Sd (m)
Rse			0.04			
1 Hormigón armado d > 2500			6.0	2.500	0.02400	80 4.8
2 XPS Expandido con hidrofluorcarbonos HFC [0.032 W/[mK]]			8.0	0.032	2.50000	
20 1.6						
3 Hormigón armado d > 2500			6.0	2.500	0.02400	80 4.8
4 MW Lana mineral [0.031 W/[mK]]			8.0	0.031	2.58065	1
0.08						

5	Placa de yeso laminado [PYL] 750 < d < 900	1.5	0.250	0.06000	4
0.06					
6	Placa de yeso laminado [PYL] 750 < d < 900	1.5	0.250	0.06000	4
0.06					
Rsi		0.13			

donde:

e: Espesor, cm.

λ : Conductividad térmica del material, W/(m·K).

R: Resistencia térmica del material, m²·K/W.

μ : Factor de resistencia a la difusión del vapor de agua del material.

Sd: Espesor de aire equivalente frente a la difusión del vapor de agua, m.

Rse: Resistencia térmica superficial exterior del elemento, m²·K/W.

Rsi: Resistencia térmica superficial interior del elemento, m²·K/W.

La información de cálculo relativa a los parámetros higrotérmicos del elemento completo, derivada del modelo de capas homogéneas, es la siguiente:

Magnitud	Uds.	Valor
Espesor total del elemento, eT	cm	31.0
Resistencia térmica total, RT	m ² ·K/W	5.4186
Espesor de aire equivalente total, SdT	m	11.40
Transmitancia térmica, U	W/(m ² ·K)	0.185
Factor de resistencia superficial interior, fRsi	--	0.954

donde:

ET: Espesor total del elemento, cm.

RT: Resistencia térmica total del elemento, sumatorio de la resistencia térmica de cada capa, incluyendo las

resistencias superficiales R_{se} y R_{si} , $\text{m}^2\cdot\text{K}/\text{W}$.

SdT : Espesor de aire equivalente total, sumatorio del espesor equivalente de cada capa del elemento, m.

U : Transmitancia térmica del elemento, calculada como la inversa de la resistencia térmica total, $\text{W}/(\text{m}^2\cdot\text{K})$.

fR_{si} : Factor de resistencia superficial interior, calculado como $(1 - U \cdot R_{si})$, donde $U = 0.185 \text{ W/m}^2\cdot\text{K}$ y $R_{si} = 0.25 \text{ m}^2\cdot\text{K}/\text{W}$.

6.1.4. Cálculo del factor de temperatura superficial interior necesario para evitar la humedad superficial crítica

Con objeto de prevenir los efectos adversos de la humedad superficial crítica, se ha limitado la humedad relativa máxima en la superficie interior a un valor de $\phi_{si,cr} \leq 0.8$.

Dadas las condiciones higrotérmicas exteriores, así como las interiores, el cálculo de $fR_{si,mín}$ queda como sigue:

	θ_e (°C)	ϕ_e (%)	θ_i (°C)	ϕ_i (%)	P_i (Pa)	$P_{sat}(\theta_{si})$ (Pa)	$\theta_{si,mín}$ (°C)	$fR_{si,mín}$
Enero	5.5	80.0	20.0	65.0	1519.02	1898.77	16.7	0.772
Febrero	6.8	76.0	20.0	65.0	1519.02	1898.77	16.7	0.749
Marzo	8.8	69.0	20.0	65.0	1519.02	1898.77	16.7	0.704
Abril	11.6	68.0	20.0	65.0	1519.02	1898.77	16.7	0.606
Mayo	15.3	67.0	20.0	65.0	1519.02	1898.77	16.7	0.295
Junio	19.8	62.0	20.0	65.0	1519.02	1898.77	16.7	0.000
Julio	23.5	53.0	20.0	65.0	1519.02	1898.77	16.7	--*
Agosto	22.8	54.0	20.0	65.0	1519.02	1898.77	16.7	--*
Septiembre	19.5	61.0	20.0	65.0	1519.02	1898.77	16.7	0.000
Octubre	14.1	72.0	20.0	65.0	1519.02	1898.77	16.7	0.439
Noviembre	9.0	79.0	20.0	65.0	1519.02	1898.77	16.7	0.699
Diciembre	5.9	81.0	20.0	65.0	1519.02	1898.77	16.7	0.765

*: No hay riesgo de formación de condensaciones superficiales en el paramento interior, ya que $\theta_e \geq \theta_i$.

donde:

θ_e : Temperatura del aire exterior, °C.

ϕ_e : Humedad relativa del aire exterior, %.

θ_i : Temperatura del aire interior, °C.

ϕ_i : Humedad relativa del aire interior, aumentada con un coeficiente de seguridad 5%, %.

P_i : Presión de vapor en el ambiente interior, Pa.

$P_{sat}(\theta_i)$: Presión de saturación del vapor de agua mínima aceptable para la superficie interior, Pa.

$\theta_{si,mín}$: Mínima temperatura superficial interior aceptable, calculada en base a la presión de saturación mínima aceptable, °C.

$f_{Rsi,mín}$: Factor de resistencia superficial interior mínimo.

Dado que $f_{Rsi} = 0.954 > f_{Rsi,mín} = 0.772$, no se producen condensaciones superficiales en el elemento constructivo.

6.1.5. Cálculo de condensaciones intersticiales

Se exponen a continuación los resultados alcanzados en el cálculo de las temperaturas y presiones en cada una de las interfasas formadas en la unión entre las capas homogéneas que conforman el modelo de cálculo del elemento constructivo.

Cálculo de condensaciones intersticiales en el mes de Enero.

Cerramiento exterior	θ (°C)	P (Pa)	P_{sat} (Pa)	P_n (%)	ϕ (g/(m ² ·mes))	g_c	M_a (g/m ²)
Aire exterior	5.50	902.765	722.212	80.0			
Cara exterior	5.61	909.504	722.212	79.4	--	--	

Interfase 1-2		5.67	913.569	913.569	100.0	18.301	35.016
Interfase 2-3		12.36	1435.537	1032.018	71.9	--	--
Interfase 3-4		12.43	1441.610	1387.365	96.2	--	--
Interfase 4-5		19.33	2241.913	1393.287	62.1	--	--
Interfase 5-6		19.49	2264.408	1397.729	61.7	--	--
Cara interior		19.65	2287.101	1402.171	61.3	--	--
Aire interior		20.00	2336.951	1402.171	60.0	--	--

donde:

θ : Temperatura, °C.

P_{sat} : Presión de saturación del vapor de agua, Pa.

P_n : Presión del vapor de agua, Pa.

ϕ : Humedad relativa, %.

g_c : Densidad de flujo de condensación, g/(m²·mes).

M_a : Contenido acumulado de humedad por unidad de superficie, g/m².

>> Representación gráfica (Enero)

Cálculo de condensaciones intersticiales en el mes de Febrero.

Cerramiento exterior	θ (°C)	P_{sat} (Pa)	P_n (%)	ϕ (g/(m²·mes))	g_c	M_a (g/m²)
Aire exterior	6.80	987.670	750.629	76.0	--	--
Cara exterior	6.90	994.308	750.629	75.5	--	--
Interfase 1-2	6.96	998.310	998.310	100.0	4.640	39.657
Interfase 2-3	13.05	1501.467	1096.216	73.0	--	--
Interfase 3-4	13.10	1507.216	1389.932	92.2	--	--

Interfase 4-5	19.39	2250.293	1394.828	62.0	--	--
Interfase 5-6	19.54	2270.831	1398.499	61.6	--	--
Cara interior	19.68	2291.532	1402.171	61.2	--	--
Aire interior	20.00	2336.951	1402.171	60.0		

donde:

θ : Temperatura, °C.

Psat: Presión de saturación del vapor de agua, Pa.

Pn: Presión del vapor de agua, Pa.

ϕ : Humedad relativa, %.

gc: Densidad de flujo de condensación, g/(m²·mes).

Ma: Contenido acumulado de humedad por unidad de superficie, g/m².

>> Representación gráfica (Febrero)

Cálculo de condensaciones intersticiales en el mes de Marzo.

Cerramiento exterior	θ (°C)	Psat (Pa)	Pn (%)	ϕ (g/(m ² ·mes))	gc	Ma (g/m ²)
Aire exterior	8.80	1132.044	781.110	69.0		
Cara exterior	8.88	1138.392	781.110	68.6	--	--
Interfase 1-2	8.93	1142.216	1142.216	100.0	-19.201	20.456
Interfase 2-3	14.10	1608.089	1205.236	74.9	--	--
Interfase 3-4	14.15	1613.269	1394.293	86.4	--	--
Interfase 4-5	19.48	2263.240	1397.444	61.7	--	--
Interfase 5-6	19.61	2280.742	1399.807	61.4	--	--

Cara interior	19.73	2298.363	1402.171	61.0	--	--
Aire interior	20.00	2336.951	1402.171	60.0		

donde:

θ : Temperatura, °C.

Psat: Presión de saturación del vapor de agua, Pa.

Pn: Presión del vapor de agua, Pa.

ϕ : Humedad relativa, %.

gc: Densidad de flujo de condensación, g/(m²·mes).

Ma: Contenido acumulado de humedad por unidad de superficie, g/m².

>> Representación gráfica (Marzo)

Cálculo de condensaciones intersticiales en el mes de Abril.

Cerramiento exterior	θ (°C)	Psat (Pa)	Pn (%)	ϕ (g/(m²·mes))	gc	Ma (g/m²)
Aire exterior	11.60	1365.261	928.378	68.0		
Cara exterior	11.66	1370.871	928.378	67.7	--	--
Interfase 1-2	11.70	1374.247	1374.247	100.0	-20.456	--
Interfase 2-3	15.57	1768.501	1381.016	78.1	--	--
Interfase 3-4	15.61	1772.722	1401.325	79.0	--	--
Interfase 4-5	19.61	2281.474	1401.663	61.4	--	--
Interfase 5-6	19.71	2294.683	1401.917	61.1	--	--
Cara interior	19.80	2307.958	1402.171	60.8	--	--
Aire interior	20.00	2336.951	1402.171	60.0		

donde:

θ : Temperatura, °C.

Psat: Presión de saturación del vapor de agua, Pa.

Pn: Presión del vapor de agua, Pa.

ϕ : Humedad relativa, %.

gc: Densidad de flujo de condensación, g/(m²·mes).

Ma: Contenido acumulado de humedad por unidad de superficie, g/m².

>> Representación gráfica (Abril)

Cálculo de condensaciones intersticiales en el mes de Mayo.

Cerramiento exterior	θ (°C)	Psat (Pa)	Pn (%)	ϕ (g/(m ² ·mes))	gc (g/m ²)	Ma (g/m ²)
Aire exterior	15.30	1737.605	1164.195	67.0	--	--
Cara exterior	15.33	1741.480	1164.195	66.9	--	--
Interfase 1-2	15.36	1743.809	1264.395	72.5	--	--
Interfase 2-3	17.52	2001.891	1297.795	64.8	--	--
Interfase 3-4	17.54	2004.523	1397.996	69.7	--	--
Interfase 4-5	19.78	2305.767	1399.666	60.7	--	--
Interfase 5-6	19.84	2313.218	1400.918	60.6	--	--
Cara interior	19.89	2320.690	1402.171	60.4	--	--
Aire interior	20.00	2336.951	1402.171	60.0	--	--

donde:

θ : Temperatura, °C.

Psat: Presión de saturación del vapor de agua, Pa.

Pn: Presión del vapor de agua, Pa.

ϕ : Humedad relativa, %.

gc: Densidad de flujo de condensación, g/(m²·mes).

Ma: Contenido acumulado de humedad por unidad de superficie, g/m².

>> Representación gráfica (Mayo)

Cálculo de condensaciones intersticiales en el mes de Junio.

Cerramiento exterior	θ (°C)	Psat (Pa)	Pn (%)	ϕ (g/(m ² ·mes))	gc	Ma (g/m ²)
Aire exterior	19.80	2308.176	1431.069	62.0	--	--
Cara exterior	19.80	2308.387	1431.069	62.0	--	--
Interfase 1-2	19.80	2308.514	1418.901	61.5	--	--
Interfase 2-3	19.89	2321.753	1414.845	60.9	--	--
Interfase 3-4	19.90	2321.880	1402.678	60.4	--	--
Interfase 4-5	19.99	2335.617	1402.475	60.0	--	--
Interfase 5-6	19.99	2335.937	1402.323	60.0	--	--
Cara interior	20.00	2336.257	1402.171	60.0	--	--
Aire interior	20.00	2336.951	1402.171	60.0	--	--

donde:

θ : Temperatura, °C.

Psat: Presión de saturación del vapor de agua, Pa.

Pn: Presión del vapor de agua, Pa.

ϕ : Humedad relativa, %.

gc: Densidad de flujo de condensación, $g/(m^2 \cdot \text{mes})$.

Ma: Contenido acumulado de humedad por unidad de superficie, g/m^2 .

>> Representación gráfica (Junio)

Cálculo de condensaciones intersticiales en el mes de Julio.

Cerramiento exterior	θ (°C)	Psat (Pa)	Pn (%)	ϕ ($g/(m^2 \cdot \text{mes})$)	gc	Ma (g/m^2)
Aire exterior	23.50	2893.848	1533.739	53.0	--	--
Cara exterior	23.47	2889.346	1533.739	53.1	--	--
Interfase 1-2	23.46	2886.648	1478.342	51.2	--	--
Interfase 2-3	21.84	2617.367	1459.876	55.8	--	--
Interfase 3-4	21.83	2614.893	1404.479	53.7	--	--
Interfase 4-5	20.16	2360.412	1403.556	59.5	--	--
Interfase 5-6	20.12	2354.763	1402.863	59.6	--	--
Cara interior	20.08	2349.125	1402.171	59.7	--	--
Aire interior	20.00	2336.951	1402.171	60.0	--	--

donde:

θ : Temperatura, °C.

Psat: Presión de saturación del vapor de agua, Pa.

Pn: Presión del vapor de agua, Pa.

ϕ : Humedad relativa, %.

gc: Densidad de flujo de condensación, $g/(m^2 \cdot \text{mes})$.

Ma: Contenido acumulado de humedad por unidad de superficie, g/m^2 .

>> Representación gráfica (Julio)

Cálculo de condensaciones intersticiales en el mes de Agosto.

Cerramiento exterior	θ (°C)	Psat (Pa)	Pn (%)	ϕ (g/(m ² ·mes))	gc (g/m ²)	Ma (g/m ²)
Aire exterior	22.80	2774.025	1497.973	54.0	--	--
Cara exterior	22.78	2770.554	1497.973	54.1	--	--
Interfase 1-2	22.77	2768.473	1457.635	52.7	--	--
Interfase 2-3	21.48	2559.044	1444.189	56.4	--	--
Interfase 3-4	21.46	2557.103	1403.851	54.9	--	--
Interfase 4-5	20.13	2355.704	1403.179	59.6	--	--
Interfase 5-6	20.10	2351.191	1402.675	59.7	--	--
Cara interior	20.07	2346.686	1402.171	59.8	--	--
Aire interior	20.00	2336.951	1402.171	60.0	--	--

donde:

θ : Temperatura, °C.

Psat: Presión de saturación del vapor de agua, Pa.

Pn: Presión del vapor de agua, Pa.

ϕ : Humedad relativa, %.

gc: Densidad de flujo de condensación, g/(m²·mes).

Ma: Contenido acumulado de humedad por unidad de superficie, g/m².

>> Representación gráfica (Agosto)

Cálculo de condensaciones intersticiales en el mes de Septiembre.

Cerramiento exterior	θ (°C)	Psat (Pa)	Pn (%)	ϕ (g/(m ² ·mes))	gc	Ma (g/m ²)
Aire exterior	19.50	2265.595	1382.013	61.0		
Cara exterior	19.50	2266.114	1382.013	61.0	--	--
Interfase 1-2	19.51	2266.426	1390.500	61.4	--	--
Interfase 2-3	19.74	2299.118	1393.329	60.6	--	--
Interfase 3-4	19.74	2299.434	1401.817	61.0	--	--
Interfase 4-5	19.98	2333.616	1401.958	60.1	--	--
Interfase 5-6	19.98	2334.416	1402.065	60.1	--	--
Cara interior	19.99	2335.216	1402.171	60.0	--	--
Aire interior	20.00	2336.951	1402.171	60.0		

donde:

θ : Temperatura, °C.

Psat: Presión de saturación del vapor de agua, Pa.

Pn: Presión del vapor de agua, Pa.

ϕ : Humedad relativa, %.

gc: Densidad de flujo de condensación, g/(m²·mes).

Ma: Contenido acumulado de humedad por unidad de superficie, g/m².

>> Representación gráfica (Septiembre)

Cálculo de condensaciones intersticiales en el mes de Octubre.

Cerramiento exterior	θ (°C)	Psat (Pa)	Pn (%)	ϕ (g/(m ² ·mes))	gc	Ma (g/m ²)
Aire exterior	14.10	1608.128	1157.852	72.0	--	--
Cara exterior	14.14	1612.675	1157.852	71.8	--	--
Interfase 1-2	14.17	1615.408	1260.723	78.0	--	--
Interfase 2-3	16.89	1923.406	1295.013	67.3	--	--
Interfase 3-4	16.92	1926.596	1397.884	72.6	--	--
Interfase 4-5	19.73	2297.864	1399.599	60.9	--	--
Interfase 5-6	19.79	2307.192	1400.885	60.7	--	--
Cara interior	19.86	2316.554	1402.171	60.5	--	--
Aire interior	20.00	2336.951	1402.171	60.0	--	--

donde:

θ : Temperatura, °C.

Psat: Presión de saturación del vapor de agua, Pa.

Pn: Presión del vapor de agua, Pa.

ϕ : Humedad relativa, %.

gc: Densidad de flujo de condensación, g/(m²·mes).

Ma: Contenido acumulado de humedad por unidad de superficie, g/m².

>> Representación gráfica (Octubre)

Cálculo de condensaciones intersticiales en el mes de Noviembre.

Cerramiento exterior	θ (°C)	Psat (Pa)	Pn (%)	ϕ (g/(m ² ·mes))	gc	Ma (g/m ²)
Aire exterior	9.00	1147.455	906.489	79.0	--	--

Cara exterior		9.08	1153.764	906.489	78.6	--	--
Interfase 1-2		9.13	1157.564	1115.197	96.3	--	--
Interfase 2-3		14.20	1619.108	1184.767	73.2	--	--
Interfase 3-4		14.25	1624.226	1393.475	85.8	--	--
Interfase 4-5		19.49	2264.538	1396.953	61.7	--	--
Interfase 5-6		19.61	2281.736	1399.562	61.3	--	--
Cara interior		19.74	2299.048	1402.171	61.0	--	--
Aire interior		20.00	2336.951	1402.171	60.0		

donde:

θ : Temperatura, °C.

P_{sat} : Presión de saturación del vapor de agua, Pa.

P_n : Presión del vapor de agua, Pa.

ϕ : Humedad relativa, %.

g_c : Densidad de flujo de condensación, g/(m²·mes).

M_a : Contenido acumulado de humedad por unidad de superficie, g/m².

>> Representación gráfica (Noviembre)

Cálculo de condensaciones intersticiales en el mes de Diciembre.

Cerramiento exterior	θ (°C)	P_{sat} (Pa)	P_n (%)	ϕ (g/(m²·mes))	g_c	M_a (g/m²)
Aire exterior		5.90	928.177	751.823	81.0	
Cara exterior		6.00	934.891	751.823	80.4	--
Interfase 1-2		6.07	938.941	938.941	100.0	16.715
Interfase 2-3		12.57	1455.547	1051.239	72.2	--

Interfase 3-4		12.63	1461.524	1388.133	95.0	--	--
Interfase 4-5		19.35	2244.489	1393.748	62.1	--	--
Interfase 5-6		19.51	2266.383	1397.960	61.7	--	--
Cara interior		19.66	2288.463	1402.171	61.3	--	--
Aire interior		20.00	2336.951	1402.171	60.0	--	--

donde:

θ : Temperatura, °C.

P_{sat} : Presión de saturación del vapor de agua, Pa.

P_n : Presión del vapor de agua, Pa.

ϕ : Humedad relativa, %.

g_c : Densidad de flujo de condensación, g/(m²·mes).

M_a : Contenido acumulado de humedad por unidad de superficie, g/m².

>> Representación gráfica (Diciembre)

Evolución anual de la condensación acumulada.

Se presentan a continuación las cantidades totales de agua condensada en el elemento constructivo para cada situación de cálculo, así como la evolución de la humedad acumulada a lo largo del año.

El primer mes con condensación en alguna interfase es diciembre, aunque la cantidad neta anual es nula, por producirse la evaporación suficiente en los meses siguientes.

	Ene	Feb	Mar	Abr	May	Jun	Jul	Ago	Sep	Oct	Nov	Dic
<hr/>												
Evolución de la cantidad de agua condensada.												
gc	g/(m²·mes)	18.301	4.640	--	--	--	--	--	--	--	--	16.715
gev	g/(m²·mes)	--	--	19.201	20.456	--	--	--	--	--	--	--

Ma		(g/m ²)	35.016	39.657	20.456	--	--	--	--	--	--	--	--	--	16.715
----	--	---------------------	--------	--------	--------	----	----	----	----	----	----	----	----	----	--------

donde:

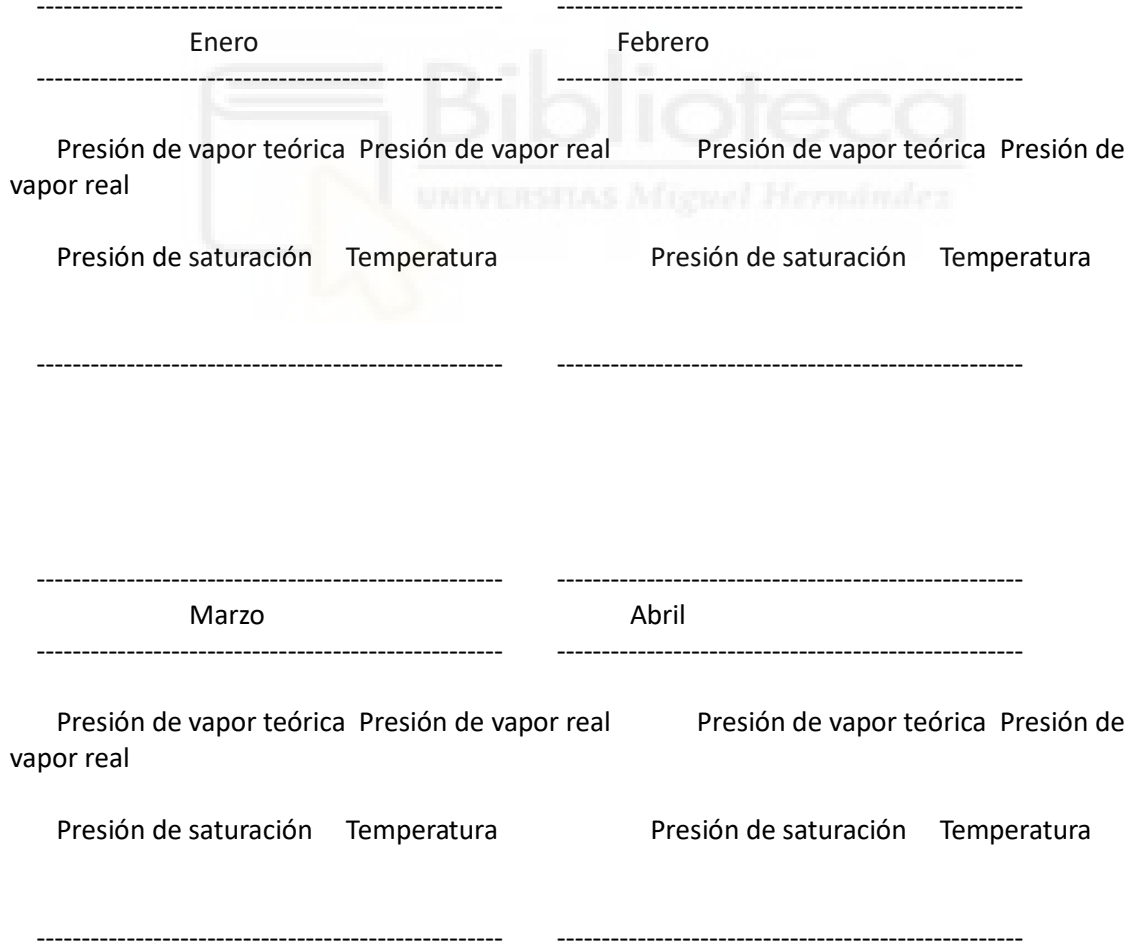
gc: Densidad de flujo de condensación, g/(m²·mes).

gev: Densidad de flujo de evaporación, g/(m²·mes).

Ma: Contenido acumulado de humedad por unidad de superficie, g/m².

>> Representación gráfica (Condensación acumulada)

6.1.6. Representación gráfica de las condensaciones intersticiales previstas



Mayo

Junio

Presión de vapor teórica Presión de vapor real
vapor real

Presión de saturación Temperatura

Presión de vapor teórica Presión de

Presión de saturación Temperatura

Julio

Agosto

Presión de vapor teórica Presión de vapor real
vapor real

Presión de saturación Temperatura

Presión de vapor teórica Presión de

Presión de saturación Temperatura

Septiembre

Octubre

Presión de vapor teórica Presión de vapor real
vapor real

Presión de saturación Temperatura

Presión de vapor teórica Presión de

Presión de saturación Temperatura

Noviembre

Diciembre

Presión de vapor teórica Presión de vapor real Presión de vapor teórica Presión de vapor real

Presión de saturación Temperatura

Presión de saturación Temperatura

Condensación acumulada

6.2. Cubierta 2-Transitable

6.2.1. Resultados del cálculo de condensaciones

6.2.1.1. Condensación superficial

$$f_{RSi} = 0.962 \geq f_{RSi,mín} = 0.772$$

El elemento constructivo no presenta condensaciones superficiales.

donde:

f_{RSi} : Factor de resistencia superficial interior, calculado como $(1 - U \cdot R_{Si})$, donde $U = 0.152 \text{ W/m}^2 \cdot \text{K}$ y $R_{Si} = 0.25 \text{ m}^2 \cdot \text{K/W}$.

$f_{RSi,mín}$: Factor de resistencia superficial interior mínimo, necesario para evitar la humedad superficial crítica,
calculado considerando un valor de $\phi_{Si,cr} \leq 0.8$.

6.2.1.2. Condensación intersticial

El elemento constructivo no presenta condensaciones intersticiales.

6.2.2. Condiciones higrotérmicas de cálculo

Las condiciones higrotérmicas exteriores e interiores utilizadas para realizar el cálculo de condensaciones son las siguientes:

	Ene	Feb	Mar	Abr	May	Jun	Jul	Ago	Sep	Oct	Nov	Dic
<hr/>												
Condiciones exteriores												
Temperatura, θ_e (°C)	5.5	6.8	8.8	11.6	15.3	19.8	23.5	22.8	19.5	14.1	9.0	5.9
Humedad relativa, ϕ_e (%)	80	76	69	68	67	62	53	54	61	72	79	81
<hr/>												
Condiciones interiores												
Temperatura, θ_i (°C)	20.0	20.0	20.0	20.0	20.0	20.0	20.0	20.0	20.0	20.0	20.0	20.0
Humedad relativa, ϕ_i (%)	60	60	60	60	60	60	60	60	60	60	60	60
<hr/>												

El diagrama psicrométrico asociado al emplazamiento, con una altura sobre el nivel del mar de 679 m, se muestra a continuación, representando mediante segmentos de recta las transiciones desde cada condición exterior de cálculo a su correspondiente condición interior.

6.2.3. Descripción del elemento constructivo

El esquema de la composición del elemento constructivo, en sección, es el siguiente:

Las características térmicas y las propiedades de difusión del vapor de agua de las capas homogéneas de caras paralelas que conforman el modelo de cálculo del elemento constructivo son las siguientes:

Cubierta 2-Transitable	(cm)	e (W/m·K)	λ (m ² ·K/W)	R (m ² ·K/W)	μ	Sd (m)
Rse			0.04			
1 Losa filtron con 6cm de aislamiento				6.0	0.032	1.87500 20 1.2

2	XPS Expandido con hidrofluorcarbonos HFC [0.029 W/[mK]]	6.0	0.029	2.06897
20	1.2			
3	XPS Expandido con hidrofluorcarbonos HFC [0.029 W/[mK]]	6.0	0.029	2.06897
20	1.2			
4	Con capa de compresión -Canto 300 mm	30.0	1.579	0.18999 80
24				
5	Cámara de aire	10.0	0.16000	0.01
6	Placa de yeso laminado [PYL] 750 < d < 900	1.5	0.250	0.06000 4
0.06				
Rsi		0.10		

donde:

e: Espesor, cm.

λ : Conductividad térmica del material, W/(m·K).

R: Resistencia térmica del material, m²·K/W.

μ : Factor de resistencia a la difusión del vapor de agua del material.

Sd: Espesor de aire equivalente frente a la difusión del vapor de agua, m.

Rse: Resistencia térmica superficial exterior del elemento, m²·K/W.

Rsi: Resistencia térmica superficial interior del elemento, m²·K/W.

La información de cálculo relativa a los parámetros higrotérmicos del elemento completo, derivada del modelo de capas homogéneas, es la siguiente:

Magnitud	Uds.	Valor
Espesor total del elemento, eT	cm	59.5
Resistencia térmica total, RT	m ² ·K/W	6.5629
Espesor de aire equivalente total, SdT	m	27.67
Transmitancia térmica, U	W/(m ² ·K)	0.152
Factor de resistencia superficial interior, fRsi	--	0.962

donde:

ET: Espesor total del elemento, cm.

RT: Resistencia térmica total del elemento, sumatorio de la resistencia térmica de cada capa, incluyendo las resistencias superficiales R_{se} y R_{si}, m²·K/W.

SdT: Espesor de aire equivalente total, sumatorio del espesor equivalente de cada capa del elemento, m.

U: Transmitancia térmica del elemento, calculada como la inversa de la resistencia térmica total, W/(m²·K).

fR_{si}: Factor de resistencia superficial interior, calculado como $(1 - U \cdot R_{si})$, donde $U = 0.152$ W/m²·K y $R_{si} = 0.25$ m²·K/W.

6.2.4. Cálculo del factor de temperatura superficial interior necesario para evitar la humedad superficial crítica

Con objeto de prevenir los efectos adversos de la humedad superficial crítica, se ha limitado la humedad relativa máxima en la superficie interior a un valor de $\phi_{si,cr} \leq 0.8$.

Dadas las condiciones higrotérmicas exteriores, así como las interiores, el cálculo de fR_{si,mín} queda como sigue:

	θ _e (°C)	φ _e (%)	θ _i (°C)	φ _i (%)	P _i (Pa)	P _{sat} (θ _{si}) (Pa)	θ _{si,mín} (°C)	fR _{si,mín}
Enero	5.5	80.0	20.0	65.0	1519.02	1898.77	16.7	0.772
Febrero	6.8	76.0	20.0	65.0	1519.02	1898.77	16.7	0.749
Marzo	8.8	69.0	20.0	65.0	1519.02	1898.77	16.7	0.704
Abril	11.6	68.0	20.0	65.0	1519.02	1898.77	16.7	0.606
Mayo	15.3	67.0	20.0	65.0	1519.02	1898.77	16.7	0.295
Junio	19.8	62.0	20.0	65.0	1519.02	1898.77	16.7	0.000
Julio	23.5	53.0	20.0	65.0	1519.02	1898.77	16.7	--*
Agosto	22.8	54.0	20.0	65.0	1519.02	1898.77	16.7	--*
Septiembre	19.5	61.0	20.0	65.0	1519.02	1898.77	16.7	0.000

Octubre	14.1	72.0	20.0	65.0	1519.02	1898.77	16.7	0.439
Noviembre	9.0	79.0	20.0	65.0	1519.02	1898.77	16.7	0.699
Diciembre	5.9	81.0	20.0	65.0	1519.02	1898.77	16.7	0.765

*: No hay riesgo de formación de condensaciones superficiales en el paramento interior, ya que $\theta_e \geq \theta_i$.

donde:

θ_e : Temperatura del aire exterior, °C.

ϕ_e : Humedad relativa del aire exterior, %.

θ_i : Temperatura del aire interior, °C.

ϕ_i : Humedad relativa del aire interior, aumentada con un coeficiente de seguridad 5%, %.

P_i : Presión de vapor en el ambiente interior, Pa.

$P_{sat}(\theta_i)$: Presión de saturación del vapor de agua mínima aceptable para la superficie interior, Pa.

$\theta_{si,mín}$: Mínima temperatura superficial interior aceptable, calculada en base a la presión de saturación mínima aceptable, °C.

$f_{Rsi,mín}$: Factor de resistencia superficial interior mínimo.

Dado que $f_{Rsi} = 0.962 > f_{Rsi,mín} = 0.772$, no se producen condensaciones superficiales en el elemento constructivo.

6.2.5. Cálculo de condensaciones intersticiales

Se exponen a continuación los resultados alcanzados en el cálculo de las temperaturas y presiones en cada una de las interfasas formadas en la unión entre las capas homogéneas que conforman el modelo de cálculo del elemento constructivo.

Cálculo de condensaciones intersticiales en el mes de Enero.

Cubierta 2-Transitable	θ (°C)	Psat (Pa)	Pn (%)	ϕ (g/(m ² ·mes))	gc (g/m ²)	Ma (g/m ²)
Aire exterior	5.50	902.765	722.212	80.0	--	--
Cara exterior	5.59	908.326	722.212	79.5	--	--
Interfase 1-2	9.73	1205.360	751.701	62.4	--	--
Interfase 2-3	14.30	1629.322	781.189	47.9	--	--
Interfase 3-4	18.87	2178.843	810.678	37.2	--	--
Interfase 4-5	19.29	2236.615	1400.451	62.6	--	--
Interfase 5-6	19.65	2286.302	1400.696	61.3	--	--
Cara interior	19.78	2305.182	1402.171	60.8	--	--
Aire interior	20.00	2336.951	1402.171	60.0	--	--

donde:

θ : Temperatura, °C.

Psat: Presión de saturación del vapor de agua, Pa.

Pn: Presión del vapor de agua, Pa.

ϕ : Humedad relativa, %.

gc: Densidad de flujo de condensación, g/(m²·mes).

Ma: Contenido acumulado de humedad por unidad de superficie, g/m².

>> Representación gráfica (Enero)

6.2.6. Representación gráfica de las condensaciones intersticiales previstas

Enero

Presión de vapor teórica Presión de vapor real

Presión de saturación Temperatura

6.3. Cubierta 3 - Inclinadas aulas

6.3.1. Resultados del cálculo de condensaciones

6.3.1.1. Condensación superficial

$$f_{RSI} = 0.953 \geq f_{RSI,min} = 0.772$$

El elemento constructivo no presenta condensaciones superficiales.

donde:

f_{RSI} : Factor de resistencia superficial interior, calculado como $(1 - U \cdot R_{SI})$, donde $U = 0.189 \frac{W}{m^2 \cdot K}$ y $R_{SI} = 0.25 \frac{m^2 \cdot K}{W}$.

$f_{RSI,min}$: Factor de resistencia superficial interior mínimo, necesario para evitar la humedad superficial crítica, calculado considerando un valor de $\phi_{SI,cr} \leq 0.8$.

6.3.1.2. Condensación intersticial

El elemento constructivo presenta condensaciones intersticiales en los meses de: diciembre, enero, febrero. Sin embargo, la cantidad de condensación acumulada en cada periodo anual no es superior a la

cantidad de evaporación posible en el mismo periodo.

6.3.2. Condiciones higrotérmicas de cálculo

Las condiciones higrotérmicas exteriores e interiores utilizadas para realizar el cálculo de condensaciones son las siguientes:

	Ene	Feb	Mar	Abr	May	Jun	Jul	Ago	Sep	Oct	Nov	Dic
<hr/>												
Condiciones exteriores												
Temperatura, θ_e (°C)	5.5	6.8	8.8	11.6	15.3	19.8	23.5	22.8	19.5	14.1	9.0	5.9
Humedad relativa, ϕ_e (%)	80	76	69	68	67	62	53	54	61	72	79	81
<hr/>												
Condiciones interiores												
Temperatura, θ_i (°C)	20.0	20.0	20.0	20.0	20.0	20.0	20.0	20.0	20.0	20.0	20.0	20.0
Humedad relativa, ϕ_i (%)	60	60	60	60	60	60	60	60	60	60	60	60
<hr/>												

El diagrama psicrométrico asociado al emplazamiento, con una altura sobre el nivel del mar de 679 m, se muestra a continuación, representando mediante segmentos de recta las transiciones desde cada condición exterior de cálculo a su correspondiente condición interior.

6.3.3. Descripción del elemento constructivo

El esquema de la composición del elemento constructivo, en sección, es el siguiente:

Las características térmicas y las propiedades de difusión del vapor de agua de las capas homogéneas de caras paralelas que conforman el modelo de cálculo del elemento constructivo son las siguientes:

Cubierta 3 - Inclinadas aulas	e (cm)	λ (W/m·K)	R (m ² ·K/W)	μ	Sd (m)
Rse		0.04			
1 Aluminio	0.1	230.000	0.00000	1000000	1000
2 XPS Expandido con hidrofluorcarbonos HFC [0.032 W/[mK]]	10.0	0.032	3.12500		
3 Aluminio	0.1	230.000	0.00000	1000000	1000
4 MW Lana mineral [0.031 W/[mK]]	5.0	0.031	1.61290	1	
0.05					

5	Con capa de compresión -Canto 300 mm	30.0	1.579	0.18999	80
24					
6	Cámara de aire	10.0	0.16000	0.01	
7	Placa de yeso laminado [PYL] $750 < d < 900$	1.5	0.250	0.06000	4
0.06					
Rsi		0.10			

donde:

e: Espesor, cm.

λ : Conductividad térmica del material, W/(m·K).

R: Resistencia térmica del material, m²·K/W.

μ : Factor de resistencia a la difusión del vapor de agua del material.

Sd: Espesor de aire equivalente frente a la difusión del vapor de agua, m.

Rse: Resistencia térmica superficial exterior del elemento, m²·K/W.

Rsi: Resistencia térmica superficial interior del elemento, m²·K/W.

La información de cálculo relativa a los parámetros higrotérmicos del elemento completo, derivada del modelo de capas homogéneas, es la siguiente:

Magnitud	Uds.	Valor
Espesor total del elemento, eT	cm	56.7
Resistencia térmica total, RT	m ² ·K/W	5.2879
Espesor de aire equivalente total, SdT	m	2026.12
Transmitancia térmica, U	W/(m ² ·K)	0.189
Factor de resistencia superficial interior, fRsi	--	0.953

donde:

ET: Espesor total del elemento, cm.

RT: Resistencia térmica total del elemento, sumatorio de la resistencia térmica de cada capa, incluyendo las resistencias superficiales R_{se} y R_{si} , $\text{m}^2\cdot\text{K}/\text{W}$.

SdT: Espesor de aire equivalente total, sumatorio del espesor equivalente de cada capa del elemento, m.

U: Transmitancia térmica del elemento, calculada como la inversa de la resistencia térmica total, $\text{W}/(\text{m}^2\cdot\text{K})$.

fR_{si} : Factor de resistencia superficial interior, calculado como $(1 - U \cdot R_{si})$, donde $U = 0.189 \text{ W/m}^2\cdot\text{K}$ y $R_{si} = 0.25 \text{ m}^2\cdot\text{K}/\text{W}$.

6.3.4. Cálculo del factor de temperatura superficial interior necesario para evitar la humedad superficial crítica

Con objeto de prevenir los efectos adversos de la humedad superficial crítica, se ha limitado la humedad relativa máxima en la superficie interior a un valor de $\phi_{si,cr} \leq 0.8$.

Dadas las condiciones higrotérmicas exteriores, así como las interiores, el cálculo de $fR_{si,mín}$ queda como sigue:

	θ_e (°C)	ϕ_e (%)	θ_i (°C)	ϕ_i (%)	P_i (Pa)	$P_{sat}(\theta_{si})$ (Pa)	$\theta_{si,mín}$ (°C)	$fR_{si,mín}$
Enero	5.5	80.0	20.0	65.0	1519.02	1898.77	16.7	0.772
Febrero	6.8	76.0	20.0	65.0	1519.02	1898.77	16.7	0.749
Marzo	8.8	69.0	20.0	65.0	1519.02	1898.77	16.7	0.704
Abril	11.6	68.0	20.0	65.0	1519.02	1898.77	16.7	0.606
Mayo	15.3	67.0	20.0	65.0	1519.02	1898.77	16.7	0.295
Junio	19.8	62.0	20.0	65.0	1519.02	1898.77	16.7	0.000
Julio	23.5	53.0	20.0	65.0	1519.02	1898.77	16.7	--*
Agosto	22.8	54.0	20.0	65.0	1519.02	1898.77	16.7	--*
Septiembre	19.5	61.0	20.0	65.0	1519.02	1898.77	16.7	0.000
Octubre	14.1	72.0	20.0	65.0	1519.02	1898.77	16.7	0.439
Noviembre	9.0	79.0	20.0	65.0	1519.02	1898.77	16.7	0.699

Diciembre		5.9	81.0	20.0	65.0	1519.02	1898.77	16.7	0.765
-----------	--	-----	------	------	------	---------	---------	------	-------

*: No hay riesgo de formación de condensaciones superficiales en el paramento interior, ya que $\theta_e \geq \theta_i$.

donde:

θ_e : Temperatura del aire exterior, °C.

ϕ_e : Humedad relativa del aire exterior, %.

θ_i : Temperatura del aire interior, °C.

ϕ_i : Humedad relativa del aire interior, aumentada con un coeficiente de seguridad 5%, %.

P_i : Presión de vapor en el ambiente interior, Pa.

$Psat(\theta_i)$: Presión de saturación del vapor de agua mínima aceptable para la superficie interior, Pa.

$\theta_{si,mín}$: Mínima temperatura superficial interior aceptable, calculada en base a la presión de saturación mínima aceptable, °C.

$f_{Rsi,mín}$: Factor de resistencia superficial interior mínimo.

Dado que $f_{Rsi} = 0.953 > f_{Rsi,mín} = 0.772$, no se producen condensaciones superficiales en el elemento constructivo.

6.3.5. Cálculo de condensaciones intersticiales

Se exponen a continuación los resultados alcanzados en el cálculo de las temperaturas y presiones en cada una de las interfasas formadas en la unión entre las capas homogéneas que conforman el modelo de cálculo del elemento constructivo.

Cálculo de condensaciones intersticiales en el mes de Enero.

Cubierta 3 - Inclinadas aulas	θ (°C)	$Psat$ (Pa)	P_n (%)	ϕ (g/(m ² ·mes))	gc (g/m ²)	Ma
Aire exterior	5.50	902.765	722.212	80.0		

Cara exterior		5.61	909.671	722.212	79.4	--	--
Interfase 1-2		5.61	909.672	909.672	100.0	0.157	0.302
Interfase 2-3		14.18	1616.361	910.632	56.3	--	--
Interfase 3-4		14.18	1616.362	1390.594	86.0	--	--
Interfase 4-5		18.60	2142.151	1390.618	64.9	--	--
Interfase 5-6		19.12	2212.994	1402.137	63.4	--	--
Interfase 6-7		19.56	2274.234	1402.142	61.7	--	--
Cara interior		19.73	2297.578	1402.171	61.0	--	--
Aire interior		20.00	2336.951	1402.171	60.0		

donde:

θ : Temperatura, °C.

P_{sat} : Presión de saturación del vapor de agua, Pa.

P_n : Presión del vapor de agua, Pa.

ϕ : Humedad relativa, %.

g_c : Densidad de flujo de condensación, g/(m²·mes).

M_a : Contenido acumulado de humedad por unidad de superficie, g/m².

>> Representación gráfica (Enero)

Cálculo de condensaciones intersticiales en el mes de Febrero.

Cubierta 3 - Inclinadas aulas	θ (°C)	P_{sat} (Pa)	P_n (Pa)	ϕ (%)	g_c (g/(m²·mes))	M_a (g/m²)
Aire exterior		6.80	987.670	750.629	76.0	
Cara exterior		6.90	994.473	750.629	75.5	--
Interfase 1-2		6.90	994.474	994.474	100.0	0.074

Interfase 2-3	14.70	1671.841	995.268	59.5	--	--
Interfase 3-4	14.70	1671.842	1392.587	83.3	--	--
Interfase 4-5	18.73	2159.016	1392.607	64.5	--	--
Interfase 5-6	19.20	2223.868	1402.143	63.0	--	--
Interfase 6-7	19.60	2279.796	1402.147	61.5	--	--
Cara interior	19.75	2301.084	1402.171	60.9	--	--
Aire interior	20.00	2336.951	1402.171	60.0		

donde:

θ : Temperatura, °C.

P_{sat} : Presión de saturación del vapor de agua, Pa.

P_n : Presión del vapor de agua, Pa.

ϕ : Humedad relativa, %.

g_c : Densidad de flujo de condensación, g/(m²·mes).

M_a : Contenido acumulado de humedad por unidad de superficie, g/m².

>> Representación gráfica (Febrero)

Cálculo de condensaciones intersticiales en el mes de Marzo.

Cubierta 3 - Inclinadas aulas	θ (°C)	P_{sat} (Pa)	P_n (%)	ϕ (g/(m²·mes))	g_c (g/m²)	M_a (g/m²)
Aire exterior	8.80	1132.044	781.110	69.0		
Cara exterior	8.88	1138.550	781.110	68.6	--	--
Interfase 1-2	8.88	1138.550	1138.550	100.0	-0.054	0.323
Interfase 2-3	15.50	1760.457	1139.064	64.7	--	--

Interfase 3-4	15.50	1760.458	1395.974	79.3	--	--
Interfase 4-5	18.92	2185.189	1395.987	63.9	--	--
Interfase 5-6	19.32	2240.687	1402.153	62.6	--	--
Interfase 6-7	19.66	2288.377	1402.155	61.3	--	--
Cara interior	19.79	2306.488	1402.171	60.8	--	--
Aire interior	20.00	2336.951	1402.171	60.0		

donde:

θ : Temperatura, °C.

P_{sat} : Presión de saturación del vapor de agua, Pa.

P_n : Presión del vapor de agua, Pa.

ϕ : Humedad relativa, %.

g_c : Densidad de flujo de condensación, g/(m²·mes).

M_a : Contenido acumulado de humedad por unidad de superficie, g/m².

>> Representación gráfica (Marzo)

Cálculo de condensaciones intersticiales en el mes de Abril.

Cubierta 3 - Inclinadas aulas	θ (°C)	P_{sat} (Pa)	P_n (%)	ϕ (g/(m²·mes))	g_c (g/m²)	M_a
Aire exterior	11.60	1365.261	928.378	68.0		
Cara exterior	11.66	1371.010	928.378	67.7	--	--
Interfase 1-2	11.66	1371.011	1371.011	100.0	-0.214	0.109
Interfase 2-3	16.63	1891.429	1371.072	72.5	--	--
Interfase 3-4	16.63	1891.430	1401.438	74.1	--	--
Interfase 4-5	19.19	2222.298	1401.440	63.1	--	--

Interfase 5-6	19.49	2264.422	1402.169	61.9	--	--
Interfase 6-7	19.75	2300.437	1402.169	61.0	--	--
Cara interior	19.84	2314.071	1402.171	60.6	--	--
Aire interior	20.00	2336.951	1402.171	60.0		

donde:

θ : Temperatura, °C.

Psat: Presión de saturación del vapor de agua, Pa.

Pn: Presión del vapor de agua, Pa.

ϕ : Humedad relativa, %.

gc: Densidad de flujo de condensación, g/(m²·mes).

Ma: Contenido acumulado de humedad por unidad de superficie, g/m².

>> Representación gráfica (Abril)

Cálculo de condensaciones intersticiales en el mes de Mayo.

Cubierta 3 - Inclinadas aulas	θ (°C)	Psat (Pa)	Pn (%)	ϕ (g/(m²·mes))	gc (g/m²)	Ma
Aire exterior	15.30	1737.605	1164.195	67.0		
Cara exterior	15.34	1741.576	1164.195	66.8	--	--
Interfase 1-2	15.34	1741.577	1741.577	100.0	-0.109	--
Interfase 2-3	18.11	2077.547	1740.915	83.8	--	--
Interfase 3-4	18.11	2077.548	1410.149	67.9	--	--
Interfase 4-5	19.55	2272.179	1410.132	62.1	--	--
Interfase 5-6	19.72	2296.123	1402.194	61.1	--	--

Interfase 6-7		19.86	2316.458	1402.191	60.5	--	--
Cara interior		19.91	2324.125	1402.171	60.3	--	--
Aire interior		20.00	2336.951	1402.171	60.0	--	--

donde:

θ : Temperatura, °C.

Psat: Presión de saturación del vapor de agua, Pa.

Pn: Presión del vapor de agua, Pa.

ϕ : Humedad relativa, %.

gc: Densidad de flujo de condensación, g/(m²·mes).

Ma: Contenido acumulado de humedad por unidad de superficie, g/m².

>> Representación gráfica (Mayo)

Cálculo de condensaciones intersticiales en el mes de Junio.

Cubierta 3 - Inclinadas aulas	θ (°C)	Psat (Pa)	Pn (%)	ϕ (g/(m ² ·mes))	gc (g/m ²)	Ma (g/m ²)
Aire exterior	19.80	2308.176	1431.069	62.0	--	--
Cara exterior	19.80	2308.393	1431.069	62.0	--	--
Interfase 1-2	19.80	2308.393	1416.806	61.4	--	--
Interfase 2-3	19.92	2325.362	1416.778	60.9	--	--
Interfase 3-4	19.92	2325.362	1402.515	60.3	--	--
Interfase 4-5	19.98	2334.162	1402.514	60.1	--	--
Interfase 5-6	19.99	2335.201	1402.172	60.0	--	--
Interfase 6-7	19.99	2336.076	1402.172	60.0	--	--
Cara interior	20.00	2336.404	1402.171	60.0	--	--

Aire interior	20.00	2336.951	1402.171	60.0
---------------	-------	----------	----------	------

donde:

θ : Temperatura, °C.

P_{sat} : Presión de saturación del vapor de agua, Pa.

P_n : Presión del vapor de agua, Pa.

ϕ : Humedad relativa, %.

g_c : Densidad de flujo de condensación, g/(m²·mes).

M_a : Contenido acumulado de humedad por unidad de superficie, g/m².

>> Representación gráfica (Junio)

Cálculo de condensaciones intersticiales en el mes de Julio.

Cubierta 3 - Inclinadas aulas	θ (°C)	P_{sat} (Pa)	P_n (%)	ϕ (g/(m²·mes))	g_c (g/m²)	M_a
Aire exterior	23.50	2893.848	1533.739	53.0	--	--
Cara exterior	23.47	2889.235	1533.739	53.1	--	--
Interfase 1-2	23.47	2889.235	1468.803	50.8	--	--
Interfase 2-3	21.41	2548.107	1468.673	57.6	--	--
Interfase 3-4	21.41	2548.107	1403.737	55.1	--	--
Interfase 4-5	20.34	2386.229	1403.734	58.8	--	--
Interfase 5-6	20.21	2367.766	1402.175	59.2	--	--
Interfase 6-7	20.11	2352.314	1402.175	59.6	--	--
Cara interior	20.07	2346.543	1402.171	59.8	--	--
Aire interior	20.00	2336.951	1402.171	60.0	--	--

donde:

θ : Temperatura, °C.

P_{sat} : Presión de saturación del vapor de agua, Pa.

P_n : Presión del vapor de agua, Pa.

ϕ : Humedad relativa, %.

g_c : Densidad de flujo de condensación, g/(m²·mes).

M_a : Contenido acumulado de humedad por unidad de superficie, g/m².

>> Representación gráfica (Julio)

Cálculo de condensaciones intersticiales en el mes de Agosto.

Cubierta 3 - Inclinadas aulas	θ (°C)	P_{sat} (Pa)	P_n (%)	ϕ (g/(m ² ·mes))	g_c (g/m ²)	M_a (g/m ²)
Aire exterior	22.80	2774.025	1497.973	54.0	--	--
Cara exterior	22.78	2770.468	1497.973	54.1	--	--
Interfase 1-2	22.78	2770.467	1450.690	52.4	--	--
Interfase 2-3	21.12	2504.591	1450.595	57.9	--	--
Interfase 3-4	21.12	2504.590	1403.311	56.0	--	--
Interfase 4-5	20.27	2376.302	1403.309	59.1	--	--
Interfase 5-6	20.17	2361.575	1402.174	59.4	--	--
Interfase 6-7	20.08	2349.235	1402.174	59.7	--	--
Cara interior	20.05	2344.622	1402.171	59.8	--	--
Aire interior	20.00	2336.951	1402.171	60.0	--	--

donde:

θ : Temperatura, °C.

Psat: Presión de saturación del vapor de agua, Pa.

Pn: Presión del vapor de agua, Pa.

ϕ : Humedad relativa, %.

gc: Densidad de flujo de condensación, g/(m²·mes).

Ma: Contenido acumulado de humedad por unidad de superficie, g/m².

>> Representación gráfica (Agosto)

Cálculo de condensaciones intersticiales en el mes de Septiembre.

Cubierta 3 - Inclinadas aulas	θ (°C)	Psat (Pa)	Pn (%)	ϕ (g/(m ² ·mes))	gc (g/m ²)	Ma (g/m ²)
Aire exterior	19.50	2265.595	1382.013	61.0	--	--
Cara exterior	19.50	2266.127	1382.013	61.0	--	--
Interfase 1-2	19.50	2266.127	1391.962	61.4	--	--
Interfase 2-3	19.80	2308.071	1391.982	60.3	--	--
Interfase 3-4	19.80	2308.072	1401.931	60.7	--	--
Interfase 4-5	19.95	2329.985	1401.931	60.2	--	--
Interfase 5-6	19.97	2332.578	1402.170	60.1	--	--
Interfase 6-7	19.98	2334.764	1402.170	60.1	--	--
Cara interior	19.99	2335.584	1402.171	60.0	--	--
Aire interior	20.00	2336.951	1402.171	60.0	--	--

donde:

θ : Temperatura, °C.

Psat: Presión de saturación del vapor de agua, Pa.

Pn: Presión del vapor de agua, Pa.

ϕ : Humedad relativa, %.

gc: Densidad de flujo de condensación, g/(m²·mes).

Ma: Contenido acumulado de humedad por unidad de superficie, g/m².

>> Representación gráfica (Septiembre)

Cálculo de condensaciones intersticiales en el mes de Octubre.

Cubierta 3 - Inclinadas aulas	θ (°C)	Psat (Pa)	Pn (%)	ϕ (g/(m ² ·mes))	gc (g/m ²)	Ma (g/m ²)
Aire exterior	14.10	1608.128	1157.852	72.0	--	--
Cara exterior	14.14	1612.787	1157.852	71.8	--	--
Interfase 1-2	14.14	1612.788	1278.437	79.3	--	--
Interfase 2-3	17.63	2015.502	1278.678	63.4	--	--
Interfase 3-4	17.63	2015.502	1399.262	69.4	--	--
Interfase 4-5	19.43	2255.895	1399.268	62.0	--	--
Interfase 5-6	19.64	2285.800	1402.162	61.3	--	--
Interfase 6-7	19.82	2311.252	1402.163	60.7	--	--
Cara interior	19.89	2320.860	1402.171	60.4	--	--
Aire interior	20.00	2336.951	1402.171	60.0	--	--

donde:

θ : Temperatura, °C.

Psat: Presión de saturación del vapor de agua, Pa.

Pn: Presión del vapor de agua, Pa.

ϕ : Humedad relativa, %.

gc: Densidad de flujo de condensación, g/(m²·mes).

Ma: Contenido acumulado de humedad por unidad de superficie, g/m².

>> Representación gráfica (Octubre)

Cálculo de condensaciones intersticiales en el mes de Noviembre.

Cubierta 3 - Inclinadas aulas	θ (°C)	Psat (Pa)	Pn (%)	ϕ (g/(m ² ·mes))	gc (g/m ²)	Ma (g/m ²)
Aire exterior	9.00	1147.455	906.489	79.0	--	--
Cara exterior	9.08	1153.920	906.489	78.6	--	--
Interfase 1-2	9.08	1153.921	1151.135	99.8	--	--
Interfase 2-3	15.58	1769.541	1151.624	65.1	--	--
Interfase 3-4	15.58	1769.542	1396.270	78.9	--	--
Interfase 4-5	18.94	2187.822	1396.282	63.8	--	--
Interfase 5-6	19.33	2242.376	1402.154	62.5	--	--
Interfase 6-7	19.67	2289.236	1402.156	61.2	--	--
Cara interior	19.79	2307.029	1402.171	60.8	--	--
Aire interior	20.00	2336.951	1402.171	60.0	--	--

donde:

θ : Temperatura, °C.

Psat: Presión de saturación del vapor de agua, Pa.

Pn: Presión del vapor de agua, Pa.

ϕ : Humedad relativa, %.

gc: Densidad de flujo de condensación, g/(m²·mes).

Ma: Contenido acumulado de humedad por unidad de superficie, g/m².

>> Representación gráfica (Noviembre)

Cálculo de condensaciones intersticiales en el mes de Diciembre.

Cubierta 3 - Inclinadas aulas	θ (°C)	Psat (Pa)	Pn (%)	ϕ (g/(m ² ·mes))	gc (g/m ²)	Ma (g/m ²)
Aire exterior	5.90	928.177	751.823	81.0	--	--
Cara exterior	6.01	935.058	751.823	80.4	--	--
Interfase 1-2	6.01	935.059	935.059	100.0	0.146	0.146
Interfase 2-3	14.34	1633.257	935.969	57.3	--	--
Interfase 3-4	14.34	1633.258	1391.191	85.2	--	--
Interfase 4-5	18.64	2147.328	1391.214	64.8	--	--
Interfase 5-6	19.15	2216.335	1402.139	63.3	--	--
Interfase 6-7	19.57	2275.944	1402.143	61.6	--	--
Cara interior	19.73	2298.657	1402.171	61.0	--	--
Aire interior	20.00	2336.951	1402.171	60.0	--	--

donde:

θ : Temperatura, °C.

Psat: Presión de saturación del vapor de agua, Pa.

Pn: Presión del vapor de agua, Pa.

ϕ : Humedad relativa, %.

gc: Densidad de flujo de condensación, g/(m²·mes).

Ma: Contenido acumulado de humedad por unidad de superficie, g/m².

>> Representación gráfica (Diciembre)

Evolución anual de la condensación acumulada.

Se presentan a continuación las cantidades totales de agua condensada en el elemento constructivo para cada situación de cálculo, así como la evolución de la humedad acumulada a lo largo del año.

El primer mes con condensación en alguna interfase es diciembre, aunque la cantidad neta anual es nula, por producirse la evaporación suficiente en los meses siguientes.

	Ene	Feb	Mar	Abr	May	Jun	Jul	Ago	Sep	Oct	Nov	Dic
<hr/>												
Evolución de la cantidad de agua condensada.												
gc	g/(m ² ·mes)		0.157	0.074	--	--	--	--	--	--	--	0.146
gev	g/(m ² ·mes)		--	--	0.054	0.214	0.109	--	--	--	--	--
Ma	(g/m ²)		0.302	0.377	0.323	0.109	--	--	--	--	--	0.146
<hr/>												

donde:

gc: Densidad de flujo de condensación, g/(m²·mes).

gev: Densidad de flujo de evaporación, g/(m²·mes).

Ma: Contenido acumulado de humedad por unidad de superficie, g/m².

>> Representación gráfica (Condensación acumulada)

6.3.6. Representación gráfica de las condensaciones intersticiales previstas



Presión de vapor teórica Presión de vapor real
vapor real

Presión de vapor teórica Presión de

Presión de saturación Temperatura

Presión de saturación Temperatura

Marzo

Abril

Presión de vapor teórica Presión de vapor real
vapor real

Presión de vapor teórica Presión de

Presión de saturación Temperatura

Presión de saturación Temperatura

Mayo

Junio

Presión de vapor teórica Presión de vapor real
vapor real

Presión de vapor teórica Presión de

Presión de saturación Temperatura

Presión de saturación Temperatura

Julio

Agosto

Presión de vapor teórica Presión de vapor real
vapor real

Presión de vapor teórica Presión de

Presión de saturación Temperatura

Presión de saturación Temperatura

Septiembre

Octubre

Presión de vapor teórica Presión de vapor real
vapor real

Presión de saturación Temperatura

Presión de saturación Temperatura

Noviembre

Diciembre

Presión de vapor teórica Presión de vapor real
vapor real

Presión de saturación Temperatura

Presión de saturación Temperatura

Condensación acumulada

7.1. Cerramiento exterior

7.1.1. Resultados del cálculo de condensaciones

7.1.1.1. Condensación superficial

$$f_{RSI} = 0.954 \geq f_{RSI,min} = 0.772$$

El elemento constructivo no presenta condensaciones superficiales.

donde:

f_{RSI} : Factor de resistencia superficial interior, calculado como $(1 - U \cdot R_{SI})$, donde $U = 0.185 \text{ W/m}^2 \cdot \text{K}$ y $R_{SI} = 0.25 \text{ m}^2 \cdot \text{K/W}$.

$f_{RSI,min}$: Factor de resistencia superficial interior mínimo, necesario para evitar la humedad superficial crítica, calculado considerando un valor de $\phi_{SI,cr} \leq 0.8$.

7.1.1.2. Condensación intersticial

El elemento constructivo presenta condensaciones intersticiales en los meses de: diciembre, enero, febrero. Sin embargo, la cantidad de condensación acumulada en cada periodo anual no es superior a la cantidad de evaporación posible en el mismo periodo.

7.1.2. Condiciones higrotérmicas de cálculo

Las condiciones higrotérmicas exteriores e interiores utilizadas para realizar el cálculo de condensaciones son las siguientes:

	Ene	Feb	Mar	Abr	May	Jun	Jul	Ago	Sep	Oct	Nov	Dic
<hr/>												
Condiciones exteriores												
Temperatura, θ_e (°C)	5.5	6.8	8.8	11.6	15.3	19.8	23.5	22.8	19.5	14.1	9.0	5.9
<hr/>												
Humedad relativa, ϕ_e (%)	80	76	69	68	67	62	53	54	61	72	79	81
<hr/>												
Condiciones interiores												

Temperatura, θ_i	(°C)	20.0	20.0	20.0	20.0	20.0	20.0	20.0	20.0	20.0	20.0	20.0
20.0												
Humedad relativa, ϕ_i	(%)	60	60	60	60	60	60	60	60	60	60	60

El diagrama psicrométrico asociado al emplazamiento, con una altura sobre el nivel del mar de 679 m, se muestra a continuación, representando mediante segmentos de recta las transiciones desde cada condición exterior de cálculo a su correspondiente condición interior.

7.1.3. Descripción del elemento constructivo

El esquema de la composición del elemento constructivo, en sección, es el siguiente:

Las características térmicas y las propiedades de difusión del vapor de agua de las capas homogéneas de caras paralelas que conforman el modelo de cálculo del elemento constructivo son las siguientes:

Cerramiento exterior	e (cm)	λ (W/m·K)	R (m ² ·K/W)	μ	Sd (m)
Rse		0.04			
1 Hormigón armado d > 2500	6.0	2.500	0.02400	80	4.8
2 XPS Expandido con hidrofluorcarbonos HFC [0.032 W/[mK]]	8.0	0.032	2.50000		
20 1.6					
3 Hormigón armado d > 2500	6.0	2.500	0.02400	80	4.8
4 MW Lana mineral [0.031 W/[mK]]	8.0	0.031	2.58065	1	
0.08					
5 Placa de yeso laminado [PYL] 750 < d < 900	1.5	0.250	0.06000	4	
0.06					
6 Placa de yeso laminado [PYL] 750 < d < 900	1.5	0.250	0.06000	4	
0.06					
Rsi		0.13			

donde:

e: Espesor, cm.

λ : Conductividad térmica del material, W/(m·K).

R: Resistencia térmica del material, m²·K/W.

μ : Factor de resistencia a la difusión del vapor de agua del material.

Sd: Espesor de aire equivalente frente a la difusión del vapor de agua, m.

Rse: Resistencia térmica superficial exterior del elemento, m²·K/W.

Rsi: Resistencia térmica superficial interior del elemento, m²·K/W.

La información de cálculo relativa a los parámetros higrotérmicos del elemento completo, derivada del modelo de capas homogéneas, es la siguiente:

Magnitud	Uds.	Valor
Espesor total del elemento, eT	cm	31.0
Resistencia térmica total, RT	m ² ·K/W	5.4186
Espesor de aire equivalente total, SdT	m	11.40
Transmitancia térmica, U	W/(m ² ·K)	0.185
Factor de resistencia superficial interior, fRsi	--	0.954

donde:

ET: Espesor total del elemento, cm.

RT: Resistencia térmica total del elemento, sumatorio de la resistencia térmica de cada capa, incluyendo las resistencias superficiales Rse y Rsi, m²·K/W.

SdT: Espesor de aire equivalente total, sumatorio del espesor equivalente de cada capa del elemento, m.

U: Transmitancia térmica del elemento, calculada como la inversa de la resistencia térmica total, W/(m²·K).

fRsi: Factor de resistencia superficial interior, calculado como $(1 - U \cdot R_{\text{si}})$, donde $U = 0.185$ W/m²·K y $R_{\text{si}} = 0.25$

$\text{m}^2 \cdot \text{K}/\text{W}$.

7.1.4. Cálculo del factor de temperatura superficial interior necesario para evitar la humedad superficial crítica

Con objeto de prevenir los efectos adversos de la humedad superficial crítica, se ha limitado la humedad relativa máxima en la superficie interior a un valor de $\phi_{si,cr} \leq 0.8$.

Dadas las condiciones higrotérmicas exteriores, así como las interiores, el cálculo de $f_{Rsi,mín}$ queda como sigue:

	θ_e (°C)	ϕ_e (%)	θ_i (°C)	ϕ_i (%)	P_i (Pa)	$P_{sat}(\theta_{si})$ (Pa)	$\theta_{si,mín}$ (°C)	$f_{Rsi,mín}$
Enero	5.5	80.0	20.0	65.0	1519.02	1898.77	16.7	0.772
Febrero	6.8	76.0	20.0	65.0	1519.02	1898.77	16.7	0.749
Marzo	8.8	69.0	20.0	65.0	1519.02	1898.77	16.7	0.704
Abril	11.6	68.0	20.0	65.0	1519.02	1898.77	16.7	0.606
Mayo	15.3	67.0	20.0	65.0	1519.02	1898.77	16.7	0.295
Junio	19.8	62.0	20.0	65.0	1519.02	1898.77	16.7	0.000
Julio	23.5	53.0	20.0	65.0	1519.02	1898.77	16.7	--*
Agosto	22.8	54.0	20.0	65.0	1519.02	1898.77	16.7	--*
Septiembre	19.5	61.0	20.0	65.0	1519.02	1898.77	16.7	0.000
Octubre	14.1	72.0	20.0	65.0	1519.02	1898.77	16.7	0.439
Noviembre	9.0	79.0	20.0	65.0	1519.02	1898.77	16.7	0.699
Diciembre	5.9	81.0	20.0	65.0	1519.02	1898.77	16.7	0.765

*: No hay riesgo de formación de condensaciones superficiales en el paramento interior, ya que $\theta_e \geq \theta_i$.

donde:

θ_e : Temperatura del aire exterior, °C.

ϕ_e : Humedad relativa del aire exterior, %.

θ_i : Temperatura del aire interior, °C.

ϕ_i : Humedad relativa del aire interior, aumentada con un coeficiente de seguridad 5%, %.

P_i : Presión de vapor en el ambiente interior, Pa.

$Psat(\theta_{si})$: Presión de saturación del vapor de agua mínima aceptable para la superficie interior, Pa.

$\theta_{si,mín}$: Mínima temperatura superficial interior aceptable, calculada en base a la presión de saturación mínima aceptable, °C.

$f_{Rsi,mín}$: Factor de resistencia superficial interior mínimo.

Dado que $f_{Rsi} = 0.954 > f_{Rsi,mín} = 0.772$, no se producen condensaciones superficiales en el elemento constructivo.

7.1.5. Cálculo de condensaciones intersticiales

Se exponen a continuación los resultados alcanzados en el cálculo de las temperaturas y presiones en cada una de las interfasas formadas en la unión entre las capas homogéneas que conforman el modelo de cálculo del elemento constructivo.

Cálculo de condensaciones intersticiales en el mes de Enero.

Cerramiento exterior (°C)	θ (Pa)	Psat (Pa)	Pn (%)	ϕ (g/(m ² ·mes))	gc	Ma
Aire exterior	5.50	902.765	722.212	80.0	--	--
Cara exterior	5.61	909.504	722.212	79.4	--	--
Interfase 1-2	5.67	913.569	913.569	100.0	18.301	35.016
Interfase 2-3	12.36	1435.537	1032.018	71.9	--	--
Interfase 3-4	12.43	1441.610	1387.365	96.2	--	--
Interfase 4-5	19.33	2241.913	1393.287	62.1	--	--
Interfase 5-6	19.49	2264.408	1397.729	61.7	--	--
Cara interior	19.65	2287.101	1402.171	61.3	--	--

Aire interior	20.00	2336.951	1402.171	60.0
---------------	-------	----------	----------	------

donde:

θ : Temperatura, °C.

P_{sat} : Presión de saturación del vapor de agua, Pa.

P_n : Presión del vapor de agua, Pa.

ϕ : Humedad relativa, %.

g_c : Densidad de flujo de condensación, g/(m²·mes).

M_a : Contenido acumulado de humedad por unidad de superficie, g/m².

>> Representación gráfica (Enero)

Cálculo de condensaciones intersticiales en el mes de Febrero.

Cerramiento exterior	θ (°C)	P_{sat} (Pa)	P_n (%)	ϕ (g/(m²·mes))	g_c	M_a (g/m²)
Aire exterior	6.80	987.670	750.629	76.0		
Cara exterior	6.90	994.308	750.629	75.5	--	--
Interfase 1-2	6.96	998.310	998.310	100.0	4.640	39.657
Interfase 2-3	13.05	1501.467	1096.216	73.0	--	--
Interfase 3-4	13.10	1507.216	1389.932	92.2	--	--
Interfase 4-5	19.39	2250.293	1394.828	62.0	--	--
Interfase 5-6	19.54	2270.831	1398.499	61.6	--	--
Cara interior	19.68	2291.532	1402.171	61.2	--	--
Aire interior	20.00	2336.951	1402.171	60.0		

donde:

θ : Temperatura, °C.

P_{sat} : Presión de saturación del vapor de agua, Pa.

P_n : Presión del vapor de agua, Pa.

ϕ : Humedad relativa, %.

g_c : Densidad de flujo de condensación, g/(m²·mes).

M_a : Contenido acumulado de humedad por unidad de superficie, g/m².

>> Representación gráfica (Febrero)

Cálculo de condensaciones intersticiales en el mes de Marzo.

Cerramiento exterior	θ (°C)	P_{sat} (Pa)	P_n (%)	ϕ (g/(m ² ·mes))	g_c	M_a (g/m ²)
Aire exterior	8.80	1132.044	781.110	69.0	--	--
Cara exterior	8.88	1138.392	781.110	68.6	--	--
Interfase 1-2	8.93	1142.216	1142.216	100.0	-19.201	20.456
Interfase 2-3	14.10	1608.089	1205.236	74.9	--	--
Interfase 3-4	14.15	1613.269	1394.293	86.4	--	--
Interfase 4-5	19.48	2263.240	1397.444	61.7	--	--
Interfase 5-6	19.61	2280.742	1399.807	61.4	--	--
Cara interior	19.73	2298.363	1402.171	61.0	--	--
Aire interior	20.00	2336.951	1402.171	60.0	--	--

donde:

θ : Temperatura, °C.

P_{sat} : Presión de saturación del vapor de agua, Pa.

Pn: Presión del vapor de agua, Pa.

φ: Humedad relativa, %.

gc: Densidad de flujo de condensación, g/(m²·mes).

Ma: Contenido acumulado de humedad por unidad de superficie, g/m².

>> Representación gráfica (Marzo)

Cálculo de condensaciones intersticiales en el mes de Abril.

Cerramiento exterior (°C)	θ (Pa)	Psat (Pa)	Pn (%)	φ (g/(m ² ·mes))	gc	Ma (g/m ²)
Aire exterior	11.60	1365.261	928.378	68.0	--	--
Cara exterior	11.66	1370.871	928.378	67.7	--	--
Interfase 1-2	11.70	1374.247	1374.247	100.0	-20.456	--
Interfase 2-3	15.57	1768.501	1381.016	78.1	--	--
Interfase 3-4	15.61	1772.722	1401.325	79.0	--	--
Interfase 4-5	19.61	2281.474	1401.663	61.4	--	--
Interfase 5-6	19.71	2294.683	1401.917	61.1	--	--
Cara interior	19.80	2307.958	1402.171	60.8	--	--
Aire interior	20.00	2336.951	1402.171	60.0	--	--

donde:

θ: Temperatura, °C.

Psat: Presión de saturación del vapor de agua, Pa.

Pn: Presión del vapor de agua, Pa.

φ: Humedad relativa, %.

gc: Densidad de flujo de condensación, g/(m²·mes).

Ma: Contenido acumulado de humedad por unidad de superficie, g/m².

>> Representación gráfica (Abril)

Cálculo de condensaciones intersticiales en el mes de Mayo.

Cerramiento exterior	θ (°C)	Psat (Pa)	Pn (%)	ϕ (g/(m ² ·mes))	gc	Ma (g/m ²)
Aire exterior	15.30	1737.605	1164.195	67.0	--	--
Cara exterior	15.33	1741.480	1164.195	66.9	--	--
Interfase 1-2	15.36	1743.809	1264.395	72.5	--	--
Interfase 2-3	17.52	2001.891	1297.795	64.8	--	--
Interfase 3-4	17.54	2004.523	1397.996	69.7	--	--
Interfase 4-5	19.78	2305.767	1399.666	60.7	--	--
Interfase 5-6	19.84	2313.218	1400.918	60.6	--	--
Cara interior	19.89	2320.690	1402.171	60.4	--	--
Aire interior	20.00	2336.951	1402.171	60.0	--	--

donde:

θ : Temperatura, °C.

Psat: Presión de saturación del vapor de agua, Pa.

Pn: Presión del vapor de agua, Pa.

ϕ : Humedad relativa, %.

gc: Densidad de flujo de condensación, g/(m²·mes).

Ma: Contenido acumulado de humedad por unidad de superficie, g/m².

>> Representación gráfica (Mayo)

Cálculo de condensaciones intersticiales en el mes de Junio.

Cerramiento exterior	θ (°C)	Psat (Pa)	Pn (%)	ϕ (g/(m ² ·mes))	gc (g/m ²)	Ma (g/m ²)
Aire exterior	19.80	2308.176	1431.069	62.0	--	--
Cara exterior	19.80	2308.387	1431.069	62.0	--	--
Interfase 1-2	19.80	2308.514	1418.901	61.5	--	--
Interfase 2-3	19.89	2321.753	1414.845	60.9	--	--
Interfase 3-4	19.90	2321.880	1402.678	60.4	--	--
Interfase 4-5	19.99	2335.617	1402.475	60.0	--	--
Interfase 5-6	19.99	2335.937	1402.323	60.0	--	--
Cara interior	20.00	2336.257	1402.171	60.0	--	--
Aire interior	20.00	2336.951	1402.171	60.0	--	--

donde:

θ : Temperatura, °C.

Psat: Presión de saturación del vapor de agua, Pa.

Pn: Presión del vapor de agua, Pa.

ϕ : Humedad relativa, %.

gc: Densidad de flujo de condensación, g/(m²·mes).

Ma: Contenido acumulado de humedad por unidad de superficie, g/m².

>> Representación gráfica (Junio)

Cálculo de condensaciones intersticiales en el mes de Julio.

Cerramiento exterior	θ (°C)	Psat (Pa)	Pn (%)	ϕ (g/(m ² ·mes))	gc	Ma (g/m ²)
Aire exterior	23.50	2893.848	1533.739	53.0		
Cara exterior	23.47	2889.346	1533.739	53.1	--	--
Interfase 1-2	23.46	2886.648	1478.342	51.2	--	--
Interfase 2-3	21.84	2617.367	1459.876	55.8	--	--
Interfase 3-4	21.83	2614.893	1404.479	53.7	--	--
Interfase 4-5	20.16	2360.412	1403.556	59.5	--	--
Interfase 5-6	20.12	2354.763	1402.863	59.6	--	--
Cara interior	20.08	2349.125	1402.171	59.7	--	--
Aire interior	20.00	2336.951	1402.171	60.0		

donde:

θ : Temperatura, °C.

Psat: Presión de saturación del vapor de agua, Pa.

Pn: Presión del vapor de agua, Pa.

ϕ : Humedad relativa, %.

gc: Densidad de flujo de condensación, g/(m²·mes).

Ma: Contenido acumulado de humedad por unidad de superficie, g/m².

>> Representación gráfica (Julio)

Cálculo de condensaciones intersticiales en el mes de Agosto.

Cerramiento exterior	θ	Psat	Pn	ϕ	gc	Ma
----------------------	----------	------	----	--------	----	----

	(°C)	(Pa)	(Pa)	(%)	(g/(m ² ·mes))	(g/m ²)
Aire exterior	22.80	2774.025	1497.973	54.0		
Cara exterior	22.78	2770.554	1497.973	54.1	--	--
Interfase 1-2	22.77	2768.473	1457.635	52.7	--	--
Interfase 2-3	21.48	2559.044	1444.189	56.4	--	--
Interfase 3-4	21.46	2557.103	1403.851	54.9	--	--
Interfase 4-5	20.13	2355.704	1403.179	59.6	--	--
Interfase 5-6	20.10	2351.191	1402.675	59.7	--	--
Cara interior	20.07	2346.686	1402.171	59.8	--	--
Aire interior	20.00	2336.951	1402.171	60.0		

donde:

θ : Temperatura, °C.

P_{sat} : Presión de saturación del vapor de agua, Pa.

P_n : Presión del vapor de agua, Pa.

ϕ : Humedad relativa, %.

gc : Densidad de flujo de condensación, g/(m²·mes).

Ma : Contenido acumulado de humedad por unidad de superficie, g/m².

>> Representación gráfica (Agosto)

Cálculo de condensaciones intersticiales en el mes de Septiembre.

Cerramiento exterior	θ (°C)	P_{sat} (Pa)	P_n (%)	ϕ (g/(m ² ·mes))	gc (g/m ²)	Ma
Aire exterior	19.50	2265.595	1382.013	61.0		
Cara exterior	19.50	2266.114	1382.013	61.0	--	--

Interfase 1-2		19.51	2266.426	1390.500	61.4	--	--
Interfase 2-3		19.74	2299.118	1393.329	60.6	--	--
Interfase 3-4		19.74	2299.434	1401.817	61.0	--	--
Interfase 4-5		19.98	2333.616	1401.958	60.1	--	--
Interfase 5-6		19.98	2334.416	1402.065	60.1	--	--
Cara interior		19.99	2335.216	1402.171	60.0	--	--
Aire interior		20.00	2336.951	1402.171	60.0		

donde:

θ : Temperatura, °C.

P_{sat} : Presión de saturación del vapor de agua, Pa.

P_n : Presión del vapor de agua, Pa.

ϕ : Humedad relativa, %.

g_c : Densidad de flujo de condensación, g/(m²·mes).

M_a : Contenido acumulado de humedad por unidad de superficie, g/m².

>> Representación gráfica (Septiembre)

Cálculo de condensaciones intersticiales en el mes de Octubre.

Cerramiento exterior	θ (°C)	P_{sat} (Pa)	P_n (%)	ϕ (g/(m²·mes))	g_c (g/m²)	M_a (g/m²)
Aire exterior	14.10	1608.128	1157.852	72.0		
Cara exterior	14.14	1612.675	1157.852	71.8	--	--
Interfase 1-2	14.17	1615.408	1260.723	78.0	--	--
Interfase 2-3	16.89	1923.406	1295.013	67.3	--	--

Interfase 3-4	16.92	1926.596	1397.884	72.6	--	--
Interfase 4-5	19.73	2297.864	1399.599	60.9	--	--
Interfase 5-6	19.79	2307.192	1400.885	60.7	--	--
Cara interior	19.86	2316.554	1402.171	60.5	--	--
Aire interior	20.00	2336.951	1402.171	60.0		

donde:

θ : Temperatura, °C.

Psat: Presión de saturación del vapor de agua, Pa.

Pn: Presión del vapor de agua, Pa.

ϕ : Humedad relativa, %.

gc: Densidad de flujo de condensación, g/(m²·mes).

Ma: Contenido acumulado de humedad por unidad de superficie, g/m².

>> Representación gráfica (Octubre)

Cálculo de condensaciones intersticiales en el mes de Noviembre.

Cerramiento exterior	θ (°C)	Psat (Pa)	Pn (%)	ϕ (g/(m²·mes))	gc	Ma (g/m²)
Aire exterior	9.00	1147.455	906.489	79.0		
Cara exterior	9.08	1153.764	906.489	78.6	--	--
Interfase 1-2	9.13	1157.564	1115.197	96.3	--	--
Interfase 2-3	14.20	1619.108	1184.767	73.2	--	--
Interfase 3-4	14.25	1624.226	1393.475	85.8	--	--
Interfase 4-5	19.49	2264.538	1396.953	61.7	--	--
Interfase 5-6	19.61	2281.736	1399.562	61.3	--	--

Cara interior	19.74	2299.048	1402.171	61.0	--	--
Aire interior	20.00	2336.951	1402.171	60.0		

donde:

θ : Temperatura, °C.

P_{sat} : Presión de saturación del vapor de agua, Pa.

P_n : Presión del vapor de agua, Pa.

ϕ : Humedad relativa, %.

g_c : Densidad de flujo de condensación, g/(m²·mes).

M_a : Contenido acumulado de humedad por unidad de superficie, g/m².

>> Representación gráfica (Noviembre)

Cálculo de condensaciones intersticiales en el mes de Diciembre.

Cerramiento exterior	θ (°C)	P_{sat} (Pa)	P_n (%)	ϕ (g/(m²·mes))	g_c	M_a (g/m²)
Aire exterior	5.90	928.177	751.823	81.0		
Cara exterior	6.00	934.891	751.823	80.4	--	--
Interfase 1-2	6.07	938.941	938.941	100.0	16.715	16.715
Interfase 2-3	12.57	1455.547	1051.239	72.2	--	--
Interfase 3-4	12.63	1461.524	1388.133	95.0	--	--
Interfase 4-5	19.35	2244.489	1393.748	62.1	--	--
Interfase 5-6	19.51	2266.383	1397.960	61.7	--	--
Cara interior	19.66	2288.463	1402.171	61.3	--	--
Aire interior	20.00	2336.951	1402.171	60.0		

donde:

θ : Temperatura, °C.

P_{sat} : Presión de saturación del vapor de agua, Pa.

P_n : Presión del vapor de agua, Pa.

ϕ : Humedad relativa, %.

g_c : Densidad de flujo de condensación, g/(m²·mes).

M_a : Contenido acumulado de humedad por unidad de superficie, g/m².

>> Representación gráfica (Diciembre)

Evolución anual de la condensación acumulada.

Se presentan a continuación las cantidades totales de agua condensada en el elemento constructivo para cada situación de cálculo, así como la evolución de la humedad acumulada a lo largo del año.

El primer mes con condensación en alguna interfase es diciembre, aunque la cantidad neta anual es nula, por producirse la evaporación suficiente en los meses siguientes.

	Ene	Feb	Mar	Abr	May	Jun	Jul	Ago	Sep	Oct	Nov	Dic
Evolución de la cantidad de agua condensada.												
gc	g/(m ² ·mes)	18.301	4.640	--	--	--	--	--	--	--	--	16.715
gev	g/(m ² ·mes)	--	--	19.201	20.456	--	--	--	--	--	--	--
Ma	(g/m ²)	35.016	39.657	20.456	--	--	--	--	--	--	--	16.715

donde:

g_c : Densidad de flujo de condensación, g/(m²·mes).

gev : Densidad de flujo de evaporación, g/(m²·mes).

M_a : Contenido acumulado de humedad por unidad de superficie, g/m².

>> Representación gráfica (Condensación acumulada)

7.1.6. Representación gráfica de las condensaciones intersticiales previstas

Enero

Febrero

Presión de vapor teórica Presión de vapor real
vapor real

Presión de saturación Temperatura

Presión de saturación Temperatura

Marzo

Abril

Presión de vapor teórica Presión de vapor real
vapor real

Presión de saturación Temperatura

Presión de saturación Temperatura

Mayo

Junio

Presión de vapor teórica Presión de vapor real
vapor real

Presión de saturación Temperatura

Presión de saturación Temperatura

Julio

Agosto

Presión de vapor teórica Presión de vapor real Presión de vapor teórica Presión de vapor real

Presión de saturación Temperatura

Presión de saturación Temperatura

Septiembre

Octubre

Presión de vapor teórica Presión de vapor real Presión de vapor teórica Presión de vapor real

Presión de saturación Temperatura

Presión de saturación Temperatura

Noviembre

Diciembre

Presión de vapor teórica Presión de vapor real Presión de vapor teórica Presión de vapor real

Presión de saturación Temperatura

Presión de saturación Temperatura

Condensación acumulada

7.2. Cubierta 3 - Inclinadas aulas

7.2.1. Resultados del cálculo de condensaciones

7.2.1.1. Condensación superficial

$$f_{Rsi} = 0.953 \geq f_{Rsi,mín} = 0.772$$

El elemento constructivo no presenta condensaciones superficiales.

donde:

f_{Rsi} : Factor de resistencia superficial interior, calculado como $(1 - U \cdot Rsi)$, donde $U = 0.189$ $W/m^2 \cdot K$ y $Rsi = 0.25$ $m^2 \cdot K/W$.

$f_{Rsi,mín}$: Factor de resistencia superficial interior mínimo, necesario para evitar la humedad superficial crítica, calculado considerando un valor de $\phi_{si,cr} \leq 0.8$.

7.2.1.2. Condensación intersticial

El elemento constructivo presenta condensaciones intersticiales en los meses de: diciembre, enero, febrero. Sin embargo, la cantidad de condensación acumulada en cada periodo anual no es superior a la cantidad de evaporación posible en el mismo periodo.

7.2.2. Condiciones higrotérmicas de cálculo

Las condiciones higrotérmicas exteriores e interiores utilizadas para realizar el cálculo de condensaciones son las siguientes:

	Ene	Feb	Mar	Abr	May	Jun	Jul	Ago	Sep	Oct	Nov	Dic
<hr/>												
Condiciones exteriores												
Temperatura, θ_e (°C)	5.5	6.8	8.8	11.6	15.3	19.8	23.5	22.8	19.5	14.1	9.0	5.9
<hr/>												
Humedad relativa, ϕ_e (%)	80	76	69	68	67	62	53	54	61	72	79	81
<hr/>												
Condiciones interiores												
Temperatura, θ_i (°C)	20.0	20.0	20.0	20.0	20.0	20.0	20.0	20.0	20.0	20.0	20.0	20.0
<hr/>												
Humedad relativa, ϕ_i (%)	60	60	60	60	60	60	60	60	60	60	60	60
<hr/>												

El diagrama psicrométrico asociado al emplazamiento, con una altura sobre el nivel del mar de 679 m, se muestra a continuación, representando mediante segmentos de recta las transiciones desde cada condición exterior de cálculo a su correspondiente condición interior.

7.2.3. Descripción del elemento constructivo

El esquema de la composición del elemento constructivo, en sección, es el siguiente:

Las características térmicas y las propiedades de difusión del vapor de agua de las capas homogéneas de caras paralelas que conforman el modelo de cálculo del elemento constructivo son las siguientes:

Cubierta 3 - Inclinadas aulas	e (cm)	λ (W/m·K)	R (m ² ·K/W)	μ	Sd (m)
Rse		0.04			
1 Aluminio	0.1	230.000	0.00000	1000000	1000
2 XPS Expandido con hidrofluorcarbonos HFC [0.032 W/[mK]]	10.0	0.032	3.12500		
3 Aluminio	0.1	230.000	0.00000	1000000	1000
4 MW Lana mineral [0.031 W/[mK]]	5.0	0.031	1.61290	1	
0.05					

5	Con capa de compresión -Canto 300 mm	30.0	1.579	0.18999	80
24					
6	Cámara de aire	10.0	0.16000	0.01	
7	Placa de yeso laminado [PYL] $750 < d < 900$	1.5	0.250	0.06000	4
0.06					
Rsi		0.10			

donde:

e: Espesor, cm.

λ : Conductividad térmica del material, W/(m·K).

R: Resistencia térmica del material, m²·K/W.

μ : Factor de resistencia a la difusión del vapor de agua del material.

Sd: Espesor de aire equivalente frente a la difusión del vapor de agua, m.

Rse: Resistencia térmica superficial exterior del elemento, m²·K/W.

Rsi: Resistencia térmica superficial interior del elemento, m²·K/W.

La información de cálculo relativa a los parámetros higrotérmicos del elemento completo, derivada del modelo de capas homogéneas, es la siguiente:

Magnitud	Uds.	Valor
Espesor total del elemento, eT	cm	56.7
Resistencia térmica total, RT	m ² ·K/W	5.2879
Espesor de aire equivalente total, SdT	m	2026.12
Transmitancia térmica, U	W/(m ² ·K)	0.189
Factor de resistencia superficial interior, fRsi	--	0.953

donde:

ET: Espesor total del elemento, cm.

RT: Resistencia térmica total del elemento, sumatorio de la resistencia térmica de cada capa, incluyendo las resistencias superficiales R_{se} y R_{si} , $\text{m}^2\cdot\text{K}/\text{W}$.

SdT: Espesor de aire equivalente total, sumatorio del espesor equivalente de cada capa del elemento, m.

U: Transmitancia térmica del elemento, calculada como la inversa de la resistencia térmica total, $\text{W}/(\text{m}^2\cdot\text{K})$.

fR_{si} : Factor de resistencia superficial interior, calculado como $(1 - U \cdot R_{si})$, donde $U = 0.189 \text{ W/m}^2\cdot\text{K}$ y $R_{si} = 0.25 \text{ m}^2\cdot\text{K}/\text{W}$.

7.2.4. Cálculo del factor de temperatura superficial interior necesario para evitar la humedad superficial crítica

Con objeto de prevenir los efectos adversos de la humedad superficial crítica, se ha limitado la humedad relativa máxima en la superficie interior a un valor de $\phi_{si,cr} \leq 0.8$.

Dadas las condiciones higrotérmicas exteriores, así como las interiores, el cálculo de $fR_{si,mín}$ queda como sigue:

	θ_e (°C)	ϕ_e (%)	θ_i (°C)	ϕ_i (%)	P_i (Pa)	$P_{sat}(\theta_{si})$ (Pa)	$\theta_{si,mín}$ (°C)	$fR_{si,mín}$
Enero	5.5	80.0	20.0	65.0	1519.02	1898.77	16.7	0.772
Febrero	6.8	76.0	20.0	65.0	1519.02	1898.77	16.7	0.749
Marzo	8.8	69.0	20.0	65.0	1519.02	1898.77	16.7	0.704
Abril	11.6	68.0	20.0	65.0	1519.02	1898.77	16.7	0.606
Mayo	15.3	67.0	20.0	65.0	1519.02	1898.77	16.7	0.295
Junio	19.8	62.0	20.0	65.0	1519.02	1898.77	16.7	0.000
Julio	23.5	53.0	20.0	65.0	1519.02	1898.77	16.7	--*
Agosto	22.8	54.0	20.0	65.0	1519.02	1898.77	16.7	--*
Septiembre	19.5	61.0	20.0	65.0	1519.02	1898.77	16.7	0.000
Octubre	14.1	72.0	20.0	65.0	1519.02	1898.77	16.7	0.439
Noviembre	9.0	79.0	20.0	65.0	1519.02	1898.77	16.7	0.699

Diciembre		5.9	81.0	20.0	65.0	1519.02	1898.77	16.7	0.765
-----------	--	-----	------	------	------	---------	---------	------	-------

*: No hay riesgo de formación de condensaciones superficiales en el paramento interior, ya que $\theta_e \geq \theta_i$.

donde:

θ_e : Temperatura del aire exterior, °C.

ϕ_e : Humedad relativa del aire exterior, %.

θ_i : Temperatura del aire interior, °C.

ϕ_i : Humedad relativa del aire interior, aumentada con un coeficiente de seguridad 5%, %.

P_i : Presión de vapor en el ambiente interior, Pa.

$Psat(\theta_i)$: Presión de saturación del vapor de agua mínima aceptable para la superficie interior, Pa.

$\theta_{si,mín}$: Mínima temperatura superficial interior aceptable, calculada en base a la presión de saturación mínima aceptable, °C.

$f_{Rsi,mín}$: Factor de resistencia superficial interior mínimo.

Dado que $f_{Rsi} = 0.953 > f_{Rsi,mín} = 0.772$, no se producen condensaciones superficiales en el elemento constructivo.

7.2.5. Cálculo de condensaciones intersticiales

Se exponen a continuación los resultados alcanzados en el cálculo de las temperaturas y presiones en cada una de las interfasas formadas en la unión entre las capas homogéneas que conforman el modelo de cálculo del elemento constructivo.

Cálculo de condensaciones intersticiales en el mes de Enero.

Cubierta 3 - Inclinadas aulas	θ (°C)	$Psat$ (Pa)	P_n (%)	ϕ (g/(m ² ·mes))	gc (g/m ²)	Ma
Aire exterior	5.50	902.765	722.212	80.0		

Cara exterior		5.61	909.671	722.212	79.4	--	--
Interfase 1-2		5.61	909.672	909.672	100.0	0.157	0.302
Interfase 2-3		14.18	1616.361	910.632	56.3	--	--
Interfase 3-4		14.18	1616.362	1390.594	86.0	--	--
Interfase 4-5		18.60	2142.151	1390.618	64.9	--	--
Interfase 5-6		19.12	2212.994	1402.137	63.4	--	--
Interfase 6-7		19.56	2274.234	1402.142	61.7	--	--
Cara interior		19.73	2297.578	1402.171	61.0	--	--
Aire interior		20.00	2336.951	1402.171	60.0		

donde:

θ : Temperatura, °C.

P_{sat} : Presión de saturación del vapor de agua, Pa.

P_n : Presión del vapor de agua, Pa.

ϕ : Humedad relativa, %.

g_c : Densidad de flujo de condensación, g/(m²·mes).

M_a : Contenido acumulado de humedad por unidad de superficie, g/m².

>> Representación gráfica (Enero)

Cálculo de condensaciones intersticiales en el mes de Febrero.

Cubierta 3 - Inclinadas aulas	θ (°C)	P_{sat} (Pa)	P_n (Pa)	ϕ (%)	g_c (g/(m²·mes))	M_a (g/m²)
Aire exterior		6.80	987.670	750.629	76.0	
Cara exterior		6.90	994.473	750.629	75.5	--
Interfase 1-2		6.90	994.474	994.474	100.0	0.074

Interfase 2-3	14.70	1671.841	995.268	59.5	--	--
Interfase 3-4	14.70	1671.842	1392.587	83.3	--	--
Interfase 4-5	18.73	2159.016	1392.607	64.5	--	--
Interfase 5-6	19.20	2223.868	1402.143	63.0	--	--
Interfase 6-7	19.60	2279.796	1402.147	61.5	--	--
Cara interior	19.75	2301.084	1402.171	60.9	--	--
Aire interior	20.00	2336.951	1402.171	60.0		

donde:

θ : Temperatura, °C.

P_{sat} : Presión de saturación del vapor de agua, Pa.

P_n : Presión del vapor de agua, Pa.

ϕ : Humedad relativa, %.

g_c : Densidad de flujo de condensación, g/(m²·mes).

M_a : Contenido acumulado de humedad por unidad de superficie, g/m².

>> Representación gráfica (Febrero)

Cálculo de condensaciones intersticiales en el mes de Marzo.

Cubierta 3 - Inclinadas aulas	θ (°C)	P_{sat} (Pa)	P_n (%)	ϕ (g/(m²·mes))	g_c (g/m²)	M_a (g/m²)
Aire exterior	8.80	1132.044	781.110	69.0		
Cara exterior	8.88	1138.550	781.110	68.6	--	--
Interfase 1-2	8.88	1138.550	1138.550	100.0	-0.054	0.323
Interfase 2-3	15.50	1760.457	1139.064	64.7	--	--

Interfase 3-4	15.50	1760.458	1395.974	79.3	--	--
Interfase 4-5	18.92	2185.189	1395.987	63.9	--	--
Interfase 5-6	19.32	2240.687	1402.153	62.6	--	--
Interfase 6-7	19.66	2288.377	1402.155	61.3	--	--
Cara interior	19.79	2306.488	1402.171	60.8	--	--
Aire interior	20.00	2336.951	1402.171	60.0		

donde:

θ : Temperatura, °C.

P_{sat} : Presión de saturación del vapor de agua, Pa.

P_n : Presión del vapor de agua, Pa.

ϕ : Humedad relativa, %.

g_c : Densidad de flujo de condensación, g/(m²·mes).

M_a : Contenido acumulado de humedad por unidad de superficie, g/m².

>> Representación gráfica (Marzo)

Cálculo de condensaciones intersticiales en el mes de Abril.

Cubierta 3 - Inclinadas aulas	θ (°C)	P_{sat} (Pa)	P_n (%)	ϕ (g/(m²·mes))	g_c (g/m²)	M_a
Aire exterior	11.60	1365.261	928.378	68.0		
Cara exterior	11.66	1371.010	928.378	67.7	--	--
Interfase 1-2	11.66	1371.011	1371.011	100.0	-0.214	0.109
Interfase 2-3	16.63	1891.429	1371.072	72.5	--	--
Interfase 3-4	16.63	1891.430	1401.438	74.1	--	--
Interfase 4-5	19.19	2222.298	1401.440	63.1	--	--

Interfase 5-6	19.49	2264.422	1402.169	61.9	--	--
Interfase 6-7	19.75	2300.437	1402.169	61.0	--	--
Cara interior	19.84	2314.071	1402.171	60.6	--	--
Aire interior	20.00	2336.951	1402.171	60.0		

donde:

θ : Temperatura, °C.

Psat: Presión de saturación del vapor de agua, Pa.

Pn: Presión del vapor de agua, Pa.

ϕ : Humedad relativa, %.

gc: Densidad de flujo de condensación, g/(m²·mes).

Ma: Contenido acumulado de humedad por unidad de superficie, g/m².

>> Representación gráfica (Abril)

Cálculo de condensaciones intersticiales en el mes de Mayo.

Cubierta 3 - Inclinadas aulas	θ (°C)	Psat (Pa)	Pn (%)	ϕ (g/(m²·mes))	gc (g/m²)	Ma
Aire exterior	15.30	1737.605	1164.195	67.0		
Cara exterior	15.34	1741.576	1164.195	66.8	--	--
Interfase 1-2	15.34	1741.577	1741.577	100.0	-0.109	--
Interfase 2-3	18.11	2077.547	1740.915	83.8	--	--
Interfase 3-4	18.11	2077.548	1410.149	67.9	--	--
Interfase 4-5	19.55	2272.179	1410.132	62.1	--	--
Interfase 5-6	19.72	2296.123	1402.194	61.1	--	--

Interfase 6-7		19.86	2316.458	1402.191	60.5	--	--
Cara interior		19.91	2324.125	1402.171	60.3	--	--
Aire interior		20.00	2336.951	1402.171	60.0	--	--

donde:

θ : Temperatura, °C.

Psat: Presión de saturación del vapor de agua, Pa.

Pn: Presión del vapor de agua, Pa.

ϕ : Humedad relativa, %.

gc: Densidad de flujo de condensación, g/(m²·mes).

Ma: Contenido acumulado de humedad por unidad de superficie, g/m².

>> Representación gráfica (Mayo)

Cálculo de condensaciones intersticiales en el mes de Junio.

Cubierta 3 - Inclinadas aulas	θ (°C)	Psat (Pa)	Pn (%)	ϕ (g/(m ² ·mes))	gc (g/m ²)	Ma (g/m ²)
Aire exterior	19.80	2308.176	1431.069	62.0	--	--
Cara exterior	19.80	2308.393	1431.069	62.0	--	--
Interfase 1-2	19.80	2308.393	1416.806	61.4	--	--
Interfase 2-3	19.92	2325.362	1416.778	60.9	--	--
Interfase 3-4	19.92	2325.362	1402.515	60.3	--	--
Interfase 4-5	19.98	2334.162	1402.514	60.1	--	--
Interfase 5-6	19.99	2335.201	1402.172	60.0	--	--
Interfase 6-7	19.99	2336.076	1402.172	60.0	--	--
Cara interior	20.00	2336.404	1402.171	60.0	--	--

Aire interior	20.00	2336.951	1402.171	60.0
---------------	-------	----------	----------	------

donde:

θ : Temperatura, °C.

P_{sat} : Presión de saturación del vapor de agua, Pa.

P_n : Presión del vapor de agua, Pa.

ϕ : Humedad relativa, %.

g_c : Densidad de flujo de condensación, g/(m²·mes).

M_a : Contenido acumulado de humedad por unidad de superficie, g/m².

>> Representación gráfica (Junio)

Cálculo de condensaciones intersticiales en el mes de Julio.

Cubierta 3 - Inclinadas aulas	θ (°C)	P_{sat} (Pa)	P_n (%)	ϕ (g/(m²·mes))	g_c (g/m²)	M_a
Aire exterior	23.50	2893.848	1533.739	53.0	--	--
Cara exterior	23.47	2889.235	1533.739	53.1	--	--
Interfase 1-2	23.47	2889.235	1468.803	50.8	--	--
Interfase 2-3	21.41	2548.107	1468.673	57.6	--	--
Interfase 3-4	21.41	2548.107	1403.737	55.1	--	--
Interfase 4-5	20.34	2386.229	1403.734	58.8	--	--
Interfase 5-6	20.21	2367.766	1402.175	59.2	--	--
Interfase 6-7	20.11	2352.314	1402.175	59.6	--	--
Cara interior	20.07	2346.543	1402.171	59.8	--	--
Aire interior	20.00	2336.951	1402.171	60.0	--	--

donde:

θ : Temperatura, °C.

P_{sat} : Presión de saturación del vapor de agua, Pa.

P_n : Presión del vapor de agua, Pa.

ϕ : Humedad relativa, %.

g_c : Densidad de flujo de condensación, g/(m²·mes).

M_a : Contenido acumulado de humedad por unidad de superficie, g/m².

>> Representación gráfica (Julio)

Cálculo de condensaciones intersticiales en el mes de Agosto.

Cubierta 3 - Inclinadas aulas	θ (°C)	P_{sat} (Pa)	P_n (%)	ϕ (g/(m ² ·mes))	g_c (g/m ²)	M_a (g/m ²)
Aire exterior	22.80	2774.025	1497.973	54.0	--	--
Cara exterior	22.78	2770.468	1497.973	54.1	--	--
Interfase 1-2	22.78	2770.467	1450.690	52.4	--	--
Interfase 2-3	21.12	2504.591	1450.595	57.9	--	--
Interfase 3-4	21.12	2504.590	1403.311	56.0	--	--
Interfase 4-5	20.27	2376.302	1403.309	59.1	--	--
Interfase 5-6	20.17	2361.575	1402.174	59.4	--	--
Interfase 6-7	20.08	2349.235	1402.174	59.7	--	--
Cara interior	20.05	2344.622	1402.171	59.8	--	--
Aire interior	20.00	2336.951	1402.171	60.0	--	--

donde:

θ : Temperatura, °C.

Psat: Presión de saturación del vapor de agua, Pa.

Pn: Presión del vapor de agua, Pa.

ϕ : Humedad relativa, %.

gc: Densidad de flujo de condensación, g/(m²·mes).

Ma: Contenido acumulado de humedad por unidad de superficie, g/m².

>> Representación gráfica (Agosto)

Cálculo de condensaciones intersticiales en el mes de Septiembre.

Cubierta 3 - Inclinadas aulas	θ (°C)	Psat (Pa)	Pn (%)	ϕ (g/(m ² ·mes))	gc (g/m ²)	Ma (g/m ²)
Aire exterior	19.50	2265.595	1382.013	61.0	--	--
Cara exterior	19.50	2266.127	1382.013	61.0	--	--
Interfase 1-2	19.50	2266.127	1391.962	61.4	--	--
Interfase 2-3	19.80	2308.071	1391.982	60.3	--	--
Interfase 3-4	19.80	2308.072	1401.931	60.7	--	--
Interfase 4-5	19.95	2329.985	1401.931	60.2	--	--
Interfase 5-6	19.97	2332.578	1402.170	60.1	--	--
Interfase 6-7	19.98	2334.764	1402.170	60.1	--	--
Cara interior	19.99	2335.584	1402.171	60.0	--	--
Aire interior	20.00	2336.951	1402.171	60.0	--	--

donde:

θ : Temperatura, °C.

Psat: Presión de saturación del vapor de agua, Pa.

Pn: Presión del vapor de agua, Pa.

ϕ : Humedad relativa, %.

gc: Densidad de flujo de condensación, g/(m²·mes).

Ma: Contenido acumulado de humedad por unidad de superficie, g/m².

>> Representación gráfica (Septiembre)

Cálculo de condensaciones intersticiales en el mes de Octubre.

Cubierta 3 - Inclinadas aulas	θ (°C)	Psat (Pa)	Pn (%)	ϕ (g/(m ² ·mes))	gc (g/m ²)	Ma (g/m ²)
Aire exterior	14.10	1608.128	1157.852	72.0	--	--
Cara exterior	14.14	1612.787	1157.852	71.8	--	--
Interfase 1-2	14.14	1612.788	1278.437	79.3	--	--
Interfase 2-3	17.63	2015.502	1278.678	63.4	--	--
Interfase 3-4	17.63	2015.502	1399.262	69.4	--	--
Interfase 4-5	19.43	2255.895	1399.268	62.0	--	--
Interfase 5-6	19.64	2285.800	1402.162	61.3	--	--
Interfase 6-7	19.82	2311.252	1402.163	60.7	--	--
Cara interior	19.89	2320.860	1402.171	60.4	--	--
Aire interior	20.00	2336.951	1402.171	60.0	--	--

donde:

θ : Temperatura, °C.

Psat: Presión de saturación del vapor de agua, Pa.

Pn: Presión del vapor de agua, Pa.

ϕ : Humedad relativa, %.

gc: Densidad de flujo de condensación, g/(m²·mes).

Ma: Contenido acumulado de humedad por unidad de superficie, g/m².

>> Representación gráfica (Octubre)

Cálculo de condensaciones intersticiales en el mes de Noviembre.

Cubierta 3 - Inclinadas aulas	θ (°C)	Psat (Pa)	Pn (%)	ϕ (g/(m ² ·mes))	gc (g/m ²)	Ma (g/m ²)
Aire exterior	9.00	1147.455	906.489	79.0	--	--
Cara exterior	9.08	1153.920	906.489	78.6	--	--
Interfase 1-2	9.08	1153.921	1151.135	99.8	--	--
Interfase 2-3	15.58	1769.541	1151.624	65.1	--	--
Interfase 3-4	15.58	1769.542	1396.270	78.9	--	--
Interfase 4-5	18.94	2187.822	1396.282	63.8	--	--
Interfase 5-6	19.33	2242.376	1402.154	62.5	--	--
Interfase 6-7	19.67	2289.236	1402.156	61.2	--	--
Cara interior	19.79	2307.029	1402.171	60.8	--	--
Aire interior	20.00	2336.951	1402.171	60.0	--	--

donde:

θ : Temperatura, °C.

Psat: Presión de saturación del vapor de agua, Pa.

Pn: Presión del vapor de agua, Pa.

ϕ : Humedad relativa, %.

gc: Densidad de flujo de condensación, g/(m²·mes).

Ma: Contenido acumulado de humedad por unidad de superficie, g/m².

>> Representación gráfica (Noviembre)

Cálculo de condensaciones intersticiales en el mes de Diciembre.

Cubierta 3 - Inclinadas aulas	θ (°C)	Psat (Pa)	Pn (%)	ϕ (g/(m ² ·mes))	gc (g/m ²)	Ma (g/m ²)
Aire exterior	5.90	928.177	751.823	81.0	--	--
Cara exterior	6.01	935.058	751.823	80.4	--	--
Interfase 1-2	6.01	935.059	935.059	100.0	0.146	0.146
Interfase 2-3	14.34	1633.257	935.969	57.3	--	--
Interfase 3-4	14.34	1633.258	1391.191	85.2	--	--
Interfase 4-5	18.64	2147.328	1391.214	64.8	--	--
Interfase 5-6	19.15	2216.335	1402.139	63.3	--	--
Interfase 6-7	19.57	2275.944	1402.143	61.6	--	--
Cara interior	19.73	2298.657	1402.171	61.0	--	--
Aire interior	20.00	2336.951	1402.171	60.0	--	--

donde:

θ : Temperatura, °C.

Psat: Presión de saturación del vapor de agua, Pa.

Pn: Presión del vapor de agua, Pa.

ϕ : Humedad relativa, %.

gc: Densidad de flujo de condensación, g/(m²·mes).

Ma: Contenido acumulado de humedad por unidad de superficie, g/m².

>> Representación gráfica (Diciembre)

Evolución anual de la condensación acumulada.

Se presentan a continuación las cantidades totales de agua condensada en el elemento constructivo para cada situación de cálculo, así como la evolución de la humedad acumulada a lo largo del año.

El primer mes con condensación en alguna interfase es diciembre, aunque la cantidad neta anual es nula, por producirse la evaporación suficiente en los meses siguientes.

	Ene	Feb	Mar	Abr	May	Jun	Jul	Ago	Sep	Oct	Nov	Dic
<hr/>												
Evolución de la cantidad de agua condensada.												
gc	g/(m ² ·mes)	0.157	0.074	--	--	--	--	--	--	--	--	0.146
gev	g/(m ² ·mes)	--	--	0.054	0.214	0.109	--	--	--	--	--	--
Ma	(g/m ²)	0.302	0.377	0.323	0.109	--	--	--	--	--	--	0.146
<hr/>												

donde:

gc: Densidad de flujo de condensación, g/(m²·mes).

gev: Densidad de flujo de evaporación, g/(m²·mes).

Ma: Contenido acumulado de humedad por unidad de superficie, g/m².

>> Representación gráfica (Condensación acumulada)

7.2.6. Representación gráfica de las condensaciones intersticiales previstas



Presión de vapor teórica Presión de vapor real
vapor real

Presión de vapor teórica Presión de

Presión de saturación Temperatura

Presión de saturación Temperatura

Marzo

Abril

Presión de vapor teórica Presión de vapor real
vapor real

Presión de vapor teórica Presión de

Presión de saturación Temperatura

Presión de saturación Temperatura

Mayo

Junio

Presión de vapor teórica Presión de vapor real
vapor real

Presión de vapor teórica Presión de

Presión de saturación Temperatura

Presión de saturación Temperatura

Julio

Agosto

Presión de vapor teórica Presión de vapor real
vapor real

Presión de vapor teórica Presión de

Presión de saturación Temperatura

Presión de saturación Temperatura

Septiembre

Octubre

Presión de vapor teórica Presión de vapor real
vapor real

Presión de saturación Temperatura

Presión de saturación Temperatura

Noviembre

Diciembre

Presión de vapor teórica Presión de vapor real
vapor real

Presión de saturación Temperatura

Presión de saturación Temperatura

Condensación acumulada

7.3. Cubierta 2-Transitable

7.3.1. Resultados del cálculo de condensaciones

7.3.1.1. Condensación superficial

$$f_{Rsi} = 0.962 \geq f_{Rsi,mín} = 0.772$$

El elemento constructivo no presenta condensaciones superficiales.

donde:

f_{Rsi} : Factor de resistencia superficial interior, calculado como $(1 - U \cdot Rsi)$, donde $U = 0.152 \text{ W/m}^2 \cdot \text{K}$ y $Rsi = 0.25 \text{ m}^2 \cdot \text{K/W}$.

$f_{Rsi,mín}$: Factor de resistencia superficial interior mínimo, necesario para evitar la humedad superficial crítica,
calculado considerando un valor de $\phi_{si,cr} \leq 0.8$.

7.3.1.2. Condensación intersticial

El elemento constructivo no presenta condensaciones intersticiales.

7.3.2. Condiciones higrotérmicas de cálculo

Las condiciones higrotérmicas exteriores e interiores utilizadas para realizar el cálculo de condensaciones son las siguientes:

	Ene	Feb	Mar	Abr	May	Jun	Jul	Ago	Sep	Oct	Nov	Dic
<hr/>												
Condiciones exteriores												
Temperatura, θ_e (°C)	5.5	6.8	8.8	11.6	15.3	19.8	23.5	22.8	19.5	14.1	9.0	5.9
Humedad relativa, ϕ_e (%)	80	76	69	68	67	62	53	54	61	72	79	81
<hr/>												
Condiciones interiores												
Temperatura, θ_i (°C)	20.0	20.0	20.0	20.0	20.0	20.0	20.0	20.0	20.0	20.0	20.0	20.0
Humedad relativa, ϕ_i (%)	60	60	60	60	60	60	60	60	60	60	60	60

El diagrama psicrométrico asociado al emplazamiento, con una altura sobre el nivel del mar de 679 m, se muestra a continuación, representando mediante segmentos de recta las transiciones desde cada condición exterior de cálculo a su correspondiente condición interior.

7.3.3. Descripción del elemento constructivo

El esquema de la composición del elemento constructivo, en sección, es el siguiente:

Las características térmicas y las propiedades de difusión del vapor de agua de las capas homogéneas de caras paralelas que conforman el modelo de cálculo del elemento constructivo son las siguientes:

	Cubierta 2-Transitable	e (cm)	λ (W/m·K)	R (m ² ·K/W)	μ	Sd (m)
Rse			0.04			
1 Losa filtron con 6cm de aislamiento			6.0	0.032	1.87500	20 1.2
2 XPS Expandido con hidrofluorcarbonos HFC [0.029 W/[mK]]			6.0	0.029	2.06897	
20 1.2						
3 XPS Expandido con hidrofluorcarbonos HFC [0.029 W/[mK]]			6.0	0.029	2.06897	
20 1.2						
4 Con capa de compresión -Canto 300 mm			30.0	1.579	0.18999	80
24						
5 Cámara de aire			10.0		0.16000	0.01
6 Placa de yeso laminado [PYL] 750 < d < 900			1.5	0.250	0.06000	4
0.06						
Rsi			0.10			

donde:

e: Espesor, cm.

λ : Conductividad térmica del material, W/(m·K).

R: Resistencia térmica del material, m²·K/W.

μ : Factor de resistencia a la difusión del vapor de agua del material.

Sd: Espesor de aire equivalente frente a la difusión del vapor de agua, m.

Rse: Resistencia térmica superficial exterior del elemento, $m^2 \cdot K/W$.

Rsi: Resistencia térmica superficial interior del elemento, $m^2 \cdot K/W$.

La información de cálculo relativa a los parámetros higrotérmicos del elemento completo, derivada del modelo de capas homogéneas, es la siguiente:

Magnitud	Uds.	Valor
Espesor total del elemento, eT	cm	59.5
Resistencia térmica total, RT	$m^2 \cdot K/W$	6.5629
Espesor de aire equivalente total, SdT	m	27.67
Transmitancia térmica, U	$W/(m^2 \cdot K)$	0.152
Factor de resistencia superficial interior, fRsi	--	0.962

donde:

eT: Espesor total del elemento, cm.

RT: Resistencia térmica total del elemento, sumatorio de la resistencia térmica de cada capa, incluyendo las resistencias superficiales Rse y Rsi, $m^2 \cdot K/W$.

SdT: Espesor de aire equivalente total, sumatorio del espesor equivalente de cada capa del elemento, m.

U: Transmitancia térmica del elemento, calculada como la inversa de la resistencia térmica total, $W/(m^2 \cdot K)$.

fRsi: Factor de resistencia superficial interior, calculado como $(1 - U \cdot R_{si})$, donde $U = 0.152 W/m^2 \cdot K$ y $R_{si} = 0.25 m^2 \cdot K/W$.

7.3.4. Cálculo del factor de temperatura superficial interior necesario para evitar la humedad superficial crítica

Con objeto de prevenir los efectos adversos de la humedad superficial crítica, se ha limitado la humedad relativa máxima en la superficie interior a un valor de $\phi_{si,cr} \leq 0.8$.

Dadas las condiciones higrotérmicas exteriores, así como las interiores, el cálculo de $f_{Rsi,mín}$ queda como sigue:

	θ_e (°C)	ϕ_e (%)	θ_i (°C)	ϕ_i (%)	P_i (Pa)	$P_{sat}(\theta_{si})$ (Pa)	$\theta_{si,mín}$ (°C)	$f_{Rsi,mín}$
Enero	5.5	80.0	20.0	65.0	1519.02	1898.77	16.7	0.772
Febrero	6.8	76.0	20.0	65.0	1519.02	1898.77	16.7	0.749
Marzo	8.8	69.0	20.0	65.0	1519.02	1898.77	16.7	0.704
Abril	11.6	68.0	20.0	65.0	1519.02	1898.77	16.7	0.606
Mayo	15.3	67.0	20.0	65.0	1519.02	1898.77	16.7	0.295
Junio	19.8	62.0	20.0	65.0	1519.02	1898.77	16.7	0.000
Julio	23.5	53.0	20.0	65.0	1519.02	1898.77	16.7	--*
Agosto	22.8	54.0	20.0	65.0	1519.02	1898.77	16.7	--*
Septiembre	19.5	61.0	20.0	65.0	1519.02	1898.77	16.7	0.000
Octubre	14.1	72.0	20.0	65.0	1519.02	1898.77	16.7	0.439
Noviembre	9.0	79.0	20.0	65.0	1519.02	1898.77	16.7	0.699
Diciembre	5.9	81.0	20.0	65.0	1519.02	1898.77	16.7	0.765

*: No hay riesgo de formación de condensaciones superficiales en el paramento interior, ya que $\theta_e \geq \theta_i$.

donde:

θ_e : Temperatura del aire exterior, °C.

ϕ_e : Humedad relativa del aire exterior, %.

θ_i : Temperatura del aire interior, °C.

ϕ_i : Humedad relativa del aire interior, aumentada con un coeficiente de seguridad 5%, %.

P_i : Presión de vapor en el ambiente interior, Pa.

$Psat(\theta_{si})$: Presión de saturación del vapor de agua mínima aceptable para la superficie interior, Pa.

$\theta_{si,mín}$: Mínima temperatura superficial interior aceptable, calculada en base a la presión de saturación mínima aceptable, °C.

$f_{Rsi,mín}$: Factor de resistencia superficial interior mínimo.

Dado que $f_{Rsi} = 0.962 > f_{Rsi,mín} = 0.772$, no se producen condensaciones superficiales en el elemento constructivo.

7.3.5. Cálculo de condensaciones intersticiales

Se exponen a continuación los resultados alcanzados en el cálculo de las temperaturas y presiones en cada una de las interfasas formadas en la unión entre las capas homogéneas que conforman el modelo de cálculo del elemento constructivo.

Cálculo de condensaciones intersticiales en el mes de Enero.

Cubierta 2-Transitable	θ (°C)	P_{sat} (Pa)	P_n (%)	ϕ (g/(m ² ·mes))	g_c	M_a (g/m ²)
Aire exterior	5.50	902.765	722.212	80.0		
Cara exterior	5.59	908.326	722.212	79.5	--	--
Interfase 1-2	9.73	1205.360	751.701	62.4	--	--
Interfase 2-3	14.30	1629.322	781.189	47.9	--	--
Interfase 3-4	18.87	2178.843	810.678	37.2	--	--
Interfase 4-5	19.29	2236.615	1400.451	62.6	--	--
Interfase 5-6	19.65	2286.302	1400.696	61.3	--	--
Cara interior	19.78	2305.182	1402.171	60.8	--	--
Aire interior	20.00	2336.951	1402.171	60.0		

donde:

θ : Temperatura, °C.

P_{sat} : Presión de saturación del vapor de agua, Pa.

P_n : Presión del vapor de agua, Pa.

ϕ : Humedad relativa, %.

g_c : Densidad de flujo de condensación, g/(m²·mes).

M_a : Contenido acumulado de humedad por unidad de superficie, g/m².

>> Representación gráfica (Enero)

7.3.6. Representación gráfica de las condensaciones intersticiales previstas



Presión de vapor teórica Presión de vapor real

Presión de saturación Temperatura

8. CIRCULACIONES P PRIMERA

8.1. Cerramiento exterior

8.1.1. Resultados del cálculo de condensaciones

8.1.1.1. Condensación superficial

$$f_{Rsi} = 0.954 \geq f_{Rsi,mín} = 0.772$$

El elemento constructivo no presenta condensaciones superficiales.

donde:

f_{Rsi} : Factor de resistencia superficial interior, calculado como $(1 - U \cdot Rsi)$, donde $U = 0.185 \text{ W/m}^2 \cdot \text{K}$ y $Rsi = 0.25 \text{ m}^2 \cdot \text{K/W}$.

$f_{Rsi,mín}$: Factor de resistencia superficial interior mínimo, necesario para evitar la humedad superficial crítica, calculado considerando un valor de $\phi_{si,cr} \leq 0.8$.

8.1.1.2. Condensación intersticial

El elemento constructivo presenta condensaciones intersticiales en los meses de: diciembre, enero, febrero. Sin embargo, la cantidad de condensación acumulada en cada periodo anual no es superior a la cantidad de evaporación posible en el mismo periodo.

8.1.2. Condiciones higrotérmicas de cálculo

Las condiciones higrotérmicas exteriores e interiores utilizadas para realizar el cálculo de condensaciones son las siguientes:

	Ene	Feb	Mar	Abr	May	Jun	Jul	Ago	Sep	Oct	Nov	Dic
<hr/>												
Condiciones exteriores												
Temperatura, θ_e (°C)	5.5	6.8	8.8	11.6	15.3	19.8	23.5	22.8	19.5	14.1	9.0	5.9
<hr/>												
Humedad relativa, ϕ_e (%)	80	76	69	68	67	62	53	54	61	72	79	81
<hr/>												
Condiciones interiores												
Temperatura, θ_i (°C)	20.0	20.0	20.0	20.0	20.0	20.0	20.0	20.0	20.0	20.0	20.0	20.0
<hr/>												
Humedad relativa, ϕ_i (%)	60	60	60	60	60	60	60	60	60	60	60	60
<hr/>												

El diagrama psicrométrico asociado al emplazamiento, con una altura sobre el nivel del mar de 679 m, se muestra a

continuación, representando mediante segmentos de recta las transiciones desde cada condición exterior de cálculo a su correspondiente condición interior.

8.1.3. Descripción del elemento constructivo

El esquema de la composición del elemento constructivo, en sección, es el siguiente:

Las características térmicas y las propiedades de difusión del vapor de agua de las capas homogéneas de caras paralelas que conforman el modelo de cálculo del elemento constructivo son las siguientes:

	Cerramiento exterior	e (cm)	λ (W/m·K)	R (m ² ·K/W)	μ	Sd (m)
Rse			0.04			
1	Hormigón armado d > 2500		6.0	2.500	0.02400	80 4.8
2	XPS Expandido con hidrofluorcarbonos HFC [0.032 W/[mK]]			8.0	0.032	2.50000
20 1.6						
3	Hormigón armado d > 2500		6.0	2.500	0.02400	80 4.8
4	MW Lana mineral [0.031 W/[mK]]			8.0	0.031	2.58065 1
0.08						
5	Placa de yeso laminado [PYL] 750 < d < 900		1.5	0.250	0.06000	4
0.06						
6	Placa de yeso laminado [PYL] 750 < d < 900		1.5	0.250	0.06000	4
0.06						
Rsi			0.13			

donde:

e: Espesor, cm.

λ : Conductividad térmica del material, W/(m·K).

R: Resistencia térmica del material, $\text{m}^2 \cdot \text{K/W}$.

μ : Factor de resistencia a la difusión del vapor de agua del material.

Sd: Espesor de aire equivalente frente a la difusión del vapor de agua, m.

Rse: Resistencia térmica superficial exterior del elemento, $m^2 \cdot K/W$.

Rsi: Resistencia térmica superficial interior del elemento, $m^2 \cdot K/W$.

La información de cálculo relativa a los parámetros higrotérmicos del elemento completo, derivada del modelo de capas homogéneas, es la siguiente:

Magnitud	Uds.	Valor
Espesor total del elemento, eT	cm	31.0
Resistencia térmica total, RT	$m^2 \cdot K/W$	5.4186
Espesor de aire equivalente total, SdT	m	11.40
Transmitancia térmica, U	$W/(m^2 \cdot K)$	0.185
Factor de resistencia superficial interior, fRsi	--	0.954

donde:

eT: Espesor total del elemento, cm.

RT: Resistencia térmica total del elemento, sumatorio de la resistencia térmica de cada capa, incluyendo las resistencias superficiales Rse y Rsi, $m^2 \cdot K/W$.

SdT: Espesor de aire equivalente total, sumatorio del espesor equivalente de cada capa del elemento, m.

U: Transmitancia térmica del elemento, calculada como la inversa de la resistencia térmica total, $W/(m^2 \cdot K)$.

fRsi: Factor de resistencia superficial interior, calculado como $(1 - U \cdot R_{si})$, donde $U = 0.185$ $W/m^2 \cdot K$ y $R_{si} = 0.25$ $m^2 \cdot K/W$.

8.1.4. Cálculo del factor de temperatura superficial interior necesario para evitar la humedad superficial crítica

Con objeto de prevenir los efectos adversos de la humedad superficial crítica, se ha limitado la humedad relativa máxima en la superficie interior a un valor de $\phi_{si,cr} \leq 0.8$.

Dadas las condiciones higrotérmicas exteriores, así como las interiores, el cálculo de $f_{Rsi,mín}$ queda como sigue:

	θ_e (°C)	ϕ_e (%)	θ_i (°C)	ϕ_i (%)	P_i (Pa)	$P_{sat}(\theta_{si})$ (Pa)	$\theta_{si,mín}$ (°C)	$f_{Rsi,mín}$
Enero	5.5	80.0	20.0	65.0	1519.02	1898.77	16.7	0.772
Febrero	6.8	76.0	20.0	65.0	1519.02	1898.77	16.7	0.749
Marzo	8.8	69.0	20.0	65.0	1519.02	1898.77	16.7	0.704
Abril	11.6	68.0	20.0	65.0	1519.02	1898.77	16.7	0.606
Mayo	15.3	67.0	20.0	65.0	1519.02	1898.77	16.7	0.295
Junio	19.8	62.0	20.0	65.0	1519.02	1898.77	16.7	0.000
Julio	23.5	53.0	20.0	65.0	1519.02	1898.77	16.7	--*
Agosto	22.8	54.0	20.0	65.0	1519.02	1898.77	16.7	--*
Septiembre	19.5	61.0	20.0	65.0	1519.02	1898.77	16.7	0.000
Octubre	14.1	72.0	20.0	65.0	1519.02	1898.77	16.7	0.439
Noviembre	9.0	79.0	20.0	65.0	1519.02	1898.77	16.7	0.699
Diciembre	5.9	81.0	20.0	65.0	1519.02	1898.77	16.7	0.765

*: No hay riesgo de formación de condensaciones superficiales en el paramento interior, ya que $\theta_e \geq \theta_i$.

donde:

θ_e : Temperatura del aire exterior, °C.

ϕ_e : Humedad relativa del aire exterior, %.

θ_i : Temperatura del aire interior, °C.

ϕ_i : Humedad relativa del aire interior, aumentada con un coeficiente de seguridad 5%, %.

P_i : Presión de vapor en el ambiente interior, Pa.

$P_{sat}(\theta_{si})$: Presión de saturación del vapor de agua mínima aceptable para la superficie interior, Pa.

$\theta_{si,mín}$: Mínima temperatura superficial interior aceptable, calculada en base a la presión de saturación mínima aceptable, °C.

$f_{Rsi,mín}$: Factor de resistencia superficial interior mínimo.

Dado que $f_{Rsi} = 0.954 > f_{Rsi,mín} = 0.772$, no se producen condensaciones superficiales en el elemento constructivo.

8.1.5. Cálculo de condensaciones intersticiales

Se exponen a continuación los resultados alcanzados en el cálculo de las temperaturas y presiones en cada una de las interfasas formadas en la unión entre las capas homogéneas que conforman el modelo de cálculo del elemento constructivo.

Cálculo de condensaciones intersticiales en el mes de Enero.

Cerramiento exterior (°C)	θ (Pa)	P_{sat} (Pa)	P_n (%)	ϕ (g/(m ² ·mes))	g_c	M_a (g/m ²)
Aire exterior	5.50	902.765	722.212	80.0		
Cara exterior	5.61	909.504	722.212	79.4	--	--
Interfase 1-2	5.67	913.569	913.569	100.0	18.301	35.016
Interfase 2-3	12.36	1435.537	1032.018	71.9	--	--
Interfase 3-4	12.43	1441.610	1387.365	96.2	--	--
Interfase 4-5	19.33	2241.913	1393.287	62.1	--	--
Interfase 5-6	19.49	2264.408	1397.729	61.7	--	--
Cara interior	19.65	2287.101	1402.171	61.3	--	--
Aire interior	20.00	2336.951	1402.171	60.0		

donde:

θ : Temperatura, °C.

Psat: Presión de saturación del vapor de agua, Pa.

Pn: Presión del vapor de agua, Pa.

ϕ : Humedad relativa, %.

gc: Densidad de flujo de condensación, g/(m²·mes).

Ma: Contenido acumulado de humedad por unidad de superficie, g/m².

>> Representación gráfica (Enero)

Cálculo de condensaciones intersticiales en el mes de Febrero.

Cerramiento exterior	θ (°C)	Psat (Pa)	Pn (%)	ϕ (g/(m ² ·mes))	gc	Ma (g/m ²)
Aire exterior	6.80	987.670	750.629	76.0	--	--
Cara exterior	6.90	994.308	750.629	75.5	--	--
Interfase 1-2	6.96	998.310	998.310	100.0	4.640	39.657
Interfase 2-3	13.05	1501.467	1096.216	73.0	--	--
Interfase 3-4	13.10	1507.216	1389.932	92.2	--	--
Interfase 4-5	19.39	2250.293	1394.828	62.0	--	--
Interfase 5-6	19.54	2270.831	1398.499	61.6	--	--
Cara interior	19.68	2291.532	1402.171	61.2	--	--
Aire interior	20.00	2336.951	1402.171	60.0	--	--

donde:

θ : Temperatura, °C.

Psat: Presión de saturación del vapor de agua, Pa.

Pn: Presión del vapor de agua, Pa.

ϕ : Humedad relativa, %.

gc: Densidad de flujo de condensación, g/(m²·mes).

Ma: Contenido acumulado de humedad por unidad de superficie, g/m².

>> Representación gráfica (Febrero)

Cálculo de condensaciones intersticiales en el mes de Marzo.

Cerramiento exterior	θ (°C)	Psat (Pa)	Pn (%)	ϕ (g/(m ² ·mes))	gc (g/m ²)	Ma (g/m ²)
Aire exterior	8.80	1132.044	781.110	69.0	--	--
Cara exterior	8.88	1138.392	781.110	68.6	--	--
Interfase 1-2	8.93	1142.216	1142.216	100.0	-19.201	20.456
Interfase 2-3	14.10	1608.089	1205.236	74.9	--	--
Interfase 3-4	14.15	1613.269	1394.293	86.4	--	--
Interfase 4-5	19.48	2263.240	1397.444	61.7	--	--
Interfase 5-6	19.61	2280.742	1399.807	61.4	--	--
Cara interior	19.73	2298.363	1402.171	61.0	--	--
Aire interior	20.00	2336.951	1402.171	60.0	--	--

donde:

θ : Temperatura, °C.

Psat: Presión de saturación del vapor de agua, Pa.

Pn: Presión del vapor de agua, Pa.

ϕ : Humedad relativa, %.

gc: Densidad de flujo de condensación, g/(m²·mes).

Ma: Contenido acumulado de humedad por unidad de superficie, g/m².

>> Representación gráfica (Marzo)

Cálculo de condensaciones intersticiales en el mes de Abril.

Cerramiento exterior	θ (°C)	Psat (Pa)	Pn (%)	ϕ (g/(m ² ·mes))	gc	Ma (g/m ²)
Aire exterior	11.60	1365.261	928.378	68.0	--	--
Cara exterior	11.66	1370.871	928.378	67.7	--	--
Interfase 1-2	11.70	1374.247	1374.247	100.0	-20.456	--
Interfase 2-3	15.57	1768.501	1381.016	78.1	--	--
Interfase 3-4	15.61	1772.722	1401.325	79.0	--	--
Interfase 4-5	19.61	2281.474	1401.663	61.4	--	--
Interfase 5-6	19.71	2294.683	1401.917	61.1	--	--
Cara interior	19.80	2307.958	1402.171	60.8	--	--
Aire interior	20.00	2336.951	1402.171	60.0	--	--

donde:

θ : Temperatura, °C.

Psat: Presión de saturación del vapor de agua, Pa.

Pn: Presión del vapor de agua, Pa.

ϕ : Humedad relativa, %.

gc: Densidad de flujo de condensación, g/(m²·mes).

Ma: Contenido acumulado de humedad por unidad de superficie, g/m².

>> Representación gráfica (Abril)

Cálculo de condensaciones intersticiales en el mes de Mayo.

Cerramiento exterior	θ (°C)	Psat (Pa)	Pn (%)	ϕ (g/(m ² ·mes))	gc (g/m ²)	Ma (g/m ²)
Aire exterior	15.30	1737.605	1164.195	67.0	--	--
Cara exterior	15.33	1741.480	1164.195	66.9	--	--
Interfase 1-2	15.36	1743.809	1264.395	72.5	--	--
Interfase 2-3	17.52	2001.891	1297.795	64.8	--	--
Interfase 3-4	17.54	2004.523	1397.996	69.7	--	--
Interfase 4-5	19.78	2305.767	1399.666	60.7	--	--
Interfase 5-6	19.84	2313.218	1400.918	60.6	--	--
Cara interior	19.89	2320.690	1402.171	60.4	--	--
Aire interior	20.00	2336.951	1402.171	60.0	--	--

donde:

θ : Temperatura, °C.

Psat: Presión de saturación del vapor de agua, Pa.

Pn: Presión del vapor de agua, Pa.

ϕ : Humedad relativa, %.

gc: Densidad de flujo de condensación, g/(m²·mes).

Ma: Contenido acumulado de humedad por unidad de superficie, g/m².

>> Representación gráfica (Mayo)

Cálculo de condensaciones intersticiales en el mes de Junio.

Cerramiento exterior (°C)	θ (Pa)	Psat (Pa)	Pn (%)	ϕ (g/(m ² ·mes))	gc	Ma (g/m ²)
Aire exterior	19.80	2308.176	1431.069	62.0		
Cara exterior	19.80	2308.387	1431.069	62.0	--	--
Interfase 1-2	19.80	2308.514	1418.901	61.5	--	--
Interfase 2-3	19.89	2321.753	1414.845	60.9	--	--
Interfase 3-4	19.90	2321.880	1402.678	60.4	--	--
Interfase 4-5	19.99	2335.617	1402.475	60.0	--	--
Interfase 5-6	19.99	2335.937	1402.323	60.0	--	--
Cara interior	20.00	2336.257	1402.171	60.0	--	--
Aire interior	20.00	2336.951	1402.171	60.0		

donde:

θ: Temperatura, °C.

Psat: Presión de saturación del vapor de agua, Pa.

Pn: Presión del vapor de agua, Pa.

ϕ: Humedad relativa, %.

gc: Densidad de flujo de condensación, g/(m²·mes).

Ma: Contenido acumulado de humedad por unidad de superficie, g/m².

>> Representación gráfica (Junio)

Cálculo de condensaciones intersticiales en el mes de Julio.

Cerramiento exterior (°C)	θ (Pa)	Psat (Pa)	Pn (%)	ϕ (g/(m ² ·mes))	gc	Ma (g/m ²)
Aire exterior	23.50	2893.848	1533.739	53.0		

Cara exterior	23.47	2889.346	1533.739	53.1	--	--
Interfase 1-2	23.46	2886.648	1478.342	51.2	--	--
Interfase 2-3	21.84	2617.367	1459.876	55.8	--	--
Interfase 3-4	21.83	2614.893	1404.479	53.7	--	--
Interfase 4-5	20.16	2360.412	1403.556	59.5	--	--
Interfase 5-6	20.12	2354.763	1402.863	59.6	--	--
Cara interior	20.08	2349.125	1402.171	59.7	--	--
Aire interior	20.00	2336.951	1402.171	60.0		

donde:

θ : Temperatura, °C.

P_{sat} : Presión de saturación del vapor de agua, Pa.

P_n : Presión del vapor de agua, Pa.

ϕ : Humedad relativa, %.

g_c : Densidad de flujo de condensación, g/(m²·mes).

M_a : Contenido acumulado de humedad por unidad de superficie, g/m².

>> Representación gráfica (Julio)

Cálculo de condensaciones intersticiales en el mes de Agosto.

Cerramiento exterior	θ (°C)	P_{sat} (Pa)	P_n (%)	ϕ (g/(m²·mes))	g_c (g/m²)	M_a (g/m²)
Aire exterior	22.80	2774.025	1497.973	54.0		
Cara exterior	22.78	2770.554	1497.973	54.1	--	--
Interfase 1-2	22.77	2768.473	1457.635	52.7	--	--

Interfase 2-3	21.48	2559.044	1444.189	56.4	--	--
Interfase 3-4	21.46	2557.103	1403.851	54.9	--	--
Interfase 4-5	20.13	2355.704	1403.179	59.6	--	--
Interfase 5-6	20.10	2351.191	1402.675	59.7	--	--
Cara interior	20.07	2346.686	1402.171	59.8	--	--
Aire interior	20.00	2336.951	1402.171	60.0		

donde:

θ : Temperatura, °C.

P_{sat} : Presión de saturación del vapor de agua, Pa.

P_n : Presión del vapor de agua, Pa.

ϕ : Humedad relativa, %.

g_c : Densidad de flujo de condensación, g/(m²·mes).

M_a : Contenido acumulado de humedad por unidad de superficie, g/m².

>> Representación gráfica (Agosto)

Cálculo de condensaciones intersticiales en el mes de Septiembre.

Cerramiento exterior	θ (°C)	P_{sat} (Pa)	P_n (%)	ϕ (g/(m²·mes))	g_c	M_a (g/m²)
Aire exterior	19.50	2265.595	1382.013	61.0		
Cara exterior	19.50	2266.114	1382.013	61.0	--	--
Interfase 1-2	19.51	2266.426	1390.500	61.4	--	--
Interfase 2-3	19.74	2299.118	1393.329	60.6	--	--
Interfase 3-4	19.74	2299.434	1401.817	61.0	--	--
Interfase 4-5	19.98	2333.616	1401.958	60.1	--	--

Interfase 5-6	19.98	2334.416	1402.065	60.1	--	--
Cara interior	19.99	2335.216	1402.171	60.0	--	--
Aire interior	20.00	2336.951	1402.171	60.0		

donde:

θ : Temperatura, °C.

Psat: Presión de saturación del vapor de agua, Pa.

Pn: Presión del vapor de agua, Pa.

ϕ : Humedad relativa, %.

gc: Densidad de flujo de condensación, g/(m²·mes).

Ma: Contenido acumulado de humedad por unidad de superficie, g/m².

>> Representación gráfica (Septiembre)

Cálculo de condensaciones intersticiales en el mes de Octubre.

Cerramiento exterior	θ (°C)	Psat (Pa)	Pn (%)	ϕ (g/(m²·mes))	gc	Ma (g/m²)
Aire exterior	14.10	1608.128	1157.852	72.0		
Cara exterior	14.14	1612.675	1157.852	71.8	--	--
Interfase 1-2	14.17	1615.408	1260.723	78.0	--	--
Interfase 2-3	16.89	1923.406	1295.013	67.3	--	--
Interfase 3-4	16.92	1926.596	1397.884	72.6	--	--
Interfase 4-5	19.73	2297.864	1399.599	60.9	--	--
Interfase 5-6	19.79	2307.192	1400.885	60.7	--	--
Cara interior	19.86	2316.554	1402.171	60.5	--	--

Aire interior	20.00	2336.951	1402.171	60.0
---------------	-------	----------	----------	------

donde:

θ : Temperatura, °C.

P_{sat} : Presión de saturación del vapor de agua, Pa.

P_n : Presión del vapor de agua, Pa.

ϕ : Humedad relativa, %.

g_c : Densidad de flujo de condensación, g/(m²·mes).

M_a : Contenido acumulado de humedad por unidad de superficie, g/m².

>> Representación gráfica (Octubre)

Cálculo de condensaciones intersticiales en el mes de Noviembre.

Cerramiento exterior	θ (°C)	P_{sat} (Pa)	P_n (%)	ϕ (g/(m²·mes))	g_c (g/m²)	M_a (g/m²)
Aire exterior	9.00	1147.455	906.489	79.0	--	--
Cara exterior	9.08	1153.764	906.489	78.6	--	--
Interfase 1-2	9.13	1157.564	1115.197	96.3	--	--
Interfase 2-3	14.20	1619.108	1184.767	73.2	--	--
Interfase 3-4	14.25	1624.226	1393.475	85.8	--	--
Interfase 4-5	19.49	2264.538	1396.953	61.7	--	--
Interfase 5-6	19.61	2281.736	1399.562	61.3	--	--
Cara interior	19.74	2299.048	1402.171	61.0	--	--
Aire interior	20.00	2336.951	1402.171	60.0	--	--

donde:

θ : Temperatura, °C.

Psat: Presión de saturación del vapor de agua, Pa.

Pn: Presión del vapor de agua, Pa.

ϕ : Humedad relativa, %.

gc: Densidad de flujo de condensación, g/(m²·mes).

Ma: Contenido acumulado de humedad por unidad de superficie, g/m².

>> Representación gráfica (Noviembre)

Cálculo de condensaciones intersticiales en el mes de Diciembre.

Cerramiento exterior	θ (°C)	Psat (Pa)	Pn (%)	ϕ (g/(m ² ·mes))	gc	Ma (g/m ²)
Aire exterior	5.90	928.177	751.823	81.0	--	--
Cara exterior	6.00	934.891	751.823	80.4	--	--
Interfase 1-2	6.07	938.941	938.941	100.0	16.715	16.715
Interfase 2-3	12.57	1455.547	1051.239	72.2	--	--
Interfase 3-4	12.63	1461.524	1388.133	95.0	--	--
Interfase 4-5	19.35	2244.489	1393.748	62.1	--	--
Interfase 5-6	19.51	2266.383	1397.960	61.7	--	--
Cara interior	19.66	2288.463	1402.171	61.3	--	--
Aire interior	20.00	2336.951	1402.171	60.0	--	--

donde:

θ : Temperatura, °C.

Psat: Presión de saturación del vapor de agua, Pa.

Pn: Presión del vapor de agua, Pa.

ϕ : Humedad relativa, %.

gc: Densidad de flujo de condensación, $g/(m^2 \cdot \text{mes})$.

Ma: Contenido acumulado de humedad por unidad de superficie, g/m^2 .

>> Representación gráfica (Diciembre)

Evolución anual de la condensación acumulada.

Se presentan a continuación las cantidades totales de agua condensada en el elemento constructivo para cada situación de cálculo, así como la evolución de la humedad acumulada a lo largo del año.

El primer mes con condensación en alguna interfase es diciembre, aunque la cantidad neta anual es nula, por producirse la evaporación suficiente en los meses siguientes.

	Ene	Feb	Mar	Abr	May	Jun	Jul	Ago	Sep	Oct	Nov	Dic
<hr/>												
gc	$g/(m^2 \cdot \text{mes})$	18.301	4.640	--	--	--	--	--	--	--	--	16.715
gev	$g/(m^2 \cdot \text{mes})$	--	--	19.201	20.456	--	--	--	--	--	--	--
Ma	(g/m^2)	35.016	39.657	20.456	--	--	--	--	--	--	--	16.715

donde:

gc: Densidad de flujo de condensación, $g/(m^2 \cdot \text{mes})$.

gev: Densidad de flujo de evaporación, $g/(m^2 \cdot \text{mes})$.

Ma: Contenido acumulado de humedad por unidad de superficie, g/m^2 .

>> Representación gráfica (Condensación acumulada)

8.1.6. Representación gráfica de las condensaciones intersticiales previstas

Enero	Febrero
Presión de vapor teórica vapor real	Presión de vapor teórica vapor real
Presión de saturación Temperatura	Presión de saturación Temperatura
Marzo	Abril
Presión de vapor teórica vapor real	Presión de vapor teórica vapor real
Presión de saturación Temperatura	Presión de saturación Temperatura
Mayo	Junio
Presión de vapor teórica vapor real	Presión de vapor teórica vapor real
Presión de saturación Temperatura	Presión de saturación Temperatura
Julio	Agosto

Presión de vapor teórica Presión de vapor real
vapor real

Presión de saturación Temperatura

Presión de vapor teórica Presión de

Presión de saturación Temperatura

Septiembre

Octubre

Presión de vapor teórica Presión de vapor real
vapor real

Presión de saturación Temperatura

Presión de vapor teórica Presión de

Presión de saturación Temperatura



Noviembre

Diciembre

Presión de vapor teórica Presión de vapor real
vapor real

Presión de saturación Temperatura

Presión de vapor teórica Presión de

Presión de saturación Temperatura

Condensación acumulada

8.2. Cubierta 2-Transitable

8.2.1. Resultados del cálculo de condensaciones

8.2.1.1. Condensación superficial

$$f_{RSI} = 0.962 \geq f_{RSI,min} = 0.772$$

El elemento constructivo no presenta condensaciones superficiales.

donde:

f_{RSI} : Factor de resistencia superficial interior, calculado como $(1 - U \cdot R_{SI})$, donde $U = 0.152 \text{ W/m}^2 \cdot \text{K}$ y $R_{SI} = 0.25 \text{ m}^2 \cdot \text{K/W}$.

$f_{RSI,min}$: Factor de resistencia superficial interior mínimo, necesario para evitar la humedad superficial crítica, calculado considerando un valor de $\phi_{SI,cr} \leq 0.8$.

8.2.1.2. Condensación intersticial

El elemento constructivo no presenta condensaciones intersticiales.

8.2.2. Condiciones higrotérmicas de cálculo

Las condiciones higrotérmicas exteriores e interiores utilizadas para realizar el cálculo de condensaciones son las siguientes:

	Ene	Feb	Mar	Abr	May	Jun	Jul	Ago	Sep	Oct	Nov	Dic
<hr/>												
Condiciones exteriores												
Temperatura, θ_e (°C)	5.5	6.8	8.8	11.6	15.3	19.8	23.5	22.8	19.5	14.1	9.0	5.9
<hr/>												
Humedad relativa, ϕ_e (%)	80	76	69	68	67	62	53	54	61	72	79	81
<hr/>												
Condiciones interiores												

Temperatura, θ_i	(°C)	20.0	20.0	20.0	20.0	20.0	20.0	20.0	20.0	20.0	20.0	20.0
20.0												
Humedad relativa, ϕ_i	(%)	60	60	60	60	60	60	60	60	60	60	60

El diagrama psicrométrico asociado al emplazamiento, con una altura sobre el nivel del mar de 679 m, se muestra a continuación, representando mediante segmentos de recta las transiciones desde cada condición exterior de cálculo a su correspondiente condición interior.

8.2.3. Descripción del elemento constructivo

El esquema de la composición del elemento constructivo, en sección, es el siguiente:

Las características térmicas y las propiedades de difusión del vapor de agua de las capas homogéneas de caras paralelas que conforman el modelo de cálculo del elemento constructivo son las siguientes:

Cubierta 2-Transitable		e (cm)	λ (W/m·K)	R (m ² ·K/W)	μ	Sd (m)
Rse			0.04			
1	Losa filtron con 6cm de aislamiento		6.0	0.032	1.87500	20 1.2
2	XPS Expandido con hidrofluorcarbonos HFC [0.029 W/[mK]]		6.0	0.029	2.06897	
20	1.2					
3	XPS Expandido con hidrofluorcarbonos HFC [0.029 W/[mK]]		6.0	0.029	2.06897	
20	1.2					
4	Con capa de compresión -Canto 300 mm		30.0	1.579	0.18999	80
24						
5	Cámara de aire		10.0	0.16000	0.01	
0.06	0.06					
6	Placa de yeso laminado [PYL] 750 < d < 900		1.5	0.250	0.06000	4
Rsi			0.10			

donde:

e: Espesor, cm.

λ : Conductividad térmica del material, W/(m·K).

R: Resistencia térmica del material, m²·K/W.

μ : Factor de resistencia a la difusión del vapor de agua del material.

Sd: Espesor de aire equivalente frente a la difusión del vapor de agua, m.

Rse: Resistencia térmica superficial exterior del elemento, m²·K/W.

Rsi: Resistencia térmica superficial interior del elemento, m²·K/W.

La información de cálculo relativa a los parámetros higrotérmicos del elemento completo, derivada del modelo de capas homogéneas, es la siguiente:

Magnitud	Uds.	Valor
Espesor total del elemento, eT	cm	59.5
Resistencia térmica total, RT	m ² ·K/W	6.5629
Espesor de aire equivalente total, SdT	m	27.67
Transmitancia térmica, U	W/(m ² ·K)	0.152
Factor de resistencia superficial interior, fRsi	--	0.962

donde:

ET: Espesor total del elemento, cm.

RT: Resistencia térmica total del elemento, sumatorio de la resistencia térmica de cada capa, incluyendo las resistencias superficiales Rse y Rsi, m²·K/W.

SdT: Espesor de aire equivalente total, sumatorio del espesor equivalente de cada capa del elemento, m.

U: Transmitancia térmica del elemento, calculada como la inversa de la resistencia térmica total, W/(m²·K).

fRsi: Factor de resistencia superficial interior, calculado como $(1 - U \cdot R_{\text{si}})$, donde $U = 0.152$ W/m²·K y $R_{\text{si}} = 0.25$

$\text{m}^2 \cdot \text{K}/\text{W}$.

8.2.4. Cálculo del factor de temperatura superficial interior necesario para evitar la humedad superficial crítica

Con objeto de prevenir los efectos adversos de la humedad superficial crítica, se ha limitado la humedad relativa máxima en la superficie interior a un valor de $\phi_{si,cr} \leq 0.8$.

Dadas las condiciones higrotérmicas exteriores, así como las interiores, el cálculo de $f_{Rsi,mín}$ queda como sigue:

	θ_e (°C)	ϕ_e (%)	θ_i (°C)	ϕ_i (%)	P_i (Pa)	$P_{sat}(\theta_{si})$ (Pa)	$\theta_{si,mín}$ (°C)	$f_{Rsi,mín}$
Enero	5.5	80.0	20.0	65.0	1519.02	1898.77	16.7	0.772
Febrero	6.8	76.0	20.0	65.0	1519.02	1898.77	16.7	0.749
Marzo	8.8	69.0	20.0	65.0	1519.02	1898.77	16.7	0.704
Abril	11.6	68.0	20.0	65.0	1519.02	1898.77	16.7	0.606
Mayo	15.3	67.0	20.0	65.0	1519.02	1898.77	16.7	0.295
Junio	19.8	62.0	20.0	65.0	1519.02	1898.77	16.7	0.000
Julio	23.5	53.0	20.0	65.0	1519.02	1898.77	16.7	--*
Agosto	22.8	54.0	20.0	65.0	1519.02	1898.77	16.7	--*
Septiembre	19.5	61.0	20.0	65.0	1519.02	1898.77	16.7	0.000
Octubre	14.1	72.0	20.0	65.0	1519.02	1898.77	16.7	0.439
Noviembre	9.0	79.0	20.0	65.0	1519.02	1898.77	16.7	0.699
Diciembre	5.9	81.0	20.0	65.0	1519.02	1898.77	16.7	0.765

*: No hay riesgo de formación de condensaciones superficiales en el paramento interior, ya que $\theta_e \geq \theta_i$.

donde:

θ_e : Temperatura del aire exterior, °C.

ϕ_e : Humedad relativa del aire exterior, %.

θ_i : Temperatura del aire interior, °C.

ϕ_i : Humedad relativa del aire interior, aumentada con un coeficiente de seguridad 5%, %.

P_i : Presión de vapor en el ambiente interior, Pa.

$Psat(\theta_{si})$: Presión de saturación del vapor de agua mínima aceptable para la superficie interior, Pa.

$\theta_{si,mín}$: Mínima temperatura superficial interior aceptable, calculada en base a la presión de saturación mínima aceptable, °C.

$f_{Rsi,mín}$: Factor de resistencia superficial interior mínimo.

Dado que $f_{Rsi} = 0.962 > f_{Rsi,mín} = 0.772$, no se producen condensaciones superficiales en el elemento constructivo.

8.2.5. Cálculo de condensaciones intersticiales

Se exponen a continuación los resultados alcanzados en el cálculo de las temperaturas y presiones en cada una de las interfasas formadas en la unión entre las capas homogéneas que conforman el modelo de cálculo del elemento constructivo.

Cálculo de condensaciones intersticiales en el mes de Enero.

Cubierta 2-Transitable	θ (°C)	P_{sat} (Pa)	P_n (%)	ϕ (g/(m ² ·mes))	g_c	M_a (g/m ²)
Aire exterior	5.50	902.765	722.212	80.0	--	--
Cara exterior	5.59	908.326	722.212	79.5	--	--
Interfase 1-2	9.73	1205.360	751.701	62.4	--	--
Interfase 2-3	14.30	1629.322	781.189	47.9	--	--
Interfase 3-4	18.87	2178.843	810.678	37.2	--	--
Interfase 4-5	19.29	2236.615	1400.451	62.6	--	--

Interfase 5-6		19.65	2286.302	1400.696	61.3	--	--
Cara interior		19.78	2305.182	1402.171	60.8	--	--
Aire interior		20.00	2336.951	1402.171	60.0		

donde:

θ : Temperatura, °C.

P_{sat} : Presión de saturación del vapor de agua, Pa.

P_n : Presión del vapor de agua, Pa.

ϕ : Humedad relativa, %.

g_c : Densidad de flujo de condensación, g/(m²·mes).

M_a : Contenido acumulado de humedad por unidad de superficie, g/m².

>> Representación gráfica (Enero)

8.2.6. Representación gráfica de las condensaciones intersticiales previstas

Enero

Presión de vapor teórica Presión de vapor real

Presión de saturación Temperatura

8.3. Cubierta 3 - Inclinadas aulas

8.3.1. Resultados del cálculo de condensaciones

8.3.1.1. Condensación superficial

$$fRsi = 0.953 \geq fRsi,mín = 0.772$$

El elemento constructivo no presenta condensaciones superficiales.

donde:

$fRsi$: Factor de resistencia superficial interior, calculado como $(1 - U \cdot Rsi)$, donde $U = 0.189 \text{ W/m}^2 \cdot \text{K}$ y $Rsi = 0.25 \text{ m}^2 \cdot \text{K/W}$.

$fRsi,mín$: Factor de resistencia superficial interior mínimo, necesario para evitar la humedad superficial crítica, calculado considerando un valor de $\phi_{si,cr} \leq 0.8$.

8.3.1.2. Condensación intersticial

El elemento constructivo presenta condensaciones intersticiales en los meses de: diciembre, enero, febrero. Sin embargo, la cantidad de condensación acumulada en cada periodo anual no es superior a la cantidad de evaporación posible en el mismo periodo.

8.3.2. Condiciones higrotérmicas de cálculo

Las condiciones higrotérmicas exteriores e interiores utilizadas para realizar el cálculo de condensaciones son las siguientes:

	Ene	Feb	Mar	Abr	May	Jun	Jul	Ago	Sep	Oct	Nov	Dic
<hr/>												
Condiciones exteriores												
Temperatura, θ_e (°C)	5.5	6.8	8.8	11.6	15.3	19.8	23.5	22.8	19.5	14.1	9.0	5.9
<hr/>												
Humedad relativa, ϕ_e (%)	80	76	69	68	67	62	53	54	61	72	79	81
<hr/>												
Condiciones interiores												
Temperatura, θ_i (°C)	20.0	20.0	20.0	20.0	20.0	20.0	20.0	20.0	20.0	20.0	20.0	20.0
<hr/>												
Humedad relativa, ϕ_i (%)	60	60	60	60	60	60	60	60	60	60	60	60
<hr/>												

El diagrama psicrométrico asociado al emplazamiento, con una altura sobre el nivel del mar de 679 m, se muestra a continuación, representando mediante segmentos de recta las transiciones desde cada condición exterior de cálculo a su correspondiente condición interior.

8.3.3. Descripción del elemento constructivo

El esquema de la composición del elemento constructivo, en sección, es el siguiente:

Las características térmicas y las propiedades de difusión del vapor de agua de las capas homogéneas de caras paralelas que conforman el modelo de cálculo del elemento constructivo son las siguientes:

		Cubierta 3 - Inclinadas aulas	e (cm)	λ (W/m·K)	R	μ	Sd (m)
Rse				0.04			
----- -----							
1 Aluminio			0.1	230.000	0.00000	1000000	1000
2 XPS Expandido con hidrofluorcarbonos HFC [0.032 W/[mK]]				10.0	0.032	3.12500	
20 2							
3 Aluminio			0.1	230.000	0.00000	1000000	1000
4 MW Lana mineral [0.031 W/[mK]]				5.0	0.031	1.61290	1
0.05							
5 Con capa de compresión -Canto 300 mm				30.0	1.579	0.18999	80
24							
6 Cámara de aire			10.0		0.16000		0.01
7 Placa de yeso laminado [PYL] 750 < d < 900				1.5	0.250	0.06000	4
0.06							
----- -----							
Rsi			0.10				
----- -----							

donde:

e: Espesor, cm.

λ : Conductividad térmica del material, W/(m·K).

R: Resistencia térmica del material, $\text{m}^2 \cdot \text{K}/\text{W}$.

μ : Factor de resistencia a la difusión del vapor de agua del material.

Sd: Espesor de aire equivalente frente a la difusión del vapor de agua, m.

Rse: Resistencia térmica superficial exterior del elemento, $\text{m}^2 \cdot \text{K}/\text{W}$.

Rsi: Resistencia térmica superficial interior del elemento, $\text{m}^2 \cdot \text{K}/\text{W}$.

La información de cálculo relativa a los parámetros higrotérmicos del elemento completo, derivada del modelo de capas homogéneas, es la siguiente:

Magnitud	Uds.	Valor
Espesor total del elemento, eT	cm	56.7
Resistencia térmica total, RT	$\text{m}^2 \cdot \text{K}/\text{W}$	5.2879
Espesor de aire equivalente total, SdT	m	2026.12
Transmitancia térmica, U	$\text{W}/(\text{m}^2 \cdot \text{K})$	0.189
Factor de resistencia superficial interior, fRsi	--	0.953

donde:

ET: Espesor total del elemento, cm.

RT: Resistencia térmica total del elemento, sumatorio de la resistencia térmica de cada capa, incluyendo las resistencias superficiales Rse y Rsi, $\text{m}^2 \cdot \text{K}/\text{W}$.

SdT: Espesor de aire equivalente total, sumatorio del espesor equivalente de cada capa del elemento, m.

U: Transmitancia térmica del elemento, calculada como la inversa de la resistencia térmica total, $\text{W}/(\text{m}^2 \cdot \text{K})$.

fRsi: Factor de resistencia superficial interior, calculado como $(1 - U \cdot R \text{ si})$, donde $U = 0.189 \text{ W}/\text{m}^2 \cdot \text{K}$ y $R \text{ si} = 0.25 \text{ m}^2 \cdot \text{K}/\text{W}$.

8.3.4. Cálculo del factor de temperatura superficial interior necesario para evitar la humedad superficial crítica

Con objeto de prevenir los efectos adversos de la humedad superficial crítica, se ha limitado la humedad relativa máxima en la superficie interior a un valor de $\phi_{si,cr} \leq 0.8$.

Dadas las condiciones higrotérmicas exteriores, así como las interiores, el cálculo de $f_{Rsi,mín}$ queda como sigue:

	θ_e (°C)	ϕ_e (%)	θ_i (°C)	ϕ_i (%)	P_i (Pa)	$P_{sat}(\theta_{si})$ (Pa)	$\theta_{si,mín}$ (°C)	$f_{Rsi,mín}$
Enero	5.5	80.0	20.0	65.0	1519.02	1898.77	16.7	0.772
Febrero	6.8	76.0	20.0	65.0	1519.02	1898.77	16.7	0.749
Marzo	8.8	69.0	20.0	65.0	1519.02	1898.77	16.7	0.704
Abril	11.6	68.0	20.0	65.0	1519.02	1898.77	16.7	0.606
Mayo	15.3	67.0	20.0	65.0	1519.02	1898.77	16.7	0.295
Junio	19.8	62.0	20.0	65.0	1519.02	1898.77	16.7	0.000
Julio	23.5	53.0	20.0	65.0	1519.02	1898.77	16.7	--*
Agosto	22.8	54.0	20.0	65.0	1519.02	1898.77	16.7	--*
Septiembre	19.5	61.0	20.0	65.0	1519.02	1898.77	16.7	0.000
Octubre	14.1	72.0	20.0	65.0	1519.02	1898.77	16.7	0.439
Noviembre	9.0	79.0	20.0	65.0	1519.02	1898.77	16.7	0.699
Diciembre	5.9	81.0	20.0	65.0	1519.02	1898.77	16.7	0.765

*: No hay riesgo de formación de condensaciones superficiales en el paramento interior, ya que $\theta_e \geq \theta_i$.

donde:

θ_e : Temperatura del aire exterior, °C.

ϕ_e : Humedad relativa del aire exterior, %.

θ_i : Temperatura del aire interior, °C.

ϕ_i : Humedad relativa del aire interior, aumentada con un coeficiente de seguridad 5%, %.

P_i : Presión de vapor en el ambiente interior, Pa.

$Psat(\theta_{si})$: Presión de saturación del vapor de agua mínima aceptable para la superficie interior, Pa.

$\theta_{si,mín}$: Mínima temperatura superficial interior aceptable, calculada en base a la presión de saturación mínima aceptable, °C.

$f_{Rsi,mín}$: Factor de resistencia superficial interior mínimo.

Dado que $f_{Rsi} = 0.953 > f_{Rsi,mín} = 0.772$, no se producen condensaciones superficiales en el elemento constructivo.

8.3.5. Cálculo de condensaciones intersticiales

Se exponen a continuación los resultados alcanzados en el cálculo de las temperaturas y presiones en cada una de las interfasas formadas en la unión entre las capas homogéneas que conforman el modelo de cálculo del elemento constructivo.

Cálculo de condensaciones intersticiales en el mes de Enero.

Cubierta 3 - Inclinadas aulas	θ (°C)	$Psat$ (Pa)	Pn (%)	ϕ (g/(m ² ·mes))	gc (g/m ²)	Ma
Aire exterior	5.50	902.765	722.212	80.0	--	--
Cara exterior	5.61	909.671	722.212	79.4	--	--
Interfase 1-2	5.61	909.672	909.672	100.0	0.157	0.302
Interfase 2-3	14.18	1616.361	910.632	56.3	--	--
Interfase 3-4	14.18	1616.362	1390.594	86.0	--	--
Interfase 4-5	18.60	2142.151	1390.618	64.9	--	--
Interfase 5-6	19.12	2212.994	1402.137	63.4	--	--
Interfase 6-7	19.56	2274.234	1402.142	61.7	--	--
Cara interior	19.73	2297.578	1402.171	61.0	--	--
Aire interior	20.00	2336.951	1402.171	60.0	--	--

donde:

θ : Temperatura, °C.

P_{sat} : Presión de saturación del vapor de agua, Pa.

P_n : Presión del vapor de agua, Pa.

ϕ : Humedad relativa, %.

g_c : Densidad de flujo de condensación, g/(m²·mes).

M_a : Contenido acumulado de humedad por unidad de superficie, g/m².

>> Representación gráfica (Enero)

Cálculo de condensaciones intersticiales en el mes de Febrero.

Cubierta 3 - Inclinadas aulas	θ (°C)	P_{sat} (Pa)	P_n (%)	ϕ (g/(m ² ·mes))	g_c (g/m ²)	M_a (g/m ²)
Aire exterior	6.80	987.670	750.629	76.0	--	--
Cara exterior	6.90	994.473	750.629	75.5	--	--
Interfase 1-2	6.90	994.474	994.474	100.0	0.074	0.377
Interfase 2-3	14.70	1671.841	995.268	59.5	--	--
Interfase 3-4	14.70	1671.842	1392.587	83.3	--	--
Interfase 4-5	18.73	2159.016	1392.607	64.5	--	--
Interfase 5-6	19.20	2223.868	1402.143	63.0	--	--
Interfase 6-7	19.60	2279.796	1402.147	61.5	--	--
Cara interior	19.75	2301.084	1402.171	60.9	--	--
Aire interior	20.00	2336.951	1402.171	60.0	--	--

donde:

θ : Temperatura, °C.

Psat: Presión de saturación del vapor de agua, Pa.

Pn: Presión del vapor de agua, Pa.

ϕ : Humedad relativa, %.

gc: Densidad de flujo de condensación, g/(m²·mes).

Ma: Contenido acumulado de humedad por unidad de superficie, g/m².

>> Representación gráfica (Febrero)

Cálculo de condensaciones intersticiales en el mes de Marzo.

Cubierta 3 - Inclinadas aulas	θ (°C)	Psat (Pa)	Pn (%)	ϕ (g/(m ² ·mes))	gc (g/m ²)	Ma (g/m ²)
Aire exterior	8.80	1132.044	781.110	69.0	--	--
Cara exterior	8.88	1138.550	781.110	68.6	--	--
Interfase 1-2	8.88	1138.550	1138.550	100.0	-0.054	0.323
Interfase 2-3	15.50	1760.457	1139.064	64.7	--	--
Interfase 3-4	15.50	1760.458	1395.974	79.3	--	--
Interfase 4-5	18.92	2185.189	1395.987	63.9	--	--
Interfase 5-6	19.32	2240.687	1402.153	62.6	--	--
Interfase 6-7	19.66	2288.377	1402.155	61.3	--	--
Cara interior	19.79	2306.488	1402.171	60.8	--	--
Aire interior	20.00	2336.951	1402.171	60.0	--	--

donde:

θ : Temperatura, °C.

Psat: Presión de saturación del vapor de agua, Pa.

Pn: Presión del vapor de agua, Pa.

ϕ : Humedad relativa, %.

gc: Densidad de flujo de condensación, g/(m²·mes).

Ma: Contenido acumulado de humedad por unidad de superficie, g/m².

>> Representación gráfica (Marzo)

Cálculo de condensaciones intersticiales en el mes de Abril.

Cubierta 3 - Inclinadas aulas	θ (°C)	Psat (Pa)	Pn (%)	ϕ (g/(m ² ·mes))	gc	Ma (g/m ²)
Aire exterior	11.60	1365.261	928.378	68.0	--	--
Cara exterior	11.66	1371.010	928.378	67.7	--	--
Interfase 1-2	11.66	1371.011	1371.011	100.0	-0.214	0.109
Interfase 2-3	16.63	1891.429	1371.072	72.5	--	--
Interfase 3-4	16.63	1891.430	1401.438	74.1	--	--
Interfase 4-5	19.19	2222.298	1401.440	63.1	--	--
Interfase 5-6	19.49	2264.422	1402.169	61.9	--	--
Interfase 6-7	19.75	2300.437	1402.169	61.0	--	--
Cara interior	19.84	2314.071	1402.171	60.6	--	--
Aire interior	20.00	2336.951	1402.171	60.0	--	--

donde:

θ : Temperatura, °C.

Psat: Presión de saturación del vapor de agua, Pa.

Pn: Presión del vapor de agua, Pa.

ϕ : Humedad relativa, %.

gc: Densidad de flujo de condensación, g/(m²·mes).

Ma: Contenido acumulado de humedad por unidad de superficie, g/m².

>> Representación gráfica (Abril)

Cálculo de condensaciones intersticiales en el mes de Mayo.

Cubierta 3 - Inclinadas aulas	θ (°C)	Psat (Pa)	Pn (%)	ϕ (g/(m ² ·mes))	gc (g/m ²)	Ma (g/m ²)
Aire exterior	15.30	1737.605	1164.195	67.0	--	--
Cara exterior	15.34	1741.576	1164.195	66.8	--	--
Interfase 1-2	15.34	1741.577	1741.577	100.0	-0.109	--
Interfase 2-3	18.11	2077.547	1740.915	83.8	--	--
Interfase 3-4	18.11	2077.548	1410.149	67.9	--	--
Interfase 4-5	19.55	2272.179	1410.132	62.1	--	--
Interfase 5-6	19.72	2296.123	1402.194	61.1	--	--
Interfase 6-7	19.86	2316.458	1402.191	60.5	--	--
Cara interior	19.91	2324.125	1402.171	60.3	--	--
Aire interior	20.00	2336.951	1402.171	60.0	--	--

donde:

θ : Temperatura, °C.

Psat: Presión de saturación del vapor de agua, Pa.

Pn: Presión del vapor de agua, Pa.

ϕ : Humedad relativa, %.

gc: Densidad de flujo de condensación, g/(m²·mes).

Ma: Contenido acumulado de humedad por unidad de superficie, g/m².

>> Representación gráfica (Mayo)

Cálculo de condensaciones intersticiales en el mes de Junio.

Cubierta 3 - Inclinadas aulas	θ (°C)	Psat (Pa)	Pn (%)	ϕ (g/(m ² ·mes))	gc (g/m ²)	Ma (g/m ²)
Aire exterior	19.80	2308.176	1431.069	62.0	--	--
Cara exterior	19.80	2308.393	1431.069	62.0	--	--
Interfase 1-2	19.80	2308.393	1416.806	61.4	--	--
Interfase 2-3	19.92	2325.362	1416.778	60.9	--	--
Interfase 3-4	19.92	2325.362	1402.515	60.3	--	--
Interfase 4-5	19.98	2334.162	1402.514	60.1	--	--
Interfase 5-6	19.99	2335.201	1402.172	60.0	--	--
Interfase 6-7	19.99	2336.076	1402.172	60.0	--	--
Cara interior	20.00	2336.404	1402.171	60.0	--	--
Aire interior	20.00	2336.951	1402.171	60.0	--	--

donde:

θ : Temperatura, °C.

Psat: Presión de saturación del vapor de agua, Pa.

Pn: Presión del vapor de agua, Pa.

ϕ : Humedad relativa, %.

gc: Densidad de flujo de condensación, g/(m²·mes).

Ma: Contenido acumulado de humedad por unidad de superficie, g/m².

>> Representación gráfica (Junio)

Cálculo de condensaciones intersticiales en el mes de Julio.

Cubierta 3 - Inclinadas aulas	θ (°C)	P_{sat} (Pa)	P_n (%)	ϕ (g/(m ² ·mes))	g_c (g/m ²)	M_a (g/m ²)
Aire exterior	23.50	2893.848	1533.739	53.0	--	--
Cara exterior	23.47	2889.235	1533.739	53.1	--	--
Interfase 1-2	23.47	2889.235	1468.803	50.8	--	--
Interfase 2-3	21.41	2548.107	1468.673	57.6	--	--
Interfase 3-4	21.41	2548.107	1403.737	55.1	--	--
Interfase 4-5	20.34	2386.229	1403.734	58.8	--	--
Interfase 5-6	20.21	2367.766	1402.175	59.2	--	--
Interfase 6-7	20.11	2352.314	1402.175	59.6	--	--
Cara interior	20.07	2346.543	1402.171	59.8	--	--
Aire interior	20.00	2336.951	1402.171	60.0	--	--

donde:

θ : Temperatura, °C.

P_{sat} : Presión de saturación del vapor de agua, Pa.

P_n : Presión del vapor de agua, Pa.

ϕ : Humedad relativa, %.

g_c : Densidad de flujo de condensación, g/(m²·mes).

M_a : Contenido acumulado de humedad por unidad de superficie, g/m².

>> Representación gráfica (Julio)

Cálculo de condensaciones intersticiales en el mes de Agosto.

Cubierta 3 - Inclinadas aulas	θ (°C)	Psat (Pa)	Pn (%)	ϕ (g/(m ² ·mes))	gc (g/m ²)	Ma (g/m ²)
Aire exterior	22.80	2774.025	1497.973	54.0	--	--
Cara exterior	22.78	2770.468	1497.973	54.1	--	--
Interfase 1-2	22.78	2770.467	1450.690	52.4	--	--
Interfase 2-3	21.12	2504.591	1450.595	57.9	--	--
Interfase 3-4	21.12	2504.590	1403.311	56.0	--	--
Interfase 4-5	20.27	2376.302	1403.309	59.1	--	--
Interfase 5-6	20.17	2361.575	1402.174	59.4	--	--
Interfase 6-7	20.08	2349.235	1402.174	59.7	--	--
Cara interior	20.05	2344.622	1402.171	59.8	--	--
Aire interior	20.00	2336.951	1402.171	60.0	--	--

donde:

θ : Temperatura, °C.

Psat: Presión de saturación del vapor de agua, Pa.

Pn: Presión del vapor de agua, Pa.

ϕ : Humedad relativa, %.

gc: Densidad de flujo de condensación, g/(m²·mes).

Ma: Contenido acumulado de humedad por unidad de superficie, g/m².

>> Representación gráfica (Agosto)

Cálculo de condensaciones intersticiales en el mes de Septiembre.

Cubierta 3 - Inclinadas aulas	θ (°C)	Psat (Pa)	Pn (%)	ϕ (g/(m ² ·mes))	gc (g/m ²)	Ma (g/m ²)
Aire exterior	19.50	2265.595	1382.013	61.0	--	--
Cara exterior	19.50	2266.127	1382.013	61.0	--	--
Interfase 1-2	19.50	2266.127	1391.962	61.4	--	--
Interfase 2-3	19.80	2308.071	1391.982	60.3	--	--
Interfase 3-4	19.80	2308.072	1401.931	60.7	--	--
Interfase 4-5	19.95	2329.985	1401.931	60.2	--	--
Interfase 5-6	19.97	2332.578	1402.170	60.1	--	--
Interfase 6-7	19.98	2334.764	1402.170	60.1	--	--
Cara interior	19.99	2335.584	1402.171	60.0	--	--
Aire interior	20.00	2336.951	1402.171	60.0	--	--

donde:

θ : Temperatura, °C.

Psat: Presión de saturación del vapor de agua, Pa.

Pn: Presión del vapor de agua, Pa.

ϕ : Humedad relativa, %.

gc: Densidad de flujo de condensación, g/(m²·mes).

Ma: Contenido acumulado de humedad por unidad de superficie, g/m².

>> Representación gráfica (Septiembre)

Cálculo de condensaciones intersticiales en el mes de Octubre.

Cubierta 3 - Inclinadas aulas	θ (°C)	Psat (Pa)	Pn (%)	ϕ (g/(m ² ·mes))	gc	Ma (g/m ²)
Aire exterior	14.10	1608.128	1157.852	72.0	--	--
Cara exterior	14.14	1612.787	1157.852	71.8	--	--
Interfase 1-2	14.14	1612.788	1278.437	79.3	--	--
Interfase 2-3	17.63	2015.502	1278.678	63.4	--	--
Interfase 3-4	17.63	2015.502	1399.262	69.4	--	--
Interfase 4-5	19.43	2255.895	1399.268	62.0	--	--
Interfase 5-6	19.64	2285.800	1402.162	61.3	--	--
Interfase 6-7	19.82	2311.252	1402.163	60.7	--	--
Cara interior	19.89	2320.860	1402.171	60.4	--	--
Aire interior	20.00	2336.951	1402.171	60.0	--	--

donde:

θ : Temperatura, °C.

Psat: Presión de saturación del vapor de agua, Pa.

Pn: Presión del vapor de agua, Pa.

ϕ : Humedad relativa, %.

gc: Densidad de flujo de condensación, g/(m²·mes).

Ma: Contenido acumulado de humedad por unidad de superficie, g/m².

>> Representación gráfica (Octubre)

Cálculo de condensaciones intersticiales en el mes de Noviembre.

Cubierta 3 - Inclinadas aulas θ Psat Pn ϕ gc Ma

	(°C)	(Pa)	(Pa)	(%)	(g/(m ² ·mes))	(g/m ²)
Aire exterior	9.00	1147.455	906.489	79.0		
Cara exterior	9.08	1153.920	906.489	78.6	--	--
Interfase 1-2	9.08	1153.921	1151.135	99.8	--	--
Interfase 2-3	15.58	1769.541	1151.624	65.1	--	--
Interfase 3-4	15.58	1769.542	1396.270	78.9	--	--
Interfase 4-5	18.94	2187.822	1396.282	63.8	--	--
Interfase 5-6	19.33	2242.376	1402.154	62.5	--	--
Interfase 6-7	19.67	2289.236	1402.156	61.2	--	--
Cara interior	19.79	2307.029	1402.171	60.8	--	--
Aire interior	20.00	2336.951	1402.171	60.0		

donde:

θ : Temperatura, °C.

P_{sat} : Presión de saturación del vapor de agua, Pa.

P_n : Presión del vapor de agua, Pa.

ϕ : Humedad relativa, %.

g_c : Densidad de flujo de condensación, g/(m²·mes).

M_a : Contenido acumulado de humedad por unidad de superficie, g/m².

>> Representación gráfica (Noviembre)

Cálculo de condensaciones intersticiales en el mes de Diciembre.

Cubierta 3 - Inclinadas aulas	θ (°C)	P_{sat} (Pa)	P_n (%)	ϕ (g/(m ² ·mes))	g_c (g/m ²)	M_a (g/m ²)
Aire exterior	5.90	928.177	751.823	81.0		

Cara exterior	6.01	935.058	751.823	80.4	--	--
Interfase 1-2	6.01	935.059	935.059	100.0	0.146	0.146
Interfase 2-3	14.34	1633.257	935.969	57.3	--	--
Interfase 3-4	14.34	1633.258	1391.191	85.2	--	--
Interfase 4-5	18.64	2147.328	1391.214	64.8	--	--
Interfase 5-6	19.15	2216.335	1402.139	63.3	--	--
Interfase 6-7	19.57	2275.944	1402.143	61.6	--	--
Cara interior	19.73	2298.657	1402.171	61.0	--	--
Aire interior	20.00	2336.951	1402.171	60.0		

donde:

θ : Temperatura, °C.

P_{sat} : Presión de saturación del vapor de agua, Pa.

P_n : Presión del vapor de agua, Pa.

ϕ : Humedad relativa, %.

g_c : Densidad de flujo de condensación, g/(m²·mes).

M_a : Contenido acumulado de humedad por unidad de superficie, g/m².

>> Representación gráfica (Diciembre)

Evolución anual de la condensación acumulada.

Se presentan a continuación las cantidades totales de agua condensada en el elemento constructivo para cada situación de cálculo, así como la evolución de la humedad acumulada a lo largo del año.

El primer mes con condensación en alguna interfase es diciembre, aunque la cantidad neta anual es nula, por producirse la evaporación suficiente en los meses siguientes.

	Ene	Feb	Mar	Abr	May	Jun	Jul	Ago	Sep	Oct	Nov	Dic
Evolución de la cantidad de agua condensada.												
gc	g/(m ² ·mes)		0.157	0.074	--	--	--	--	--	--	--	0.146
gev	g/(m ² ·mes)		--	--	0.054	0.214	0.109	--	--	--	--	--
Ma	(g/m ²)		0.302	0.377	0.323	0.109	--	--	--	--	--	0.146

donde:

gc: Densidad de flujo de condensación, g/(m²·mes).

gev: Densidad de flujo de evaporación, g/(m²·mes).

Ma: Contenido acumulado de humedad por unidad de superficie, g/m².

>> Representación gráfica (Condensación acumulada)

8.3.6. Representación gráfica de las condensaciones intersticiales previstas

Enero	Febrero
Presión de vapor teórica Presión de vapor real apor real	Presión de vapor teórica Presión de vapor real
Presión de saturación	Temperatura
Marzo	Abril
Presión de vapor teórica Presión de vapor real apor real	Presión de vapor teórica Presión de vapor real

Presión de saturación Temperatura

Presión de saturación Temperatura

Mayo

Junio

Presión de vapor teórica Presión de vapor real
vapor real

Presión de saturación Temperatura

Presión de saturación Temperatura

Julio

Agosto

Presión de vapor teórica Presión de vapor real
vapor real

Presión de saturación Temperatura

Presión de saturación Temperatura

Septiembre

Octubre

Presión de vapor teórica Presión de vapor real
vapor real

Presión de saturación Temperatura

Presión de saturación Temperatura

Noviembre

Diciembre

Presión de vapor teórica Presión de vapor real
vapor real

Presión de saturación Temperatura

Presión de vapor teórica Presión de

Presión de saturación Temperatura

Condensación acumulada



3. RESULTADOS DE CYPE:

3.1 Demanda energética edificio BASE, “ Cypetherm HEPLUS ”.

1. Balance energético, “ Cypetherm Improvements PLUS ”.
2. Estudio de medidas de mejora, “ Cypetherm Improvements PLUS ”
3. Condensaciones, UNE EN ISO 13788, “ Cypetherm HEPLUS ”.
4. Puentes térmicos lineales, “ Cypetherm HEPLUS ”



DEMANDA ENERGÉTICA

ÍNDICE

1. RESUMEN DEL CÁLCULO DE LA DEMANDA ENERGÉTICA
2. RESULTADOS MENSUALES
 - 2.1 Balance energético anual del edificio
 - 2.2 Demanda energética mensual de calefacción y refrigeración
 - 2.3 Evolución de la temperatura
 - 2.4 Resultados numéricos del balance energético por zona y mes
3. MODELO DE CÁLCULO DEL EDIFICIO
 - 3.1 Agrupación de recintos



Demanda energética

1. RESUMEN DEL CÁLCULO DE LA DEMANDA ENERGÉTICA.

La siguiente tabla es un resumen de los resultados obtenidos en el cálculo de la demanda energética de calefacción y refrigeración de cada zona habitable, junto a la demanda total del edificio.

Zonas habitables	S_u (m ²)	D_{cal} (kWh/m ² ·año)	D_{ref} (kWh/m ² ·año)
Aulas P Baja	317.54	3138.48	9.88
Baños P Baja	40.41	573.81	14.20
Circulaciones P Baja	309.38	5531.23	17.88
Oficinas P Baja	242.21	3711.20	15.32
Cocina	110.24	-	-
Salas	458.16	2632.30	5.75
Baños P Primera	42.97	1045.57	24.33
Aulas P Primera	426.83	4156.29	9.74
Circulaciones P Primera	163.31	3621.34	22.17
2111.03	24410.23	11.56	14794.65
			7.01

donde:

S_u : Superficie útil de la zona habitable, m².

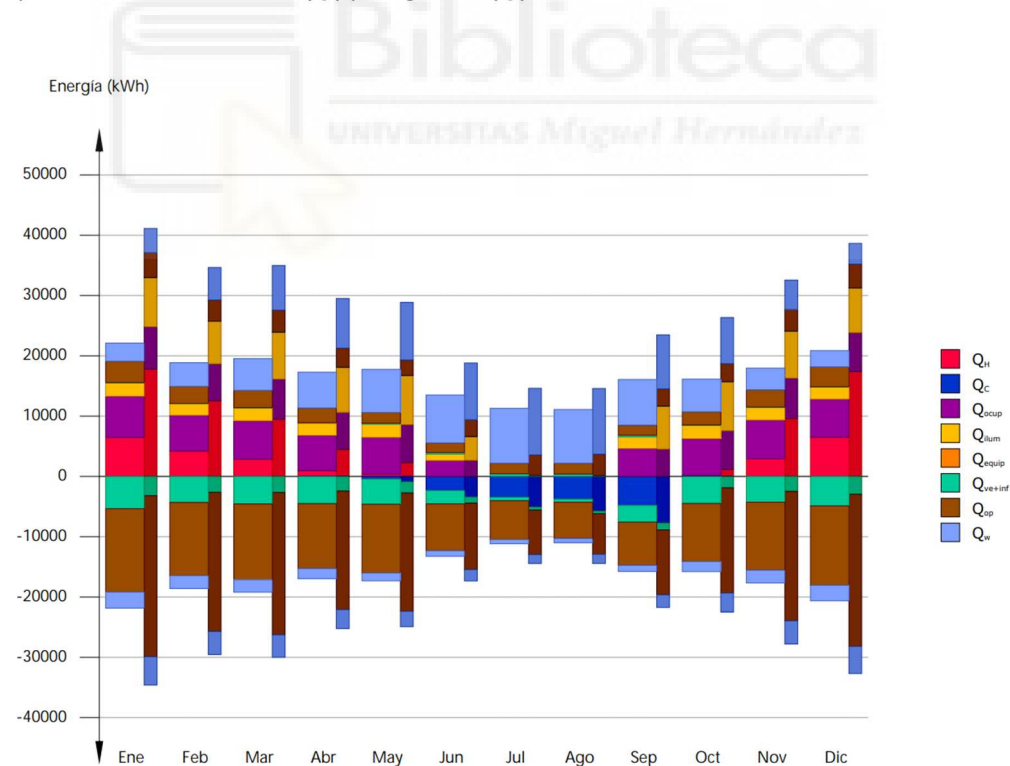
D_{cal} : Valor calculado de la demanda energética de calefacción, kWh/m²·año.

D_{ref} : Valor calculado de la demanda energética de refrigeración, kWh/m²·año.

2. RESULTADOS MENSUALES.

2.1. Balance energético anual del edificio.

La siguiente gráfica de barras muestra el balance energético del edificio mes a mes, contabilizando la energía perdida o ganada por transmisión térmica a través de elementos pesados y ligeros (Q_{op} y Q_w , respectivamente), la energía intercambiada por ventilación e infiltraciones (Q_{ve+inf}), la ganancia de calor interno debido a la ocupación (Q_{ocup}), a la iluminación (Q_{lum}) y al equipamiento interno (Q_{equip}), así como el aporte necesario de calefacción (Q_h) y refrigeración (Q_c).



En la siguiente tabla se muestran los valores numéricos correspondientes a la gráfica anterior, del balance energético del edificio completo, como suma de las energías involucradas en el balance energético de cada una de las zonas térmicas que conforman el modelo de cálculo del edificio.

El criterio de signos adoptado consiste en emplear valores positivos para energías aportadas a la zona de cálculo, y negativos para la energía extraída.

	Ene (kWh)	Feb (kWh)	Mar (kWh)	Abr (kWh)	May (kWh)	Jun (kWh)	Jul (kWh)	Ago (kWh)	Sep (kWh)	Oct (kWh)	Nov (kWh)	Dic (kWh)	Año (kWh/año)	Año (kWh/m ² ·año)
Balance energético anual del edificio.														
Q_{op}	3529.4	2824.5	2851.0	2448.0	1773.3	1588.2	1752.3	1789.5	1664.9	2175.1	2861.0	3324.8	-93577.01	-44.33
Q_w	-13819.0	-12139.4	-12584.6	-10769.9	-11402.1	-7770.1	-6438.2	-6002.6	-7159.5	-9636.0	-11274.8	-13162.5		
Q_{ve+inf}	3016.5	3926.4	5265.7	5931.5	7134.6	7942.7	9099.3	8903.9	7563.6	5407.9	3594.0	2675.9	50972.41	24.15
Q_{hc}	-2668.2	-2140.0	-2041.8	-1670.4	-1292.0	-926.2	-694.8	-694.9	-1005.8	-1665.8	-2127.0	-2562.5		
Q_{equip}	26.1	56.3	75.8	73.8	165.4	264.9	449.5	403.7	290.5	73.3	43.4	31.7	-40696.55	-19.28
Q_{ve+inf}	-5348.9	-4312.7	-4571.8	-4496.6	-4206.3	-2223.8	-595.8	-531.7	-2749.5	-4456.6	-4267.2	-4889.9		
$Q_{illuminación}$	--	--	--	--	--	--	--	--	--	--	--	--	0.00	0.00
$Q_{ocupación}$	2200.7	1913.7	2105.1	2009.4	2200.7	1052.5	--	--	1913.7	2200.7	2105.1	2009.4	19711.05	9.34
Q_{calor}	6893.4	5945.4	6391.9	5883.8	6102.1	2657.8	--	--	4643.3	6110.8	6436.0	6323.1	57387.46	27.18
Q_h	6451.5	4202.0	2850.6	941.0	378.1	--	--	--	--	165.5	2925.5	6496.1	24410.23	11.56
Q_c	--	--	--	-5.4	-412.1	-2330.1	-3435.0	-3748.9	-4833.5	-29.6	--	--	-14794.65	-7.01
Q_{hc}	6451.5	4202.0	2850.6	946.4	790.2	2330.1	3435.0	3748.9	4833.5	195.1	2925.5	6496.1	39204.88	18.57

donde:

Q_{op} : Transferencia de energía correspondiente a la transmisión térmica a través de elementos pesados en contacto con el exterior, kWh/m²·año.

Q_w : Transferencia de energía correspondiente a la transmisión térmica a través de elementos ligeros en contacto con el exterior, kWh/m²·año.

Q_{ve+inf} : Transferencia de energía correspondiente a la transmisión térmica por ventilación, kWh/m²·año.

Q_{equip} : Transferencia de energía correspondiente a la ganancia interna de calor debida al equipamiento interno, kWh/m²·año.

$Q_{illuminación}$: Transferencia de energía correspondiente a la ganancia interna de calor debida a la iluminación, kWh/m²·año.

$Q_{ocupación}$: Transferencia de energía correspondiente a la ganancia interna de calor debida a la ocupación, kWh/m²·año.

Q_h : Energía aportada de calefacción, kWh/m²·año.

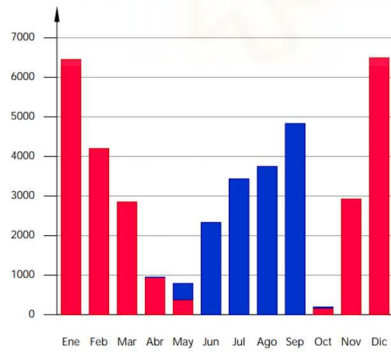
Q_c : Energía aportada de refrigeración, kWh/m²·año.

Q_{hc} : Energía aportada de calefacción y refrigeración, kWh/m²·año.

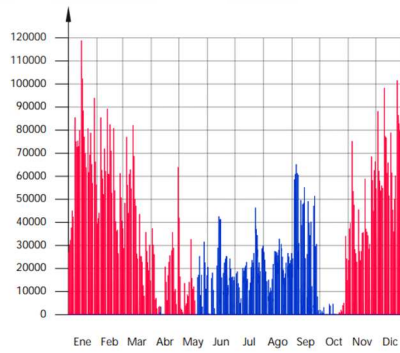
2.2. Demanda energética mensual de calefacción y refrigeración.

Atendiendo únicamente a la demanda energética a cubrir por los sistemas de calefacción y refrigeración, las necesidades energéticas y de potencia útil instantánea a lo largo de la simulación anual se muestran en los siguientes gráficos:

Energía (kWh/mes)



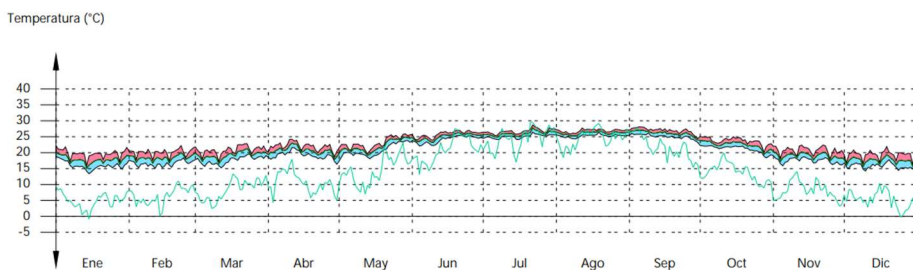
Potencia (W)



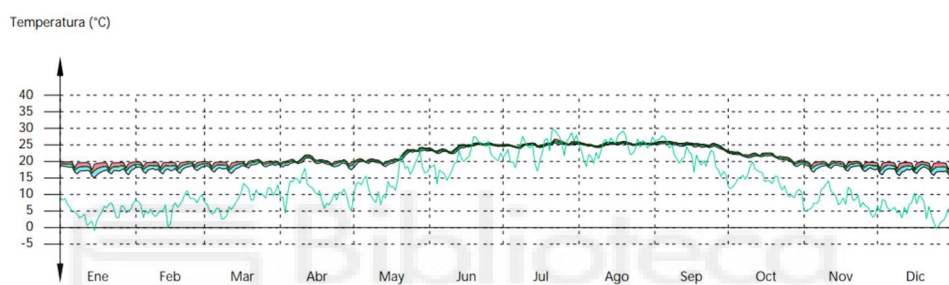
2.3. Evolución de la temperatura.

La evolución de la temperatura operativa interior en las zonas modelizadas del edificio objeto de proyecto se muestra en las siguientes gráficas, que muestran la evolución de las temperaturas mínimas, máximas y medias de cada día, en cada zona:

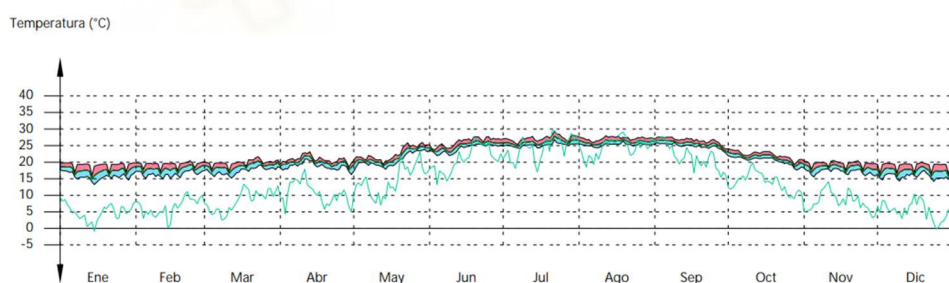
Aulas P Baja



Baños P Baja

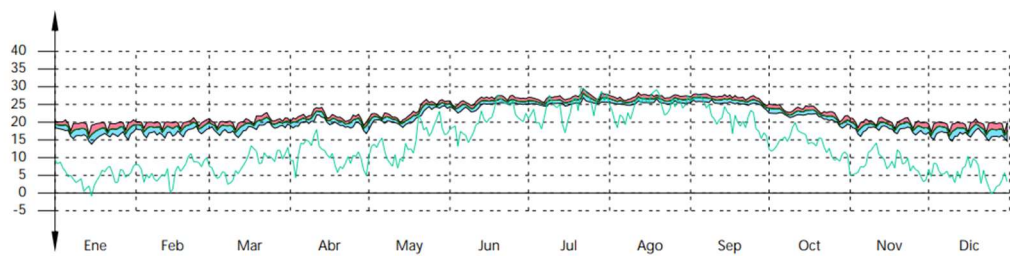


Circulaciones P Baja



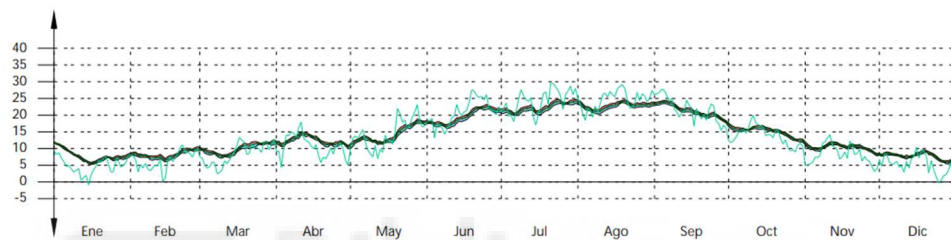
Oficinas P Baja

Temperatura (°C)



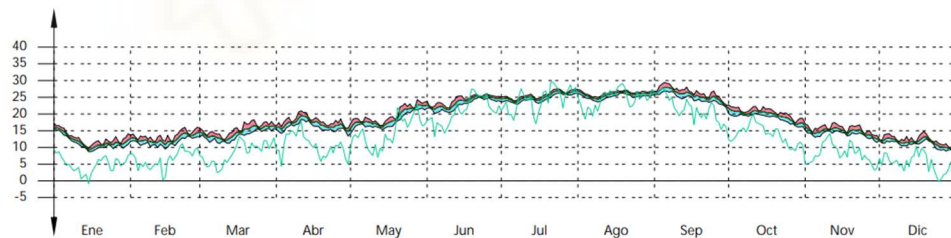
Instalaciones

Temperatura (°C)



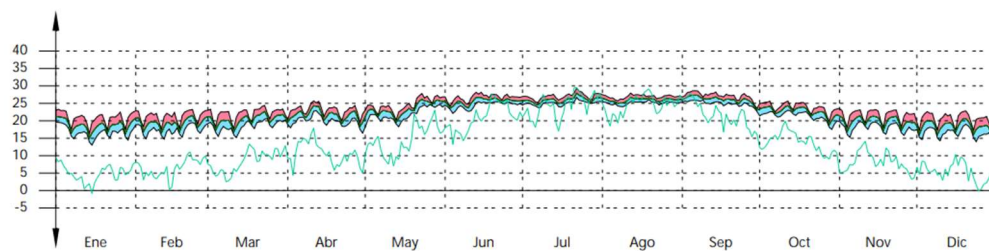
Cocina

Temperatura (°C)



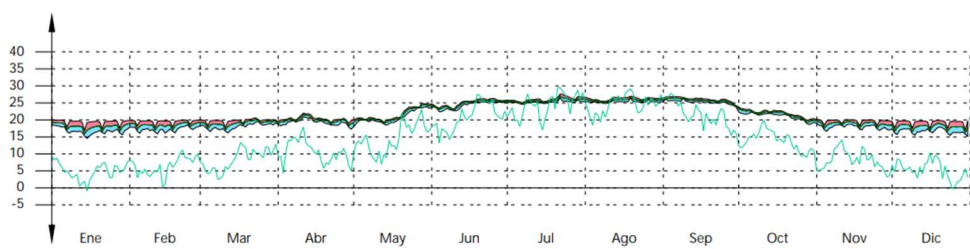
Salas

Temperatura (°C)



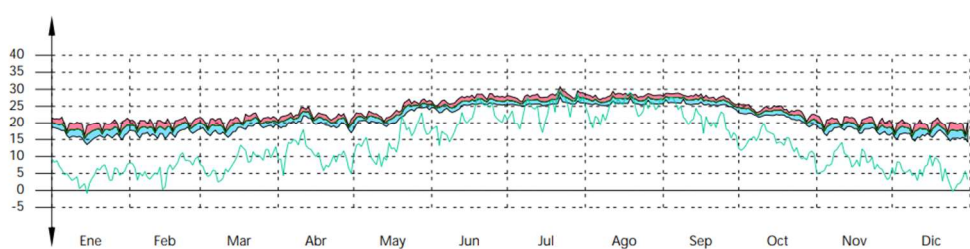
Baños P Primera

Temperatura (°C)



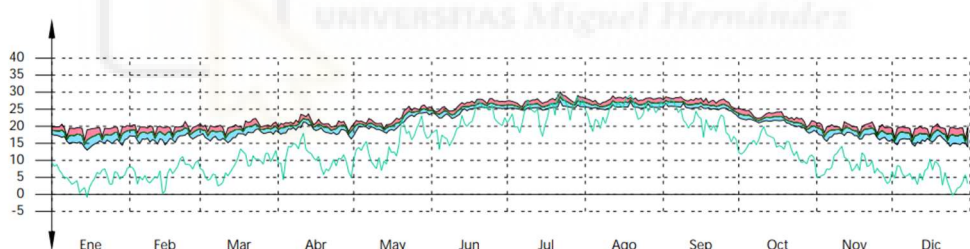
Aulas P Primera

Temperatura (°C)



Circulaciones P Primera

Temperatura (°C)



Demanda energética

	Ene (kWh)	Feb (kWh)	Mar (kWh)	Abr (kWh)	May (kWh)	Jun (kWh)	Jul (kWh)	Ago (kWh)	Sep (kWh)	Oct (kWh)	Nov (kWh)	Dic (kWh)	Año (kWh/año)	Año (kWh/m ² .año)
Aulas P Baja (A_v = 317.54 m²; V = 793.85 m³)														
Q _{op}	514.0	416.4	412.1	344.3	249.0	185.3	171.7	184.1	212.6	325.5	417.5	485.5	-16699.00	-52.59
Q _w	-2391.7	-2087.7	-2161.3	-1849.4	-1840.2	-1177.9	-927.0	-906.5	-1233.0	-1791.2	-1991.2	-2260.1		
Q _{ve+inf}	776.2	874.2	1029.2	1042.2	1050.9	1163.2	1374.8	1460.3	1399.2	1143.9	848.6	665.6	9691.90	30.52
Q _{equip}	-436.6	-350.1	-331.0	-269.8	-201.5	-139.4	-103.1	-104.3	-158.0	-276.2	-350.5	-415.7		
Q _{lum}	--	--	--	--	1.4	9.5	28.6	24.8	18.0	0.0	--	--	-5289.47	-16.66
Q _{ocup}	-681.1	-545.8	-553.0	-533.4	-494.3	-296.8	-63.6	-55.3	-382.3	-620.1	-519.0	-627.2		
Q _h	--	--	--	--	--	--	--	--	--	--	--	--	0.00	0.00
Q _c	290.2	252.4	277.6	265.0	290.2	138.8	--	--	252.4	290.2	277.6	265.0	2599.35	8.19
Q _{nc}	1095.0	948.2	1017.9	935.1	973.9	421.8	--	--	734.8	956.3	1023.4	1004.9	9111.15	28.69
Q_h	866.1	524.1	347.0	103.7	48.2	--	--	--	--	12.3	326.9	910.1	3138.48	9.88
Q_c	--	--	--	-31.4	-279.6	-467.1	-588.8	-808.3	-0.8	--	--	--	-2176.05	-6.85
Q_{nc}	866.1	524.1	347.0	103.7	79.6	279.6	467.1	588.8	808.3	13.1	326.9	910.1	5314.53	16.74
<hr/>														
Baños P Baja (A_v = 40.41 m²; V = 101.02 m³)														
Q _{op}	3.7	3.2	3.3	2.9	2.2	2.8	10.1	10.2	5.7	2.8	3.2	3.5	-1078.30	-26.69
Q _w	-186.5	-147.8	-132.2	-88.4	-80.9	-41.1	-24.6	-19.8	-30.8	-68.1	-129.7	-181.8		
Q _{ve+inf}	6.4	9.1	13.4	16.7	23.5	26.7	31.0	28.8	22.4	14.5	8.2	5.0	119.56	2.96
Q _{equip}	-12.8	-9.9	-9.2	-7.3	-5.4	-3.7	-2.6	-2.5	-3.8	-7.0	-9.7	-12.4		
Q _{lum}	--	--	--	0.0	0.1	0.1	--	--	1.0	--	--	--	-175.32	-4.34
Q _{ocup}	-22.2	-17.3	-16.6	-13.9	-18.4	-12.1	--	--	-24.6	-14.4	-16.6	-20.4		
Q _h	--	--	--	--	--	--	--	--	--	--	--	--	0.00	0.00
Q _c	32.5	28.2	31.0	29.6	32.5	15.5	--	--	28.2	32.5	31.0	29.6	290.73	7.20
Q _{nc}	37.5	32.6	35.8	33.7	35.3	15.1	--	--	25.5	34.9	35.8	34.2	320.54	7.93
Q_h	140.3	101.1	73.6	25.9	11.4	--	--	--	--	4.0	76.5	141.0	573.81	14.20
Q_c	--	--	--	--	-3.5	-14.2	-17.2	-24.0	--	--	--	--	-58.85	-1.46
Q_{nc}	140.3	101.1	73.6	25.9	11.4	3.5	14.2	17.2	24.0	4.0	76.5	141.0	632.66	15.66
<hr/>														
Circulaciones P Baja (A_v = 309.38 m²; V = 795.19 m³)														
Q _{op}	495.5	403.1	391.8	318.7	238.5	215.0	247.3	237.1	202.6	285.7	394.9	477.6	-12587.89	-40.69
Q _w	-1880.4	-1609.1	-1629.8	-1349.8	-1528.2	-1197.8	-1081.4	-957.0	-927.4	-1075.5	-1447.3	-1811.9		
Q _{ve+inf}	287.5	431.4	624.6	771.2	1076.4	1241.6	1404.7	1285.5	982.7	621.4	388.1	280.9	5890.16	19.04
Q _{equip}	-488.4	-390.9	-370.2	-300.3	-232.0	-166.5	-125.4	-122.8	-173.2	-284.6	-380.1	-471.6		
Q _{lum}	--	--	--	0.0	1.3	7.1	22.4	20.0	12.6	0.0	0.0	--	-3106.03	-10.04
Q _{ocup}	-450.6	-362.0	-347.1	-293.9	-266.7	-162.7	-53.3	-45.1	-206.5	-233.4	-326.5	-421.7		
Q _h	--	--	--	--	--	--	--	--	--	--	--	--	0.00	0.00
Q _c	248.5	216.1	237.7	226.9	248.5	118.9	--	--	216.1	248.5	237.7	226.9	2226.01	7.20
Q _{nc}	431.1	374.4	410.3	385.0	397.0	168.5	--	--	288.2	401.1	411.3	393.5	3660.35	11.83
Q_h	1369.1	951.4	703.8	266.1	109.8	--	--	--	--	59.6	734.4	1337.1	5531.23	17.88
Q_c	--	--	--	--	-3.5	-194.6	-390.9	-398.5	-371.2	--	--	--	-1358.61	-4.39
Q_{nc}	1369.1	951.4	703.8	266.1	113.3	194.6	390.9	398.5	371.2	59.6	734.4	1337.1	6889.84	22.27
<hr/>														
Oficinas P Baja (A_v = 242.21 m²; V = 605.51 m³)														
Q _{op}	352.9	286.5	283.6	237.5	182.2	174.0	206.4	222.6	180.8	223.8	284.3	339.7	-10300.16	-42.53
Q _w	-1506.3	-1294.8	-1327.4	-1140.6	-1235.8	-873.5	-714.3	-691.8	-820.6	-1047.5	-1175.3	-1446.7		
Q _{ve+inf}	307.9	426.9	605.6	691.7	823.3	923.0	1082.4	1087.5	923.4	621.9	394.5	277.1	5333.20	22.02
Q _{equip}	-394.3	-313.8	-296.9	-242.3	-186.7	-132.9	-96.6	-96.4	-142.8	-240.6	-308.7	-380.0		
Q _{lum}	--	--	--	0.7	3.8	10.8	9.5	14.4	--	--	--	--	-3020.97	-12.47
Q _{ocup}	-461.4	-366.0	-357.4	-309.1	-253.4	-107.5	-27.4	-23.5	-120.6	-263.7	-343.7	-426.6		
Q _h	--	--	--	--	--	--	--	--	--	--	--	--	0.00	0.00
Q _c	559.8	486.8	535.5	511.1	559.8	267.7	--	--	486.8	559.8	535.5	511.1	5014.01	20.70
Q _{nc}	168.5	146.2	159.2	147.5	150.4	63.1	--	--	111.4	150.7	160.1	153.8	1410.88	5.83
Q_h	989.9	645.7	422.0	130.0	46.0	--	--	--	--	20.9	470.3	986.4	3711.20	15.32
Q_c	--	--	--	--	-49.9	-294.8	-444.3	-492.5	-607.7	-0.1	--	--	-1889.26	-7.80
Q_{nc}	989.9	645.7	422.0	130.0	95.8	294.8	444.3	492.5	607.7	21.0	470.3	986.4	5600.46	23.12
<hr/>														
Instalaciones (A_v = 113.35 m²; V = 283.37 m³)														

	Ene (kWh)	Feb (kWh)	Mar (kWh)	Abr (kWh)	May (kWh)	Jun (kWh)	Jul (kWh)	Ago (kWh)	Sep (kWh)	Oct (kWh)	Nov (kWh)	Dic (kWh)	Año (kWh/año)	Año (kWh/m ² .año)
Q _{op}	236.8	166.5	181.8	189.2	110.1	92.0	86.8	93.1	96.4	155.4	196.6	206.0	326.61	2.88
Q _{ve+inf}	-36.3	-71.9	-91.5	-87.8	-172.4	-207.0	-242.0	-221.3	-159.2	-93.4	-59.4	-42.2		
Q _w	25.9	56.1	74.9	72.9	150.8	196.9	246.1	224.8	139.1	73.0	42.9	31.5	-755.27	-6.66
Q _{equip}	-275.0	-191.6	-210.2	-218.6	-133.9	-103.7	-90.1	-96.9	-119.7	-184.4	-226.8	-239.3		
Q _{lum}	--	--	--	--	--	--	--	--	--	--	--	--	0.00	0.00
Q _{ocup}	--	--	--	--	--	--	--	--	--	--	--	--	0.00	0.00

Cocina (A_r = 110.24 m²; V = 278.70 m³)

Q _{op}	85.6	64.6	73.4	70.7	45.3	34.8	25.1	27.3	41.8	63.0	77.8	73.8	-3551.94	-32.22
Q _w	-290.4	-335.9	-407.3	-391.0	-477.9	-372.0	-312.3	-306.8	-395.2	-371.2	-314.3	-261.0		
Q _{ve+inf}	95.2	140.0	202.3	226.3	258.7	278.2	315.0	311.7	264.2	192.4	110.5	71.8	2115.76	19.19
Q _{equip}	-42.1	-33.1	-35.0	-31.8	-23.3	-18.8	-15.0	-16.5	-24.7	-34.3	-37.9	-38.0		
Q _{lum}	0.2	0.2	0.9	0.8	5.0	8.4	17.2	13.5	7.0	0.2	0.5	0.2	-2353.06	-21.34
Q _{ocup}	-302.4	-229.2	-262.1	-272.5	-219.0	-105.2	-27.2	-27.4	-171.8	-260.4	-267.9	-262.1		
Q _{op}	--	--	--	--	--	--	--	--	--	--	--	--	0.00	0.00
Q _w	104.5	90.9	100.0	95.4	104.5	50.0	--	--	90.9	104.5	100.0	95.4	936.08	8.49
Q _{equip}	355.3	309.5	335.8	308.4	316.3	129.8	--	--	192.8	310.7	336.9	325.5	2920.96	26.50

Salas (A_r = 458.16 m²; V = 2015.77 m³)

Q _{op}	629.6	505.2	519.3	435.9	321.9	227.2	206.3	175.2	234.0	349.3	503.6	592.3	-22105.54	-48.25	
Q _w	-3141.2	-2718.6	-2843.9	-2531.2	-2575.3	-1544.3	-1096.6	-973.2	-1475.3	-2281.7	-2658.6	-2965.5			
Q _{ve+inf}	327.9	468.5	716.7	915.8	1244.4	1424.1	1587.8	1431.0	1076.1	688.8	398.6	281.8	7647.56	16.69	
Q _{equip}	-403.1	-324.1	-313.3	-253.9	-201.8	-134.7	-94.0	-91.8	-139.8	-244.4	-325.4	-387.8			
Q _{lum}	--	--	--	--	--	--	--	--	--	--	--	--	-13161.66	-28.73	
Q _{ocup}	--	--	--	--	--	--	--	--	--	--	--	--	0.00	0.00	
Q _{op}	329.1	286.1	314.8	300.5	329.1	157.4	--	--	286.1	329.1	314.8	300.5	2947.31	6.43	
Q _w	3067.4	2631.3	2811.7	2581.3	2686.8	1201.0	--	--	2131.9	2728.0	2835.5	2818.3	25493.12	55.64	
Q _{ve+inf}	746.0	460.9	271.2	75.6	18.9	--	--	--	16.0	272.1	771.6	2632.30	5.75		
Q _{equip}	--	--	--	--	--	--	--	--	--	--	--	--	-2962.70	-6.47	
Q _{lum}	746.0	460.9	271.2	81.0	217.2	568.7	514.3	472.1	1186.1	-17.8	--	--	5595.00	12.21	

Baños P Primera (A_r = 42.97 m²; V = 107.42 m³)

Q _{op}	44.0	34.7	34.6	30.8	19.1	27.4	44.1	49.2	29.2	24.8	33.2	40.3	-686.09	-15.97	
Q _w	-203.1	-159.7	-138.2	-78.7	-67.2	-26.2	-12.1	-10.7	-20.7	-47.4	-137.1	-196.5			
Q _{ve+inf}	12.1	14.5	17.8	17.5	16.3	17.8	21.2	24.1	23.7	20.0	13.6	9.7	165.59	3.85	
Q _{equip}	-6.1	-4.9	-4.5	-3.6	-2.7	-1.9	-1.4	-1.4	-2.1	-3.6	-4.8	-5.9			
Q _{lum}	--	--	--	--	--	--	--	--	--	--	--	--	-1103.04	-25.67	
Q _{ocup}	--	--	--	--	--	--	--	--	--	--	--	--	0.00	0.00	
Q _{op}	46.4	40.3	44.3	42.3	46.4	22.2	--	--	40.3	46.4	44.3	42.3	415.25	9.66	
Q _w	39.9	34.7	38.1	36.1	37.6	15.9	--	--	26.6	37.6	38.1	36.4	341.03	7.94	
Q _{ve+inf}	241.7	177.9	140.0	65.4	34.4	--	--	--	10.2	140.8	235.1	1045.57	24.33		
Q _{equip}	--	--	--	--	--	--	--	--	--	--	--	--	-182.97	-4.26	
Q _{lum}	241.7	177.9	140.0	65.4	34.4	20.2	46.6	57.0	59.1	10.2	140.8	235.1	1228.53	28.59	

Aulas P Primera (A_r = 426.83 m²; V = 1067.06 m³)

Q _{op}	860.7	694.9	703.6	609.9	455.1	453.0	509.9	529.3	478.5	562.2	703.4	814.8	-19318.57	-45.26
Q _w	-2914.8	-2587.8	-2756.6	-2431.5	-2604.2	-1763.7	-1512.2	-1380.9	-1510.4	-2113.8	-2365.3	-2752.6		
Q _{ve+inf}	877.6	1107.3	1515.6	1714.2	2040.4	2226.1	2540.1	2500.1	2139.4	1544.3	1011.1	743.1	14995.88	35.13
Q _{equip}	-661.7	-532.2	-510.4	-422.1	-330.0	-246.7	-192.4	-194.2	-271.1	-435.3	-532.5	-634.8		
Q _{lum}	--	--	--	--	--	--	--	--	--	--	--	--	-8915.24	-20.89
Q _{ocup}	-1048.5	-856.7	-944.6	-1003.2	-952.0	-520.8	-147.7	-125.6	-603.2	-1050.5	-843.6	-961.0		
Q _{op}	387.2	336.7	370.4	353.5	387.2	185.2	--	--	336.7	387.2	370.4	353.5	3467.98	8.13
Q _w	1471.3	1271.0	1366.7	1253.8	1295.2	554.3	--	--	981.4	1282.5	1378.2	1348.9	12203.15	28.59

Demanda energética

	Ene (kWh)	Feb (kWh)	Mar (kWh)	Abr (kWh)	May (kWh)	Jun (kWh)	Jul (kWh)	Ago (kWh)	Sep (kWh)	Oct (kWh)	Nov (kWh)	Dic (kWh)	Año (kWh/año)	Año (kWh/m²-año)
Q_H	1192.6	716.6	430.1	98.2	31.6	--	--	--	--	12.1	440.2	1235.0	4156.29	9.74
Q_C	--	--	--	--	-125.1	-790.8	-1199.0	-1328.5	-1433.8	-11.0	--	--	-4888.17	-11.45
Q_{HC}	1192.6	716.6	430.1	98.2	156.7	790.8	1199.0	1328.5	1433.8	23.0	440.2	1235.0	9044.45	21.19

Circulaciones P Primera ($A = 163.31 \text{ m}^2$; $V = 444.37 \text{ m}^3$)

Q_{op}	306.6	249.3	247.5	208.1	150.0	176.6	244.6	261.2	183.3	182.5	246.3	291.4	-7576.10	-46.39
Q_w	-1268.4	-1126.0	-1096.6	-821.5	-820.0	-566.7	-515.8	-534.6	-586.9	-746.3	-996.6	-1244.3		
Q_{ve+inf}	325.7	454.4	540.5	535.8	600.6	641.9	742.3	774.8	732.5	560.8	420.7	340.9	5012.81	30.70
Q_{equip}	-223.1	-181.0	-171.2	-139.5	-108.6	-81.7	-64.3	-65.0	-90.3	-139.8	-177.4	-216.3		
Q_{sum}	--	--	--	--	1.0	6.8	22.4	19.0	9.3	0.0	--	--	-2816.48	-17.25
Q_{ocup}	--	--	--	--	--	--	--	--	--	--	--	--	0.00	0.00
Q_H	133.7	116.3	127.9	122.1	133.7	63.9	--	--	116.3	133.7	127.9	122.1	1197.43	7.33
Q_C	227.4	197.5	216.4	203.1	209.6	88.1	--	--	150.7	209.1	216.7	207.6	1926.27	11.80
Q_{HC}	905.8	624.3	463.0	176.1	77.8	--	--	--	30.3	464.4	879.7		3621.34	22.17
Q_{HC}	--	--	--	--	-4.0	-177.8	-358.5	-394.4	-343.3	--	--	--	-1278.06	-7.83
Q_{HC}	905.8	624.3	463.0	176.1	81.7	177.8	358.5	394.4	343.3	30.3	464.4	879.7	4899.40	30.00

donde:

- A_t : Superficie útil de la zona térmica, m^2 .
- V : Volumen interior neto de la zona térmica, m^3 .
- Q_{op} : Transferencia de energía correspondiente a la transmisión térmica a través de elementos pesados en contacto con el exterior, $\text{kWh}/\text{m}^2\cdot\text{año}$.
- Q_c : Transferencia de energía correspondiente a la transmisión térmica a través de elementos ligeros en contacto con el exterior, $\text{kWh}/\text{m}^2\cdot\text{año}$.
- Q_{ve+inf} : Transferencia de energía correspondiente a la transmisión térmica por ventilación, $\text{kWh}/\text{m}^2\cdot\text{año}$.
- Q_{equip} : Transferencia de energía correspondiente a la ganancia interna de calor debida al equipamiento interno, $\text{kWh}/\text{m}^2\cdot\text{año}$.
- Q_{sum} : Transferencia de energía correspondiente a la ganancia interna de calor debida a la iluminación, $\text{kWh}/\text{m}^2\cdot\text{año}$.
- Q_{ocup} : Transferencia de energía correspondiente a la ganancia interna de calor debida a la ocupación, $\text{kWh}/\text{m}^2\cdot\text{año}$.
- Q_H : Energía aportada de calefacción, $\text{kWh}/\text{m}^2\cdot\text{año}$.
- Q_C : Energía aportada de refrigeración, $\text{kWh}/\text{m}^2\cdot\text{año}$.
- Q_{HC} : Energía aportada de calefacción y refrigeración, $\text{kWh}/\text{m}^2\cdot\text{año}$.

3. MODELO DE CÁLCULO DEL EDIFICIO.

3.1. Agrupaciones de recintos.

Se muestra a continuación la caracterización de los espacios que componen cada una de las zonas de cálculo del edificio.

S (m^2)	V (m^3)	η (%)	ren_b (1/h)	ΣQ_{ocup,s} ($\text{kWh}/\text{año}$)	ΣQ_{ocup,i} ($\text{kWh}/\text{año}$)	ΣQ_{equip,s} ($\text{kWh}/\text{año}$)	ΣQ_{equip,i} ($\text{kWh}/\text{año}$)	ΣQ_{ilum} ($\text{kWh}/\text{año}$)	T' calef. media ($^{\circ}\text{C}$)	T' refrig. media ($^{\circ}\text{C}$)	
Aulas P Baja (Zona habitable)											
Aula 1	60.49	151.22	77.00	1.64	1313.99	875.99	--	--	495.17	20.0	25.0
Aula 2	60.48	151.20	77.00	1.64	1313.79	875.86	--	--	495.09	20.0	25.0
Aula 3	64.52	161.32	77.00	1.64	1401.66	934.44	--	--	528.20	20.0	25.0
Aula 4	64.41	161.02	77.00	1.64	1399.06	932.70	--	--	527.22	20.0	25.0
Aula 5	67.64	169.09	77.00	1.64	1469.23	979.48	--	--	553.67	20.0	25.0
	317.54	793.85	77.00	1.64/0.41*	6897.72	4598.48	--	--	2599.35	20.0	25.0

Baños P Baja (Zona habitable)											
Aseos 1	21.48	53.71	77.00	1.20	124.45	82.96	--	--	154.57	20.0	25.0
Aseos 2	14.20	35.50	77.00	1.20	82.25	54.83	--	--	102.16	20.0	25.0
Aseo 3	4.72	11.81	77.00	1.20	27.37	18.25	--	--	34.00	20.0	25.0

Circulaciones P Baja (Zona habitable)

Demanda energética

	S (m²)	V (m³)	η (%)	ren_h (1/h)	ΣQ_{ocupa,s} (kWh/año)	ΣQ_{ocupa,l} (kWh/año)	ΣQ_{equip.s} (kWh/año)	ΣQ_{equip.l} (kWh/año)	ΣQ_{sum} (kWh/año)	T' calef. media (°C)	T' refriger. media (°C)
Pasillo 1	124.59	323.31	77.00	0.76	1082.54	721.70	--	--	896.42	20.0	25.0
Pasillo 2	13.87	34.67	77.00	0.79	120.49	80.33	--	--	99.78	20.0	25.0
Pasillo 3	131.68	339.12	77.00	0.77	1144.21	762.81	--	--	947.49	20.0	25.0
Pasillo 4	39.24	98.09	77.00	0.79	340.94	227.30	--	--	282.33	20.0	25.0
	309.38	795.19	77.00	0.77/0.23*	2688.19	1792.13	--	--	2226.01	20.0	25.0
<hr/>											
Oficinas P Baja (Zona habitable)											
Secretaría	20.95	52.37	--	0.60	91.01	60.67	--	--	433.63	20.0	25.0
AMPA	22.21	55.54	--	0.60	96.51	64.34	--	--	459.86	20.0	25.0
Conserjería	7.24	18.10	--	0.60	31.45	20.97	--	--	149.87	20.0	25.0
Despacho 1	33.97	84.92	--	0.60	147.57	98.38	--	--	703.18	20.0	25.0
Despacho 2	20.02	50.05	--	0.60	86.98	57.99	--	--	414.47	20.0	25.0
Despacho 3	20.02	50.05	--	0.60	86.98	57.99	--	--	414.46	20.0	25.0
Sala de profesores	76.38	190.95	--	0.60	331.85	221.23	--	--	1581.23	20.0	25.0
Tutoría	21.43	53.56	--	0.60	93.08	62.06	--	--	443.54	20.0	25.0
Despacho 4	19.99	49.97	--	0.60	86.84	57.89	--	--	413.77	20.0	25.0
	242.21	605.51	--	0.60/0.16*	1052.28	701.52	--	--	5014.02	20.0	25.0
<hr/>											
Instalaciones (Zona no habitable)											
Calderas	68.29	170.71	--	1.20	--	--	--	--	371.62		
Grupo electrogenero	13.59	33.98	--	1.20	--	--	--	--	73.96	Oscilación libre	
Grupo de presion	31.48	78.68	--	1.20	--	--	--	--	171.29		
	113.35	283.37	--	1.20	--	--	--	--	616.87		
<hr/>											
Cocina (Zona habitable)											
Cocina	71.51	181.87	--	1.98	1242.78	828.52	--	--	607.22	--	--
Basuras	4.96	12.40	--	2.02	86.19	57.46	--	--	42.11	--	--
Despensa	10.88	27.20	--	2.02	189.09	126.06	--	--	92.39	--	--
Distribuidor	22.89	57.23	--	2.02	397.79	265.20	--	--	194.36	--	--
	110.24	278.70	--	1.99/0.48*	1915.85	1277.24	--	--	936.08	--	--
<hr/>											
Salas (Zona habitable)											
Biblioteca	62.88	157.20	77.00	3.02	2731.92	1821.28	--	--	404.52	20.0	25.0
Comedor	196.04	921.86	77.00	1.61	8516.94	5677.96	--	--	1261.10	20.0	25.0
Sala polivalente	199.24	936.70	77.00	1.61	8655.99	5770.66	--	--	1281.69	20.0	25.0
	458.16	2015.77	77.00	1.72/0.39*	19904.85	13269.90	--	--	2947.31	20.0	25.0
<hr/>											
Baños P Primera (Zona habitable)											
Baño 1	21.48	53.71	--	1.20	124.45	82.96	--	--	207.63	20.0	25.0
Baño 2	21.48	53.71	--	1.20	124.45	82.96	--	--	207.63	20.0	25.0
	42.97	107.42	--	1.20/0.36*	248.89	165.93	--	--	415.25	20.0	25.0
<hr/>											
Aulas P Primera (Zona habitable)											
Aula 1	60.14	150.36	77.00	1.64	1306.49	870.99	--	--	488.67	20.0	25.0
Aula 2	60.48	151.20	77.00	1.64	1313.79	875.86	--	--	491.41	20.0	25.0
Aula 3	60.21	150.53	77.00	1.64	1307.95	871.96	--	--	489.22	20.0	25.0
Aula 4	60.72	151.79	77.00	1.64	1318.93	879.29	--	--	493.33	20.0	25.0
Aula 5	20.27	50.68	77.00	1.64	440.37	293.58	--	--	164.72	20.0	25.0
Aula 6	20.27	50.68	77.00	1.64	440.37	293.58	--	--	164.72	20.0	25.0

Demanda energética

	S (m ²)	V (m ³)	η (%)	ren_h (1/h)	ΣQ_{ocup,s} (kWh/año)	ΣQ_{ocup,l} (kWh/año)	ΣQ_{equip,s} (kWh/año)	ΣQ_{equip,l} (kWh/año)	ΣQ_{lum} (kWh/año)	T' calef. media (°C)	T' refrig. media (°C)
Aula 7	20.14	50.34	77.00	1.64	437.44	291.63	--	--	163.62	20.0	25.0
Aula 8	20.14	50.34	77.00	1.64	437.44	291.63	--	--	163.62	20.0	25.0
Aula 9	20.14	50.35	77.00	1.64	437.46	291.64	--	--	163.62	20.0	25.0
Aula10	24.27	60.66	77.00	1.64	527.15	351.43	--	--	197.17	20.0	25.0
Aula11	60.05	150.12	77.00	1.64	1304.41	869.61	--	--	487.89	20.0	25.0
	426.83	1067.06	77.00	1.64/0.47*	9271.80	6181.20	--	--	3467.98	20.0	25.0

Circulaciones P Primera (Zona habitable)

Pasillo	163.31	444.37	77.00	0.73	1418.99	946.00	--	--	1197.43	20.0	25.0
	163.31	444.37	77.00	0.73/0.32*	1418.99	946.00	--	--	1197.43	20.0	25.0

donde:

S: Superficie útil interior del recinto, m².

V: Volumen interior neto del recinto, m³.

η: Eficiencia térmica de la recuperación de calor, %.

ren_h: Número de renovaciones por hora del aire del recinto.

*: Valor medio del número de renovaciones hora del aire de la zona habitable, incluyendo las infiltraciones calculadas.

Q_{ocup,s}: Sumatorio de la carga interna sensible debida a la ocupación del recinto a lo largo del año, kWh/año.

Q_{ocup,l}: Sumatorio de la carga interna latente debida a la ocupación del recinto a lo largo del año, kWh/año.

Q_{equip,s}: Sumatorio de la carga interna sensible debida a los equipos presentes en el recinto a lo largo del año, kWh/año.

Q_{equip,l}: Sumatorio de la carga interna latente debida a los equipos presentes en el recinto a lo largo del año, kWh/año.

Q_{lum}: Sumatorio de la carga interna debida a la iluminación del recinto a lo largo del año, kWh/año.

T' calef. media: Valor medio en los intervalos de operación de la temperatura de consigna de calefacción, °C.

T' refrig. media: Valor medio en los intervalos de operación de la temperatura de consigna de refrigeración, °C.



BALANCE ENERGÉTICO

1. SIMULACIÓN ENERGÉTICA







Balance energético

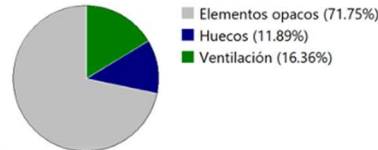
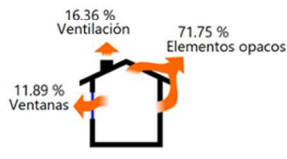
1. SIMULACIÓN ENERGÉTICA (ESPAÑA)

1.1. Balance energético

Indicadores de desempeño	Consumo anual de energía primaria no renovable kWh/m ² ·año
Calefacción	7.07
Refrigeración	14.65
ACS	17.82
Iluminación	26.58
Ventilación	5.57

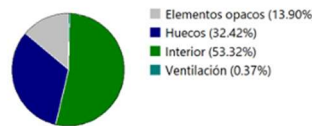
1.2. Envolvente

1.2.1. Indicadores de calefacción



Elemento	Pérdidas (%)
Elementos opacos	71.75
Huecos	11.89
Ventilación	16.36

1.2.2. Indicadores de refrigeración



Elemento	Ganancias (%)
Elementos opacos	13.90
Huecos	32.42
Interior	53.32
Ventilación	0.37

1. MAE 1: MEJORA RECUPERADOR + BOMBA DE CALOR



Balance energético

2. MAE 1: MEJORA RECUPERADOR + BOMBA DE CALOR

2.1. Balance energético

Indicadores de desempeño	Consumo anual de energía primaria no renovable kWh/m ² .año
Calefacción	5.98
Refrigeración	15.02
ACS	4.28
Iluminación	28.18
Ventilación	5.91

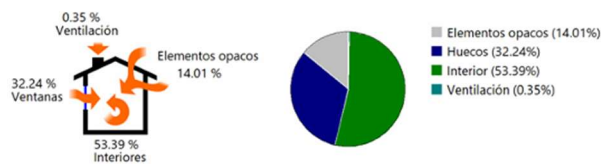
2.2. Envolvente

2.2.1. Indicadores de calefacción



Elemento	Pérdidas (%)
Elementos opacos	71.59
Huecos	11.83
Ventilación	16.58

2.2.2. Indicadores de refrigeración



Elemento	Ganancias (%)
Elementos opacos	14.01
Huecos	32.24
Interior	53.39
Ventilación	0.35

2. MAE 2: SUSTITUCIÓN DE LÁMPARAS FLUORESCENTES PROPUESTAS A TIPO LED



Condensaciones

